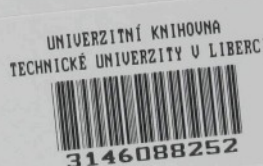


Státní výzkumný ústav textilní  
Liberec

Ing. Jiří Kryštofek

**BARVENÍ ANIONTOVĚ MODIFIKOVANÝCH POLYESTEROVÝCH VLÁKEN**

Kandidátská disertační práce  
(Soubor publikovaných prací)



Vědní obor: 23-09-09  
textilní technika

Liberec, prosinec 1989

O B S A H

	str.
Úvodní slovo	3
Podrobné citace přiložených prací	5
Přílohy: publikované práce - příspěvky I až XIV (u každého předchází komentář)	průběžně nečíslováno

## Ú V O D N í S L O V O

Většina předložených publikovaných prací se zabývá teoreticky dosud neřešenými problémy barvení vývojové varianty sráživého typu modifikované polyesterové stříže tuzemské výroby (Tesil S). Obsah modifikační komponenty (sodné soli kyseliny 5-sulfoizoftalové) otevíral cestu k uplatnění kationtových barviv, od nichž se očekávalo především dosažení vyšších stálostí vybarvení aj. Na druhé straně se vnesením další modifikační složky poněkud omezila sráživost.

Zadavatel výzkumného úkolu (ÚZCHV, Česká Třebová) přitom požadoval podrobné ověření možností aplikace za takových teplot, době barvení a za případných optimálních přídavků vybraných přenašečů, kdy se ještě podstatně nesníží srážecí schopnost vláken. Toto zadání bylo diktováno situací ve strojně-technologickém vybavení rozhodujících výrobních kapacit přicházejících v úvahu pro průmyslovou aplikaci stříže Tesil S. Byla zde k dispozici technika pro barvení volného materiálu nebo česanců, zatímco zajištění jinak operativnějšího "barvení v přízi" nebylo v rozhodujících objemech výroby v dohledné době dosažitelné. Pro úplné objasnění perspektivní provozuschopnosti vytyčeného výzkumného záměru je třeba ještě uvést, že již před tím se za zhruba obdobných podmínek provozně zpracovávalo sráživé PES-vlátko Velana S. Barvilo se barvivy disperzními, empiricky se došlo k barvení za značně snížených teplot. Nízké vytažení barviv na vlátko bylo tolerováno vzhledem k tomu, že šlo pouze o světlé odstíny. Výsledné požadované kolorování zobjemované příze se docílovalo přiměřeně sytějším obarvením nesráživé komponenty (většinou stříž Tesil 31), se kterou se sráživá komponenta směsovala. Zobjemování se docílovalo pařením příze.

Nebylo možno přehlédnout teoretickou zajímavost a původnost barvení sráživého aniontově modifikovaného PES vlákna při aspoň částečném splnění tak vážné limitující podmínky jako je podstatnější nenarušení jeho sráživosti. Vedle řešení praktických koloristických otázek (jen okrajově jsou zmíněny

v příspěvcích I až III) jsem se zaměřil na teoretické propracování této oblasti barvírství. Postupným zobecňováním a teoretickým rozpracováním získaného experimentálního základu vznikla řada prací zveřejněná na různých koloristických konferencích, kongresech ij.

V této souvislosti prosím o omluvení některých nedůsledností v terminologii a odlišném označování fyzikálních veličin.

Bylo to způsobeno mj. větším časovým odstupem některých prací.

Předložené práce se dotkly jistě četných teoretických otázek, z nichž zdaleka ne všechny mohly být řešeny. Přesto se domnívám, že dosažené výsledky představují aspoň základní teoretické zmapování netradiční oblasti barvírství polyesterovalých vláken v oblasti skelného přechodu. Konkrétnější komentáře jsou u jednotlivých příspěvků.

Některé experimentální přístupy při řešení výše uvedené problematiky navazovaly na problematiku popsanou v příspěvcích XI a XII. Zde jde o otázky tzv. praktických-nerovnovážných saturačních hodnot, na které se naráželo při běžném barvení aniontově modifikovaných PES vláken (konkrétně: Tesilu 31) kationtovými barvivy. Podobně jako výše uvedené barvení sráživého PES vlákna byla i tato problematika předtím teoreticky téměř nezpracovaná. Domnívám se, že v obou oblastech lze některé poznatky a formulované vztahy považovat za prioritní.

Pouze jako doplněk dokládající obecnější aplikace některých zkušeností a výsledků získaných v předcházejících příspěvcích dokumentují nakonec zcela stručně dvě monografie (přisp. XIII a XIV), na nichž jsem se autorský podílel.

Za četné podněty k teoretickým interpretacím, za vyhotovování programů i zajišťování výpočtů jsem zavázán p. Doc. Ing. Jiřímu Militkému, CSc. Za jeho podnětnou spolupráci mu na tomto místě děkuji. Vzájemnou myšlenkovou účast na společných publikacích odhadujeme zhruba stejným dílem.

Jiří Lysáček

Podrobné citace prací obsažených v kandidátské práci  
(chronologickému pořadí je nadřazeno logické a didaktické  
uspořádání)

- I. Kryštufek, J.: Barvení sráživých aniontových PES-vláken kationtovými barvivy při zachování jejich srážecí schopnosti. SVÚT - Zajímavosti ze zahr. tisku v oboru text. - příloha, 1979/1, s.173-200
- II. Kryštufek, J.: Teoretické aspekty barvení sráživých PES-vláken kationtovými barvivy při zachování jejich srážecích schopností. SVÚT - Zajímavosti ze zahr. tisku v oboru text. - příloha, 1984/4, s.55-148
- III. Kryštufek, J.: Das Färben von anionisch modifizierten Polyester-Schrumpffasern bei niedrigen Temperaturen. Formeln-Faserstoffe-Fertigware 1/89, s.9
- IV. Kryštufek, J., Militký, J.: On practical evaluation of dyeing transition temperature. 12. Kongres IFATCC Světové asociace textilních chemiků a koloristů, Budapest 1981
- V. Militký, J., Kryštufek, J.: Kinetika krašenija anionno modificirovannych poliefirnyh volokon pri nizkikh temperaturach. XII. Mezinárodní kongres soc. zemí INTERKOLOR, Toruň - Polsko, 1981
- VI. Kryštufek, J., Militký, J.: O přechodové teplotě barvení syntetických vláken. Textil 37, s.55 (1982)
- VII. Militký, J., Kryštufek, J.: Aktivační parametry sorpce kationtových barviv na aniontově modifikované vlákno. Symposium FIBRICHEM, Bratislava 1983
- VIII. Militký, J., Kryštufek, J.: Příspěvek ke kinetice barvení A-PES vláken kationtovými barvivy. 16. Mezinárodní konference textilních chemiků, Žilina 1986
- IX. Militký, J., Kryštufek, J.: Optimalisacija procesa krašenija usadočnych A-poliefirnych volokon. XV. Mezinárodní kongres soc. zemí INTERKOLOR, Bucuresti, 1987

- X. Kryštufek, J.: Přenašeče - staronová problematika v barvírství polyesterových vláken. *Textil* 37, s.175 (1982)
- XI. Kryštufek, J., Militký, J.: Souvislost tzv. praktických saturačních hodnot s kinetikou barvicího procesu při barvení Tesilu 31. 10. Celostátní koloristická konference, Pardubice 1974
- XII. Kryštufek, J., Militký, J.: Relationship between the Practical Saturation Value and Dyeing Kinetics of Basic-dyeable Poly ethylene terephthalate Fibres. *J. Soc. Dyers Col.* 96, 117 (1980)
- XIII. Kryštufek, J., Militký, J.: Barvení akrylových vláken a směsí. SNTL, Praha 1986
- XIV. Militký, J., Vaníček, J., Kryštufek, J., Hartych, V.: Modifikovaná polyesterová vlákna. SNTL, Praha 1986

Barvení sráživých aniontových PES-vláken kationtovými  
barvivy při zachování jejich srážecí schopnosti  
(„Zajímavosti“ SVÚT, 1971/l,s.173)

Publikace přináší první - možno říci ještě hrubé - zmapování hlavních teoretických, technologických i laboratorně-experimentálních problémů barvení sráživých PES-vláken při zachování jejich srážecích schopností.

Jsou uvedeny průběhy sorpce standardního barviva Methylenblue BP na Tesil S při různých teplotách. Bylo zjištěno, že v teplotní oblasti  $30 - 50^{\circ}\text{C}$  se sorpce barviva realizuje převážně adsorpčí v počáteční fázi barvení. Byl učiněn pokus tuto „okamžitou adsorpci“ posoudit přímým experimentálním měřením. Výsledky přibližně souhlasí s teoretičkou sorpcí A v čase  $t \rightarrow 0$  vypočtenou z experimentálních bodů pomocí Jelínkovy kinetické rovnice zahrnující počáteční adsorpci:

$$C_t = C_\infty [1 - e^{-kt}] + A e^{-kt}$$

Vzhledem k nemožnosti přímého mikroskopického pozorování byla hloubka proniku barviva do pod povrchových vrstev posouzena na základě zjednodušujících předpokladů:

- stejnoměrného rozmístění vazných skupin (sorpčních bodů) po celé hmotě vlákna
- docílování maximálního vysycení v dostupné - probarvené vrstvě.

Z obsahu síry 0,293% a z obsahu karboxylových skupin  $80,200 \text{ mval} \cdot \text{kg}^{-1}$  (zde byla předpokládána jejich účast na sorpci) lze pak zjistit hloubku proniku  $h[\text{mm}]$  podle vztahu:

$$\frac{h}{\rho} = \frac{1}{S_{\max}}$$

kde  $S_{\max}$  je teoretická (rovnovážná) saturační hodnota,  $S_p$  je saturační hodnota dosažená za praktických - krátkodobých podmínek a  $\rho$  je poloměr vlákna [mm].

Bylo učiněno srovnání s velikostí molekuly respektive iontu použitého barviva, která činí:  $1,6 \times 0,83 \times 0,35 \text{ nm}$ . Pouze za nejméně intenzifikovaných podmínek (tj. bez přenašeče a za  $40^{\circ}$ ) se přibližně shoduje tloušťka vrstvyobarvené při po-

čáteční adsorpci ( $h=2,16$  nm) s délkou barevného iontu. Zejména za přítomnosti přenašeče je nutno předpokládat i v čase  $t \rightarrow 0$  rychlou penetraci výrazněji pod povrch vlákna.

V příspěvku I jsou krátce zmíněny i technologické problémy a zjištěný výběr vhodných barviv.

Ing.-Jiří Kryštufek, Státní výzkumný ústav textilní Liberec  
BARVENÍ SRÁŽIVÝCH ANIONTOVÝCH PES-VLÁKEN KATIÖNOVÁM  
BARVIVY PŘI ZACHOVÁNÍ JEJICH SRÁŽECÍ SCHOPNOSTI

1. Úvod

Modifikace polyesterových stříží pro získávání přízí vysoce sráživého - objemovatelného typu vychází z celospolečenského požadavku na uplatnění domácích syntetických vláken i do oblastí, které byly z kvalitativních důvodů vyhrazeny převážně dovaženým vláknům vlněným.

Vývoj v oblasti syntetických vláken s sebou nezbytně nese požadavky i na zvládnutí nových problémů v textilně-aplikacní oblasti. Nejdůležitějším okolností ve strojně-technologickém vybavení našich podniků je nedostatečná kapacita pro barvení přízí. Proto vznikl požadavek barvit vysoce sráživá vláhna ještě ve stadiu volného materiálu nebo česaného – tedy před zobjevenováním. Z toho plynne nezbytnost uchování srážecí schopnosti v uspokojivé míře v průběhu barvení, což lze zařídit jedině odpovídajícím smíšením teplovy barvení. Empírické zkušenosti s tímto postupem byly v posledních letech získány při barvení disperzními barvivy. Podstatné snížení teploty umožňuje ovšem dosažení pouze světlých vybarvení, která však pro podstatnou část módních požadavků dostatují.

Nově vyvíjené modifikace vysoce sráživých PES-vláken obsahují jako jednu z hlavních modifikačních složek sodnou sol

DT: 677.027.4:677.494.674

Barvení PES vláken

DT: 677.027.4:677.494.674

Barvení PES vláken

kyseliny 5-sulfiozoftalové, což otvírá možnost jejich barvení kationtovými barvivy /1/. Kationtová barviva umožňují docílit vybarvení o výšších stálostech v potu, v praní, v chemickém čistění, v sublimaci (při ženlení) aj. Laboratorní průzraz tohoto koloristického systému s cílem uchovat srážecí schopnost vlákna během barvení byl v poslední době před - mětem vedlejším SYNT v Liberci. Ze základní limitující podmínky vyplynula zcela neortodoxní koloristická problematika - barvení za značně snížených teplot, které patrně nepřekvapují bod skeletního přechodu polymeru. Vytěžení barviva z lázně na vlákně zde probíhá převážně formou rychlé povrchové adsorpce. Dležitou roli výkazuje použití přenašeče. Hlubší probarvení a tím plnohodnotné vybarvení se získá po dodatečném tepelném zpracování při objemování príze. Článek informuje o některých obecněji zajímavějších přístupech k řešení, získaných výsledcích a teoretických aspektech.

## 2. Experimentální část

Textilní materiál: kopolyesterová střík Teslu S obsahující mimo jiné modifikativní komponenty 1,75 % sodné soli kyseliny 5-sulfiozoftalové,

jemnost:	3,36 dtex, délka střihu 112,25 mm
materiál:	0,4 % TiO <sub>2</sub>
obsah diethylenglyku:	1,99 %
LVC:	0,564
bod tání:	229,9 °C
pěnnost:	3,49 p/dtex
tažnost:	29,2 %
obsah S:	0,293 %
obsah COOH:	8,02 · 10 <sup>-5</sup> <del>nativol</del>

Z chemického složení a podmínek zvláštnování plyne srážecí schopnosti Teslu S ve vronci vodě - viz tabulka (vlastnosti vlákn a zjištěny výzkumným odborem výrobního podniku SILON v Plzni/Luž.) V tabulce 1 je zároveň uvedeno ovlivnění srážecí schopnosti barvením.

Státní výzkumný ústav textilní, Liberec	174	Tabulka 1

Státní výzkumný ústav textilní, Liberec

175

Tabulka 1 Srodečecí schopnost stříže Tesilu S po barvení za různých podmínek (lázen 1 : 70), přenášet = Spolapren X (na bázi naftalen - difenyl - xylen)

teplota [°C]	doba [min.]	přenášec	srodečecí schopnost za varu [%]
50	15	bez	24,63
	50	bez	22,55
	15	0,1 g/l	22,14
	50	0,1 g/l	22,13
	30	0,5 g/l	20,39
	30	1,0 g/l	19,93
60	30	2,0 g/l	19,13
	20	bez	17,25
	20	0,5 g/l	16,66
	60	0,5 g/l	15,04
	20	1,0 g/l	16,35
	60	1,0 g/l	13,90
65	20	bez	13,43
	20	0,3 g/l	12,86
	20	1,0 g/l	11,70
	60	1,0 g/l	9,20

Vidíme, že barvením při 50 °C bez přenášeče je srodečecí schopnost ovlivněna minimálně (zhruba o 2 %). Změna nastavá již po nejkratší době - doba zpracování je bez vlivu. Vliv přenášeče (používán je tuzemský Spolapren X na bázi: naftalen - difenyl - xylen) na nezádoucí vyzáření při barvení v lázni o teplotě 50 °C je výraznější patrný až od koncentrace 0,5 g/l (tj. 3,5 % z hmotnosti vlákn) výše.

Při 60 °C dochází k poklesu srodečecí schopnosti na 15-17 %. Prodloužení doby barvení ze přípomostní přenášeče zde vede k patrnému snížení srodečecí schopnosti - zřejmě v důsledku hloubšeho proniknutí přenášeče do nitra vlákn.

Při 65 °C je ztráta srodečecí schopnosti závažná (zhruba kolm 12 %), tažže pro většinu účelů již tato teplota barvení nemže být využita. Stupňování dávky přenášeče přitom nepřináší několik negativně jako produkování doby zpracování v přenášeči (pokles na 9,2 %).

Z této výše uvedené výplývají požadavky na observaci stříže Tesil S při 50 naneyjí 60 °C. Podrobnejší průzkum byl proveden pomocí standardního barviva Methylaniline BP (col. Index Basic Blue 9/52015 - kvalita "Standard Soc. Dyes & Colourists", 96,6%).

Před barvením byla stříž Tesil S ikrát předeprána krát opakováním zpracováním 20 minut při 45 °C v lázni 1:50

- o složení:

1 g·l<sup>-1</sup> Slovapon N (neionogenní prací přípravek)  
3 g·l<sup>-1</sup> NaCl

Státní výzkumný ústav textilní, Liberec	176
---	-----

	Státní výzkumný ústav textilní, Liberec
--	---

Následovalo proplachování vodou 40 °C teplou až do vymizení pěnění.

Obsah prepartace (neionogenní) v plv.vzorku ..... 0,28 %  
po 1. praní ..... 0,05 %  
po 3. praní ..... 0,02 %

(Poznámka: bylo ověřeno, že barvici chování takto vypraného materiálu se neliší od materiálu extrahovaného petrolétem.)

Podrobns pozornost byla věnována různým způsobům proplachování materiálu po barvení a to jak z technologického hlediska, tak i z hlediska reproducovatelnosti pokusu a diferenciace v závažnosti barviva podle pevnostní vazby vláknem. Následuje klinická studie zahrnující výsledky dosažené s tzv. opalchem A (trojčlánkové opláchnutí ve vodě 30 °C teplé po dobu 10 s s mezioddílumem po každém opláchnutí). U dálé následujícího sledování počáteční adsorpce byl paralelně realizován i tzv. opalch B (t.j. navíc trojnásobné propláchnutí ve směsi voda - etanol 2 : 1 o teplotě 20 ± 1 °C) - s přihlédnutím k práci Jina a Catese o reprodukovatelném odstraňení povrchové adsorbované přenášecové vrstvy /2/.

Z praktického hlediska bylo ověřeno, že stálost v otěru u vybarvení v tomto stadiu dosahuje nejvyššího stupně stupně - vylepšení na způsobu propláchnutí (jde o velmi světlá vybarvení). Přesto je třeba v praxi věnovat starost převyšetného libidinu v závažnosti barviva popř. i přenášeče péci, aby se předcházelo možnému zanášení mykacích povlaků.

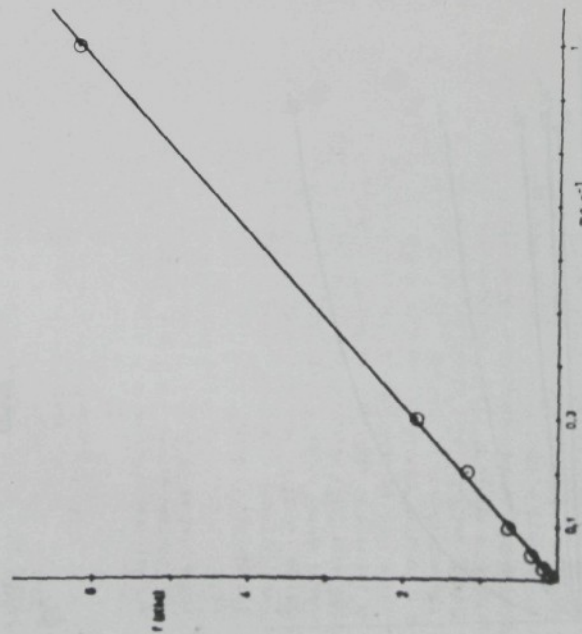
Barveno bylo na přístroji Fretema - Multicolor s mísoucí cirkulační lázní materiálem při poměru lázně 1 : 70. Základní příslušky do lázně:

$$\begin{array}{ll} 0,3 \text{ g} \cdot \text{l}^{-1} & \text{kys.octové 100%} \\ 1,0 \text{ g} \cdot \text{l}^{-1} & \text{bezvodého octanu sodného} \\ x \text{ g} \cdot \text{l}^{-1} & \text{Spolupřenu X} \end{array}$$

Po vytopenování lázně s materiálem na sledovanou teplotu se přídá emulze přenášeče a po 5 min. rostok barviva. Po sledovaném čase se lázeni odpustí a materiál se definován opláchně.

Zjištování koncentrace barviva na vlákně se udávalo být samo o sobě složitým problémem, vzhledem k neobvykle nízkým koncentracím barviva na vlákně, popř. v lázni. Extraktivní i rozpouštěcí metody poskytovaly z tohoto důvodu neuspokojivou přesnost, fotokolorimetrie zbylých lázní byla používána jen u pokusu bez přenášeče. Osvědčilo se určování reflektance vybarvení (přístroj Elrepho RFA2 za pronikání úzko-závodních filtrů) a výpočet z Kubelka-Munkový rovnice na základě kalibracních vybarvení (viz obr.1). Stejnoměrně probarvení u všech srovnávacích vzorků bylo zajištěno dodatečným jednohočinným zpracováním při 115 °C ve slepé lázni za přídavku 1 g \cdot l^{-1} přenášeče. Většině barvivo zůstává za těchto podmínek vězáné na substrát.

Obr. 1



Průběh hodnot Kubalka - Munkovy funkce v závislosti na koncentraci barviva Methylene Blue BP na Tessilu S

### 3. Výsledky a jejich diskuze

#### 3.1 Kinetika barvení

Na obr. 2 až 5 je zachyceno izotermní vytahování barviva Methyleneblue BP na Tessil S za teplot 30 až 80 °C (popř. 40 až 70 °C) odstupnovených po deseti stupních při dosačení koncentrace 0, 0,3, 1 a 3 g/l.

Přehledné zde uvedeme význam "klíčových" výsledků (po opláchnu A):

teplota $t^{\circ}\text{C}$	dosačení přenášecí $\left[\text{g/l}\right]$	sorpcí konstanta $S \text{ mg/g}$	
		po 4 min.	po 60 min.
40	0	0,02861	0,03804
	0,3	0,06365	0,1076
	1,0	0,0910	0,1360
	3,0	0,1196	0,1778
60	0	0,04878	0,07633
	0,3	0,1290	0,2366
	1,0	0,2160	0,4198
	3,0	0,3044	0,6023

Můžeme konstatovat:

- při 30 až 50 °C se sorpce barviva převážně realizuje adsorpce v první velmi krátké fázi barvení,
- od 60 °C (za příseady přemísťecé při nižších teplotách) se výrazněji uplatňuje difúzní vyčerpávání barviva z lázně,

	Státní výzkumný ústav textilní, Liberec	180
--	---	-----

	Státní výzkumný ústav textilní, Liberec	181
--	---	-----

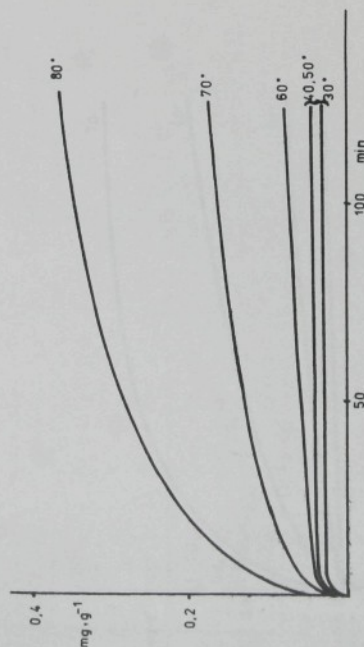
IT: 677.027.4:677.494.674

Barvení PES vláken

DK: 677.027.4:677.494.674

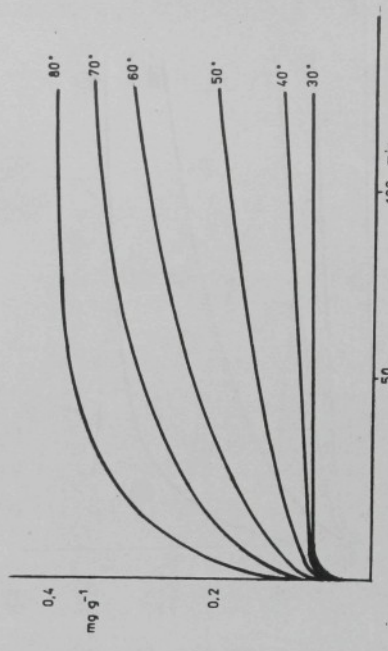
Barvení PES vláken

Obr. 2



Průběh izotermní sorpcie Methylene Blue BP na Tesil S  
při různých teplotách bez přenášecí

Obr. 3



Průběh izotermní sorpcie Methylene Blue BP na Tesil S  
při různých teplotách za přítomnosti 0,3 g·l⁻¹ Spolu-  
druhu X

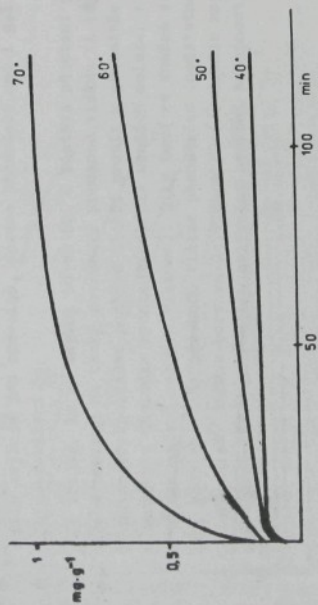
Státní výzkumný ústav textilní, Liberec	182
Státní výzkumný ústav textilní, Liberec	183

DT: 677.027.4:677.494.674

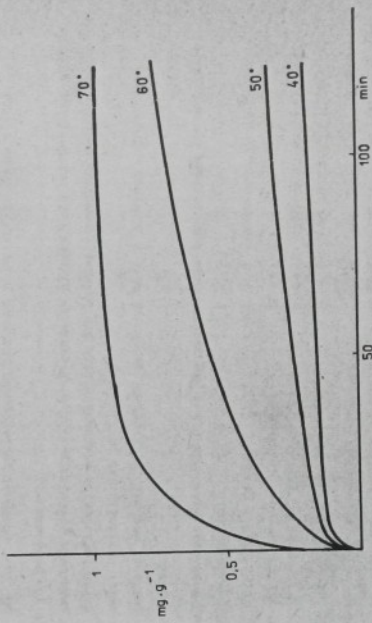
Barvení PES vláken

Barvení PES vláken

Obr.4



Obr.5



Průběh izotermní sorpcie Methylene Blue BP na Tesil S  
při různých teplotách za přítomnosti 3 g·l⁻¹ Spolu-  
prenu X

Průběh izotermní sorpcie Methylene Blue BP na Tesil S  
při různých teplotách za přítomnosti 3 g·l⁻¹ Spolu-  
prenu X

Státní výzkumný ústav textilní, Liberec	184
Textilka	185

Textilka	185
----------	-----

- se zvyšováním teploty se zvyšuje počáteční i finální sorpcie,
- vycházíme-li z krájnho prakticky použitelného případu (60 °C, 60 min., příseada 1 g·l<sup>-1</sup> Spolápremu X), pak získávána na vlákně cca 0,04 % standardního barviva Methyleneblue BP. Tomu odpovídá 0,1 až 0,15% vybarvování kationtových barviv běžné obchodní síly,
- k zvýšení dosažitelné sytosti odstínu podstatně přispívá příseada přenašeče k lázní. Dosece 0,3 g·l<sup>-1</sup> Spoláprenu X umožňuje zvýšit sytost zhruba na trojnásobek proti barvení bez přenašeče (při 30 až 60 minutovém barvení, lázen 1:70). Zvyšováním koncentrace přenašeče se systédu zlepší, jen povolně, dosece přenašeče nad 1 g·l<sup>-1</sup> je neefektivní.
- Je zřejmé, že za teplot 50 až 60 °C zůstává působení přenašeče omezeno na tenký povrchový prostor vláken (i když je nutno předpokládat poněkud hlubší pronik u přenašeče než u barviva v důsledku rychlejší difuze menších molekul a jiného charakteru vazby s vláknem). Díky tomu se značně sníží efektivita skelného přechodu vláken přenašečem (podstatné pro urychlení difuze barviva do vlákná /2-6/ nemůže například výrazně projevit v patrnějším ovlivnění srážecí schopnosti vlákn).

Přímé sledované hloubky proniku barviva (a tím méně přesně) nejdou míté pro příliš svrhlé vybarvení a celkově nepatrnou hloubku proniku. Pro tonecké posouzení stupně proniku barviva do pod povrchových vrstev jsme využili ze vzorce (za předpokladu kruhového průřezu vlákna a h ≈ r):

$$\frac{G}{Q_p} = \frac{\pi}{2h} \quad (1)$$

kde

r ... poloměr vlákna /mm/,

h ... hloubka probarevaní od povrchu vlákn /mm/,

G ... celková hodnota jednotkového úseku vlákn,

Q<sub>p</sub> ... hodnota probarevaného prostence jednotkového úseku vlákn.

Za předpokladu:

- oměsáho počtu sorpčních bodů (vazebních míst) v celé hmotě vlákn stejněm rozložených a dosažitelných pro barvivo (saneďaní nepobarvitelnosti krystalického podilu),
- docílení maximálního využití sorpčních bodů v dostupné - probarevané vrstvě,
- lze povolovat hodnoty G a Q<sub>p</sub> za umělé maximální sorpcí barviva (saturaci hodnotami):

$$G = \text{konst. } S_{\max} \quad (2)$$

$$Q_p = \text{konst. } S_p \quad (3)$$

kde

$S_{\max}$  ... teoretická (rovnoměrná) saturací hodnota /mg·g<sup>-1</sup>/,

$S_p$  ... saturací hodnota dosažená za podmínek odpovídajících probarevaní povrchového prostence /mg·g<sup>-1</sup>/.

DT: 677.027.4:677.494.674

Barvení PES vláken

DT: 677.027.4:677.494.674

Barvení PES vláken

Spojení vstah (1), (2), (3) dopisváme k výrazu

$$\frac{F}{h} = \frac{2 S_{\max}}{S_p} \quad (4)$$

Z analytického sijátkového obrazu sítky 0,293 % výplýva /7/, že na sledovaném vzorku Textilu S se přes sulfatočerniny může teoreticky vznout 91,380 mgval.kg<sup>-1</sup> kationtového barviva.

V neutrálním a slabě kyselém prostředí se na vzbě barviva podílejí i karboxylové skupiny /8/, jejichž ekivalent, který byl analyticky stanoven /7/, je 80 mgval.kg<sup>-1</sup>.

Pro Methylensblue SP (v jakosti "standard S.D.C." 96,6% a molek. hmotnost 319,646) se toho výplýva teoretická saturacní hodnota Textilu S:

$$S_{\max} = \frac{21,38}{1,000} \cdot 319,848 \cdot \frac{100}{96,8} = 30,194 \text{ mg.g}^{-1}$$

při sorpci přes -SO<sub>3</sub><sup>-</sup>

$$S_{\max} = \frac{21,38 + 80,20}{1,000} \cdot 319,848 \cdot \frac{100}{96,8} = 56,693 \text{ mg.g}^{-1}$$

při sorpci přes -SO<sub>3</sub><sup>-</sup> a -COO-

V tabulce 2 je vyjádřen poměr r/n i absolutní velikost proniku h (poloměr vlivu), je za předpokladu kruhového přířešku roven 9,07 · 10<sup>-3</sup> mm pro teoreticky případ ohnatositní potenciální adsorpce A v čase t = 0.

Hodnota A byla vypočtena na základě podložení experimentálních dat tsv. Jelinkovou klasickou rovnici:

$$C_t = C_\infty [1 - \exp(-K \cdot t)] + A \cdot \exp(-K \cdot t) \quad (5)$$

Tabulka 2 Vypočtená hloubka proniku h a poměr r : h při potenciální adsorpci (určené z Jelinkovy kinetické rovnice) za některých typických podmínek, oplach A, předpoklad vysycení -SO<sub>3</sub><sup>-</sup> i -COO- skupin

koncentrace přemísťovací	teplota	potenciální adsorpce /mg.g <sup>-1</sup> /	r : h	h /nm/
bez	40	0,027	4 199,5	2,16
	50	0,033	3 435,9	2,64
	70	0,032	3 543,3	2,56
0,3 g/l	40	0,056	2 024,8	4,48
	50	0,084	1 349,8	6,72
	70	0,14	809,9	11,20
1,0 g/l	40	0,095	1 193,5	7,60
	50	0,106	1 069,7	8,48
	70	0,240	472,4	19,2
3,0 g/l	40	0,11	1 030,8	8,80
	50	0,192	590,6	15,35
	70	0,278	407,9	22,2

kde

$C_t$  ... koncentrace barviva na vlákně v čase t,  
 $C_\infty$  ... koncentrace barviva na vlákně v rovnovážném stavu (předpokládalo se 100% vytáčení v rovnovážném stavu),  
 $K$  ... rychlostní konstanta [min<sup>-1</sup>].

Theoreticky odvozená hloubka proniku (založená na předpokladu ekvivalence mezi všemi vaznými skupinami a adsorbovanými ionty barviva) se pohybuje v rozmezí od 2 do 20 nanometrů (tab.2). Molekula barviva Methyleneblue BP vykazuje rozměry /9/:

$$1,6 \times 0,83 \times 0,35 \text{ nm}$$

Z velikostního srovnání tedy vyplývá, že pouze při adsorpci za nejméně intenzivních podmínek (bez přenaseče, nejnižší zkoumané teploty) odpovídá adsorbované množství přibližně počtu aniontových vazných bodů, které se nalézájí v povrchovém prostoru o tloušťce odpovídající délce barevného iontu (t.j. 1,6 nm; Není pravděpodobné, že by šlo o multimolekulární povrchové např. u molekul barviv disperzních (ostatně při intenzivním opačku B zameřeném právě na odstranění povrchového lalíně vásaného barviva se získávají jen nepodstatně nižší hodnoty sorpcie). I když podstata adsorptivního mezipáru by vyžadovala značně podrobnějšího rozboru, je zřejmo, že už i při zmíněných minimálních podmínek dochází k určitému proniku do pod povrchových vrstev. Přitom je zajímavý okamžitý charakter této sorpcie za podmínek, kdy kinetika procesu je dalekosáhlé potlačena, přestože

v lázni je stále relativně nadbytek barviva. V navaujícím edělém bude pojednáno o využití těchto poznatků pro určení barvířského ekvivalentu bodu skeletního přechodu.

Státní výzkumný ústav textilní, Liberec	190
Státní výzkumný ústav textilní, Liberec	191

**4. Experimentální použití okamžité adsorpce**

Vzhledem k tomu, že se za nižších teplot projevila jako rozhodující činitel použití adsorpce, podrobili jsme toto oblast podrobnějšemu experimentálnímu průzkumu. Realizovali jsme sorpcní pokusy v časech 30, 60, 120, 240 s. Použito bylo kyvadlového barvicího přístroje Akiba s košickou výměnou, který umožňuje přesné zajistit krátké barvici časy. Ostatní podmínky byly stejné jako u předchozí kinecké série (reprodukčelnost lze považovat za uspokojivou - viz tab. 3 a 4).

Tento sérii se experimentálně prokazuje:

- sorpcie "bez přenašeče" při 30 °C má okamžitý charakter.
- Pri oplachu B však lze i v tomto případě zaznamenat náznak časové závislosti sorpcie, což svědčí o určitém (i když nepatrném) uplatnění difuze do podporcových vrstev i za těchto podmínek. Pri 50 °C je tento trend výraznější;
- u pokusu s přenašečem je časová závislost bezesporuň.

Zhruba 2/3 pozorované sorpcie se realizuje do 30 s, další příjem je "difuzní" (do 240 s), výraznější časová závislost se vyskytuje po oplachu B;

- použití sorpcie roste s teplotou (což je typické pro chemisorpcii).

Z praktického hlediska vzniká pak přirozený otázka, zda rozhodující uplatnění rychlé počáteční sorpcie na výstavbě odstínu při barvení v oblasti 50 až 60 °C nebude mít za následek hrubé neegality. K tému by skutečně doslovo při-

**Tabela 3 Sorpcie Methylen Blue BP na Testil S v sekundových časech bez přenašeče při teplotě 30 a 50 °C (po oplachu A a B)**

teplota / °C /	doba bárení / s /	sorpcie / mg g⁻¹ / oplach B
30	30	0,03000
	60	0,02701
	120	0,02519
	240	0,03129
z kinetické série		0,01945
50	30	0,03864
	60	0,03593
	120	0,03695
	240	0,04291
z kinetické série		0,01510

Tabulka 4 Sorpcie Methylen Blue BP na Tessil S v sekundových časech z lázně 1:70 obesnající 0,3 g/l Spolprenu X při 30 °C a 50 °C

teplota [°C]	doba barvení [s]	sorpcie [mg.g <sup>-1</sup> ] oplach A	sorpcie [mg.g <sup>-1</sup> ] oplach B
30	30	0,03406	0,01875
	60	0,03451	0,02070
	120	0,04390	0,02544
	240	0,05063	0,03180
z kinetické série		4 min.	0,06037
50	30	0,06648	0,04549
	60	0,07040	0,05271
	120	0,08540	0,06620
	240	0,09917	0,08758
z kinetické série		4 min.	0,09032
			0,07589

použití omezeného množství barviva - např. veškeré barvivo vy se mohlo natáhnout na první vrstvy materiálu, a kterými by lázeň přišla do styku. Tomu však lze čelit jednoduchým opatřením, které je možno připustit právě jen u těchto světlých vybarvení - jde o použití udeiného nabytku 'barvičky' v lázni. Zároveň překročíme praktickou saturací hodnotu /12, 13/, takže i na konci barvení je vytázaní lázně nižší (kolem 40 až 60 %; to v této oblasti systému odstínů nepochází závadu ani technologickou ani ekonomickou. Výsledkem tohoto opatření je to, že i např. opožděně smocená města v bloku materiálu přicházejí do kontaktu s lázni o jen nepodstatně nižší koncentrací než měla lázeň původně.

DT: 677.027.4:677.494.674

Barvení PES vláken

DT: 677.027.4:677.494.674

Barvení PES vláken

Stálosti a výběr barvív pro praktické barvení

Odstín a stálosti vybarvení je třeba hodnotit až po objevování, které se provádí patením při 115 °C 10 až 15 min. Laboratorně se dosahuje ekvivalentních výsledků 30tisinkutovým zpracováním ve vroucí vodě nebo při 105 °C 20 min. v láně:

0,5 ml·l <sup>-1</sup>	kys.octové led.
3,0 g·l <sup>-1</sup>	NaCl (pro omezení hydrolytického poškození vlnky)

Během objevování proběhne dostatečná difuze barviva z povrchových vrstev hlouběji do nitra vláns, což se odrazí podstatným zlepšením stálosti a prohloubením odstínu. Stálosti mokré a v sublimaci se po objevování blíží nejrychší hodnotě (jde o velmi světlý vybarvení), naproti tomu kritická je stálost na světle - přestože i zde dochází objevováním ke zlepšení o pol až jeden stupen. Na základě širokého průzkumu určíme výběr použitelných barviv v tab.5, u nichž se dosahuje stálosti na světle minimálně 4. Zároveň je uvedeno % násadní výtostí, které zajistuje dostatečné překročení praktické esturace barviva potřebné z hlediska egálnosti (při barvení s přísluhou 1 g·l<sup>-1</sup> Spolpřemu X).

V tabulce můžeme zároveň sledovat, že negativní ovlivnění stálosti na světle přenášedem je prakticky zanedbatelné.

Tabulka 5 Stálosti na světle u vybraných pálety barviv kationtových obarvaných na Tesiliu S při 50 °C/20 min. po lénovém objevování při 105 °C/20 min.

Vybarvení	Vybarvení	Stálost na světle přísluhou Spolpřemu X		
		bez	0,3 g/l	1 g/l
0,1 % Astrazongelb 7 GL		4-5	4	4
0,1 % Astrazongelb 8 GL		4-5	4	4
0,1 % Astrazongelb GRL		4-5	5	5
0,1 % Astrazongoldgelb GL		5-6	5	5
0,1 % Basacrylgelb 7 GL konz.		4-5	4	4
0,1 % Basacrylgelb X-4GL konz.		4-5	4	4
0,1 % Basacrylgelb 5RL konz.		5-6	5	5
0,15% Maxilongelb 3 GL		4	4	4
0,1 % Maxilongelb 2RL		5-6	5-6	5-6
0,1 % Sandocrylbrillant gelb B-6GL konz. 200 %		4-5	4	4
0,1 % Crypurgelb 50 GL		4-5	4	4
0,1 % Kationnyj želzyj 4Z		4-5	4	4
0,1 % Crypurorange GL		5-6	5	4-5

Výbarvení	Stálost na světle příseada Spolarenu X		
	bez	0,3 g/l	1 g/l
0,1 % Bassacrylrot GL konz.	5-6	5	5
0,1 % Maxilonrot BL	4-5	4	4
0,1 % Kationyj krasnyj 2S	5	4-5	4-5
0,15 % Astrazonblau 5RL	5	4-5	4-5
0,1 % Astrazonblau FRR	5	4-5	4-5
0,2 % Astrazonblau FGOL	5	5	5
0,15 % Astrazonblau NBL	4-5	4-5	4-5
0,2 % Astrazonblau TOL	4-5	4-5	4-5
0,1 % Astrazonblau HG	4-5	4-5	4-5
0,1 % Bassacrylblau GL konz.	5	5	5
0,1 % Bassacrylblau X-30L konz.	5	5	5
0,15 % Maxilonblau R-BL	5	5	4-5
0,15 % Maxilonblau GAL	4-5	4-5	4-5
0,15 % Maxilonblau GL	5	5	5
0,15 % Maxilonblau 3 GL	4-5	4-5	4-5

Výbarvení	Stálost na světle příseada Spolarenu X		
	bez	0,3 g/l	1 g/l
0,15 % Sandocrylbleau B-RLK	5	4-5	4-5
0,1 % Sandocrylbleau B-3G	4-5	4-5	4-5
0,1 % Crypurblau 2RL	3-4	3-4	3-4
0,15 % Crypurblau GL	4-5	4-5	4-5
0,1 % Kationyj sinij 2K	4-5	4-5	4-5
0,15 % Kationyj sinij 2	4-5	4-5	4-5
0,1 % Maxilonbrillant grün 3G	4	3-4	3-4

	Státní výzkumný ústav textilní, Liberec	198
	Státní výzkumný ústav textilní, Liberec	199

Literatura

- /1/ Práhlešská PV - 42 04 - 77
- /2/ Jin, C.R., Gates, D.M.: Amer.Dyest.Rep. 23, s.64 (1964)
- /3/ Aequith, R.S. a spol.: J.Soc.Yers Col. 24, s.49 (1978)  
Text.Res.J. 47, s.446 (1977)
- /4/ Flath, H.J. a spol.: Textiltechnik 28, s.103 (1978)
- /5/ Peters, R.H., Ingamells, W.:  
J.Soc.Dyers Col. 89, s.397 (1973)
- /6/ Ingamells, W., Narssinham, K.V.:  
J.Soc.Dyers Col. 22, s.306 (1977)
- /7/ Sdělení výzkumného odboru n.p.Silon, Plzeň n.Lužnice
- /8/ Rossbach, V., Müller, H., Niessen, D.:  
Textilveredlung, 2, s.339 (1974)
- /9/ Müuler, H.: Zur Färbung anionisch modif. PAH-Fasern mit  
kationischen Farbstoffen, Techn.Universität  
Aachen 1975
- /10/ Galafassi, P. a spol.: Textilveredlung 12, s.250 (1977)
- /11/ Valk, G. a spol.: Nelliand Textilber. 22, s.330 (1978)
- /12/ Kryštufek, J., Suchardová, J., Vohorník, V.:  
Přednáška na 9. Mezinárodním kolorist.  
kongresu "Intercolor", Praha 1973
- /13/ Kryštufek, J.: Čsl.kolorista 1973/16, s.37
- /14/ Kryštufek, J., Milítky, J.: Sdělení v J.Soc.Dyers Col. -  
- v tisku

	Státní výzkumný ústav textilní, Liberec	200
--	---	-----

Teoretické aspekty barvení sráživých PES vláken kation-tovými barvivy při zachování jejich srážecích schopností  
(Zajímavosti SVÚT 1984/4, s.55)

Jde o nejobšírnější sdělení o řešené problematice (93 stran; 96 liter. odkazů).

Střížové PES-vlátko bylo barveno vybraným barvivem Basacrylrot GL (Col.Index, Basic Red 29), které se na základě praktických koloristických metod pro uvažovaný nízkotepelný způsob osvědčilo a poskytuje i vysokou stálost vybarvení na světle.

Stručný přehled hlavních poznatků:

Průběh sorpce při  $50^{\circ}\text{C}$  byl sledován až do extrémní doby 312 hodin, aniž se dosáhlo rovnovážného stavu. Tento široký časový interval je matematicky podchycen Cegarra - Puentovou kinetickou rovnicí modifikovanou na počáteční adsorpci. Pro praxi nejvýznamnější časový interval sorpce (0 - 36 min.) lze matematicky interpretovat jednoduchým vztahem  $C_0 \sim t^{\frac{1}{2}}$ .

Bylo prokázáno zpomalení sorpce barviva objemováním vlákna, což lze uvést do souvislosti s prokázaným zvýšením krystalického podílu vlákna vlivem objemování ve vroucí vodě.

Bylo zjištěno, že od určité - poměrně nízké - koncentrace barviva v lázni probíhá sorpce konstantní rychlostí (kap.4.2). Tato prahová koncentrace se zvyšuje se zvyšující se koncentrací přenašeče v lázni, např. z  $14,3 \text{ mg.l}^{-1}$  (dávka přenašeče  $0,3 \text{ g.l}^{-1}$ ) na  $43 \text{ mg.l}^{-1}$  ( $1 \text{ g.l}^{-1}$ ).

Byl učiněn pokus experimentální sorpční data (získaná při různých koncentracích) interpretovat formou sorpčních izoterm tzv. nerovnovážného typu (kap.4.3). Dosáhlo se dobré shody experimentálních bodů s Langmuirovou rovnicí při respektování pozorovaného úplného vyčerpání lázně v nízkých koncentracích předřazením adsorpčního člena  $\alpha$ .

Ze sorpčních časových závislostí při různých teplotách (kap.4.4) byly určeny přechodové teploty barvení  $T_d$  objektivní výpočetní metodou - pro různé podmínky z posouzení zbylé

srážecí schopnosti po barvení vyplývá, že přechodová teplota smrštění  $T_g$  je nižší než  $T_d$ , z čehož objektivně vyplývá omezená možnost řešení vytříbeného technologického záměru.

V kap. 4.7 je popsáno sledování sorpce přenašeče (a to časové průběhy) při různých teplotách i rozdělovací izotermu při  $50^\circ\text{C}$  (nerovnovážné: pouze při 60 min.) jednotlivých přenašečových komponent.

Posouzeny byly další intenzifikační přísady (4.8), při čemž jsem přihlédl k Rebenfeldově řadě organických rozpouštědel uspořádaných podle zvyšující se plastifikační účinnosti vůči PES-vláknům. Předpoklad o přibližné korelací této vlastnosti s intenzifikováním sorpce barviva se v hrubých rysech potvrdil pozorovaným nejvýraznějším ovlivněním sorpce barviva přídavkem 1,1,2,2-tetrachlorethanu zemulgovaného do lázně (hypotetická teplota tzv. nulové sráživosti  $T_o = -134^\circ\text{C}$ ), následuje chlorbenzen ( $T_o = -33^\circ\text{C}$ ) a trichlorethylen ( $T_o = -18^\circ\text{C}$ ).

Ing. Jiří Kryštufek,  
Liberec

Státní výzkumný ústav textilní

**TEORETIČKÁ ASPEKTY BARVENÍ SRAŽIVÝCH PES VLÁKEN  
KATIOTOVÝMI BARVIVY PŘI ZACHOVÁNÍ JELENÍ SKOŘICE**

**SCHOPNOSTI****1. Úvod**

V letech 1977 až 1981 se koloristická laboratoř odd. zkušlechování SVÚP účastnila průskumu možností barvení nové vyššíých modifikovaných výsadek sraživých PES vláken (ve spojení s ÚZGKV-Dětská Třebová). Slo zejména o variantu pracovné označenou jako Testil S, u kterého bylo využito jako jedná modifikované složky sodné soli kyelliny 5-sulfatoisotakové. Po otevření možnost uplatnění kationtových barviv; o některých poznatečích bylo referováno v tomto článku v časopise v č.l./1979, s.173/1/ a souvislosti, které se postupně podařilo formulovat, je cílem práce tohoto příspěvku.

Náš průzkum vycházel především ze základní omezujeící okolnosti dané současnou tuzemskou textilní apikací záležitostí, tj. z nedostatečné kapacity pro barvení příze. Tím využívá požadavek barvit výsadek sraživé PES vláken jenž ve stadiu volného materiálu nebo česaného – tedy před zobjevením. Z toho plyne nezbytnost uchování sražecí schopnosti během barvení, což lze uspokojivě zajistit jedině odpovídajícím snižením teploty barvení. Dosahuje se až nízkých výstav výbarvení, avšak vzhledem ke spředení nebo selekci s "normálně" barvenou přízí

nesráživého typu tento způsob pro většinu přízí módních odstínů dosloužuje. Provenzf empirické zkoušenosti s tímto stupnem již existují v oblasti barviv disperzních (u vláken Velaia S).

Cílem našeho průzkumu bylo nalezení základních zákonitostí pro aplikaci kationtových barviv při tomto extrémně nizkotepelném způsobu běrvání aniontové modifikovaných sráživých FES vláken. Vytázení barviva z lázně na vláknou zde probíhá převážně formou rychlé povrchové adsoruce. Dležitou roli výkonu účinně vykonává a aplikované přenášeče. Hluboké probarvení, a tím i plnohodnotné vybarvení, se získá po dodatečném tepelném zpracování při objemování příze.

V této publikaci se zaměřujeme na obecné a teoreticky podstatné - v řadě případů dosud nepopsané - výsledky a vztahy, které byly pořízeny a dobre definovatelným a pritom prakticky významným červeným barvivem Basic Red 29 (značení dle Colour Indexu). Zde je učelně připomenut, že aplikace na bílé výběr kationtových barviv (vyběr uveden v cit./1/) ukazuje na obecnou platnost zjištěných zákonitostí - tedy bez ohledu na strukturu barviva a jeho čistotu.

Z dívoucí podrobnoho obecného "zmapování" dosud zcela nedostatečně popsaného barvivo a systému (zejména za tak neorientovaných podmínek) byly podaníky experimentálně v některých případech značně vzdáleny praktickým provozním možnostem. Zejména jde o extrémně dlouhou dobu barvení. Pro členodloučkovou technologii je třeba v tomto ohledu podotknout, že užitečnost těchto studií spočívá v poznání "tam aytem sastupu" - jaký je jeho rovnovážný stav ap. Aplikovatelnost na nejdřívajší konkrétní případy je na příslušných místech naznačena.

## 2. OBECNÁ ČASŤ

### 2.1. Podstate a vlastnosti aniontové modifikované FES vláken sráživého typu

Sledovaná vyrojová varianta polyesterového atmofárového vláknas aráživého typu je založena na chemické modifikaci polyetylentereftalátu kopolymerizaci se dvěma modifikantními komponentami : v reakční směsi se nahradí část kyselinu tereftalové ekvivalentním množstvím kyseliny izosafalové (8 mol % z celk.) a kyseliny  $\text{H}-\text{sulfatoformalové}$  ve formě sodné soli (1,5 mol % z celk.).

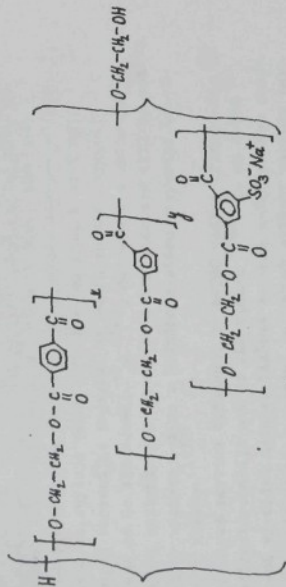
Kyselina izosafalová napomáhá dosažení požadovaného užitného vlastnosti tím, že při kopolymerizaci v důsledku zaujímání své nejvhodnější konformace ohýbá rostoucí řetězec polymeru. Při dloužení se pak makromolekula kopolymeru napřimuje, avšak za cenu vytvoření energeticky náročnějších izomerických struktur. To se po vystavení vláknám vysokým teplotám projeví výraznou sraživostí. Kopolymerizifikaci se současně mění kryštalažení schopnost, což dále usnadňuje vysázaní vláken a zvýšuje svařovací síly (2,3%). Na principu modelování kyselinou izosafalovou je založena řada tuzemských sraživých vláken typu Velaia - kombinováním obsahu modifikantní sloužky, molekulové hmotnosti a podmínek při dloužení lze měnit v širokém rozsahu sraživost a její využitelnost teplotními aji. podmínkami.

Druhá modifikacní komponenta tj. sodná sůl kyseliny  $\text{H}-\text{sulfatoformalové}$  doplníuje modifikaci efekt kyseliny izosafalové ve směru dosažení sraživosti vláken při teplotách pod  $100^{\circ}\text{C}$  a navíc vnesením sulfoskupiny poskytuje vláknu obnovitelnost kationtovými barvivy.

Státní výzkumný ústav textilní, Liberec	56
---	----

Rozvolnění krystatické struktury a zryžení polyblivostí řetězec v nekrystatických oblastech modifikacemi komponentami způsobuje snadší vybarvitelnost i disperzní barvy.

Výslednou makromolekulu lze schematicovat :



lykondenzaci, tak i při zvláštnování z taveniny.

Vlivem bočních reakcí při polykondenzaci veniká z ethylenglykuolu v PES vláknech diethylenglycol (DEG) v množství až do 5 % z hmotnosti vlákna /2/. Z části je DEG vezán v fázích, kde působí jako modifikace kouponanta, která v důsledku alifatické ohněné struktury zvyšuje povahovost fází. Bylo popsáno tomu odpovídající snížení povahovosti, bodu tání i teploty rekristalizace a vzrůst rychlosti barvení se zvýšením obsahu DEG /5/. U studovaného vlákna dosahuje obsah DEG hodnotu 1,97 %.

Méně komplikovaná makromolekulární struktura s poněkud nižší průměrnou polymerční stupňu u aniontově modifikovaných polyglykolterefthalátů se projevuje v nižším bodu tání (nemodifikovaný Tesil : 250 = 252°C, Tesil S : 229,1°C) a ve větší náhylnosti k chemickému poškození. K postupnému hydrolytickému odbourávání řetězce dochází již i za podmínek běžného barvení. Rychlosť hydrolyzy se obecně zvětšuje se stoupající teplotou a s klesajícím pH. Hydrolytickou degradaci vláken při barvení lze znatně potlačit příslušnou neutrálních elektrolytů k léčení, např.  $\text{Na}_2\text{SO}_4$  v dávce 3 = 10 g·l<sup>-1</sup> /6,7/.

#### 2.2 Barvení aniontově modifikovaných PES vláken kationtovými barvivy.

Barvení aniontově modifikovaných PES vláken (dále A-PES) vzniklo v letech v době, kdy jíž bylo možno využít teoretických a praktických poznatků z barvení aniontově modifikovaných polyarylonitrilových vláken (v dalším textu pojde o tuto nejdůležitější podskupinu PAN-vláken). Kvůli stručnosti jíž nebude druh modifikace uváděn). Tato vlákna vytvářejí s kationtovými barvivy obdobný systém. Proto

vzhledem k tomu, že při reseparifikaci s polycarbonací probíhají jistné vdalejší reakce /3,4 a.j./, vykazují realné makromolekuly složitější strukturu, obecněji navíc další skupiny - z nejdůležitějších zejména -COOH (v našem případě  $8,02 \cdot 10^{-5}$  val.kg<sup>-1</sup> val.kg<sup>-1</sup>) vznikající v důsledku hydrolytického, termického a termooxidačního rozkladu jak při po-

	Státní výzkumný ústav textilní, Liberec	58
	Státní výzkumný ústav textilní, Liberec	59

zustaly vývojové práce většinou omezeny na aplikační kolo-  
ričnickou oblast, zatímco teoretických prací je publikováno  
malo.

Barietické A-PES vláken nepřinášelo totiž větší pro-  
spečná matodanu zařízení, tak jak se to stalo nezbyt-  
ným u vláken polyacrylonikrilových. Toretičké průčinky ko-  
loristického výrobního jádra chování A-PES vláken jsou tyto :

- zářivací rychlosť vylahování kationtového bariwu na PAN  
vláknou se zvyšuje velmi prudce s teplotou - aktivační  
energií barvení je nejvýšší ze všech známých systémů  
(užaje až do  $435 \text{ kJ} \cdot \text{mol}^{-1}$ ) /18/, napřesahuje aktivační  
energií kationtových bariw na A-PES vláknách ( $117 \text{ kJ} \cdot \text{mol}^{-1}$ )

- hodnota vykazující se u běžného systému disperzní bari-  
vo/PESS vláknou

- kationtová bariwa difundují do A-PES vláken tříkrát sž  
čtyřikrát pomaleji než do PAN vláken /16/. To na druhé  
straně vytváří vnitrostátnost lžánové bariwu A-PES vláken vhod-  
ně intenzifikovat - používá se jednak zvýšení teploty bar-  
vení na  $110-120^\circ\text{C}$ , jednak přidáván přesnesení /6,9,10/,  
případně i komínace tétoho principu.

Je třeba podotít i s nevhodnými vlastnostmi kationtových bariw na A-PES vláknach :

- stálosti vybarvení na světle jsou obvykle 0 - 2 stupně  
nížší než na PAN vláknach /9,10,11 až/, přestože existuje  
torely pokusy zlepšit tuto vlastnost pomocí stabiliza-  
toru /4,19/.

Uspokojivé využití tento průčinky závažného cho-  
vání nebylo dosud podáno. V oblasti PAN vláken Zollinger 20/  
prakemový standard nároky Wessmann/21/ a Bitzera & Briemai-  
erem /22/ a analýz se dokládat, že stálost na světle je

obecně zvyšuje se vznášející lokalisaci kladného náboje  
na centrální uhlíku bariwu kationtu. Z tohoto hleda-  
nka se rovněž píše značnou význam prstén i využitího protiontu  
výškového stavu na světle, přes SO<sub>3</sub> nebo -OSO<sub>3</sub> se dosahuje  
vysoké až stálé na světle, nikoli v prostředí cívin -COO<sup>-</sup>.  
A výskyt ani v oblasti běžných akrylových vláken nenalezené  
markantní potvrzení této hypotézy - např. marné nálezy  
parciální až anizotropní světllosti kationtových bariw v obor-  
váných na vlákně Courtelle a jeho mnohých licenčních obdo-  
beh, přestože obsahují modifikované komponenty pouze s kar-  
boxylovými skupinami.

- u syntetických vybarvení se narazí na nízkou dosažitelnou  
koncentraci bariwu na A-PES vláknach (9, 11, 12), které  
lze dosáhnout v reálných časech.

Nejdé o nedostatečný počet významných bodů ve výkresu, tyž  
o nemocnost dosahnutí úplného výsledku výsledného vlivu v reál-  
ních časech z kinetických důvodů. V tomto souvislosti byly  
vytěženy pro běžnou koloristiku pořadiny tzv. efek-  
tivní resp. praktické - zdánlivé austratační hodnoty S,  
které jsou na rozdíl od právě rovnovážené saurové hodnoty

zvážitelným případem kinetického kritéria (9-14)

- nedosahují se takové brillance odstínů jako se stejnými  
barvami na vláknách akrylových

Z těchto ohaujících kriterií výsledného nezbytnost výbě-  
ru vhodných kationtových bariw pro A-PES vláknou, přičemž  
paleta využívajících bariw je poměrně užší. Naproti tomu  
výhodnou vlastnosti kationtových bariw na A-PES vláknach  
jsou vysoké stálosti ve vodě, v potu a vysoké odol-  
nosti vůči sublimaci než lze dosahovat se snášecí aplikačel-  
nými bariwy disperzními. Přičinou je pevnější charakter  
vázky.

#### 2.2.2 Vazné síly mezi bariwem a vláknem

V akrylových vláknach mají pro vazbu kationtových  
barw v zásechné význam sulfonové, sulfátové a karboxylové  
skupiny, jejichž hlavním zdrojem je kopolymerace akrylo-

Státní výzkumný ústav textilní, Liberec	60	Thedissen
---	----	-----------

Státní výzkumný ústav textilní, Liberec	61	Draženová
---	----	-----------

nitrilu s vhodnými monomery /18 a.j./ Vedle toho vznikají sulfonové a sulfátové skupiny rozkladem katalyzátoru radikálové polymerace.

Lze povzbať za prokázané, že vazba kationového barvíva se realizuje iontorou výmennu barevného kationtu za vodíkový nebo sodíkový protiont kyselé vazné skupiny/23 - 36/, což bylo Rossbachem a spol./17/ prokádáno i u A-PPS vlákna, do kterého se sulfátové skupiny vnaší prostřednictvím modifikací konponí, tj. sočné soli kyselin 5-sulfatozotálové.

Vedle převážující heteropolární vazby byly naznačena možnost doplňujícího uplatnění neiontových interakcí /21, 26, 32, 37, 38/.

Rovnovážný vztah ustavující se při iontové výměně lze formulovat:



kde:  $X^-$  ... kyselská skupina vlákna,

$\text{Y}^+$  ...  $\text{H}^+$  nebo  $\text{Na}^+$ ,

$\text{B}^+$  ... barevný kationt S pak plyne:

$$K_e = \frac{c_e \cdot h_e}{h_e \cdot c_i} \quad (2)$$

kde  $c_e$ ,  $h_e$  ... koncentrace barvíva a vodíkového iontu ve vlákně,

$c_i$ ,  $h_i$  ... koncentrace barvíva a vodíkového iontu v lázni.

Pro celkovou koncentraci kyselých skupin S pak plyne:

$$S = c_e + h_e \quad (3)$$

Z čehož po dosazení za H<sub>i</sub> do rovnice (2) a vziazení H<sub>i</sub> zde nové konstanty K (vezmědem k reálnemu předpokladu, že se koncentrace vodíkových iontů v lázni během běrení nemění):

$$\frac{c_e}{c_e - c_i} = K_e \frac{c_i}{h_i} = K \cdot c_i \quad (4)$$

Po upravě se získá rovnice odpovídající Langmuirově adsorpční izoterme:

$$c_i = \frac{K \cdot c_e \cdot \delta}{1 + K \cdot \delta} \quad (5)$$

Experimentálně získané hodnoty rovnovážné sorpcie u rady autorů odpovídají (s rozdílem mírou přesnosti) tomuto vzorhu /17, 21, 25, 28, 31, 35, 38, 39/:

Glenz & Beckmannem /2, 3, 24, 25/ a Harwood a spol./35/ navíc upozornili na malý podíl barvíva, který se adsorbuje na PAN vlákně i nad teoretickou saturační hodnotu (naznačují i další autori /40 a dále/ a vysvětlili spattrovali ve varbě rozpouštěcím mechanismem podle Nernstova rozdělení vlastivého záznamu:

$$\frac{c_i}{c_e} = k_{\text{konst.}} = K_{\text{Nern.}} \quad (6)$$

Cenuž odpovídá možnost interpretace experimentálně nalezené závislosti jako součtu Langmuirovy a Nernstovy izotermy. Balfourth pokládá toto pojedí za nedostatečně použitě /25/.

V souladu s iontovým mechanismem výzby se sorpcie kovalenkového barvíva poněkud pouští vlivem elektrolytu a vodíkových iontů v lázni. Přitom je vznik rovnovážné sorpcie se zvyšujícím se pH významný. U PAN byly používány pouze slabé kyselé vazné skupiny -COOH-. Ve skutečnosti významu karboxylových skupin /29/ pro vlastnosti kusej a jednoznačný. Rosenbaum upozornil /29/ na mimořádně vysokou koncentraci kyselých skupin v vláknině, že mimořádně vysoké rovnovážné sorpcie se projektem poslatem dílčími vlivem zvyšující se koncentrací vodíkových iontů i u sulfátovitých skupin.

U A-PES vlákna Rossbach a spol./17/ dokazují, že pH 1,8 se kvantitativně vyučuje (pri 100°C) jen sulfátovitiny - u Dacronu T64c je saturační hodnota 88 mg.vl.kg<sup>-1</sup>.

	Státní výzkumný ústav textilní, Liberec	62
	Státní výzkumný ústav textilní, Liberec	63

Zstávmo pH 4,5 neví i karboxylové skupiny - celkem pak 109 mval.kg<sup>-1</sup>. Příslušnost sulfatuční skupin se zvyšuje s teplotou v rozmezí 50 - 100 °C přibližně lineárně (při 80 °C S-hodnota pouze 50 mval.kg<sup>-1</sup>). Vysoceváni karboválových skupin konatakoval u A-PES vláken až nad 90 °C, takže týmky nad touto teplotou se objevují rozdíl u sestraňích hodnot v závislosti na pH.

Zlepšitelnost závislosti rovnovážných konstant bylo stanoveného standardního teploty bárynu, které u Dacronu T4c činí při pH 1,8 - 38,8 kJ.mol<sup>-1</sup>, při pH 4,5 - 61,3 kJ.mol<sup>-1</sup>.

#### 2.2.2 Kinetika bárvicího procesu

Mězi povrchem vláken a vodní lázně se okamžitě ustavuje elektrický potenciál, který lze měřit jako elektrokinetický (tzw. zeta) potenciál. U PAN vláken byly nalezeny hodnoty zeta-potenciálu kolem -50 mV/24,33/.

Bárené kationty se okamžitě adsorbuji na povrch vláken v množství odpovídajícím vykompenzování negativního zeta-potenciálu vláken. Diffuzi bárených kationtů do pod povrchových vrstev se negativní potenciál na povrch vláken znovu časovně ohonuje, což vede k delší postupné plynulej adsorpce bárených kationtů až do ustavení rovnovážného stavu/24,25,33/.

Carbonell v této souvislosti upozorňuje, že diffúzni děj nazývá ze adsorpcií natočí běrostředně, že izolované experimentálně sledované samotné adsorpce bárviva není reálně zavést/33/.

Zvláštností systému kationtové bárvivo/polyakrylonitrilové vlákně je na výceni povrchu vlákn až při relativně nízké koncentraci bárviva v lázni : Mayer a spol./41/ určedí 0,03 gL<sup>-1</sup>, u bárviv Sandocryl je obdobně rychlost

vytahování na vlákně uváděna jako konstantní od koncentrace bárviva v lázni 0,2 % z hmotnosti vlákn/42,43/.

Předpokládá se, že vztah mezi koncentrací lázně C<sub>L</sub> se řídí dle Langmuirovy izotermy (5) /31,41/, takže :

$$C_L = \frac{K_1 C_0}{1 + K_1 C_0} \quad (7)$$

Je-li C<sub>L</sub> ≈ 1, lze jednotku v rov. (7) zanedbat, takže

$$C_0 \longrightarrow S \quad (8)$$

S využitím známého Crankova řešení Fickova druhého zákonu pro případ difuze do nekonvenčního válce/39,44/ formulována Rosenbaum pro výsobování kationtového bárviva na PAN vlákně vztah/27,28,31,45,46/, formálně obdobou kinetické rovnice Patersona a Sheildona /39,47/:

$$C_0 = 2 F S \left( \frac{D_{0,t}}{\eta} \right)^{1/2} \quad (9)$$

kde  $\frac{S}{\eta}$  ... saturační konc. bárviva ve vlákně  
 $D_{0,t}$  ... tzv. zdanlivý difúzní koeficient,  
 $C_0$  ... koncentrace bárviva ve vlákně v  $\frac{g}{cm^2}$ ,  
 $F$  ... velikost povrchu připadajícího na jedno tvarové objekt vlákna.

Poďle Rosenbauma /27,28,31,45/ je D<sub>0,t</sub> v širokém rozsahu nezávisly na koncentraci bárviva, čemuž vásak odpovídají údaje jiných autorů/25,26,48/ - rozdílné závěry se přičtuji rozdílným zjednodušujícím předpokladům /33/.

Goodwin a Rosenbaum/46/ prokázali, že D<sub>0,t</sub> výrazně klesá se vzrůstajícím stupněm diózenné vlákna a podle, upozorili také, že vztah (9) neprochází počátkem.

Lineární vztah mezi  $C_0$  a  $f$  konstatuje i delší autori/32,41,158/ - experimentální body vásak jsou popisovány tímto vztahem a dostatečnou spolehlivostí jen v 1. fázích bárvení.

Carbonell upozornil, že jen výjimečně se setkáme u PAN-vláknů s kruhovou průřezem, což je předpoklad zahrnující ve vztahu (9). Používají proto za vhodnéjší vyjadřovat kinetiku barvení pomocí kinetických rovnic. Pro soustruh kationtové barvení/PAN vlákna se osvedčilo rovnice autorů Cegarra a Puente /33,50/:

$$Q_t = Q_0 \left[ 1 - e^{-\frac{t}{\tau}} (-k_3 t) \right] \quad (10)$$

kde  $Q_t$ ,  $Q_0$  jsou sorptní hodnoty v čase  $t$  a v rovnovážném stavu.

### 2.2.3 Teplotní závislost rychlosti barvení

Pro výjedování teplotní závislosti rychlosti barvení se běžně používá Arrheniovova vztahu /34,40,51/:

$$\eta_T = \eta_0 \cdot e^{\frac{-E_a}{RT}} \quad (11)$$

kde  $\eta_T$  .... rychlosť barvení (pri teplotě  $T$ ) vyjádřena rychlostí konstantou nebo difúzním koeficientem "Akt." .... záře vlnné energie, v tomto případě jde o tzv. "aktivaci energii", hustotu, viskoelasticitu a teplotou je empirický rovnice Willmese, Landela a Ferryho (WLF-rovnice), platí pri teplotách nad  $T_g$  /55/. Pro nás je významná Fujitorova aplikace WLF-rovnice na difuzi v amorfním polymeru /56/:

Základním vztahem mezi objemovou frakcí volných objemů, hustotou, viskoelasticitou a teplotou je empirický rovnice Willmese, Landela a Ferryho (WLF-rovnice), platí pri teplotách nad  $T_g$  /55/. Pro nás je významná Fujitorova aplikace WLF-rovnice na difuzi v amorfním polymeru /56/:

$$\eta_T \frac{A}{A_g} = \eta_0 \frac{\eta_{T_g}}{\eta_T} = \frac{A}{B + (T - T_g)} \quad (12)$$

kde

$D$  ... difúzní koeficienty při teplotě  $T$  a teplotě skelného přechodu  $T_g$  (popř. i jiné referenční teploty  $\eta_0$  nad  $T_g$ ),  $\eta_T$  ... hodnota jakékoli viskoelasticitní vlastnosti (závisí na physikální segmentu),  $A$  ... konstanta,  $B$  ... konstanta.

Prestože WLF-rovnice předpokládá smorfní polymer, byla prokázána jíží uplatnitelnost i u běžného PAN vlákna /57/. Obdobně nalezl Bell korelace mezi teplotní závislostí drsn-

Rozporu nalezené Rosendalem jej přivedly přivedly k úspěšné aplikaci modelu difuze tzv. volnými objemy (free-volume-model) používaného ve fyzice polymeru /27,53/.

Na rozdíl od starší představy o difuzi barviv v porech vlákn, která vyhovuje u vláken nátrijních (aktivním činitellem je částice barviva), je poole "volnobjemového" modelu posuzovat difuzního toku vlnách polyby makromolekulárních úseků - segmentů, ke kterému dochází při teplotách vyšších než je bod skeletního přechodu  $T_g$  daného polymeru /54,58/.

Podle "volnobjemové" teorie je difuze barviv syntetických vláken stejnou podstatu jako viskoelasticitě vlastnosti polymeru. Částice barviva se mohou pohybovat do nitra vlnky, pouze tehdy, když se při kmátky segmentů sousedících polymerních řetězců počítá vytvářet prostor (volná objem) právě takové velikosti, aby obecnější barviva u protější segmentu soušase. Průměrny segment polymeru u PAN vláken zahrnuje 20 - 30 atomů, nežžek polymeru a je tak delší než vlnčina molekula barviv /53/.

Základním vztahem mezi objemovou frakcí volných objemů,

hustotou, viskoelasticitou a teplotou je empirický rovnice Willmese, Landela a Ferryho (WLF-rovnice), platí pri teplotách nad  $T_g$  /55/. Pro nás je významná Fujitorova aplikace WLF-rovnice na difuzi v amorfním polymeru /56/:

$$\eta_T \frac{A}{A_g} = \eta_0 \frac{\eta_{T_g}}{\eta_T} = \frac{A}{B + (T - T_g)} \quad (12)$$

kde

$D$  ... difúzní koeficienty při teplotě  $T$  a teplotě skelného přechodu  $T_g$  (popř. i jiné referenční teploty  $\eta_0$  nad  $T_g$ ),  $\eta_T$  ... hodnota jakékoli viskoelasticitní vlastnosti (závisí na physikální segmentu),  $A$  ... konstanta,  $B$  ... konstanta.

Prestože WLF-rovnice předpokládá smorfní polymer, byla prokázána jíží uplatnitelnost i u běžného PAN vlákna /57/. Obdobně nalezl Bell korelace mezi teplotní závislostí drsn-

nického ztrátového modulu a dirůžními koeficienty kyselých barv v nylonu /58/ a delší a delší autoři u systému disperzí barvivo/PES vlnáku /57/.

Interpretace této vztahu je ovlivňována tím, že hodnoty  $T_g$  se dosílá mění podle zdroje stanovení /60, 61/. Navíc jsou ve vodném prostředí  $T_g$  podstatně sníženy, a to zvláště výrazně při teplotách, když je vodná složka vysoká. Také větší množství barviva vězáného ve vlnění snižuje  $T_g$ -překážku zřejmě spolu s výškovou omesováním mezi makromolekulami /54/.

Jako rovnocennou metodu navrhla Rosenbaum odhadání  $T_g^{ze}$  závislosti dirůžného koeficientu barviva na teplotě /27, 53/. Kada autorka se přidržuje tohoto principu, někdy se však zjistí, že snížená  $T_g$  označuje jako "přechodové teploty barvivo".

V rozdílu hodnot  $T_g$  zjištěných různými metodami /61/.

Filath vyuštěluje rozdíly mezi  $T_g$  a  $T_d$  nesouměřitelnými experimentálními podmínkami - např. u dilatometrického zjišťování charakterizuje  $T_g$  deformovatelnost po dešicí vlnáku, zatímco  $T_d$  zachycuje segmentovou povahovlivost v radiálním směru /54/. Z výsledků Gulrajany a Saxena /62/ výplývá, že  $T_d$  o 20 až 30 °C vyšší než je  $T_g$  určená ze sráživosti vlnáku ve vodě.

V některých případech jsou změny barvivých vlastností citlivějším kritériem než hustota nebo dvojímo vlnáku /64/.

Ingamella a spol. /57, 59/ v řadě prací ukázali, že hodnoty  $T_d$  lze používat jako referenční teploty namísto  $T_g$  v modelifikované WLF-rovnici (12).

Walters a Buchanan /61/ upozorňují na souhlas  $T_g$ -barv. a  $T_g$ -dyn. v oblasti  $T_g$  kolem 100 °C, zatímco u  $T_g$ -dyn. kolem 0 °C je  $T_g$ -barv. až o 50 °C vyšší. Je třeba brát

v úvahu, že barvířský určení  $T_g$  se mění podle struktury použitého barviva a podle barvení /60, 61, 65/.

Aquith a spol. vychodocují z dynamometrického chování akrylových vlnáků dvě přechodové teploty. Pro barvení používají za směrodatnou tu vyšší (u Acryluu 84 °C), zatímco nižší teplotu (56 °C) chápou jako odpovídající definici  $T_g$  v termodynamickém smyslu.

V této souvislosti je třeba počítat s tím, že segmentová pohyblivost řetězce může představovat sice hlevní, ale nikoliv jedinou příčinu difuze, určitá difuze může probíhat i pod  $T_g/32,48/$ . Podle hypotézy uvedené Rešee a Breierem /66/ může difuze barviva po teplotu  $T_g$  probíhat podle klasického modelu pónad (pod  $T_g$  je polymer ve stavu, se kterým je slněnitelné přestava malého podtu pórů a trhlin ve vlnáku).

#### 2.2.4 Údaje přenásedlo

Přenosnost přenásedlo, tj. substituovaných i nesubstituovaných aromatických sloučenin, jejichž molekula je menší než molekula barviv, je podle posledních prací upřesněna v plastifikačním úzkiru na vlnění /54, 57, 59, 62-68/. Bylo experimentálně prokázáno snížení  $T_g$  podripadě  $T_g$  vlivem přeneseného (bisfenolu, o-terfénolenu), zároveň vliv na plastifikační se zdá nezávislý na chemických rozdílech mezi přenesením /63, 68/. Byla verifikována platnost WLF-rovnice (12) prokazáním primé závislosti mezi logaritemm dirůžního koeficientu D a  $(T-T_g)$  za zjednodušujícího, ale reálného předpokladu, že změna  $D_g$  je se změnou  $T_g$  zaneurbatelná /5//.

Přenásedlovou účinnost lze z tohoto hlediska chápat jako vytváření "přidavaných" volných objemů v polymeru vlivem roztřídelia. Snížení  $T_g$  vlivem přeneseného lze z hlediska zmeny

difúzního koeficientu považovat za ekvivalentní určitému zvýšení teplicy barvení<sup>/57/</sup>.

Ingamella upozorňuje<sup>/67/</sup>, že jednotlivé aktívni složky přenašeckých směsí neposkytují takový efekt jako jejich kombinace, což naznačuje složitější poměry než je výše citovaná ekvivalence přenašečů nezávisle na jejich strukture.

Mechanismus sorpcie přenašečů na PES vláknou se předpokládá obdobný jako u disperzních barviv<sup>/70,71/</sup> - tj. vzájemné nasycování volných energických molekul přenašeče a polymeru /72 a.j./. Difrize přenašečů do vláken je podstatně rychlejší než u barviv v důsledku jejich menších molekul<sup>/71,73/</sup> a v případě barviv kationtových i v dualdeku jiného - energeticky méně náročného (neiontového) - charakteru vazby než vytvářejí tato barviv.

Konkrétní dílci účinky přenašečů lze podle dnešního stavu poznání přehledně charakterizovat takto :

- přenašeče velmi podstatně ovlivňují kinetiku barvení - difúzní koeficienty barviv v PES vlákně se zvyšují o dva řády<sup>/78/</sup>, ovlivnění je výraznější u svěžích vyberených<sup>/77/</sup>,
- naproti tomu jsou rovnovážné sororce a saturaci hodnoty vlivem přenašeče ovlivněny nepodařitelně - v některých případech dokonce negativně (záleží na konkrétním vztazích mezi strukturami použitého přenašeče, barviva a vlákna)<sup>/75,79/</sup>,
- účinnost přenašečů se značně mění u jednotlivých barviv podle jejich struktury,
- přenašeče jsou podstatně rozpustnější v PES vlákně než vodné barviví lázeni. Rozdělovací koeficient přenašeče v soustavě PES/H<sub>2</sub>O se polybije u nejúčinnějších přenašečů v rozmezí 50 až 600, v praxi je však poněkud snížován vlivem

emulgačtoru<sup>/71,72,77,79/</sup>,

- přenašeče velmi dobře rozpouštějí disperzní barviva, takže rozhodující část disperzního barviva přechází do mikroskopického emulgováního přenašeče.

Není však pravděpodobné, že rozpustnost barviva v přenašeče je součástí přenašecké účinnosti. Právě u systémů kationtová barviva na emiontové modifikované PES vláknach, u nichž je vyschlou přenašeče rovněž podstatně difuzi, přestože rozpustnost barviv v přenašečích je řádově nižší než v případě barviv disperzních.

Účinek přenašeče v závislosti na jejich koncentraci v lázni prochází maximem<sup>/75,76/</sup>, které se považuje za odpovídající saturaci hodnoty přenašeče ve vlákně za daných podmínek. Zvyšování dávky přenašeče nad tuto mez se nutně projeví jeho hromaděním v lázni, čímž se postupně i více zadržuje barvivo v lázni, anž se prohlubuje odstín vybarvení. U biphenylu, o-fenylfenolu, methylebenzylátu, methylsalatenu, o-dichlorbenzenu se tyto hodnoty pohybují v rozmezí 63-90 mg.g<sup>-1</sup> a ien nepodařitelně se mění s teplotou v oblasti 95 - 97 °C /77,80,81/.

Účinemek přenašeče se mimo zvyšuje kryštalinita vlákn<sup>/74,76/</sup>, orientace kryštaleckého podílu se však sítelně snižuje. Právě základní souvislost mezi napotřením vlákn a zrychlením difuze barviv se nepodařilo prokázat /72,68/. Významné PES vlákně je v přímé souvislosti s koncentrací přenašeče absorbovaného vláknem<sup>/77/</sup>, je však u jednotlivých přenašečů rozdílné.

O uplatnění přenašeckové aktivních substancí v praxi rozhoduje i řada dolnjičích kritérií (nízká toxicita, minimální ovlivnění stálosti vybarvení na světle,

stabilitní emulgovatelnost aj.), které jsou podrobě diskutovány jinde /69,82/.

### 3. Experimentální část

3.1 Textilní materiál : kopolyesterové stříž Tesil S obsahující 8 mol.% kyseliny isofthalové a 1,5 mol.% sodné solu ky a sulfatoftalové; matování 0,4 % TiO<sub>2</sub>; duoučí poměr 1:4,4; tepila dicouzení 74 °C, po dicouzení nefixováno - jen usueno do 50 °C.

Limitní viskoziničtíklo : 0,564, bod tání : 229,9 °C.

Teplosta skeiného přechodu T metoda DMA : 67 ± 0,5 °C.

Jemnost jmenovitá 3,6 dtex - zjištěná 3,45 dtex.

Délka střihu : 112,25 mm

Pevnost : 0,12 Ntex<sup>-1</sup>

Tanoot : 23,0 %

Obsah dietylenglyku : (plynnou chromatografií po hydrozínolyze)<sup>78/</sup> 1,99 %

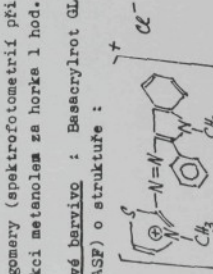
Obsah sůry (adaptovanou metodou podle Schöningera<sup>/78/</sup> spalováním v kysliku a alkalimetrickou titrací):

0,233 %

Obsah COOH (po rozpuštění v benzylalkoholu titraci<sup>/78/</sup> : 8,02 · 10<sup>-5</sup> val.kg<sup>-1</sup>

Povrchové oligometry (spektrofotometrií při 242 nm po extrakci metanolm za horlk 1 hod.) : 0,034 %

Povrchové struktury :



3.2 Kationtové bárvivo : Bassacrylrot GL (C.I.Basic Red 29), výr. fir. BASF o struktuře :

V předešlé práci bylo totto bárvivo určeno jako nejstabilnější kationtová červen na A-PES vláknach na světle/11,12/. Toto bárvivo je zároveň známě odolné při prodloužených koloristických pokusech.

Použito bylo koncentrování překrystallizované bárvivo.

Síla bárviva, spektrofotometricky stanovená proti běžnému obchodnímu vzorku kvality, tzv. "konc.", je 65,24 : 100.

Obsah Kovdu<sup>/79/</sup> : 0,004 % Zn; 0,013 % Ca; 0,007 % Fe.

Poznámka : základní výsledky byly reprodukovány i s bárvivem běžné obchodní kvality - závěry byly též na nepatrné odchylinky shodné.

3.3 Přenašeč : na základě širokého koloristického průkazu mu se za nízkych teplot barvení jeví efektivní turecká přenašečová směs známá pod obchodním názvem Spolspres X (výr. Spolchemie n.p.,<sup>/69/</sup>) . V této práci bylo použito komponent (naftalen, bifenyl, xylen) chemicky čistých (u křižových použit však bylo ověřeno, že výsledky pokusů s běžným Spolspensem X neprojevily odchylinky překrystalizovaného přenašeče na vlněném).

Jako extrémně účinné intenzifikanti přisada byl dále ověřen 1,1,2,2-tetrachlorethen v kvalitě "pa."

3.4 Uspořádání : 4 g Tesili S byly barveny v 240 ml. 16% ně v písťovém bárvicím přístroji Multikolor - Pretema. Po pěti minutách temperování materiálu v láni o pH 4,85 (kysselina octová - octan sodný) se barvení zahajovalo přídáním roztoku bárviva. Materiál byl před barvením vypran při 40 °C v lázni neionogenního septonu - původní obsah proparsce 0,28 % se tak snížil na 0,02 % petroleterového extraktu.

Po barvení následovalo 5x opakované opláchnutí vodou 30 °C teplou a povrchově a labilně adsorbované podíly barviva se pak strhly 3x opakovaným opláchnutím (po 10 s) ve vodě-stanolu 1:l při 20 °C na základě přihlédnutí ke zkušenostem Jina a Catese<sup>77</sup> o odstraňování povrchově neadsorbovaných podílů barviv.

**3.5 Stanovení barviva na vlákně :** Rozpouštěcí i extrakční metody nevedly vzhledem k převážné nízkým koncentracím barviva k uspokojivě přesným výsledkům, fotokolorimetrie zbylých lázní byla použitelná jen u pokusů bez přenašeče. Osvědčilo se určování reflektance vybarvení - po dodatečném jednohodinovém zpracování vzorku při 115 °C za přídavku 0,3 g.l<sup>-1</sup> přenašeče a 5 g.l<sup>-1</sup> NaCl. Tím se dosáhne prakticky ideální probarvení u všech vzorků, takže se eliminuje reflektometrická chyba způsobená různým probarvením (množství barviva, které přitom přechází do lázně je spektrofotometricky nezjistitelné). Odděleně byla realizována škála srovnávacích - kalibračních experimentů, na jejichž základě byla nalezena závislost mezi reflektancí (resp. funkcí Kubelka-Munka) a průměrnou koncentrací barviva na vlákně - viz obr. 1.

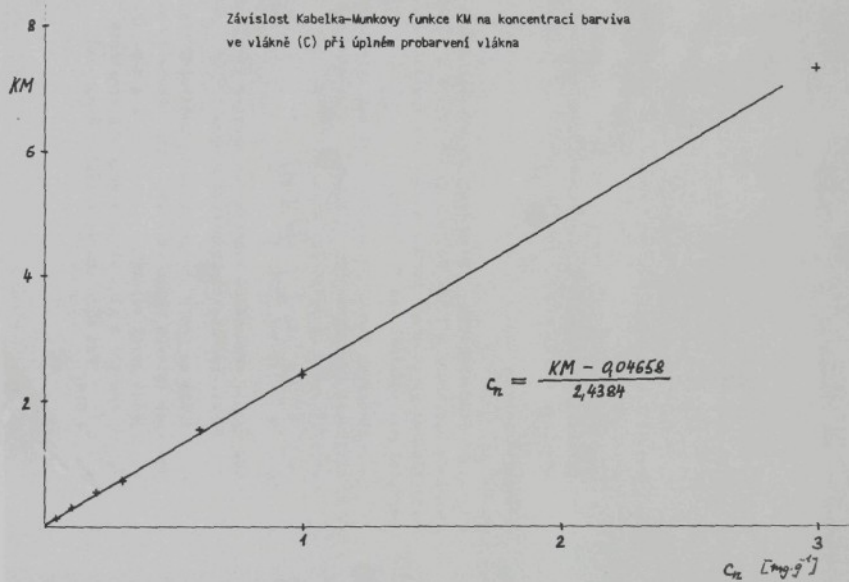
#### 4. Výsledky a jejich interpretace

##### 4.1 Izotermy sororce - čas při 50 °C

Z širokého koloristického ověřování vyplynuly jako provozně přijatelné (z hlediska zbytkové sráživosti) teploty v rozmezí 45 - 60 °C. Pro vědecky zaměřené experimenty byla tedy zvolena teplota 50 °C. Pracovalo se s vysokou násadní sytostí vybarvení - tj. 5 % z hmotnosti vlákna,

	Státní výzkumný ústav textilní, Liberec	74
--	---	----

Obr. 1



Tabulka I

čímž se přibližujeme barvení z tzv. nekonečné lázně (ani v krajním případě nepoklesla koncentrace lázně pod  $1,6 \text{ g} \cdot \text{dm}^{-3}$  původní hodnoty).

Další zvyšování lázně nebylo účelné: narůstaly probíhavé s aggregací barviva, zhordovala se reprodukovatelnost aj.

Pro úplnost byly realizovány známké dlouhodobé pokusy (až 312 hod.) s cílem získat představu o rovnovážném stavu, kterého se však nepodařilo dosáhnout.

Výsledky uvedené v tab. I jsou graficky interpretovány na obr. 2.

Z výsledků jednoznačně vyplývá výrazný intenzifikační efekt přenášeče Spolapren X: při dávce  $1 \text{ g} \cdot \text{l}^{-1}$  (tj. 6 % z hmotnosti vlákn) se dosahuje sorpcí shruba 10x vysších než za srovnávacího podmínek bez přenášeče.

Sledovaný široký časový interval lze matematicky definovat Cegerse-Puentovou kinetickou rovnicí (10) modifikovanou na podáteční adsorpci /80/:

$$\dot{C}_t^2 = C_{\infty}^2 + (A^2 - C_0^2) \exp \left[ -\frac{2K_a}{C_0} (t-t_0) \right] \quad (13),$$

kde  $C_t$  ... rovnovážná koncentrace barviva ve vlákně,  $K_a$  ... rychlostní konstanta sorpcie

Výšlo se zde z předpokladu, že počáteční "rychlá" adsorpce (kterou nelze experimentálně stanovit) ovlivní zejména první experimentální bod při 4 min. Protože pro čas  $t = 4 \text{ min}$ . zavedla modelovou konstantu  $A = C_4 \text{ min.}$  (kde  $A$  je charakteristika adsorpce).

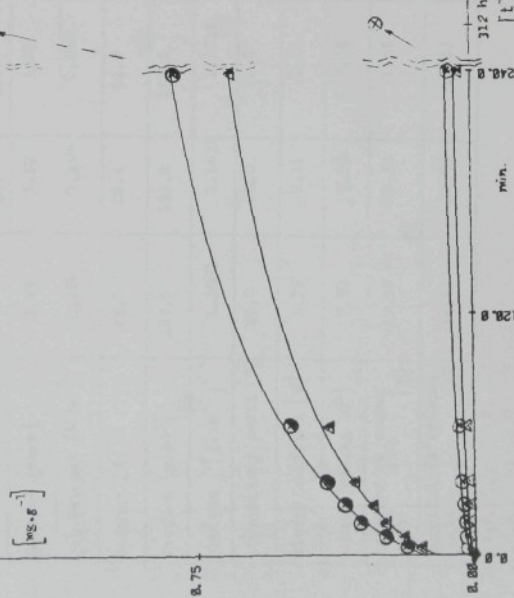
Proběh sorpce Bassaryrot GL při  $50^\circ\text{C}$ , 5 % barviva z hmotnosti vlákná jednak bez přenášeče, jednak s  $1 \text{ g} \cdot \text{l}^{-1}$  Spolaprenu X na Tessil S - a) neobjemován b) předem objemován ve vroucené vodě

[min, h]	sorpcie $[\text{mg} \cdot \text{g}^{-1}]$		
	bez přenášeče		s přenášečem
	a)	b)	
2 min	0,01592	0,01162	0,1548
4 min	0,02248	0,01323	0,1233
9 min	0,02522	0,01672	0,1508
16 min	0,02931	0,01896	0,1973
25 min	0,03382	0,02003	0,2527
36 min	0,03885	0,02402	0,2832
64 min	0,04581	0,02578	0,3122
240 min	0,06734	0,04426	0,3630
72 h	0,1145	-	0,4039
172 h	0,1498	-	0,4361
312 h	0,2546	-	0,5032
$K_a [\text{mg} \cdot \text{g}^{-1} \cdot \text{min}^{-1}]$	20,25,10	$5,63 \cdot 10^{-6}$	$1,2220 \cdot 10^{-3}$
$A [\text{mg} \cdot \text{g}^{-1}]$	0,0204	0,0137	$1,47 \cdot 10^{-3}$
$G_{\text{obj-vyp}} [\text{mg} \cdot \text{g}^{-1}]$	0,0730	0,0584	0,1521
		0,9673	0,7906

Probíh sorpcie Basacrylrot GL při  $50^{\circ}\text{C}$  v rozmezí 4 - 240 min. včetně  
uredení sorpcie po 312 h. Barveno z lázně 5 % barviva z hmotnosti  
vláken Testil S

- neobjevovaný .. ○
- objevovaný ve vracené vodě .. △
- příslušec do barvicí lázně 1 g/l - Sotlapren X .. ▲
- bez příslušce .. ⊖

1. 58



Pro odhad modelových parametrů  $C_0$ ,  $A$ ,  $K_s$  se použilo neplineární regrese s kritériem minima součtu čtverec odchylek  $/S^2$ . Vypočty byly provedeny na kalkulačku HP 9825. Parametry rovnice (13) jsou uvedeny v tabulce I a modelové krivky jsou využity v obr. 2.

Pro praxi nejvýznamnější časový interval sorpcie (0 až 36 min.) je vhodné matematicky podložitelný jedno-duchým vztahem  $C_t \sim \sqrt{t}$  - tzn. odmocninovým zákonem (odporidá i rovnici (9)) - grafické znázornění viz na obr. 3 a 4 v další kapitole 4.2.

#### 4.1.1 Vliv pozemnění struktury

Během barvení a zejména v jeho prvních fázích probíhá po- etupné arázení vláken. Pozemnění struktury může mít za následek i změnu barvitelnosti. Proto se paralelně sleduje sorpcie barviva u materiálu předem objímavánho (vysráženého) zpevňováním 15 min. ve vroucí lázně obsahující  $5\text{ g/l NaCl}$  označené "Z". Získané odchylyky ve fyzičkách a chemických vlastnostech viz tab. II.

Základní problém sorpcie barviva vlivem předchozího objevování můžeme názorně sledovat v obr. 2. Zpozolení sorpcie lze uvést do souvislosti se zvýšením kryštalického podílu vláken vlivem objevování. Během relaxace došlo k termodynamicky účelnějšemu uspořádání řetězec  $\beta$ . Typické je i snížení stupně orientace.

I u objímavé varianty Testil S se projevuje obdobná odchyka (zpozalení) od odmocninového zákona jako u vláken neobjímavého, takže průčinu této odchylyk nelze srovnávat v pozemnění struktury materiálu jeho srážením během barvení.

Tabulka II

Zážna fyzičkých a chemických vlastností Textilu S  
objemováním ve vručí lázni

	původní vzorek	průš při 45°C po objemování (a)	objemovány pri 45°C po varu 10 min. (b)
jemnost [tex]	3,45	3,37	4,05
rel. pevnost [ $N \cdot tex^{-1}$ ]	0,320	0,318	0,268
tažnost [%]	23,0	22,4	51,4
dvojílom [ $n \cdot 10^2$ ]	187,5	191,2	157,6
husťota [ $g \cdot cm^{-3}$ ]	1,3663	1,1633	1,3737
kristalický podíl [%]	25,0	26,0	34,6
diethylenglykol [%]	1,99	2,11	2,14
-COOH [ $val \cdot kg \cdot 10^5$ ]	7,52	7,56	7,66
smrštění ve vručí vodě [%]	23,52	23,34	1,88
smrštění ve vzduchu 175°C [%]	34,29	32,59	11,33

#### 4.2 Vliv koncentrace barviva na rychlosť barvení

Průběh sorpcie barviva při 50 °C za různých násadních koncentrací barviva při barvení s 0,3 a 1 g·l⁻¹ pěnadešácké je zářycen v tab. III a IV a na obr. 3 a 4. Jde o časovou oblast 4 až 36 min., kdy závislost sorpcie C na čase t. se výrazně řídí podle tzv. odmocinového zákona, tj. :

$$C_t = K_1 / \sqrt{t} \quad (14)$$

Při snaze kvantitativně vyjádřit rychlosť barvení bylo zvažováno určení základního difuzního koeficientu  $K_1$  ze směrnice výše uvedené závislosti nápr. dle vztahu (9) a). Tento přístup však vychází z postulátu difuze z plné asturované povrchu, což v násobem případě není uspokojivé splněno (asturace se může měnit s teplotou i s dávkou pěnadešácké a její exaktní určení je problematické). Proto byly rychlosť barvení charakterizovány směnicemi  $K_1$  z rovnice (14), kterým lze přiřadit význam rychlostních konstant  $/47\%$ , jeou uvedeny v tabulkách III a IV.

Z výaledku je zřejmé, že od určité poměry velmi nízké koncentrace barviva v lázni probíhá sorpcie konstantní rychlosť. To velmi názorně vyplyvá z koncentráci barviva v lázni dosahující výšky 0,1 a 0,3 Moliho vý-

trace barviva (pri dávce pěnadešácké 0,1 a 1 g·l⁻¹). To odpovídá počáteční koncentraci barviva v lázni 14,3 - 42,9 mg·l⁻¹.

Státní výzkumný ústav textilní, Liberec	80
Brno	81

	Státní výzkumný ústav textilní, Liberec
Brno	81

Tabulka III

Průběh sorpcie Basacrylrot GL na Tesil S při 50°C za různých násadních koncentrací - aytostí vybarvení (% z hmotnosti vlákna) za příslsy 0,3 g·l<sup>-1</sup> Spopalaprenu X v lázni (odpovídá obr.3)

t [min]	Koncentrace ve vlákně C <sub>t</sub> [mg·g <sup>-1</sup> ] při aytosti vybarvení :						
	5 %	0,3 %	0,1 %	0,06 %	0,03 %	0,01 %	0,003 %
4	0,1452	0,1443	0,1382	0,1302	0,1137	0,08023	0,02732
9	0,1679	0,1655	0,1604	0,1512	0,1310	0,08920	0,03
16	0,1880	0,1887	0,1837	0,1702	0,1448	0,0953	(0,03)
25	0,2157	0,2070	0,1972	0,1864	0,1583	0,1	-
36	0,2302	0,2193	0,2159	0,2083	0,1802	0,1	(0,03)
Kinetické zpracování (odmocnin. zákon)							
K <sub>1</sub> · 10 <sup>3</sup>	21,78	19,15	19,22	19,44	16,03	5,03	0,54
A <sub>0</sub> [mg·g <sup>-1</sup> ]	0,1023	0,1084	0,1022	0,0927	0,08146	0,7281	0,02732
korel. koef.	0,9968	0,9995	0,9958	0,9990	0,9961	0,9500	0,683
vytažení lázně [%] v 36 min.	0,46	7,31	21,59	34,72	60,07	100 %	100 %

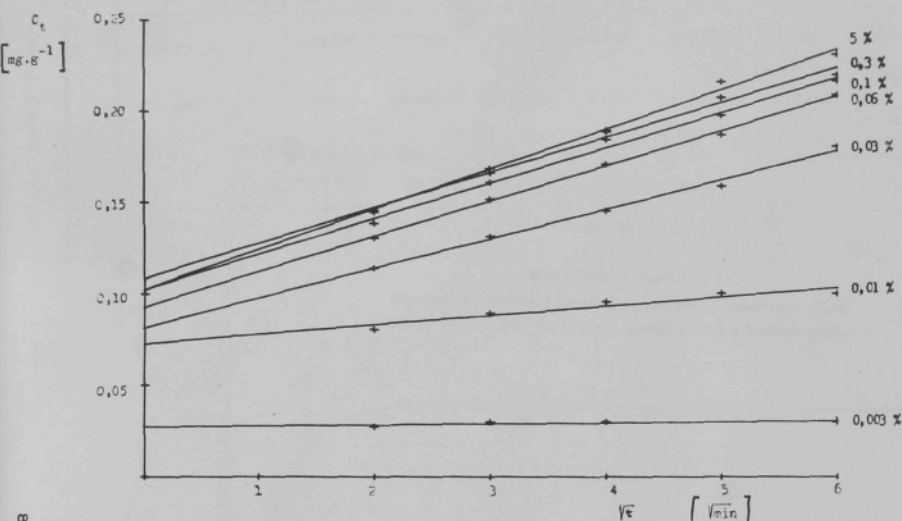
Tabulka IV

Průběh sorpcie Basacrylrot GL na Tesil S při 50°C za různých násadních koncentrací - aytostí vybarvení (% z hmotnosti vlákna) za příslsy 1 g·l<sup>-1</sup> Spopalaprenu X v lázni (odpovídá obr.4.)

t [min]	Koncentrace na vlákně C <sub>t</sub> [mg·g <sup>-1</sup> ] při aytosti vybarvení :						
	5 %	1 %	0,3 %	0,1 %	0,06 %	0,03 %	0,01 %
4	0,1892	0,1875	0,1842	0,1723	0,1514	0,1210	0,0922
9	0,2495	0,2462	0,2410	0,2196	0,1953	0,1562	0,1
16	0,3122	0,3112	0,3021	0,2674	0,2331	0,1859	(0,1)
25	0,3630	0,3572	0,3526	0,3266	0,2689	0,2148	(0,1)
36	0,4039	0,4048	0,3962	0,3632	0,3084	0,2398	(0,1)
Kinetické zpracování (odmocnin. zákon)							
K <sub>1</sub> · 10 <sup>3</sup>	54,23	54,56	53,56	48,88	38,76	29,62	1,95
A <sub>0</sub> [mg·g <sup>-1</sup> ]	0,08640	0,08314	0,08098	0,0743	0,07638	0,06505	-
korel. koef.	0,9966	0,9974	0,9980	0,9981	0,9994	0,9981	-
vytažení lázně [%] v 36. min.	0,81	4,05	13,21	36,32	51,40	79,93	100 %

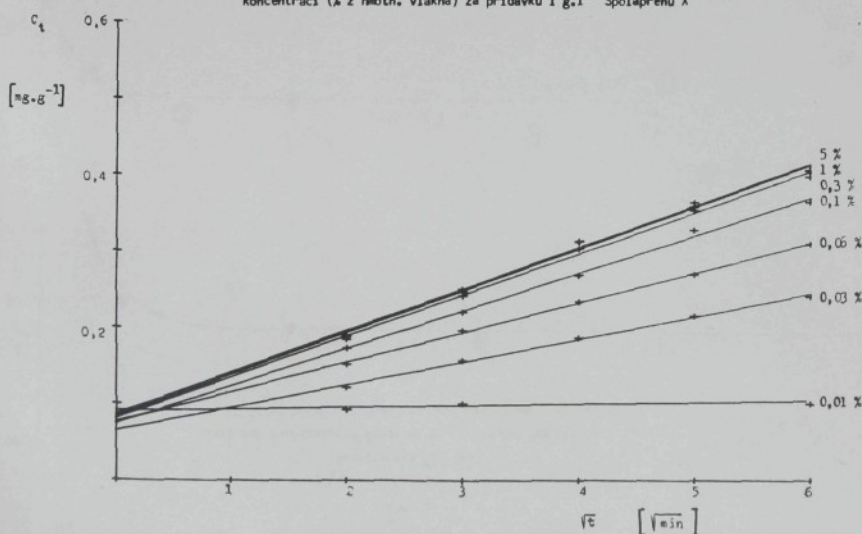
Obr. 3

Průběh sorpce Basacrylrot GL na Tesil S při 50 °C za různých násadních koncentrací (%) z hmotn. vlákna) za přídavku 0,3 g.l<sup>-1</sup> Spolaprenu X

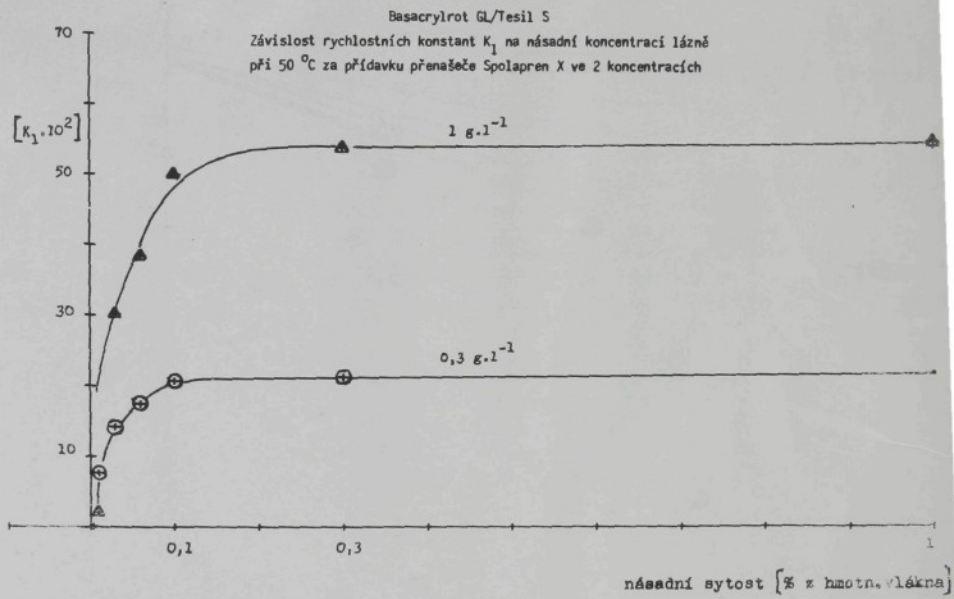


Obr. 4

Průběh sorpce Basacrylrot GL na Tesil S při 50 °C za různých násadních koncentrací (%) z hmotn. vlákna) za přídavku 1 g.l<sup>-1</sup> Spolaprenu X



Obr. 5



Jde o zajímavou shodu s údaji Mayera a spol.<sup>/41/</sup>, kteří nalezli u PAN vláken konstantní rychlosť barvení nad  $30 \text{ mg} \cdot \text{l}^{-1}$  kationtových barviv v lázni (i když v jejich případě jde o barvení za varu).

Při barvení bez přenašeče se posunuje uvedená koncentrační hranice o řád níže. Vzhledem k extrémně nízkým koncentracím zde byly určovány pouze sorpce v 9. min. barvení (viz násł. kap.).

V souladu s názory Rosenbauma<sup>/27,28,31/</sup> a Mayera<sup>/41/</sup> lze předpokládat, že konstantní rychlosti barvení se dosáhne při dokončení saturace povrchových vazných bodů za daných podmínek (teplota, dávka přenašeče). Jde o sulfoskupiny; teoreticky možná účast  $-\text{COOH}$  nebyla v našem případě experimentálně potvrzena srovnáním se sorpčními vlastnostmi v silné kyselém prostředí, kdy je disociace  $-\text{COOH}$  skupin potlačena<sup>/17/</sup>.

Modelově se předpokládá, že z povrchové vrstvy na-adsorbovaného barviva probíhá difúze do nitra vlákna. Záštává však otevřenou otázkou, jak se postulovaná "povrchová vrstva saturovaných vazných bodů" reálně modifikuje přídavkem přenašeče, kdy se v závislosti na jeho koncentraci pozoruje výrazně zvýšená rychlosť sorpcie.

Při doložení experimentálních bodů závislostí (14) byly zároveň určeny úseky na svislé ose, kterým lze přifadit význam hypotetických počátečních adsorpce  $A_0$  (v tabulkách III a IV). Zásadním poznatkem je skutečnost, že tyto hodnoty  $A_0$  jsou jen nepodstatně závislé na koncentraci barviva v lázni i na přídavku přenašeče na rozdíl od rychlostních konstant.

	Státní výzkumný ústav textilní, Liberec	87
--	---	----

**4.3 Nerovnovážné sorpční izotermy v počáteční oblasti  
barvení**

Byl učiněn pokus využit experimentálních sorpčních dat získaných při 50 °C pro interpretaci formou sorpčních izoterm tvaru nerovnovážného typu.

Za námět sledovacích podmínek je počáteční adsorpce a postupující dobu barvení neodklidelně překryvána difuzí. Jde o situaci znázeho vzdálenou od rovnozářného stavu, za kterou sorpční izotermy vycházejí právě jenom z něj. Aplikace "čistého" fyziologického zákona na naše nerovnovážné podmínky může být tedy pouze formalní. Účel tkví v kvantitativním postihnutí vztahu mezi koncentrací barviva v lázni a na vlákně za prakticky významných podmínek.

Rozdilovaný barvivu při 50 °C mezi vláknem a lázem při různých výchozích koncentracích je pro časy 9 a 36 min uvedeno v tabulkách V a VII. Zachytily jsme čtyři nestupňovité oblasti - totíž dosase přenesede 0,1, 1 a 3 g·l<sup>-1</sup>. S paralelně "bez" přenašeče.

U sledované soustavy kationtové barvy/A-PESV je typické, že za průsady přenašeče se do určité koncentrace dosahuje zároveň vytěžení barviva z lázni na vlákně. Například v 9. minutě jde zhruba o 1/10 koncentrace, při které se dosahuje konstantní rychlosť barvení (viz předch.kap.). V oblasti kde se začíná provozovat zadržování barviva v lázni bylo učelené, pro upřesnění proběhu závesu, porušit hustotu sítí experimentálních bodů.

Při pokusech o matematické doložení experimentálních bodů Langmuirovu rovnici se příslího na to, že nejlepší shody se dosahne při respektování pozorovaného uplného vyčerpání lázni v nízkých koncentracích. Obvyklejším Langmuirovou vztahu (5) mezi koncentrací barviva na vlákně  $C_s$  a v lázni  $C_l$  byl predikovan absorpcní člen  $\alpha$ :

$$C_s = \alpha + \frac{K_S C_l}{1 + K_C} \quad (15)$$

Probeh Langmuirovy závislosti se tak posunuje nad určitou základní (nepravou) adsorpci  $\alpha$ , která v dobou barvení jen nerovnou ráste (viz. tab. V a VI).  
Hodnoty adsorpčních členů zhruba odpovídají hypotetickým počátečním adsorpci  $\alpha_0$ , které byly vypočteny z odmocino-vého závona pro  $t = 0$  (v tab. III a IV v předch.kapit.).

Výpočet modifikovaných Langmuirových izotrem byl prováděn nejlineární regresí na kalkulačtu HP 9825A a kritériem minimizace součtu procentuálních chyb na druhou /62/. Grafické doložení experimentálních bodů vypočtenými závislostmi je zachyceno na obr. 6,7,8).

U sérií "bez přenašeče" se v experimentálně postižitelných mezích zmíněně uplné vytěžení z lázni v nejnižších koncentracích neprojevilo. K matematickemu doložení zde využíváno běžný Langmuirov vztah.

V obr. 9 jsou srovnatelné zachyceny nerovnovážné sorpční izotery v 9. min. barvení při různých dávkách přenašeče. Ze srovnání vyplyvá významný vliv přenašeče na závesu stropu; dosage vyšší než 1 g·l<sup>-1</sup> je však již neefektivní (pri daném poměru lázni 1:70).

Pro praktické účely z této studie dále vyplyvá, že

Tabulka V

Nerovnovážné sorpční izotermy v 9. a 36. min. barvení při 50°C  
za příslušny 0,3 g.l<sup>-1</sup> přenašeče

Série	Sytost [% z hmotn. vlákn.]	Vytážení barviva [%]	Barvivo na vlákně [mg.g <sup>-1</sup> ]	Barvivo v lázni [mg.l <sup>-1</sup> ]	Konstanty modif. Langmuir. rovnice			
					adsorpční posun a [mg.g <sup>-1</sup> ]	satur. hodnota S [mg.g <sup>-1</sup> ]	S celk. [mg.g <sup>-1</sup> ]	K
9 min	0,0075	100	0,075	0				
	0,01	92,3	0,0923	0,109				
	0,015	77,3	0,1160	0,486				
	0,020	61,6	0,1232	1,097				
	0,0225	55,9	0,1258	1,417				
	0,0250	50,9	0,1273	1,753				
	0,0275	46,6	0,1281	2,100				
	0,030	43,7	0,1310	2,414				
	0,060	25,2	0,1512	6,411				
	0,1	16,0	0,1602	12,00				
36 min	0,3	5,5	0,1655	40,50				
	5,0	0,3	0,1679	711,9	0,0827	0,0840	0,1667	0,7354
	0,01	100	0,1	0				
	0,015	91,5	0,1372	0,183				
	0,020	82,6	0,1653	0,496				
	0,030	60,1	0,1802	1,710				
	0,040	48,4	0,1935	2,950				
	0,060	34,7	0,2083	5,600				
	0,1	21,6	0,2159	11,20				
	0,3	7,3	0,2193	39,72				
	5,0	0,5	0,2302	711,0	0,1051	0,1161	0,2212	1,6121

Tabulka VI

Nerovnovážné sorpční izotermy v 9. a 36. min. barvení při 50°C  
za příslušny 1 g.l<sup>-1</sup> přenašeče

Série	Sytost [% z hmotn. vl.]	Vytážení barviva [%]	Barvivo na vlákně [mg.g <sup>-1</sup> ]	Barvivo v lázni [mg.l <sup>-1</sup> ]	Konstanty modif. Langmuir. rovnice			
					adsorpční posun a [mg.g <sup>-1</sup> ]	satur. hodnota S [mg.g <sup>-1</sup> ]	S celk. [mg.g <sup>-1</sup> ]	K
9 min	0,01	100	0,1	0				
	0,015	80,2	0,1203	0,424				
	0,020	68,3	0,1365	0,907				
	0,025	57,7	0,1443	1,510				
	0,030	52,1	0,1562	2,054				
	0,040	45,5	0,1822	3,111				
	0,060	32,6	0,1953	5,781				
	0,10	22,0	0,2196	11,15				
	0,30	8,0	0,2410	39,41				
	1,0	2,5	0,2462	139,3				
36 min	5,0	0,5	0,2495	710,7	0,1005	0,1502	0,2507	0,3195
	0,01	100	0,1	0				
	0,02	97,3	0,1945	0,0786				
	0,03	79,9	0,2358	0,8600				
	0,04	66,3	0,2653	1,924				
	0,06	51,4	0,3084	4,237				
	0,1	36,3	0,3632	9,026				
	0,3	13,2	0,3962	37,20				
	1,0	4,4	0,4039	137,1				
	5,0	0,8	0,4048	708,5	0,1422	0,2630	0,4053	0,5269

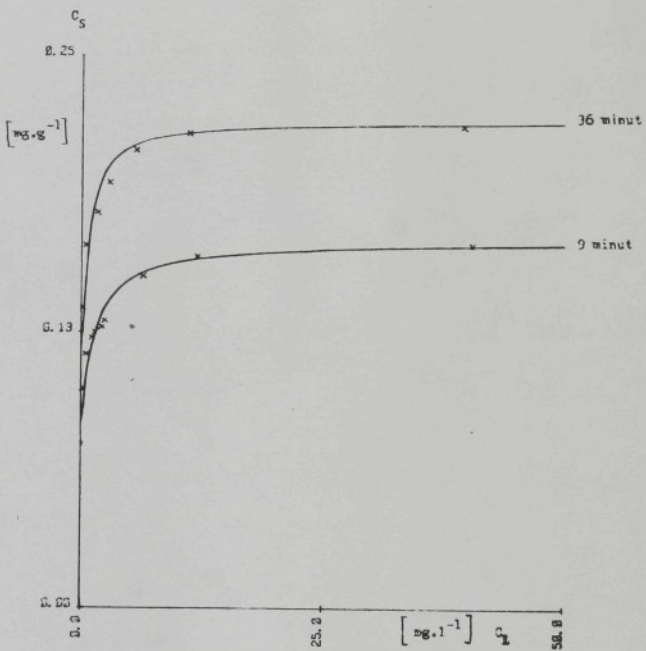
Tabulka VII

Merovnovážné sorpční izotermy v 9. min. barvení při 50°C  
při barvení bez přenašeče a s 3 g·l<sup>-1</sup> Spolaprenu X

Série	Sytost [% z hmotnosti vlák.]	Vytážení bervíva [%]	Barvívo na vlákně [mg·g <sup>-1</sup> ]	Barvívo v lázni [mg·l <sup>-1</sup> ]	Konstanty modif. Langmuir. rovnice			
					adsorpční posun a [mg·g <sup>-1</sup> ]	satur. hodnota S [mg·g <sup>-1</sup> ]	Scelk. [mg·g <sup>-1</sup> ]	K
bez přenašeče	0,003	19,5	0,00586	0,345	-	-	0,0268	0,8191
	0,01	14,5	0,01452	1,221				
	0,02	8,5	0,01697	2,615				
	0,03	7,2	0,02150	3,979				
	0,06	3,7	0,02206	8,256				
	0,1	2,5	0,02469	13,933				
	1,0	0,3	0,02493	142,50				
	5,0	0,05	0,02522	713,93				
3 g ·l <sup>-1</sup> Spolapren X	0,01	100	0,100	0	0,1220	0,1786	0,3006	0,4064
	0,015	97,3	0,1462	0,0543				
	0,02	81,2	0,1625	0,536				
	0,03	61,8	0,1853	1,639				
	0,06	39,5	0,2372	5,183				
	0,1	27,5	0,2749	10,389				
	0,2	14,4	0,2872	24,469				
	0,3	9,7	0,2706	38,706				
	5,0	0,6	0,2553	710,07				

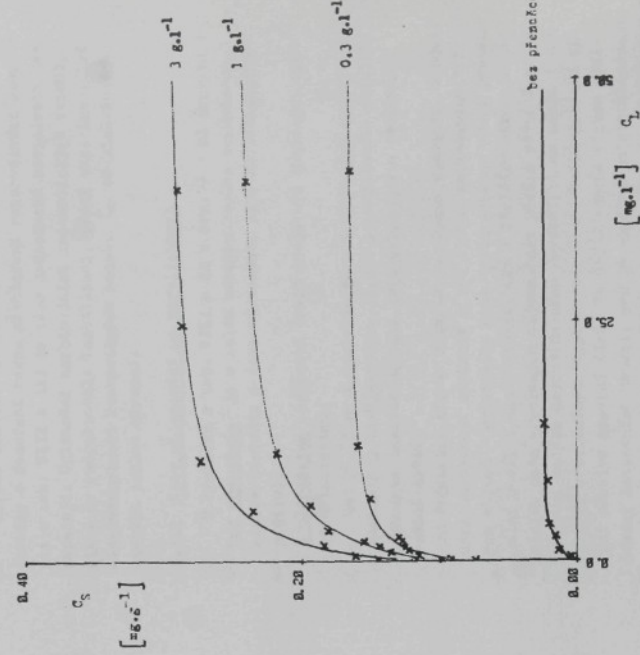
Obr. 6

Nerovnovážné sorpční izotermy v 9. a 36. minutě při  $50^{\circ}\text{C}$  za  
příslušady  $0,3 \text{ g}\cdot\text{l}^{-1}$  přenašeče



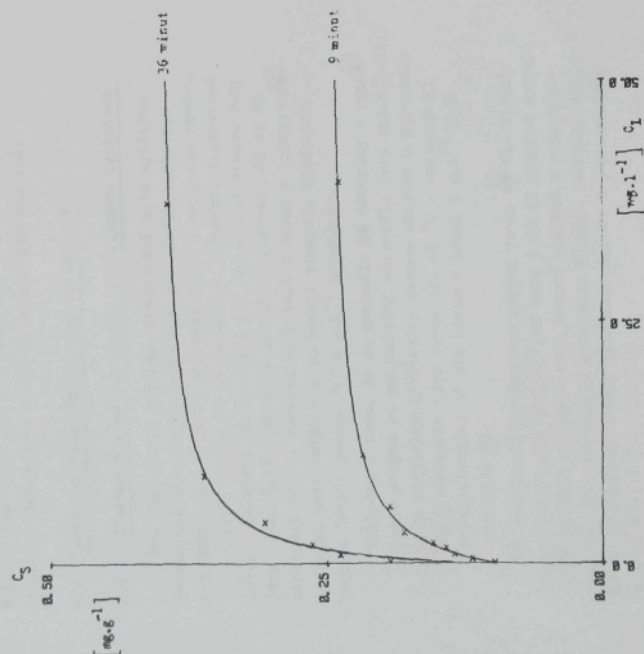
Obr. 8

Nerozvolné sorpční izotermy při  $50^{\circ}\text{C}$  v  $9_2$  minutě při různých dosažicích půnásadce



Obr. 7

Nerozvolné sorpční izotermy v  $9_2$  a  $36$ , minutě při  $50^{\circ}\text{C}$  za příslušky  $1 \text{ g} \cdot \text{l}^{-1}$  půnásadce



zvyšováním koncentrace sledovaného kationtového barviva v lázni nad 0,1 - 0,3 % z hmotnosti vlákna nelze zvýšit rychlosť vybarvování a systém dosážených očistín.

#### 4.4 Závislosť kinetiky bárvenia na teplotě

##### 4.4.1 Získané časové závislosti pri rôznych teplotách

Pro postihnutí súršich souvislostí bylo zjistieno natahovanie bárviva na lesík S i pri jiných teplotech než približne v uveřejném praktickém zámernu. V tab. VIII a IX je zachyceno izotermani vytahotenia bárviva Baserryl GL na lesík S - jednotlivé časové řady jsou odstupňované po 10 stupních v intervalu 20 až 80 popřípadě 90 °C. Bárvanie probíhalo z lázni o podstatném nadýtku bárviva (5 % z hmotnosti vlákna). Sledovaný jednak "bez", jednak "s" 1 K.L-1 prenášaček.

Vzhľadom k tomu, že se nerezam na odcinky v rychlosti sorpcie po zobjemování materiálu (viz kap. 4.1.2), byly paralelné získávané sorpcie bárviva u materiálu neobjemovaného (jen prané pri 45 °C - varianta a) a objemovaného 15 min. v lázni 5 g·l<sup>-1</sup> NaCl (varianta b).

Z grafické interpretacie sorpcí ve 4. až 6. minútnej formou závislosti  $Q = f(T)$  na obr. 9 až 12 výplýva dobrá shoda prudkosti sorpcie v této časové oblasti s odmocinovo-zákonem. Rychlosť konstanty  $K_1$  (t.j. sestránice závislosti (14)) byly určený lineární regresií a jsou uvedeny v tab. VIII a IX.

Sorpcie dosážené za extrémne dlouhých dobo bárvania (pokusy o dosážení resp. približení rovnovážnému stavu - viz v tab. VIII a IX) do této jednoduché závislosti nezápadají. Uplatnení náročnejších matematických vztahov, které by respektovaly imobilizaci, bránil experimentálni nedosežiteľnosť rovnovážnych hodnot  $Q_0$  za sledovaných nízkych teplot bárvania.

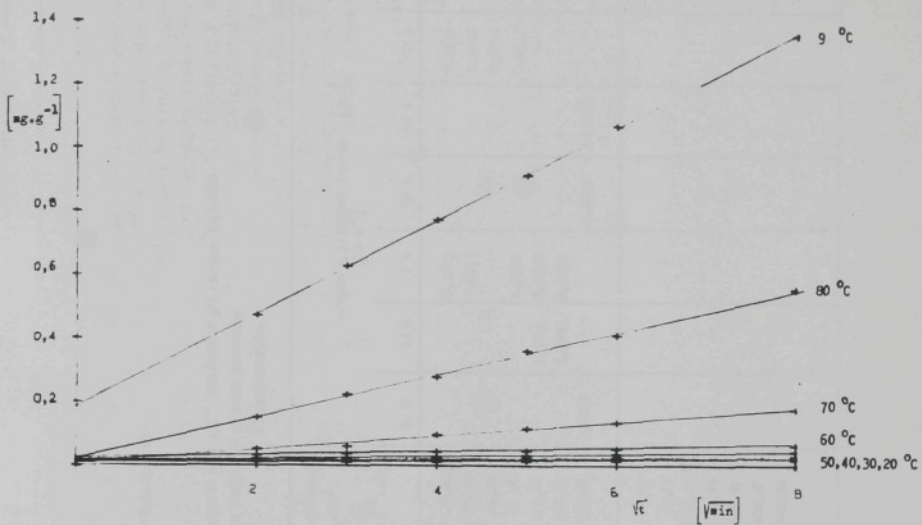
#### 4.4.2 Vliv objemování na bárvitelnosť

- Z výsledku v tab. VIII a IX a obr. 9 - 12 výplýva :  
- bez prenášače je v celom rozsahu teplot zvyšodlňa sorpcie varianty a (nezobjemovaná, 26 % krytalického podielu),  
- s prenášačom se tento trend projevuje pouze pri nízkych teplotach.

Ned 50 °C sa s teplotou sorpcie výraznejši zvychluje u varianty b (zobjemovaná, 46,6 % krytalického podielu). Prechodová teplota bárvania (viz 4.5.5) je u varianty b výrazne nižšia. Podstatou týchto rozdielov je zrejmá vhodnejšia strukturná uzpätnobudí varianta b pro diľuži mechanizmom volných objemov - krytality sice tvoria poniekud väčšiu povrch z hmoty vlákna, ale v dôsledku rekrystizačných zmen vyuholených objemováním prešlo pôvodne veľké množstvo malých nepravidelných krystalítu na menší počet veľkých pravidelných krystalít, ktoré tolik nebráň diľuži bárviva amorfnej fázy. Na druhej strane vlivem uvoľnovania latentných napätií, čož je vlastnosť podstatne srážendá a objemovanie vlákna, sa môžu vytvoriť pôznané nepravidelnosti a defekty v povrchu vlákna, čož snížuje možnosť pro difuzu mechanizmom pôru.

Obr. 9

Průběh sorpcie Bassacrylrot GL - bez přesáčeče - při různých teplotách  
Tesiil 3 - var. a (neobjemováný)



Tabulka. IX

Doložení kinetiky sororce Bassarylova  $\text{GJ/g}^{-1}\text{s}^{-1}$  SPOLAPREN x při různých teplotách  
odmocinovým zákonem u Testílu S - a) neobjemovaného

b) z objemovaného

$\theta_c$	sororce $[\text{mg}\cdot\text{g}^{-1}]$ v čase [sia]				rychlikonst. $K_1 \cdot 10^3$ $[\text{mg}\cdot\text{g}^{-1} \cdot \text{sek}^{-1/2}]$	sororce $[\text{mg}\cdot\text{g}^{-1}]$ v čase [sia]				rychlikonst. $K_1 \cdot 10^3$ $[\text{mg}\cdot\text{g}^{-1} \cdot \text{sek}^{-1/2}]$	266 s	267 s	
	4°	9°	16°	25°		36°	64°	82 h	1522	0,3773	0,4234		
a) neobjem.	20	0,0433	0,04150	0,06213	0,06829	0,07084	0,08023	7,82	15,22	0,4213	0,4902	0,5385	0,5620
	30	0,05820	0,05915	0,08111	0,09210	0,09238	0,11402				0,6079	0,68623	0,7783
	40	0,08272	0,11110	0,11977	0,1642	0,2203	0,2431	26,72					
	50	0,13942	0,2495	0,3162	0,3580	0,4072	0,5032	51,16		1,2054			
	60	0,2296	0,6112	0,6985	0,7787	0,9413	1,1928	122,60		3,5868	3,6632		
	70	0,3772	0,9872	1,3674	1,6575	1,9895	2,5030	300,53		6,2949	6,5033		
	80	1,599	2,158	2,6630	3,3764	3,8328	4,7192	526,45		9,8635	10,0351		
b) z objem.	20	0,03076	0,03712	0,0453	0,0532	0,0620	0,0652			4,79			
	30	0,04139	0,0482	0,0634	0,0792	0,0970	0,0921			9,14			
	40	0,06237	0,06483	0,09265	0,1036	0,1086	0,1632			16,39			
	50	0,1508	0,1973	0,2327	0,2832	0,3361	0,3965			41,35			
	60	0,5093	0,7223	0,9302	1,0487	1,2732	1,6237			182,96			
	70	1,0487	1,3454	1,8066	2,2891	2,7042	3,3801			402,47			
	80	1,9573	2,5815	3,1796	3,6463	4,1725	5,2519			541,86			

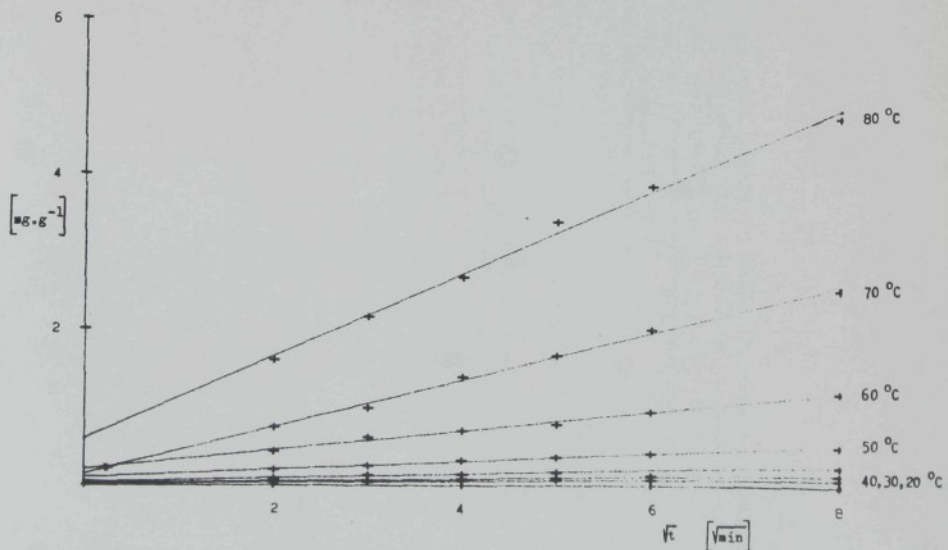
Obr. 10

Průběh sorpcie Basacrylrot GL - bez přenašeče - při různých teplotách  
Tensil S - var. b (neobjemováný)



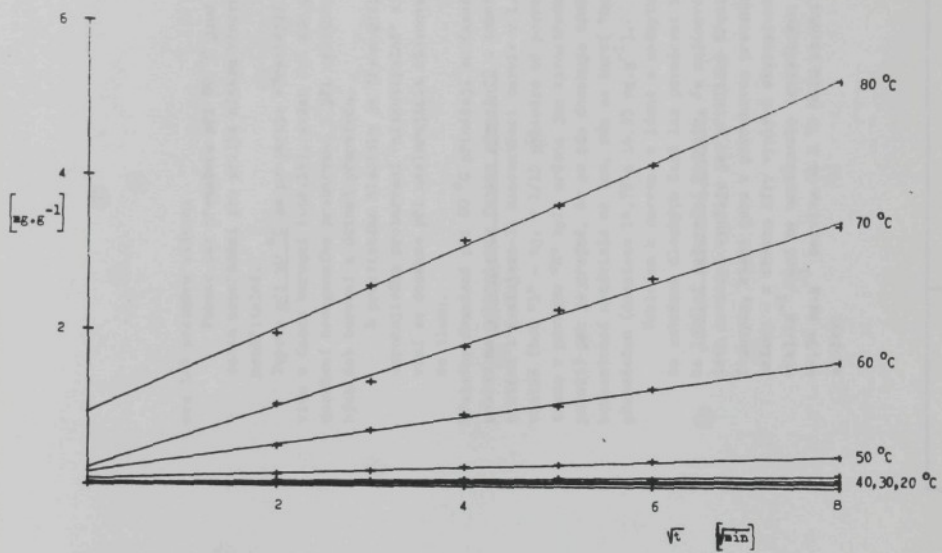
Obr. 11

Průběh sorpcie Basacrylrot GL za přídatku  $1\text{g} \cdot \text{l}^{-1}$  Spolaprenu X při různých teplotách  
Tensil S - var. a (neobjemováný)



Obr. 12

Průběh sorpcie Bassacrylrot GL za přídavku  $1\text{ g} \cdot \text{l}^{-1}$  Společnosti X při různých teplotách  
Tesiil S - var. b (objemováný)



#### 4.4.3 Sledování hlučiny proniku barviva do vlákna

Postup probarvaní vlákna byl kvantitativně posouzen pomocí profilových koncentráčních křivek pořízených mikrofotometrem Ol-opton řízeným kalkulačkou Wang 720 C (stanoven provedeno na kateře chemické technologie vláknitých materiálů VŠCHT v Pardubicích /83/. Uspokojivě zaučitelné výsledky poskytlo sledování pouze za dlouhodobý (teoreticky zaměňený) podmínek a při teplotě vyšší než 80 °C - výsledky jsou záchtevou eratický na obr. 13 a 14. Běžné krátkodobé pokusy jsou za sledovaných teplot touto metodou nepoužitelné. Barvení probíhalo z láně 5 % barviva z hmotnosti vlákna - tedy za podmínek trvalého nadvětu.

Při 80 °C se distribuce barviva v jednotlivých vrstvách průřezu vlákna po 28 hodinách téměř nelíší od stavu dosaženého po 96 hodinách (průměrné koncentrace ve většině zjištěné "makroskopickou" analytickou metodou popsanou u kap. 3.5 přítom čini: 6,97 až 7,50 mg.g⁻¹). Je zřejmé, že difuze barviva do hlubších vrstev vlákna je při této teplotě i za přidavku předepsaného množství zpomalena, ze dosažený stav představuje pseudorovnovášnu. Sorpcie barviva je přitom z 85 % stále soustředěna v povrchovém pláště o tloušťce

cca 1/4 poloměru vlákna.  
Pokusy bez přenašeče při 80 °C jsou i při dlouhodobém uspořádání pro příliš nízkou koncentraci barviva neměřitelné.

Teprvé při 90 °C se projevuje výraznější penetrace barviva s časem barvení (obr.14), avšak ani zde není v důhledu dosažení homogeného probarvení i při uplatnění krajné dlouhým dob barvení a užívání přenašeče.

Z praktického hlediska je třeba připomenout, že uspořádání probarvení "nizkotepelné" získaných výsledků se dosáhne při následujícím objemovém paréním za tlaku.

Výsledky dosažené při 90 °C přinášejí současně i důležitý pohled na mechanismus funkce přenašeče u tohoto barvícího systému: zvažujeme-li koncentraci barviv v 1. podpovrchové vrstvě (vod "1" - tj. v 1/15 poloměru od povrchu, koncentrace v povrchu "R" byla určena jen z prostředkování extrapolační pak je zřejmé, že se zde dosahuje téměř dnodních koncentrací nezávisle na tom, zda se barví "bez" nebo "s" přenašečem (dosaženo 14,73 a 14,95 mg.g⁻¹).

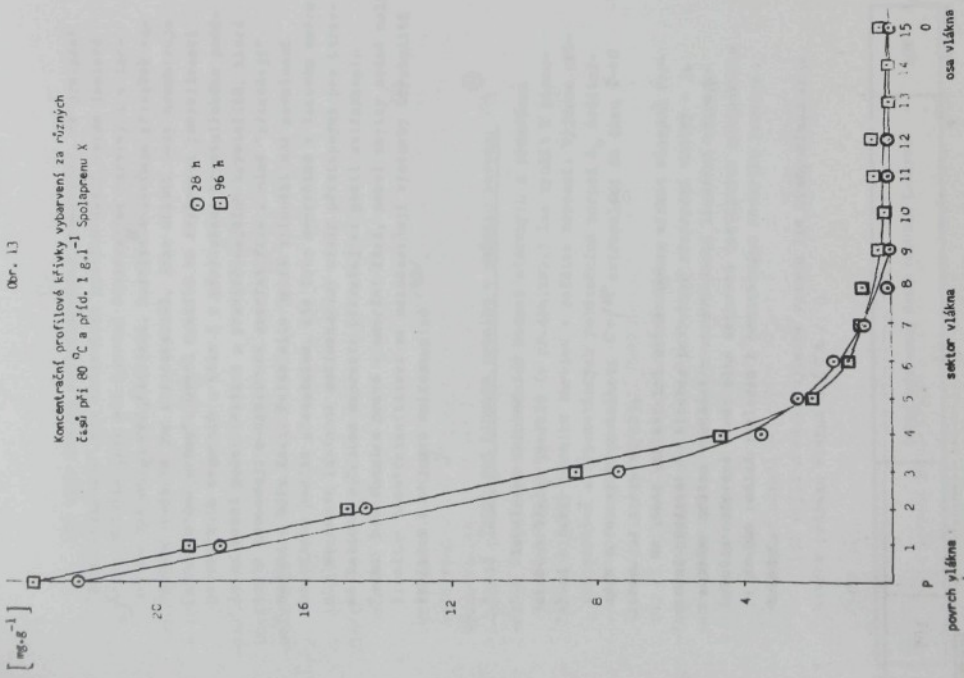
Vzhledem k barvení z lázně o nadbytku barviva a za extrémně dlouhých časů lze považovat tyto hodnoty za lokální saturační hodnoty. Je zajímavé, že se při této saturaci využije jen přibližně třetiny všech sulfoskopin, které jsou v povrchovém prostoru však obsaženy - z obsahu siliry vyplyvá ekvivalent 91,380 mg.kg⁻¹, což by umožňovalo teoretickou sorpcii 44,94 mg.g⁻¹ barviva GL o 75 %ním obsahu barvivové složky.

	Státní výzkumný ústav textilní, Liberec	104
--	---	-----

	Státní výzkumný ústav textilní, Liberec	105
--	---	-----

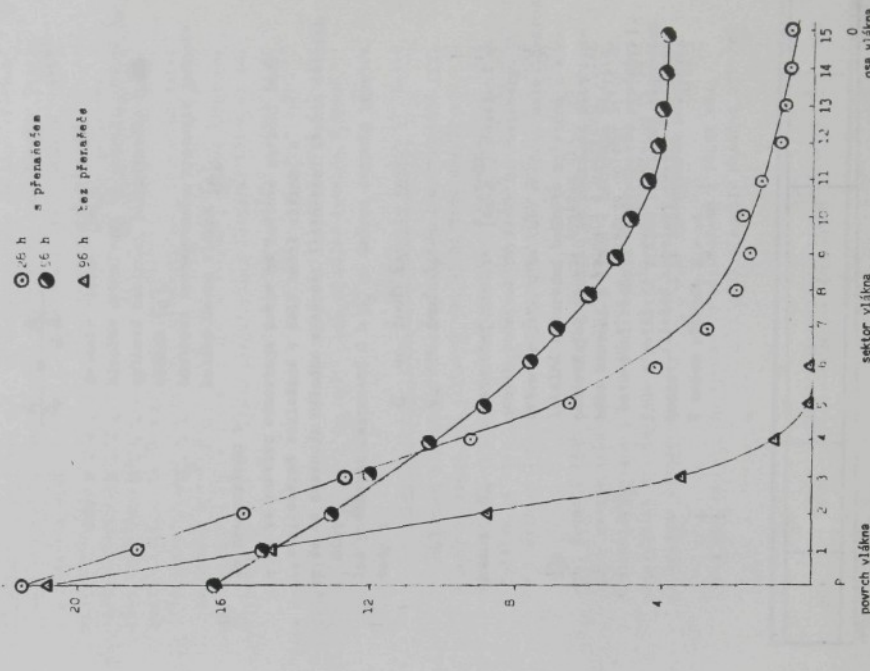
Obr. 13

Koncentrační profily krívky vybavení za různých  
časů při  $80^{\circ}\text{C}$  a  $\text{p}(\text{f})\text{d} = 1 \text{ g}\cdot\text{l}^{-1}$  Spoluprenu  $\chi$



Obr. 14

Koncentrační profilové krívky vybavení s  $1 \text{ g}\cdot\text{l}^{-1}$  Spoluprenu  $\chi$   
(26 a 96 h) a bez přenašeče (96 h) při  $90^{\circ}\text{C}$



Lze tedy mít za experimentálně prokázané, že přenášec "nezpřístupuje" pro kationtové barvivo další vazný iontové body. Odoborně jako při barvení disperzními barvivy i u iontového systému-AES /kationt, barvivo ovlivňuje přenášec saturací hodnotu jen nepodstatně/, jeho účinek tedy nezahrnuje "rozložení dráhy", nýbrž specificky ve zryšavém pohyblirosti polýmerových segmentů a dále i v přesklupeném krystalickém podílu na menší počet větších a pravidelných krystallit, které tolik nemoužejí pohyblivost amorfní fáze a méně "překážejí" difúzi v této fázi. Nelež sice úplně vyloučit ani poměření amorfního podílu přenášecem, ale toto naprobně v takovém směru, aby se četná latenční sulfoskupiny staly přistupnými pro barvení. Přitom naprosto převazující podíl sulfoskupin "musí" být obsažen právě v amorfni fázi, neboť zbytky sodné soli kyseliny 5-sulfosofialové se nezíčastňují výstavby krystalitu vzhledem k ohjemné sulfoskupině /83/.

#### 4.4.4 Vypočtená hloubka proniku v počátku barvení

Lokálních saturacních hodnot získaných z proměření koncentráčních profilů (v předch. kap.) lze využít k posouzení hloubky proniku barviva v počátku barvení. Vyjdeme přitom zároveň z hypotetických pokálečních sorpcí A o určitelných z časových závislostí  $C = f(t)$  extrapolačí do času  $t=0$  (kap.4.4 obr.9 až 12).

Na tomto základě byl učiněn pokus získat alešpon formální předpisek o hloubce povrchové adsorpcní vrstvy - je nezbytné přitom vycházet z oprávněnosti lineární extrapolačce do nulového času; plná saturace dostupných sulfoskupin je přitom reálně vzhledem k podstatnému nadbytku barviva v lázni.

Lze využít z následujícího vztahu (za předpokladu kruhového průřezu vlákna a  $\pi r^2 / 4$ ) :

$$\frac{G_p}{G_p} = \frac{h}{2h}$$

(16)

kde r . . . poloměr vlákna [nm],  
h . . . hloubka probarvení od povrchu vlákna [nm],  
G . . . celková hmotnost jednotkového úseku vlákna [g],  
G<sub>p</sub> . . . hmotnost probarveného prstence jednotkového úseku vlákna [g].

Za předpokladu :

- že se barvivo adsorbuje pouze na iontové sorpční body stejnoměrně rozložené v celé hmotě vlákna, a
- že se dosahuje úplného vyzycení (saturoace) těchto většin míst.

Lze používat hmotnosti G a G<sub>p</sub> za úměrné sorpční barviva, tedy :

$$G = konst. S_o$$

$$G_p = konst. S_p$$

(17)

kde : S<sub>o</sub> . . . saturacní hodnota [mg.g<sup>-1</sup>] dosažená za daných podmínek barvením do rovnováhy. V našem případě může tuto hodnotu substituovat lokální větřureční hodnota zjištěná z koncentráčních profilů za podmínek dlouhodobého barvení z lázni o nadbytku barviva, S<sub>p</sub> . . . saturacní hodnota v povrchovém přestenci (jde o zvláštní případ praktické saturacní hodnoty /11-14/ ) za sledovaných podmínek. V našem případě S<sub>p</sub> → S<sub>o</sub>.

Státní výzkumný ústav textilní, Liberec	108
---	-----

Státní výzkumný ústav textilní, Liberec

Spojením vztahů (16) a (17) dosáhne k výrazu :

$$\frac{\kappa}{A} = \frac{2G_0}{A_0} \quad (18)$$

Jako  $G_0$  využijeme lokální saturační hodnotu určenou pro povrch vlákna z koncentráčních profiliů při  $80^{\circ}\text{C}$  - tj.

$21,0 \text{ mg.g}^{-1}$ . Od srovnatelného kinetického potoku ( $80^{\circ}\text{C}$  1  $\text{g}.1^{-1}$  pňovadlo, neobjemovaný materiál) vychází  $A_0 = 0,62 \text{ mg.g}^{-1}$ .

Poloměr vlákna číslo r =  $8,8704 \cdot 10^{-3}$  mm.

Za vztahu (18) vycházejí hlučka proniku  $h = 129 \text{ nm}$ .

Molekula kationtového barviva vykazuje rozměry /84/ :

$$1,6 \times 0,8 \times 0,3 \text{ nm}$$

a iontové vazné síly působí na vzdálenost 0,1 - 0,2 nm.

Pokud tedy jsou vše uvedené předpoklady reslné, muselo by v počátku barvení dojít k nadsorbování kationtu na sulfosukupin v povrchovém prostenci vlákna, který je o dva rády "tlustší" než délka barevného kationtu. Dosavadní experimentální podklady neumožňují exaktě posuzení (otížkou zářistavě zajímejme o podstatněnost extrapolace z odmocninového zákona na časy blížící se nule).

#### 4.4.5 Určení přechodové teploty barvení

Z teplotní závislosti koncentrace barviva ve vláknu lze výjádřit přechodovou teplotu barvení  $T_d$ .

Jde o dležitou charakteristiku systému polymer-barvivo. Je to teplota, při níž dochází k něhlému vzrůstu rychlosti sorpcie. Teplota  $T_d$  je zhruba úměrná  $T_g$  polymeru ve vodě, ale v dležitku tvaru i velikosti molekul barviva a typu interakce barvivo - vlákno naj-

sou  $T_d < T_g$  (ve vodě) shodné. Fláš /54/ upozorňuje, že velikina  $T_g$  převážně charakterizuje polybílovost segmentů polymeru v axiálním směru, zatímco  $T_d$  v radiálním směru. Další rozdíl spočívá v tom, že pri dležitci postupuje barvivo od povrchu vlákna do nitra, zatímco mechanické deformace probíhají současně v celém objemu materiálu /32/.

Určení zlomu (odpovídajícího  $T_d$ ) u závislosti sorpcie - teplota lze provést různými grafickými zásoby /18,57,63,65/

V našem případě jsme uplatnili objektivní výpočtní metodu /80/ na základě vztahu, jejichž obdobu použili Chao, Cucullo a kol /85/, pro určení  $T_g$  z dilatačních experimentů :

$$C_t = C_e + k_1 (T - T_d) \quad \dots \quad \text{pro } T \leq T_d \quad (19)$$

$$C_t = C_e + k_2 (T - T_d) \quad \dots \quad \text{pro } T > T_d$$

kde  $k_1, k_2$  jsou směrnice approximujících přímek a  $C_e$  je hodnota sorpcie při hledané teplotě  $T_d$ .

Fyzikálně zdůvodnitelnější by ovšem bylo použití váně rovnovážných sorpcních hodnot  $C_{eq}$ , neboť sorpcie  $C_t$  získané v určitých "praktických" časech bervení jsou ovlivněny jak rovnováhou, tak i kinetikou bervení /80/. Rovnovážné hodnoty však nejsou spolehlivě dostupné (ostatně i jiní autori pracují se sorpcemi v reálných - minutových časech).

Hodnoty  $T_d$  byly z teplotních závislostí sorpcí určeny touto approximací metodou (nelineární regresí s kritériem minimu soudího čtvrtce) pro všechny experimentálně sledované časy bervení a jsou uvedeny v tab. X. Příklad přesnického zářistavu proložení approximujících přímek experimentálnimi body je uveden na obr. 15.

Státní výzkumný ústav textilní, Liberec	110
Státní výzkumný ústav textilní, Liberec	111

Tabulka X

[X]

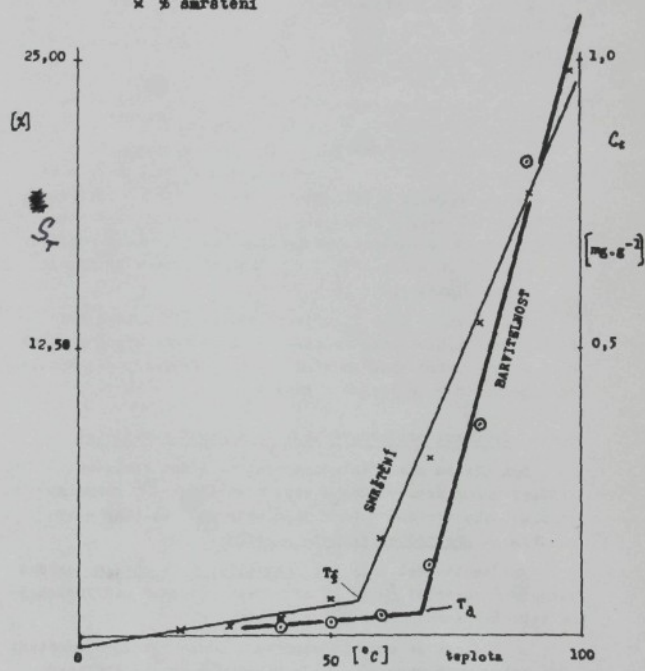
Přechodové teploty barvení  $T_d$  určené approximací přímkami dle Chao a spol.  
 ze sorpčních hodnot v různých časech barvení a graficky z rychlostních konstant.  
 Tesil S nezobjemovaný (a) a předem zobjemovaný (b).

Podmínky		$T_d$ [ $^{\circ}\text{C}$ ] pro časy [min]						$T_d$ [ $^{\circ}\text{C}$ ] z rychlost- ních konstant
		4	9	16	25	36	64	
bez přen.	a) (nezobj.)	76,7	75,7	68,7	68,2	68,3	68,2	68,5
	b) (zobj.)	76,1	68,5	68,2	68,1	67,8	67,7	67,5
$\frac{s}{\lg \cdot l^{-1}}$ přen.	a) (nezobj.)	56,1	55,5	48,8	56,7	56,5	56,1	57,0
	b) (zobj.)	54,8	48,8	48,7	50,64	48,8	49,0	52,0

Obr. 15

Teplotní závislost barvitosti a smrštění vlákna s doložením  
aproximujícími přímkami a odečtením přechodových teplot - Tesil S

○ sorpce Basacrylot GL, pH 5, 36 min.  
× % smrštění



Z výsledku je zřejmá kolísání hodnot  $T_d$  u krátkých bavlnicích časů, "ustálím" se dosahuje u času 25 min. a delších.

Je zajímavé, že hodnoty  $T_d$  při postupu bez přenášení jsou prakticky shodné s hodnotou  $T_g$  vlákna na vzdalu - tj.  $67,5 \pm 0,5$  °C (metodou DMA). Jde o národnou shodu. Neprimo z toho však vypívá, že  $T_d$  se pohybuje o 10 - 15 °C nad teplotou  $T_g$  vlákna ve vodě, jak upozorují i Galragni a Sazena /65,80/. (experimentálně nebylo možno stanovit  $T_g$  vlákna ve vodním prostředí v rozsahu 10 - 15 °C).

Pro srovnání byly  $T_d$  určeny obdobně též z teplotní závislosti rychlostních konstant  $K_1$  konstantky uvedeny v tab. VIII a IX. Dobré shoda s výsledky vypočtenými pro jednotlivé sorbenční časy je zřejmá z tab. X.

#### 4.4.6 Srovnání přechodové teploty barvení a smrštění

Byl učiněn pokus interpretovat teplotní závislost erázeční schopnosti vláken - tedy % smrštění /78/ formálně obdobně jako sorpní nebo z nich odvozené veličiny - výsledkem je přechodová teplota smrštění.

Pro tento účel byly při jednotlivých teplotách hodnoty % smrštění (po 10 minutovém plnobní vody příslušné teploty) - tedy "priamy" způsobem.

Jinak se obvykle stanovuje pouze procento smrštění vlákna za varu - jde vlastně o projev zbytové srázeční síly - lze z něj pouze "neprímo" usuzovat na

smrštění proběhlé v předchozích operacích a smrštění s % smrštění předem neprocovánho vzorku (viz násł. kap. 4.5.).

Ukázalo se, že editivita těchto hodnot ve smyslu vztahu:

$$E_o = E_T + E_g \quad (20)$$

není uspokojivá.

Jde o tento soubor hodnot (u nepředupraveného materiálu):

${}^{\circ}\text{C}$	$E_o$	$E_T$	$E_g$
20	0,35		
30	0,50		
40	0,82		
50	1,66		
60	4,26		
70	7,77		
80	13,67		
90	19,30		

Na obr. 15 je vynesená závislost procenta smrštění na teplotě graficky soutažně s průběhem barvitelnosti ( $t = 36$  min. bez přenášení). Metodou approximujícího primek byla určena přechodova teplota smrštění  $55,6$  °C, tedy výrazně nižší než  $T_d = 68,3$  °C pro srovnatelnou barvicí soustavy. Z toho plynnou názorně omezenou možnosti řešení sledovaného technologického závěru.

Poznámka : přenášecem je závislost smrštění vlákna na teplotě komplikovanější - smrštění se výrazně snižuje nejen s teplotou, ale i s dobou přesnění a s dávkou přenášeče.

	Státní výzkumný ústav textilní, Liberec	114
	Státní výzkumný ústav textilní, Liberec	115

Tabulka K.I  
Zbylá srážecí schopnost  $\mathcal{S}$  po barvení [%]

		doba barvení [min]				
Teploplota pěnaši [°C]	[g·l <sup>-1</sup> ]	9*	16*	25*	36*	100*
nebarvený mat.		24,63				
45	bez	23,42	-	-	-	23,98
	0,3	23,24	22,93	22,63	22,47	21,62
	1,0	22,91	22,05	21,32	20,68	18,85
50	bez	22,54	-	-	-	22,56
	0,3	22,04	21,35	20,73	20,40	19,42
	1,0	21,24	20,56	19,47	18,43	16,28
55	bez	21,22	-	-	-	21,08
	0,3	20,97	20,26	19,67	19,12	17,73
	1,0	20,33	19,45	18,25	17,39	15,16
60	bez	17,46	-	-	-	17,21
	0,3	17,31	17,09	16,43	15,94	14,38
	1,0	16,89	16,22	15,37	14,64	13,37
65	bez	13,53	-	-	-	13,42
	0,3	-	-	12,52	-	-
	1,0	-	-	11,60	10,53	7,80

#### 4.5 Vliv podmínek barvení na srážecí schopnost vlákn

Při praktickém využití kvanitativních zákonitostí formulovaných v předcházejících kapitolách se naráží jaco na limitující faktor na zhoršení sráživosti vláken v důsledku kombinovaného vlivu teploploty, pfre - násere a v menší míře i doby barvení.

Pro základní změřování těchto tří vlivů byly provedeny série experimentů, jejichž výsledky jsou uvedeny v tab. XI. Vycházel se z teploplotných rovin 50 - 55 - 60 °C, což podchycuje provozně nejvýznamnější oblast. Teploplota 65 °C představuje už natolik drastický vliv, že je ji využít již nemůže běžně přicházet v úvahu.

Lze konstatovat, že :

- bez přesadeček se ustaví vyšrazený stav vlákn v nejkratší době - první reprodukovatelně měřitelné hodnoty (po dosažení teploplotního vystoperování) poskytuje již ustálený stav, delší změna s dobu zpracování v lánici je nepodstatná,

- za příjemnosti přesadeček se ztráta sráživosti progresivně zvyšuje, a to současně dvěma vlivy :  
a) se zvyšováním koncentrace přesadeče,  
b) s postupujícím časem expozice - jak difundující přesadeček zasahuje a rozvolňuje postupně stále delší oblasti vnitku vláken.

Na základě této výsledku lze snadno určit tekové podmínky barvení, při nichž se potřebná zbytková sráživost vlákna udrží na potřebné výši. Objektivně lze pak určit nejúčinnější variantu pro dosažení určitého odstínu pomocí počítače - jak je naznačeno v delší kapitole.

#### 4.6 Optimalizaci studie

Pro případ studovaného barviva Bassacrylrot GL byla sledována možnost určování optimálního režimu barvení pomocí počítače. Výjdeme z těchto veličin s onezujících podmínek :

$C_s$  - požadované vybarvení o síle C [ $\text{mg} \cdot \text{g}^{-1}$ ] realizujeme prostřednictvím násadní střítočky [2] z hmotn. vlivk. J,

T - teplota se může pohybovat v rozmezí 20 až 60 °C,

t - servisní čas se může pohybovat v rozmezí 16 - 90 min. (nodnot 16 min. zvolena jako technologicky minimální teplota potřebná pro stejnoranné probarvení bloku materiálu),

- vzhledem k nízké teplotě barvení neuvažujeme jinak obvyklé používání teploploty. I provozně lze počítat s izotermním postupem, případně odchylky nebudu vyleví,

d - dárka přenášeče Spolapren X : 0 až 1 g.l<sup>-1</sup>, při používání 1:70, který je v rámci této studie uvažován jako konst.,

$\Phi$  - aráživost vlákn na po barvení  $\Phi$  nesmí poklesnout pod hodnotu 0,7 min.

Praktické technologické požadavky barevný mohou být různé. Rbánym upřednostňováním jednotlivých kritérií docházíme k tému typickým alternativám :

A/ Postup při určení teplotě a dobu (jde o zachování standardní technologie - jako běžného případu se přidržíme 55 °C a 60 min)

vypočítá se : d, t,  $\Phi$ , s,

#### B/ Postup při určení teplotě

vypočítá se : d, t,  $\Phi$ , s,

c/ T i t volné - systost se řídí pouze dávkou přenášeče. Jde o optimalizační zadání výpravy případ, kdy řešení může být při různých teplotách s vypočteným d i t. Zvláštním případem je :

D/ - Jako C, avšak upřednostňuje se požadavek co nejnižší dávky přenášeče d, případně barvení bez přenášeče (z toho využití nejvýšší přípustné T = tedy 60 °C),

E/ požadavkem je co nejméně strata sráživosti - tedy že o využití nejšetrnejšího postupu s ohledem na základní cílovou vlastnost materiálu. Ostatní kritéria volná (ve výše uved. mezích),

vypočítá se : d, T, t,  $\Phi$ , s.

Zpracování této problematiky bude předmětem zvláštního sdělení.

#### 4.7 Sopce přenášeče

##### 4.7.1 Úvod

V souvislosti s nařízením kationtových barev na aniontové modifikovanou PES vlnkou vyráběvou důležitá otázka, jak rychle a do jaké míry se za jednotlivých "nízkých" barvících teplot na vlnku vzdá přenášeč, který - jak dokázano v předchozích kapitolách - má rozhodující význam pro dosažení výraznějšího obarvení za sledovaných "teplotně neobvyčejně skromných" podmínek.

	Státní výzkumný ústav textilní, Liberec	118	Deutsche
	Státní výzkumný ústav textilní, Liberec	119	

	Státní výzkumný ústav textilní, Liberec	119	
	Státní výzkumný ústav textilní, Liberec	119	

Fro hlubší pohled na účinky hlavních komponent provozní osvěženého směsáního přenašeče (obchodní název Spolapren X, výr. Spolchemie, Osij n.lab.) bylo sledováno paralelně i chování jednotlivých složek.

#### 4.7.2 Experimentální část

Sorpce přenašečů byla sledována za stejněho uspořádání jako u poukaz barvnicích - viz. kap. 3.4. Po uplynutí sledované doby byl vzorek oplichnut vodou 30 °C teplou 5x a následně směsí etanol-voda 1:1 20 °C teplou 3x (vše pouze po 10 s) s cílem zajistit odstranění povrchových vrstev přenašeče - přihlédnutím ke zkušenostem Jina a Catese [77].

Ko stanovení přenašečů na PBS výklenkach jsou popsány metody gravimetrické [67,77,80,87-89] i extrakční [75,76,90], ve VÚZ bylo vypracováno stanovení pomocí plynnové chromatografie [90]. Přidržali jsme se gravimetrického zjistování. Slabina této metody - tj. znefenzemní vlivem stoupající navlhavosti při zvyšujícím se obsahu přenašeče [88/89] - se za nám sledovaných podmínek a dávek přenašeče může projevit jen v nepodstatné míře. Postup : opálenuté a odzdušněné vzorky se suší do konstantní hmotnosti při 20 °C/65% rel. vlhkosti. Následuje tepelný zok v laboratorní sušárně (100 s při 200 °C), při kterém dojde k prakticky úplnému vytěkání adsorbovaných přenašečových substancí z vlněkna. Vzorky se potom suší cca 15 min. ve vlážné vodě, odžídnou a suší opět do konstantní hmotnosti za stejných podmínek jako před termotokem (ověřili jsme, že smocení a dosahování konstantní hmotnosti "ze stejného směru" jako u původních vzorků vede k přesnějším výsledek zřejmě důsledku potlačení hysterézni odchyly při sušení).

Z hmotnostní diference se po odečtení tarekce na slípý pokus ( $1,857 \text{ mg} \cdot \text{g}^{-1}$ ) vypočte procentuální obsah přenašeče ve vzorku. Všechny pokusy byly provedeny minimálně duplicitně.

Přespráva přenašečových soustav : vycházelo se z běžného sloučení Spolaprenu X (z důvodu ochrany podnikových zájmů neuváděme podrobne) eliminacním způsobem, při čemž xylen byl nezbytné jako pomocné rozpuštědlo použit ve všech případech. Pro srovnání je paralelně sledováno i chování "kompletního" Spolaprenu X. Dosace srovnaných komponent byly uplatňeny hmotnostně, pro sledovaný účel se nejevilo ekvivalentní srovnání účelně.

#### 4.7.3 Výsledky a jejich diskuse.

V tabulce XII sledujeme kinetiku sorpcie Spolaprenu X na Testu S při různých teplotách a při dosaci  $2 \cdot 8 \cdot 1 \text{ g} \cdot \text{dm}^{-3}$  (t.j. 14 % z hmotn.). Výklyna při použití délky lázně 1:70). Lze konstatovat :

- v teplotním intervalu 20 - 60 °C roste s teplotou významně absolutní hodnota sorpce přenašeče. Relativní rychlosť sorpcie s teplotou podstatně nemění,
- nad 60 °C probíhá sorpce natolik rychle, že převažující část absorbovaného přenašeče je vezána na vlněno Již v 1.sledovaném bodě (10 min.). Je zde patrné rychlé přiblížování saturační hodnotě (odhad : kolem 65 mg/g<sup>-2</sup>), které se však v ideální podobě za 1 hodinu barvení ještě nedosáhne,
- při nižších teplotách probíhá přiblížování rovnovážnému stavu znacně pomaleji. Je zde zároveň náznak, že saturační hodnoty přenašeče se značně snižují s klesající teplotou v oblasti pod 60 °C.

Tabulka XI

Průběhy sorpcí Spolaprenu X na Tesil S při různých  
průměrech a délce.

Tempo- tu- ra [°C]	sorpce [mg·g <sup>-1</sup> ]					v base [min]
	4°	10°	20°	30°	45°	
20	-	2,13	2,57	2,68	3,06	3,20
30	-	3,23	4,81	5,44	6,64	6,80
40	-	6,59	9,70	11,59	12,82	13,63
50	10,318	14,44	17,54	20,95	23,42	26,72
60	-	26,39	35,79	42,783	49,176	52,80
70	-	46,52	49,82	52,634	55,69	57,05
80	-	54,40	55,82	56,87	58,13	58,65
90	-	59,15	60,12	60,78	61,52	62,64

Pro oblast praktického "nízkotepelného" barvení je důležité, aby se co nejvýš podíl přenašeče vloženého do lázně co nejrychleji, i když naprostě egálně absorboval do vlnáku tak pozitivně "co nejdřív" ovlivní naštípici barviva. Ze zjistěných hodnot plyne, že i při použití naštípici přenašeče (14 % z hmotn. vlnáka) se na vlnáku v rozhodující době (uvážována st. tisíc po 20 - 30 min. procesu) význam ztrába Jen :

p <small>¶</small>	$\tau$	20 °C	0 °C	· · ·	0,2 %	průměr šířky	(z hmotn. výškna)
		30 °C	· · ·		0,5 %	"	
		40 °C	· · ·		1,0 %	"	
		50 °C	· · ·		2,0 %	"	
		60 °C	· · ·		4,0 %	"	
		70 °C	· · ·		6,0 %	"	

Z těchto výsledků je i zřejmé, že zvyšování teploty kromě "příjemné" urychlení difuze barviva je účinné také + cože vede k rychlejšímu a výšejšímu výkonu.

Limp, ze vešte klytuje, a vysí svému přecestovce, kocu pak druhotně urychluje dílčí barvu.

- 10 -

Vzhledem k tomu, že se pohybujeme v oblasti koncentrací o několik řádů vyšších než jsou rozsahy vlnených vody

né fázi, nelze pracovat s rozdělovacím koeficientem v pravém smyslu. Pro názornost je proto v tabulce uvedeno "procento

"výtažení" přenášeče na vlátko způsobem obvyklým v barvitství. Graficky (viz. obr.16) jsou dosažené hodnoty přehledně interpretovány způsobem běžným u adsorčních izoterm. I když zde

Koncentrace v kapalné fázi  $C_L$  zahrnuje souhrně jak především sůl anzenzi, tak i nenantrový nodí sloučenin rozmístěných s oložkami.

Tabulka XIII

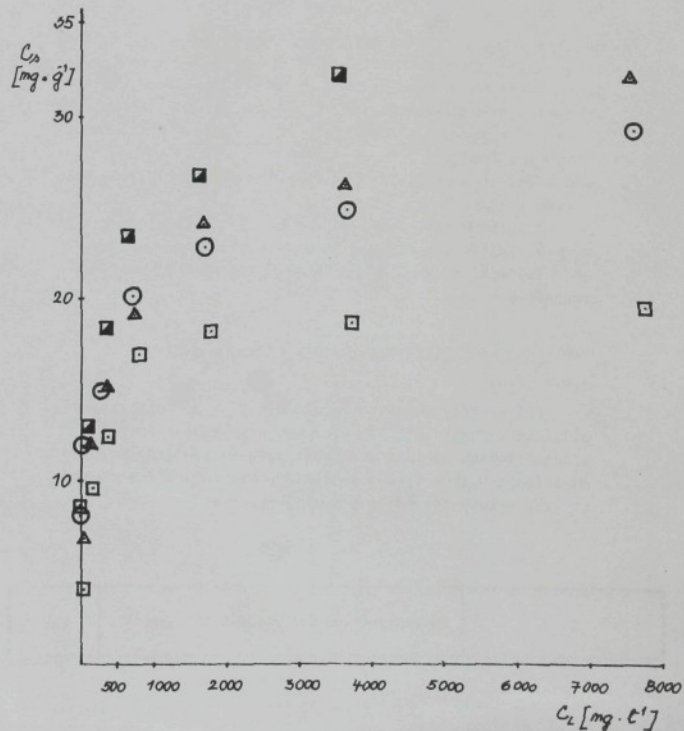
Rozdělování Spolaprenu X a jeho složek mezi lázénou ( $C_L$ ) a Tesil S ( $C_S$ ) při  $50^{\circ}\text{C}$  60 minut, 1:70

	DIFENYL/xylen			NAPTALEM/xylen			XYLEM			SPOLAPREN X		
	$C_S$ [mg.d <sup>-1</sup> ]	$C_L$ [mg.d <sup>-1</sup> ]	Vytísnění na vláknce [%]	$C_S$	$C_L$	%	$C_S$	$C_L$	%	$C_S$	$C_L$	%
0,15	8,01	35,57	76,3	7,09	48,71	67,5	6,01	64,14	57,2	8,32	31,14	79,2
0,3	12,06	127,714	57,4	12,10	127,14	57,6	9,78	160,29	46,6	13,83	102,42	65,9
0,5	15,44	379,4	36,8	15,23	382,42	36,3	12,39	423,00	29,5	18,26	339,14	43,5
1,0	20,02	714,01	28,6	19,66	719,14	28,1	16,94	758,00	24,2	23,41	665,57	33,4
2,0	22,79	1674,43	16,3	21,06	1670,57	16,5	18,11	1741,29	12,9	26,72	1618,29	19,1
4,0	24,94	3642,71	8,9	26,89	3615,85	9,6	18,68	3733,14	6,7	32,29	3538,71	11,5
8,0	29,26	7582,00	5,2	32,39	7537,28	5,8	19,56	7720,57	3,5	nez.j.	-	-

Obr. 16

Vztah mezi koncentrací přenašečových komponent v lázni  $C_L$   
a na vlákně  $C_s$  při  $50^{\circ}\text{C}/\text{lh}$  a poměru lázně 1:70.

- bifenyl
- △ naftalen
- xylen
- Spolospren X



Z výsledků je zřejmé, že :

- bifenyl i naftalen se absorbuje podobně.
- Ponkud vyšší dosažené sorpční hodnoty naftatenu za vysokých dosačí do lázně. Je nutno být s rezervou, neboť se zde již může výraznější projevovat nepřenosnost použité gravimetrické metody, diskutované v experimentální části (ostatně tato oblast je pro sledované praktické použití již nereálná);
- xylen, pěstože jeho hlavním účelem ve směsném přenašeči je pouze převedení naftalenu a bifenylu do kapalné fáze, vykazuje sám rovněž podstatnou sorpcii na vlákno (ovlivněný barvících vlastností viz kap. 4.8). Při nižších dosažicích se sorpce přibližuje úrovni dosažené s ostatními komponentami;
- u směsi se dosahují méně zvýšené sorpce než u jednotlivých složek.

Z průběhu závislostí je zřejmé, že docílení sorpce na vlákno významně než 20 mg/g se za sledovaných podmínek 50 °C/60 min. dosáhne jen za cenu nadmerného nahromadění přenašeče v lázně.

#### 4.8 Použití dalších intenzifikačních příslad

##### 4.8.1 Úvod

Při použití běžných přenašečů lze za nízkotemeljných podmínek barvení (při 50 °C, v krajním případě 60 °C) v běžných dobách barvení dosahnut systosí odstína, které odpovídají 0,15 - 0,20 % kationtových barv běžné obchodní sily - tedy jde pouze o světlé vybarvení.

Při průzkumu dalších možností intenzifikace barvení Tesliu S za tétoho teplot (s cílem uchovat sráživost vlákna) bylo pohlédnuto k výsledkům Rebenfelda a spol. o účinku organických rozpouštěadel na mechanické vlastnosti PES výkenných [91-95]. Tito autori použijí plastifikační účinnosti rozpouštěadel na PES podle průběhu teplotní závislosti vysržení vlákna při speciálním dynamickém uspořádání experimentu. Extrapolací určují tzv. teplotu nulové sráživosti ( $T_o$  - viz tabulku XIV), která přibližně odpovídá teplotě skeletního přechodu  $T_g$  u sledovaného systému. Jako doplňující fyzikálně chemické kritérium uplatnili tzv. parametr rozpustnosti  $\delta'$  běžný v průmyslu jako apod. /69 a/.<sup>6</sup> Upozornili, že k největší interakci dochází, když se  $\delta'$  rozdíla blíží parametru PESV, tj.  $\delta' = 10,7$ .

Rozdělují se dva typy účinku rozpouštěadel : rozpouštěadla s  $\delta' = 11,5 - 13$  interagují s alifaticko-esterovou částí fetace (jde o látky silně polární, schopné vytvářet vodíkové mlnky, jako např. dimethylformamid nebo dimethylsulfoxid), zatímco rozpouštěadla s  $\delta' = 9 - 10$  (silně polární, jako např. dioxan a tetrahydrofuran) vytvářejí interakce převážně s aromatickou částí fetace.

Vysl. Jane z teoretických poznatků o účincích přenašečů (viz kap. 2.2.4) a vytvořili předpoklad, že intenzifikace difuze barviva při nejmenším do svrchních sekord vlákna bude tím možnatejší, čím je snížení teploty  $T_g$  a tedy přiblížení  $T_g$  určitým rozpouštědlem výraznější.

Z provozních a ekonomických důvodů zůstává aplikace Rebenfeldových výsledků na nás systemem omezena pouze na vodní emulze uvažovaných rozpouštěadel.

Státní výzkumný ústav textilní, Liberec	126
Státní výzkumný ústav textilní, Liberec	127

Tabulka XIV

Orientační hodnoty teplot skelného přechodu PESw v různých rozpouštělích vyjadřené hodnotou tzv. teploty nulové sráživosti  $T_0$  a parametry rozpustnosti  $\sigma$  použitých rozpouštědel /91/

rozpuštědlo	$T_0$ [°C]	$\sigma$ [J $\cdot$ m $^{-2}$ . $^{\circ}$ C $^{-1}$ . $^{487}$ ]
suché vlákno na vzduchu	83	-
butylalkohol	30	11,30
perchloroetylén	20	9,36
toluán	20	8,81
propionitril	-3	10,50
acetonitril	-8	11,75
dimethylsulfurid	-15	12,93
trichloretylen	-18	9,28
$\sigma$ - butyrolakton	-23	12,78
chlorbenzen	-33	9,57
benzildihyd	-37	10,40
morpholin	-54	10,52
nitromethan	-54	12,30
dimethylacetasid	-57	10,80
nitrobenzen	-61	10,62
dioxan	-63	9,74
pyridin	-67	10,61
dimethylformamid	-72	12,14
methylenebromid	-81	10,70
1,1,2 - trichloethan	-92	10,18
1,1,2,2 - tetrachloethan	-134	9,85
chloroform	-143	9,56

U látok rozpustných ve vodě ( $\sigma > 0$ ) výšší než přibližně 11) je výsledný efekt nepravidelné ovlivněn nedostatečně vysokým rozdělovacím koeficientem mezi vlákno a vodné prostředí. Byly získány hodnoty nesvýrazné koloristické efekty např.  $\sigma$  dimethylformamidem, a to i při ověřování již zcela neekonomických koncentrací nad 20 g·l $^{-1}$ .

Přitom nelze reálně počítat s barvením nebo předupravou, na tzv. starých lázních vzhledem k tomu, že technologicky bylo prakticky nezvládnutelné přesné doplnění koncentrací rozpouštědla a barvív.

#### 4.8.2 Výsledky koloristického průzkumu

Nejtypičtější výsledky z širokého koloristického průzkumu uvádí tab. XV. Jde o srope dvojí disperzních barvív a namíti sledovaného kationtového barviva /69/, dosažené po 20 minutovém barvení při 50 °C. Vidíme, že nejvyraznější intenzifikaci barvení poskytl 1,1,2,2 - tetrachloorethan, který se nalezá ke konci Rebenfeldovy řady rozpouštědel seřazených podle stoupajícího ovlivnění vlákna (hypotetická teplota nulové srážnosti  $T_0$  činí 134 °C). V koncentrováném stavu je sym.-tetra-chloorethan znadným rozpouštědlem vláken.

Značný intenzifikaci účinku vykazuje chlorbenzen ( $T_0 = -33$  °C) a dále v pořadí je trichlorethylen ( $T_0 = -18$  °C) - potvrzdila se tedy realnost pracovní hypotézy alespoň v hrubých rýsech.

Je zajímavé, že chlorbenzen je značně účinnější než o-dichlorbenzen, ačkoliv při barvení nemodifikovaného Tesílu 12 je tomu napak (pro srovnání viz tab.XVI - pokusy s Tesilem 12 při 98 °C).

Tabuľka XV

Vliv typických organických rozpúšťadiel emulgovaných v dávke 4 g·l<sup>-1</sup> do barvící lázne na sorpciu disperzných barvív dosáženou na Testlu 12 za 30 min. pri 98 °C (zástrek barvení pri 70 °C, barvia dosáženou na Testlu S za 20 min. pri 50 °C

Intenzifikačná prírsada 4 g·l <sup>-1</sup>	Koncentrácia väzaneho barviva ve vlákne [mg·g <sup>-1</sup> ]		
	Ostacet. šariach S-LG (Disp. Red 54)	Ostacet. modt E-LG (Disp. Blue 81)	Basacrylrot GL kanz. (Bas. red 29)
- bez -	0,69	1,25	0,108 (0,047)
sym. tetrachlorethan	18,91	-	3,18 (1,68)
trichlorethylen	9,29	1,02 (0,564)	-
o-xilen	2,97	0,292 (0,212)	-
m-xilen	3,25	3,92	0,313 (0,203)
p-xilen	2,85	3,57	0,272 (0,192)
chlorbenzen	7,65	9,43	1,70 (0,899)
Spolaren X	4,97	4,85	0,484 (0,268)
o-dichlorbenzen	5,35	7,35	0,425 -
perchloretyleen	1,89	1,70	-

(v záverce je uvedena združená nižšia súčosť  
pred zobjemováním)

Tabuľka XVI

Vliv typických organických rozpúšťadiel emulgovaných v dávke 1 g·l<sup>-1</sup> do barvící lázne na sorpciu disperzných barvív dosáženou na Testlu 12 za 30 min. pri 98 °C (zástrek barvení pri 70 °C, lázne 1:70, násadná súčosť 4 % z hmotnej vlnky)

Intenzifikačná prírsada 1 g·l <sup>-1</sup>	Koncentrácia väzaneho barviva ve vlákne [mg·g <sup>-1</sup> ]			
	Ostacetová modt E-LG (Disp. Blue 81)	Ostacetová modt E-LG (Disp. Blue 81)	Ostacetový šariach S-LG (Disp. Red 54)	Ostacetový šariach S-LG (Disp. Red 54)
- bez -	9,65	4,50	2,32	2,32
jen emulgátory	9,16	4,32	2,12	2,12
benzen	11,02	8,32	3,95	3,95
toluén	12,38	12,15	7,83	7,83
oxylen	16,09	22,00	10,33	10,33
methylen	16,10	24,38	11,06	11,06
pxylen	12,86	14,82	9,87	9,87
chlorbenzen	16,83	18,78	10,57	10,57
trichloretyleen	10,12	8,35	4,72	4,72
Spolspren X	18,32	25,73	12,14	12,14
perchloretyleen	9,58	6,77	3,52	3,52
o-dichlorbenzen	18,83	28,52	14,52	14,52

Srováná s vybranými nejúčinnějšími rozpouštědly – přenášení vyanívá pro všechny izomery xylenu i pro jejich obchodní směs s bifenylom a naftalenem (Spoluspran X) dosíti nepříznivé u Tesilu S při 50 °C. Naopak při 98 °C na Tesilu 12 je zjednáno o – a m-xilen velmi účinný a srovnatelný s účinkem chlorbenzenu.

Rozdílů účinek xylenu při barvení Tesilu S a nemodifikovaného Tesilu 12 pravděpodobně souvisí s odlišnou polaritou těchto vlnků. Lze předpokládat, že Tesil S využívá vyšší hodnotu parametru rozpuštěnosti než nemodifikované PESV o  $\sigma = 10,7$  vzhledem k obsahu polárních modifikací komponenty a tím tédy má méně možnosti pro interakce s malo polárními xyley. Pro přesnější závěry však chybí kvantitativní podklady o  $\sigma$  a  $\delta'$  Tesilu S.

#### 4.8.3 Ovlivnění mechanickofyzikálních vlastností

Vliv sym.-tetrachlorethenu a trichlorethenu použitých při nizkotplotním barvení Tesilu S na základní vlastnosti vlákna jsou zachyceny v tab. XVII a XVIII.

Přiměřená relativní pevnost původní vlákna činí 0,0343 N/dtx<sup>-1</sup>, takže pozorujeme poměrně značný ubyt o cca 20 % již za přídavku 1 ml/l - tetrachlorethenu. Právida trichlorethenu vytvářejí oddoby pokles, avšak při zvyšování koncentrace se dále nezměruje. Právoda však nedochází k natolik výrazné intenzifikaci barvení.

Pro naše sledování je podstatné, že sráživost vlákna se trichlorethenem zhorší výrazněji. Specifikem však u sym.-tetrachlorethenu je relativně značné snížení pevnosti, ale uchování sráživosti v únosných mezech.

Délka	Doba	ReL,佩vnost [N,dtx <sup>-1</sup> ]	Tažnosť [ml <sup>-1</sup> ]	Smrštění ve výrobci voda [%]	4
2	20	2,61	14,5	21,7	
	10	2,48	15,2	19,0	
	20	2,32	17,4	18,7	
	60	2,06	20,4	17,3	

Vliv emulgiovaného sym.-tetrachlorethenu na mechanické vlastnosti Tesilu S při barvení za teploty 47 °C a poměru lahvaz 1:35

tabuľka XVII

Státní výzkumný ústav textilní, Liberec	132	
		Státní výzkumný ústav textilní, Liberec

Tabulka XVIII

Vliv emulgování trichloretýlu a sym.-tetrachloretanu na mechanické vlastnosti Testilu S při barvení za teploty 50 °C, 20 min., lázeň 1:70

Přísada rozpouštědla	Rél. pevnost $[m\cdot l^{-1} \cdot N \cdot dte^{-1} \cdot 10^{-2}]$	Táhlost [%]	Smršťení ve vroucení vodě [%]
trichloreylen	3	2,79	27,4
	10	2,67	37,8
			3,68
sym.-tetra- chlorethan	0,3	3,11	26,6
	1	2,77	15,8
	3	2,11	27,0

## 4.8.4 Teoretické sledování účinků 1,1,2,2-tetrachloretanu

Závislosti sorpce - čas při různých teplotách (při 50 °C s dvma koncentracemi barviva) za přídavku 3 g·l<sup>-1</sup> sym.-tetrachloretanu jsou uvedeny v tabulce XIX. Na obr. 17 je zobrazen vliv koncentrace barviva v lázni na průběh natahování na vlnáno. Při dostatečném nadýtku barviva v lázni se růst sorpce v počáteční fázi barvení odmocinovým zákonem (lineární závislost  $C_t$  vs  $\sqrt{t}$ ).

Obr. 18 zachycuje průběh sorpce od 4 do 36 min. při podstatném nadýtku barviva v lázni za teplot 20 až 80 °C. Směrnice závislosti  $C_t$  vs  $\sqrt{t}$  (při použití jiným významem rychlostní konstanty  $K_1$ ) jsou uvedeny rovněž v tab. XIX. Vypočtená úsek na osy y lze přiřadit význam počáteční adsorpce. Tz se pohybuje v rozmezí 0,6 až 0,7 mg·g<sup>-1</sup>, těprve od teploty 70 °C se progresivně zvyšuje.

Posuzením lineární regrese vztahu ln  $K_1$ -reciproká hodnotu absolutní teploty bylo ověřeno, že teplotní závislost rychlosťních konstant není arrheniovská.

Rychlosť barvení za přítomnosti sym.-tetrachloretanu se jen nevyrázně zvyšuje s teplotou - při vzdálosti teploty o 60 °C se zvýší  $K_1$  pouze na zhruba dvojnásobek i to je zásadní rozdíl proti barvení bez přenašeče ( $K_1$  se za obdobných podmínek zvýší 46,6 x) i s 1 g·l<sup>-1</sup> Spolaprenu X (67,8 x). Z toho prekliky vyplývá, že sym.-tetrachloretanem je barvení intenzifikováno nevyráznější při nejnižších teplotách: při 20 °C se dosahuje v 9. minutě zhruba 40 x sýtějšinu vybarvení než se 3 g·l<sup>-1</sup> Spolaprenu X, při 50 °C již jen 9 x sýtějšinu. I to by byl podstatný přínos,

Tabulka XIX

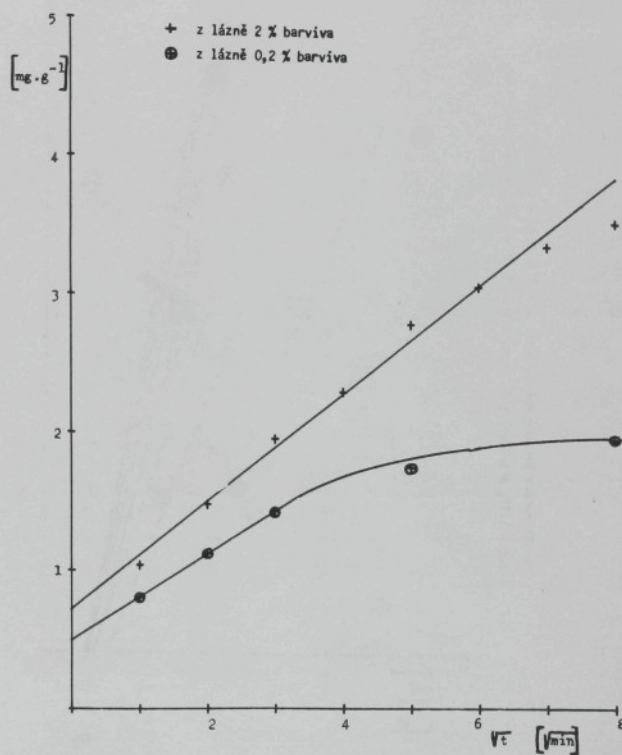
Průběh soruce  $\text{MMAcrylic} \text{ GL}$  na  $\text{Tesil S}$  za příslušny  $3 \text{ g} \cdot \text{l}^{-1}$  sym.-tetrachlorethanu při různých teplotách, 2 % barviva z hmotn. vláknna (při  $50^\circ\text{C}$  t.62 0,2 %)

teplota [°C]	Soruce $[\text{mg} \cdot \text{g}^{-1}]$ v čase [min]								rychl. konst. $K_1$	korel. koef.	sázorce v $t=0$ [ $\text{mg} \cdot \text{g}^{-1}$ ]
	1'	4'	9'	16'	25'	36'	49'	64'			
20	1,165	1,480	1,863	2,110	2,339				0,2978	0,9950	0,60020
30	1,221	1,622	1,924	2,186	2,513				0,3148	0,9974	0,6340
40	1,307	1,787	2,075	2,478	2,758				0,3593	0,9960	0,6438
50	1,037	1,473	1,945	2,282	2,767	3,035	3,322	3,489	0,3947	0,9963	0,7221
50 (0,2% vyb.)	0,805	1,115	1,420	-	1,735	-	-	1,932	-	-	-
60		1,675	2,263	2,847	3,393	3,698			0,5156	0,9939	0,7168
70		2,144	2,663	3,467	4,012	4,539			0,6139	0,9971	0,9094
80		2,791	3,692	4,402	5,062	5,410			0,6608	0,9888	1,6282

Státní výzkumný ústav textilní, Liberec	Densitom
136	

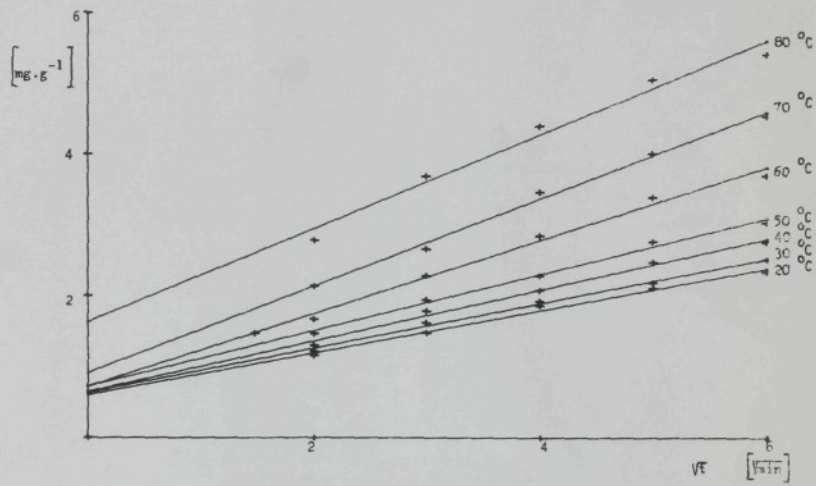
Obr. 17

Průběh vytahování Basacrylrot GL/Tesil S, 50 °C, lázen 1 : 70  
za přídavku 3 g.l<sup>-1</sup> sym.-tetrachloretanu



Obr. 18

Průběh sorpcie Basacrylrot GL/Tesil S, 2 % barviva z hmotnosti vlákna,  
lázen 1:70, příslada  $3 \text{ g} \cdot \text{l}^{-1}$  sym.-tetrachloretanu při různých teplotách



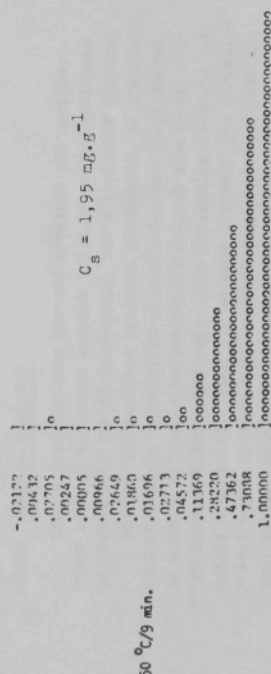
pokud by toho bylo možno využít technologicky.

V souvislosti s údaji Nebenfelda o teplotě nulové sráživosti lze očekávat, že sledovaný teplotní interval 20 - 80 °C se pohybuje vysoko nad příslušnou přechodovou teplotou barvení  $T_d$ . Srovnatelnost s Nebenfeldovými výsledky je sice omezena námi uplatněnou aplikací rozpouštědla ze zředěné vodní emulze, avšak na druhé straně lze mít zato, že na povrchu vlákna se vytváří vysoko koncentrovaná vrstvička rozpouštědla, takže ovlivnění povrchových a pod povrchových vrstev bude podobné jako při vložení do čistého rozpouštědla.

Stupeň probarvení vlákna lze posoudit na základě spektrofotometrického mikrostenovení koncentračních profilových křivek (mikrospektrofotometr Ol - Opton řízený kalkulátorem Wang 720 C), které bylo provedeno na katedře chemické technologie textilu VŠCHT v Pardubicích /83/. Z diagramového znázornění na obr. 19 je zřejmé hlubší pod povrchové probarvení dosažené již 9. minutovým barvením při 50 °C a další prohloubení po 49. minutách barvení. Pro úplnost je zachyceno i úplné probarvení dosažené u téhož vzorku dodatečným zpracováním ve slepé lázni při 115 °C/1 hod. za účelem srovnatelného měření barevnosti.

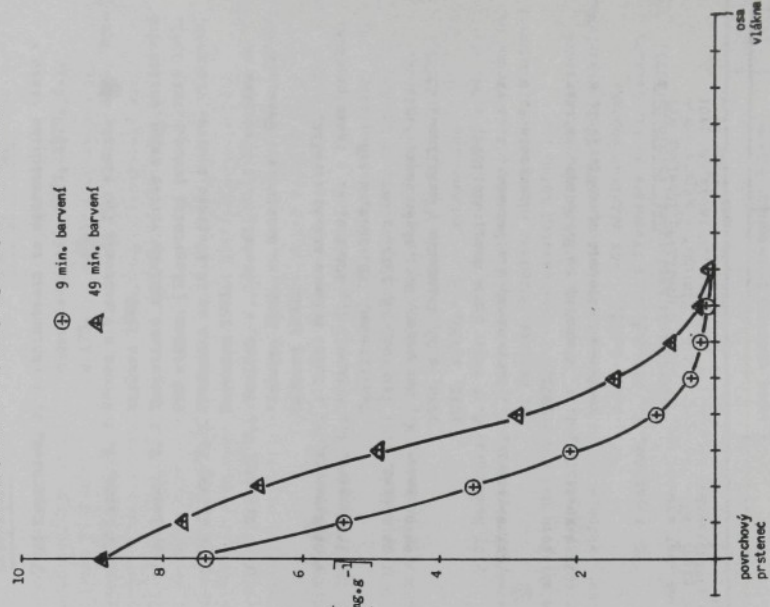
Koncentrační profily vyjádřené v  $\text{mg} \cdot \text{g}^{-1}$  jsou zachyceny v obr. 20. Je zajímavé, že přes relativně velmi vysokou intenzifikaci difúze sym.-tetrachlorethanem se v povrchových vrstvách dosahuje jen polovičního vysycení sulfoskupin než bylo zjištěno u dlouhodobých pokusů za přítomnosti Společnou a při 80 °C ( $21,0 \text{ mg} \cdot \text{g}^{-1}$  - viz v kap. 4.4.3). Příčinou může být vliv teploty - v případě sym.-tetrachlor Ethanu postupováno pouze při 50 °C.

Koncentrační profile Basacrylrot GL/Tesil 5 za  
přípravy sym.-tetrachloretanu při 50 °C



Obr. 20

Změna koncentračního profilu Basacrylrot GL/Tesil 5 s dobou  
barvení při 50 °C za přípravy 3 g·l<sup>-1</sup> sym.-tetrachloretanu

osy  
víkna

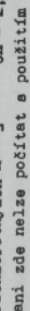
? = 1,09095

141

#### 4.8.5 Diskuse výsledků

Zněčená intenzifikace bervení dosazena při neortho-dioxinu nízkých teplotách zejména 1,1,2,2-teorschlorethenem je pozoruhodná jak po teoretické, tak i technické stránce. Rámcově byl potvrzen praceovní předpoklad, že přenášečové vlastnosti organických rozpouštěadel závisí především na stupni ovlivnění mechanico-fyzikálních vlastností čistým rozpouštědlem vyjádřeným podle Rebentrofa hodnotou tzv. mukové eratizosti. Tento jav se může projektovit jen u rozpouštěadel nepropustných nebo nepatrně rozpustných ve vodě tj. tam, kdy při aplikaci "z vodních emulzí" dochází k vysoké adsorpci na vlákno, ke kterému má rozpouštědlo podstatně vyšší afinitu než k vodnému prostředí.

Bolužel praktickému použití 1,1,2,2 - tetrachlorethanu stojí v cestě znásilně toxicita této látky. Zároveň rizikum ( $A = 6$ , chronické ( $CD_50 = 6$  \*)) Nadějnější jsou obě další rozpouštěadla, se kterými bylo dosaženo rovněž účinné intenzifikace v oblasti nízkých teplot :



avšak ani zde nelze počítat s použitím v otevřených barviných spárástech.  
Ani další koloristicky orientované prozíkum prozatím nedal k rozpouštědlu - přenášeči, které by udílánem podstatněji převyšovalo spojlespran X a nepřinášelo s sebou problém zvyšené toxicity ad.

\*) Pro základní představu o toxicitě jsou uváděna tzv. zdrojovní rizika - "akutní" - A a "chronické" - CH. Skupina je 10x stupenová: 0...následky 10...krajně jedovatý. Celkové toxikologické posouzení ovšem zahrnuje další kritéria.

#### Literatura

- / 1/ Kryštálek, J. : Zajímavosti ze zahraničního tisku v oboru textilním, SVJT, 1979, č.1, s.173.
- / 2/ Lacko, V. : Výroba a vlastnosti PES vláken. Alfa, Bratislava 1968.
- / 3/ Lacko, V. : Teoretické základy výroby velmi starších PES vláken. [Dissertační práce.] Svit 1961.
- / 4/ Jacob, F. : Přednáška na 10.kongresu o chem. vláknenech, Dornbirn 1971.
- / 5/ Miličík, J., Vaníček, J., Dostál, J. : Přednáška na "Intern. Symp. on Macromol. Chem. IUPAC", Taškent 1978.
- / 6/ Voborník, V. : Text. Science and Res., XIII, s.35.
- / 7/ Burgert, L., Prikryl, J., Růžička, J. : Faserforsch.u. Textiltechn., 29, 1978, s.426.
- / 8/ Renard, P. : Textiles, 36, 1971, s.845.
- / 9/ Beckmann, W., Hammacher, H. : Bayer Farb. Rev., 22, 1972, s.22, Chemiefas./Textiland., 23/75, 1973, s.436.
- / 10/ Hammacher, H. : Bayer Farb. Rev., 22, 1972, s.28.
- / 11/ Kryštálek, J., Suchardová, J., Voborník, V. : Předn. na 9. Meziná. Kongresu "Intercolor", Bakuresti 1973.
- / 12/ Kryštálek, J. : Přednáška na 9. celost. koloristické konferenci, Pardubice, 1973, (Čsl. kolorista, č.16, s.37).
- / 13/ Kryštálek, J., Miličík, J. : Přednáška na 11. Celost. koloristické konference, Pardubice 1975.

- /14/ Kryštík, J., Miličtíký, J. : J. Soc. Dyers Col., 96, 1980, s.117.
- /15/ Nguyen Thi Ngan : Diplomová práce, VŠCHT, Pardubice 1973.
- /16/ Stepmann, E. : Melliland Textilber., 49, 1968, s.557.
- /17/ Rossbach, V., Müller, H., Niessen, D. : Textilveredlung, 9, 1977, s.356, 452.
- /18/ Krystík, J. : Textil, 30, 1975, s.443.
- /19/ Marow, S.B., Kobza, M. : Text. Res. J., 31, 1961, s.697.
- /20/ Zollinger, H. : Amer. Dyest. Rep., 54, 1965, s.634.
- /21/ Wegmann, J. : Melliland Textilber., 39, 1958, s.408.
- /22/ Bitzer, M.D., Brielmeyer, H.J. : Melliland Textilber., 41, 1960, s.62.
- /23/ Vogel, T., De Bruyns, J.A.M., Zimmermann, C.L. : Amer. Dyest. Rep., 47, 1958, s.581.
- /24/ Gienz, O., Beckmann, W. : Melliland Textilber., 38, 1957, s.296.
- /25/ Gienz, O. : Melliland Textilber., 38, 1957, s.1152.
- /26/ Beckmann, W. : J. Soc. Dyers Col., 77, 1963, s.616.
- /27/ Rosenbaum, S. : Text. Res. J., 34, 1964, s. 52, 159, 291.
- /28/ Rosenbaum, S. : Text. Res. J., 35, 1963, s.899.
- /29/ Balmforth, D., Bowers, C.A., Guton, T.H. : J. Soc. Dyers Col., 80, 1964, s.577.
- /30/ Wörtz, A. : Melliland Textilber., 37, 1956, s.83.
- /31/ Rosenbaum, S., Goodwin, F.L. : J. Appl. Polym. Sci., 9, 1965, s.333.
- /32/ Sand, H. : Kolloid Zeitschr. u. Zeitschrift f. Polym., 218, 1967, s.30, 124.
- /33/ Cegarra, J. : J. Soc. Dyers Col., 87, 1971, s.149.
- /34/ Beckmann, W. : Melliland Textilber., 29, 1958, s.1121.
- /35/ Harwood, R.J., McGregor, R., Peters, R.H. : J. Soc. Dyers Col., 68, 1972, s.216, 288.
- /36/ Bonchi, M. : Teintex, 33, 1968, s.519.
- /37/ Moryganov, P.V., Melnikov, B.N., Lijkiteva, O.B. : Technol. text. pross., 5, 1962, s.22, 114.
- /38/ Feuchtmayer, F., Würz, A. : J. Soc. Dyers Col., 77, 1961, s.626.
- /39/ Vickenstaff, T. : The Phys. Chemistry of Dyeing. Oliver and Boyd, London 1924.
- /40/ Cegarra, J., Puent, P., Valldeperes, J. : Text. Chem. Col., 6, 1974, s.170.
- /41/ Mayer, U., Ender, W., Würz, A. : Melliland Textilber., 47, 1966, s.653, 772.
- /42/ Carbonell, J., Frauenknecht, J. : Textilveredlung, 1, 1966, s.57.
- /43/ Carbonell, J. : Amer. Dyest. Rep., 55, 1966, s.956.
- /44/ Crank, J. : Phil. Mag., 39, 1948, s.362.
- /45/ Rosenbaum, S. : J. App. Polym. Sci., 7, 1963, s.1225.
- /46/ Goodwin, F.L., Rosenbaum, S. : Text. Res. J., 35, 1965, s.499.
- /47/ Patterson, D., Sheldon, R.P. : Trans Farad. Soc., 55, 1959, s.1254.
- /48/ Dimov, K., Chardalov, I. : Textiltechnik, 23, 1973, s.374.
- /49/ Carbonell, J., Hester, R., Mermiad, J.P. : Chemicas., 24, 1974, s.392.
- /50/ Cegarra, J., Puent, P. : Text. Res. J., 37, 1967, s.343.

- /51/ Glenz, O., Beckmann, W., Wunder, W. : J. Soc. Dyers Col., 75, 1959, s.141.
- /52/ Beckmann, W., Glenz, O. : Melland Textilber., 38, 1957, s.783.
- /53/ Rosenbaum, S. : J. Polym. Sci., 3A, 1965, s.1949.
- /54/ Flath, H.J., Moritz, R., Badawieh, J. : Textiltechnik, 28, 1978, s.103.
- /55/ Williams, M.L., Landel, R.F., Ferry, J.D. : J. Amer. Chem. Soc., 77, 1955, s.3701.
- /56/ Fujita, H., Kishimoto, A., Matsumoto, K. : Trans Farad Soc., 56, 1960, s.424.
- /57/ Peters, R.H., Ingamells, W. : J. Soc. Dyers Col., 59, 1973, s.397.
- /58/ Bell, J.P.: J. Appl. Polym. Sci., 12, 1968, s.627.
- /59/ Ingamells, W., Narasimhan, K.V. : J. Appl. Polym. Sci., 20, 1976, s.227.
- /60/ Dumbirton, J.H., Beills, J.P., Murryama : J. Appl. Polym. Sci., 12, 1968, s.2491.
- /61/ Walters, J.P., Buchanan, D.R. : Text. Res. J., 47, 1977, s.398, 451.
- /62/ Ingamells, W., Narasimhan, K.V. : J. Soc. Dyers Col., 93, 1977, s.306.
- /63/ Ingamells, W., Peters R.H., Thornton, J. : J. Appl. Polym. Sci., 17, 1973, s.3733.
- /64/ Gur-Arieh, Z., Ingamells, W. : J. Soc. Dyers Col., 90, 1977, s.8.
- /65/ Gulrajani, M.L., Saxena, R.K. : J. Soc. Dyers Col., 95, 1979, s.250.
- /66/ Rattee, I.D., Breuer, M.M. : The Physical Chemistry of Dye Adsorption. Acad. Press, 1974, London - N.York.
- /67/ Ingamells, W., Sherkat, H. : J. Soc. Dyers Col., 93, 1977, s.448.
- /68/ Ingamells, W., Yabani, A. : J. Soc. Dyers Col., 93, 1977, s.417.
- /69/ Kryštufek, J. : Textil, 37, 1982, s.175.
- /70/ Piedmont Sect. : Amer. Dyest. Rep., 48, 1959, s.23.
- /71/ Schreiner, G. : Textiltechnik, 24, 1974, s. 300, 353.
- /72/ Bainforth, D. a kol. : J. Soc. Dyers Col., 82, 1966, s.405.
- /73/ Weingarten, R. : Text. Praxis, 28, 1972, s.231, 340, 397.
- /74/ Rieker, J., Terlinden, M. : Melland Textilber., 56, 1975, s.556.
- /75/ Rawicz, F.M., Cates, D.M., Ruthford, H.A. : Amer. Dyest. Rep., 50, 1961, s.320.
- /76/ Hornuff, G., Grimm, H. : Faserforsch. u. Textiltech., 15, 1964, s.75.
- /77/ Jin, C.R., Cates, D.M. : Amer. Dyest. Rep., 53, 1964, s.64.
- /78/ Interni analytické a zkušené postupy KP Chemopetrol, Plana n.l. - Silon KP.
- /79/ Die analytische VfOS, Pardubice - Rybitví.
- /80/ Kryštufek, J., Miličký J. : Textil, 37, 1992, s.55.
- /81/ Miličký, J. : Matematické modelování zubních vlnových procesů. [ Skripta VŠCHT. ], Pardubice 1978.
- /82/ Miličký, J., Hoffmann, M., Čáp, J. : Proc. Conf. COMPSTAT, Leiden 1978.
- /83/ Příkryl, J. : Mikroskopografické transportní jevů barviv v textilních vlákních. [Kandid. disertace.] Pardubice 1979, VŠCHT.

- /84/ Müller, H. : Zur Färbung anionisch modifizierter Polyamidfasern mit kationischen Farbstoffen. Aachen 1975.
- /85/ Chao N.P.C., Cucullo, J.A., Gallant, A.R., George, T.W.: Appl. Polym. Symp. No 27, 1975, s.193.
- /86/ Vaníček, J. : Nepublikované výsledky. Pláná n.l. - Silon KP.
- /87/ Rochas, P., Courmont, M. : Chemiefasern, 10, 1960, s.666.
- /88/ Reiller, K.H. : Textilveredelung, 13, 1978, s.140.
- /89/ Roberts, G., Solanki, R.K. : J. Soc. Dyers Col., 95, 1979, s.226.
- /90/ Laš, L., Glogas, G., Koudelka, Z. : Chemiefasern, 21, 1971, s.209.
- /91/ Rebenfeld, L. : Lenzinger Berichte, 40, 1976, s.22.
- /92/ Rinnick, A.S., Weigmann, H.D., Rebenfeld, L. : Text. Res., J., 42, 1972, s.720. Text. Res. J., 43, 1973, s.176.
- /93/ Weigmann, H.D., Rindick, A.S. : Text. Res. J., 44, 1974, s.165.
- /94/ Rebenfeld, L., Makarewicz, P.J., Weigmann, H.D., Wilkes, G.L. : J. Macromol. Sci. - Rev. Macromol. Chem., C15, 1976, s.279.
- /95/ Rebenfeld, L., Matkowski, R.D., Weigmann, H.D. : Práce na 19. mezinář. Kongresu o chem. výfaknech, Dornbirn 1979.
- /96/ Marhold, J. : Přehled průmyslové toxikologie. Praha, SZN 1964.

**ZAJÍMAVOSTI ZE ZAHRANIČNÍHO TISKU V OBORU TEXTILNÍM**

Pro interní potřebu čs. textilního průmyslu vydává Státní výzkumný ústav textilní Liberec - útvar OBIS U Jazu č.2, 460 97 Liberec

**Rádi redakční rady:**

Ing. Helmut Ježek, Ing. Nina Krouská  
Marie Pestová, Alois Polák, Olga Steinerová  
Ing. Zoltán Szabó, Svatopluk Vokářa

Odpovědný redaktor : Ing. Emanuel Rydlová  
Odborná redakce : Ing. Josef Mihule

Vychází čtyřikrát ročně. Vydáván povolenou ev. číslem UVR.I-74 Odg ze dne 15.-12.-1974. Předplatné Kčs 120,- stanoveno výměrem ředitel č. 09/2/B3 ze dne 12.-7.-1983 na základě výměru ČCU a SCU č. 278/13/1977 ze dne 1.3.1977. ČIK 735 31.

komentář - příspěvek III.

Das Färben von anionisch modifizierten Polyester-Schrumpffasern bei niedrigen Temperaturen  
(Formeln-Faserstoffe-Fertigware 1/89, s.9)

Ve zkrácené podobě jsou zde v němčině zveřejněny zásadní výsledky uvedené v příspěvku I a II.

# Das Färben von anionisch modifizierten Polyester-Schrumpffasern bei niedrigen Temperaturen

Dipl.-Ing. Jiří Kryštík  
Staatsliches Textilforschungsinstitut  
(SVÚT) Liberec, ČSSR

## 0. Vorbermerkungen

Die vorliegende Arbeit befürft sich mit einigen Ergebnissen kolonistischer Untersuchungen an einer Entwicklungsviorante von PE-Schrumpffasern tschechoslowakischer Provenienz, mit der Arbeitszeichnung TESIL S. Diese enthält als koloristisch wirksame Komponente das Natriumsalz der 5-Sulfophthalosäure, was den Einsatz kationischer Farbstoffe ermöglicht. Dabei müssen Färbebedingungen angewandt werden, welche die Schrumpffähigkeit der Faser nicht beeinträchtigen. Dies behinntet einen Kompromiß, denn die notwendigerweise bedingtlich herabgesetzten Färbeemperaturen ermöglichen auch beim Einsatz von Corriens nur helle Farbtöne. Dennoch ist eine solche Färbung in vielen Fällen ausreichend, um die gefärbten Garne in der Regel mit normal gefärbten Garnen aus nichtschrumpfenden Fasern zuverwirkt werden. Damit wird der Einsatz des wirtschaftlich vorteilhaften Färbens in der Flocke oder im Kammzug ermöglicht.

Die Isophthalsäure trägt zu den geforderten Gebrauchseigenschaften dadurch bei, daß sich als Folge der Einstellung ihrer günstigsten Konformation die Polymerkette einbügt. Bei der Verstreckung wird zwar das Makromolekül des Kopolyesters gerade gestreckt, aber nur um den Preis anspruchsvollerer isomerer Strukturen. Daraus folgt bei Einwirkung höherer Temperaturen ein erhöhter Schrumpf. Aufgrund der Konkondensation verhindert sich gleichzeitig die Kristallisationsfähigkeit, wodurch das Schrumpfen der Faser erleichtert und die Schrumpfkräfte verringert werden. (1-5)

Die zweite Modifizierungskomponente, das Natriumsalz der 5-Sulfophthalosäure, verstärkt den Modifizierungseffekt der Isophthalsäure in dem Sinne, daß der Schrumpf schon bei Temperaturen unterhalb 100 °C einsetzt. Zusätzlich verleicht sie der Faser wegen des Einbringens von Sulfogruppen die Affinität zu kationischen Farbstoffen.

Durch die Strukturauflösung und damit die Erhöhung der Kettenbeweglichkeit in den nichtkristallinen Bereichen wird eine leichtere Anfärbarkeit mit Dispersionsfarbstoffen erreicht.

Die gelockerte übermolekulare Struktur und der niedrige Polymerisationsgrad bei anionisch modifizierten Polyesterfasern machen sich auch durch einen niedrigeren Schmelzpunkt bemerkbar. Bei unmodifiziertem TESIL beträgt dieser 250 bis 252 °C, bei Fasern vom Typ TESIL S 229,1 °C.

Für die Versuche wurde ein Kollondensat mit der Grenzviskositätszahl 0,564 benutzt.

Die Temperatur des Glasüberganges

$T_g$  bei Anwendung der DTA-Methode betrug  $67 \pm 0,5$  °C. Die Faser wurde durch

## 1. Eigenschaften der anionisch modifizierten Polyester-Schrumpffaser

Die untersuchte Entwicklungsviorante der PE-Schrumpffaser TESIL S basiert auf dem chemischen Modifizierung des Polyethylenterephthalates durch zwei Komponenten. Bei der Herstellung des Polymeren wird die Terephthalsäure teilweise durch Isophthalsäure (8 Mol-Prozent) bzw. durch das Natriumsalz der 5-Sulfophthalosäure (1,5 Mol-Prozent) ersetzt.

		Probe unbehandelt gewaschen bei 45°C	Probe gebrauscht durch Kochen (10 Min.)
Feinheit	tex	0,345	0,387
Relative Festigkeit	mN/tex	320	318
Reißdehnung	%	23,0	22,4
Doppelbrechung	n·10 <sup>3</sup>	187,5	191,2
Dichte	g/cm <sup>3</sup>	1,3663	1,3633
Kristalliner Anteil	%	25,0	26,0
Diethenglykol	%	1,97	2,11
Schumpf in kochendem Wasser	%	24,63	23,34
Schumpf an der Luft bei 175°C	%	34,29	32,59

Tafel 1 Physikalische und chemische Grundeigenschaften der Polyesterfaser TESIL S

Zugabe von 0,4 Prozent TiO<sub>2</sub> mattiert, das Reckverhältnis betrug 1:4, die Recktemperatur 74°C. Nach der Reckung wurde nicht fixiert, sondern nur bei 50°C getrocknet. Der Schwefelgehalt (nach Schöniger) betrug 0,293 Prozent. Weitere Eigenschaften sind in Tafel 1 dargestellt, insbesondere die Veränderungen nach dem Waschen in kochendem Wasser im Vergleich zum schonenden Waschen bei 45°C (was dem Ausgangszustand des Materials für die Färbeversuche entspricht).

## 2. Kationische Farbstoffe auf anionisch modifizierten Fasern

Es kann als erwiesen angesehen werden, daß die Bindung kationischer Farbstoffe an anionisch modifizierte PE-Fasern in gleicher Weise wie bei PAN-Fasern erfolgt, dies heißt durch Ionenaustausch zwischen Farbstoffkation und Gegenion. Im Falle der anionisch modifizierten PE-Fasern (im weiteren als „A-PE“ bezeichnet) ist dies ein Na<sup>+</sup>-Ion, welches durch die Modifizierungskomponente in die Faser eingebracht wurde. (6)

Tafel 2 Lichtechnik ausgewählter kationischer Farbstoffe auf der Polyesterfaser TESIL X

Färbedauerungen: 40 Min. bei 50°C gefärbt unter Zusatz des Carriers SPOLAREX X

A-PE-Faser (117 kJ/mol) übersteigt nicht die bei Dispersionsfarbstoffen üblichen Werte, wenige bei PAN-Fasern Aktivierungsenergien bis zu 435 kJ/mol angegeben werden. (15)

Aus diesem Grunde wurde für die Kolorierung anionisch modifizierte PE-Fasern der Begriff des scheinbaren Sättigungswertes eingeführt, welcher im Gegensatz zum Sättigungswert im Gleicheitszustand, das heißt zum echten Sättigungswert, einen Sonderfall der kinetischen Kriterien darstellt. (16)

In Tafel 2 sind geeignete kationische Farbstoffe auf der Auswahlbasis aufgeführt.

Farbstoff	Colour Index: Basic ...	Lichtechnik Carriermenge ohne 0,3 g/l	Lichtechnik Carriermenge 1 g/l
Astrazongoldgelb GL	Yellow 28	5-6	5
Basacrylgelb 5RL	Yellow 25	5	5
Maxilongelb 2 RL	Yellow 19	5-6	5-6
Crypurgelb 5G	Yellow 12	4-5	4
Crypurorange GL	Orange 21	5-6	5
Basacyrlot GL	Red 29	5-6	5
Kationyri krasnyi 2S	Red 22	5	4-5
Astrazonblau FGL	Blue 44	5	5
Basacyrlblau GL	Blue 54	5	5
Crypurbian GL	Bluo 42	4-5	4-5
Kationyri sinvyj 2K	—	4-5	4-5

3.1. Einfluß der Färbebedingungen auf den Schrumpf

Weil die Färbebedingungen wegen einer möglichen Gefährdung der Schrumpfähigkeit der Faser (toleriert wird eine Reduzierung des Schrumpfes von ursprünglich 24

1% auf 10%) auf die Färbebedingungen auf den Schrumpf einwirken, wurde die Färbebedingungen auf den Schrumpf untersucht.

Die Ergebnisse sind in Tafel 2 zusammengefaßt. In Tafel 2 sind geeignete kationische Farbstoffe auf der Auswahlbasis aufgeführt.

ionischen roten Farbstoffes auf TESIL S bei 50 °C, wo nur eine geringe Reduzierung des Faserschrumpfes erfolgt, ist in Bild 5 dargestellt. Um auch den Gleichgewichtszustand des Systems zu erfassen, wurde die Färbezeit auf 312 Stunden verlängert, ohne daß das volle Gleichgewicht erreicht wurde.

Aus den Ergebnissen folgt, daß eine Zugabe des Carriers SPOLAFEN X (tschechoslowakisches Produkt auf der Basis Xylen-Biphenyl-Naphthalen) erforderlich ist, wobei hier 1 g/l (entspricht 6 Prozent der Fasermasse) dosiert wurden. Erprobt wurden auch Carrier anderer Basis, die kein anderes Ergebnis brachten.

Während des Färbens erfolgt gleichzeitig das Schrumpfen der Faser. Eine veränderte Faserstruktur kann eine veränderte Anfärbbarkeit zur Folge haben. Färbeversuche mit TESIL S, welche durch 15minütige Behandlung mit Seil Carrier bei Siedetemperatur voll ausgeschrumpft waren, haben eine langsame Sorption erwiesen. Dies kann in Zusammenhang mit der Zunahme des kristallinen Anteiles in der Faser während des Bauschvorganges und damit auch zu einer Verlängerung des Diffusionsweges. Daraus folgt, daß die Sorptionsabhängigkeit bei der "ungebauchten" Variante durch einen allmählich steigenden Immobilisierungsmechanismus aufgrund der angedeuteten Umgruppierung der Innenstruktur schwer übersehbar wird. Mit der mathematischen Bearbeitung dieses Phänomens belassen sich die Arbeiten 23, 25, 27.

#### 3.4. Einfluß der Farbstoffkonzentration auf die Färbegeschwindigkeit

Das Aufziehen des Farbstoffes auf die Faser kann bis zu einer Zeit von 30 bis 40 Minuten (in manchen Fällen bis zu 80 Minuten) durch die bekannte Abhängigkeit zwischen der Sorption des Farbstoffes  $C_t$  und der Färbezeit  $t$  beschrieben werden:

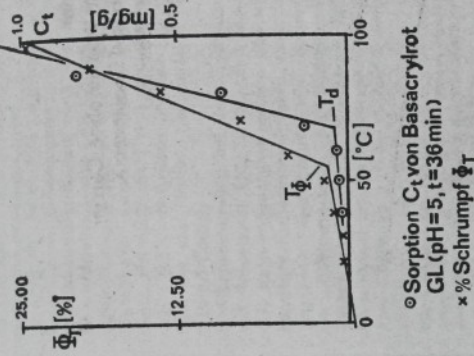


Bild 4 Temperaturabhängigkeit von Anfärbbarkeit und Faserschrumpf bei TESIL S

Temperatur °C	Carrier g/l	Restschrumpf nach dem Färben %	
		Färbezeit in Minuten	25 36 100
<b>ungelöbliches Material</b>			
45	ohne	23,62	—
	0,3	23,24	22,63
	1,0	22,91	22,05
50	ohne	22,54	—
	0,3	22,04	21,35
	1,0	21,24	20,56
55	ohne	21,22	—
	0,3	20,97	20,26
	1,0	20,33	19,45
60	ohne	17,46	—
	0,3	17,31	17,09
	1,0	16,89	16,22
65	ohne	13,53	—
	0,3	—	12,52
	1,0	—	11,60

Tafel 3 Restschrumpf in kochendem Wasser nach dem Färben ermöglicht, wird derzeit erarbeitet. (23)

#### 3.2. Vergleich der Übergangstemperatur beim Färben und Schrumpfen

Es wurde versucht, die Temperaturabhängigkeit des Faserschrumpfes ähnlich zu interpretieren wie bei der Sorption beobachteten Vorhabens, wie sie durch technologische Forderungen gegeben sind. Bei Einsatz eines Carriers ist die Temperaturabhängigkeit des Faserschrumpfes bedeutend komplizierter; sie ändert sich sowohl mit der Einwirkungszeit als auch mit der Konzentration des Carriers.

In Bild 4 ist die Abhängigkeit von  $\Phi_f$  von der Temperatur zusammen mit dem Verlauf der Anfärbbarkeit (ohne Carrier, Sorption nach 36 Minuten) aufgetragen. Aufgrund der Beziehungen, welche auch die Beziehungen, welche die zweckmäßigste Variante des Färbens bei

② ungebaut ohne Carrier  
 ▲ gebaut in kochendem Wasser ohne Carrier  
 ○ gebaut in 1g/l Spolaren X  
 ▲ gebaut in kochendem Wasser;  
 Zusatz von 1g/l Spolaren X

$$C_t = K_1 \sqrt{t} \quad (1)$$

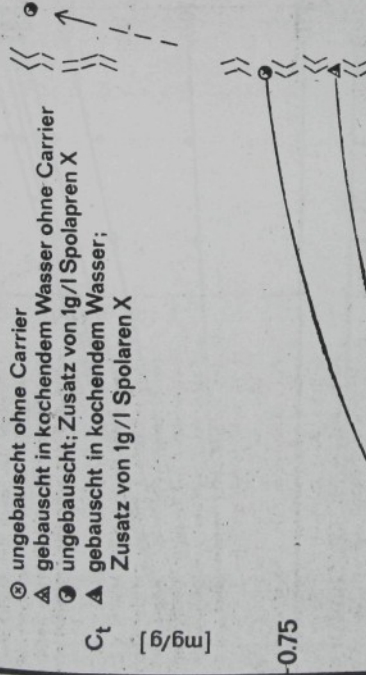


Bild 5 Verlauf der Sorption  $C_t$  von Basacryl GL auf TESIL S (30 °C, 4 bis 240 min. und 312 h; 5 % Farbstoff)

die Anfangssorption (25).

In den Bildern 6 und 7 ist gemäß Gleichung (1) die Abhängigkeit der Sorptionsgeschwindigkeit von der Anfangskonzentration des Farbstoffes Basacryl GL dargestellt. Es ist ersichtlich, daß sich von einer bestimmten Konzentration des Farbstoffes in der Flotte an die Färbegeschwindigkeit fast nicht mehr erhöht. Dies ist aus der Acryl-Faser-Färberei bekannt: Mayer et al. (28) geben die konstante Färbegeschwindigkeit über  $C_0 = 30 \text{ mg/l}$

an (allerdings für das Färben bei Kochtemperatur und ohne Carrier). In unserem Falle läßt sich aus Bild 5 und der Abhängigkeit der Geschwindigkeitskonstanten nach Gleichung (1) feststellen, daß die Sorptionsgeschwindigkeit oberhalb einer Farbstoffkonzentration von 0,2 Prozent konstant bleibt, das heißt ab 33 mg/l unter Zugabe von 1 g/l Carrier, beziehungsweise oberhalb der etwa halben Konzentration bei 0,3 mg/l Carrier.

In Übereinstimmung mit den Ergebnissen von Rosenbaum (10, 30, 31) und Mayer (19) kann angenommen werden, daß eine konstante Färbegeschwindigkeit unter den gegebenen Bedingungen zum Zeitpunkt der Sättigung der Oberflächenbindepunkte erreicht wird. In unserem Falle kann es nur um die Sulfogruppen gehen. Eine Beteiligung von COOH-Gruppen

ist ausgeschlossen, da die Sulfogruppen zum Zeitpunkt der Sättigung der Oberflächenbindepunkte erreicht wird. In unserem Falle kann es nur um die Sulfogruppen gehen. Eine Beteiligung von COOH-Gruppen

ist ausgeschlossen, da die Sulfogruppen zum Zeitpunkt der Sättigung der Oberflächenbindepunkte erreicht wird. In unserem Falle kann es nur um die Sulfogruppen gehen. Eine Beteiligung von COOH-Gruppen

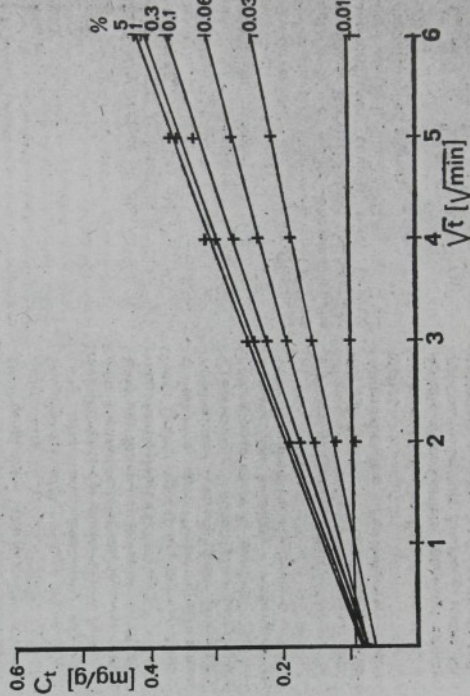
wurde experimentell ausgeschlossen, denn gleiche Sorptionswerte wurden auch in stark saurem Milieu erreicht, wo die Wirkung dieser Gruppen durch die weitgehende Unterdrückung ihrer Dissoziation unmöglich ist (6).

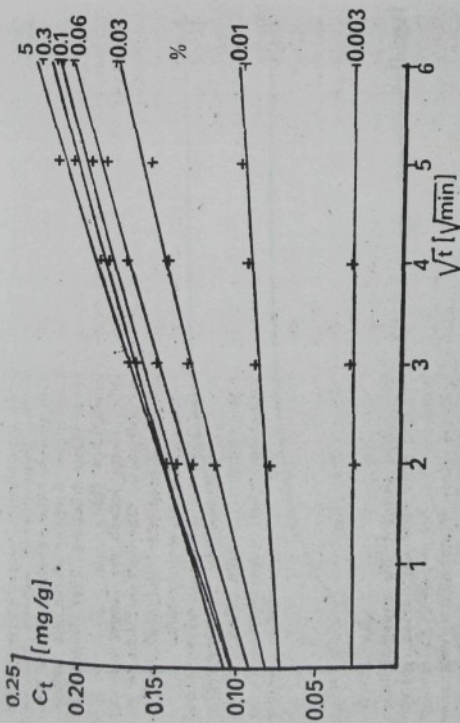
Offen bleibt jedoch die Frage, wie sich die postulierte "Oberflächenschicht der gesättigten Bindepunkte" aufgrund des Einflusses des Carriers real darstellt.

Die Bilder 6 und 7 lassen erkennen, daß der lineare Anstieg der Sorptionsgeraden einen Ordinatenabschnitt liefert, dem die Bedeutung einer augenblicklichen Anfangssorption  $A_0$  zugeschrieben werden kann.

3.5. Nichtgleichgewichts-Sorptionsisothermen

Wir haben versucht, die experimentellen Daten in Form eines besonderen Typs von Isothermen zu interpretieren. Es handelt sich um einen Zustand, der weit vom Gleichgewicht entfernt ist, aber wo es



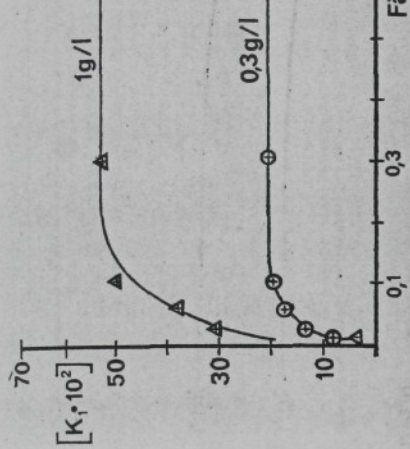


**Bild 7** Verlauf der Sorption  $C_t$  von Basacrylrot GL auf TESIL S in Abhängigkeit von der Farbstoffkonzentration bei Zusatz von 0,3 g/l SPOLAREN X (Färbe temperatur 50 °C)

Die graphische Darstellung der Versuchspunkte aus den errechneten Abhängigkeiten erfolgt in Bild 9. Die Berechnung wurde als nichtlineare Regression des Quadrats der prozentuellen Fehler auf dem Kleintechniker HP 9825A unter Benutzung des Kriteriums der Summen Minimierung durchgeführt (32, 33). Nach Einführung des angeführten Adsorptionsgliedes verschiebt sich die Langmuir-Abhängigkeit über die Grundsorption (irreversible) Anfangsadsorption  $A_0$  entspricht und welche sich bei kinetischen Abhängigkeiten bemerkbar macht (siehe Bilder 6 und 7).

Trotzdem interessant ist die Abhängigkeit zwischen der Farbstoffkonzentration auf der Faser  $C_s$  und der aktuellen Konzentration in der Färbelotter  $C_t$  festzuhalten. Der Zustand in der 9. Färbeuntersuchung ist in Form der sogenannten Nichtgleichgewichts-Sorptionsisothermen in Bild 9 dargestellt. Bei dem Versuch, die Langmuir-Gleichung mathematisch zu untermauern, hat sich gezeigt, daß die größte Übereinstimmung bei völliger Bodenschöpfung bei niedrigen Konzentrationen erreicht wird. Deshalb wurde die Langmuir-Berechnung durch ein Adsorptionsglied ergänzt:

$$C_s = a + \frac{K \cdot S \cdot C_t}{1 + K \cdot C_t} \quad (2)$$



**Bild 8** Abhängigkeit der Geschwindigkeitskonstanten  $K_r \cdot 10^2$  beim Färben von TESIL S mit Basacrylrot GL von der Farbstoffkonzentration in praktisch gleichem Umfang verläuft (siehe Verteilung der Anfangsadsorption nach Bild 7).

Das weitere Aufziehen des Farbstoffes aufgrund der Diffusion in die Nähe unter der Oberfläche der Faser gelegenen Bereiche verläuft dann so langsam, daß das Färbeverfahren insgesamt keine Ergänzungssprobleme mit sich bringt. Das Prinzip des Färben mit einer "Flotte mit Reservefarbstoffkonzentration" behält allerdings eine Begrenzung der erreichbaren Nuancen. Das steht aber keineswegs im Widerspruch zum technologischen Zweck, dann üblicherweise ist der erreichte Farbton immer noch heller als der auf der nichtschwefelenden Komponente bei gewinem Garn. Falls möglich, kann eine geringere Sättigung durch Herabsetzung der Carrier-Menge erreicht werden.

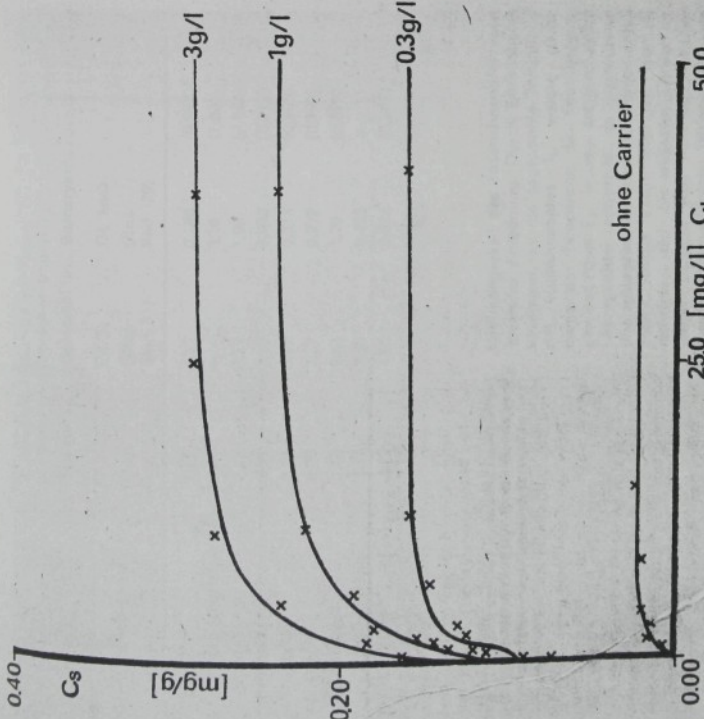
#### 5. Sorption des Carriers

Die vorliegende Untersuchung des temperaturmäßig recht ungewöhnlichen Färbeverfahrens für Polyesterfasern wäre nicht vollständig ohne eine Betrachtung

#### 4. Praktische Erkenntnisse

Für die Praxis des Färbens geht aus den vorliegenden Feststellungen hervor,

1. beim Färben im Bereich von 50 °C der Einsatz eines Carriers unabdingt erforderlich ist, wobei die Erhöhung seiner Konzentration auf über 1 g/l (das heißt 6 Pro-



Tafel 10 Verlauf der Sorption von SOLAPREN X durch TESIL S bei verschiedenen Temperaturen (Konzentration 2 g/l, Flottenerhöhlins 1:70)

**Bild 8** Sorptionsisothermen im Nicht-Gleich-Gewichtszustand in der 3. Färberminute bei Anwendung unterschiedlicher Carriermengen (Färber-temperatur von 50 °C).

des wichtigen Faktors „Carrier“. Aus der Tafel 10 ist die Kinetik der Sorption von SOLAPREN X durch TESIL S bei verschiedenen Temperaturen zu entsehen (Konzentration 2 g/l, gravimetrische Bestimmung). Es läßt sich folgendes feststellen:

1. Im Bereich von 20 bis 50 °C steigt mit der Temperatur die Sorption des Farbstoffes zu beeinflussen. Aus den neuesten Erkenntnissen über die Funktion des Carriers geht hervor, daß dieser die Diffusion des Farbstoffes durch direktes Eingreifen in die übermolekulare Struktur beschleunigt, was unter anderem nachgewiesen werden kann durch die Reduzierung von  $T_g$ , gegebenenfalls auch direkt von  $T_d$  (Obergangs-temperatur des Farbens) (25, 34, 35 u. a.). Konkret wird für das Farben von TESIL S bei 50 °C nur ungefähr  $1/3$  des eingesetzten Farbstoffs genutzt. Aus der Tafel 11 läßt sich erkennen, daß sich die Nutzung des Carriers zwar wesentlich verbessert, aber nur um den Preis eines niedrigeren absoluten Sorptionswertes des Carriers und folglich auch des Farbstoffes (siehe Bilder 8 und 9). Als praktische Lösung die-

Tafel 10 Verlauf der Sorption von SOLAPREN X durch TESIL S bei verschiedenen Temperaturen (Konzentration 2 g/l, Flottenerhöhlins 1:70)

60 °C die Sättigungswerte des Carriers in der Faser TESIL S mit fallender Temperatur deutlich abnehmen.

Für das Färben der modifizierten Schrumpfpolystyrolfaser TESIL S bei niedriger Temperatur ist es wichtig, daß ein möglichst großer Anteil des Carriers gleichmäßig und mit optimaler Geschwindigkeit in der ersten Phase des Färbens der Faser absorbiert wird, um sobald wie mög-

Tafel 11 Verteilung des Carriers SOLAPREN X zwischen Flotte ( $C_f$ ) und Fas. r TESIL S ( $C_s$ ) (Färber-temperatur 50 °C, Färberzeit 60 Minuten, Flottenerhöhlins 1:70)

$C_s$

Ausgangskonzentration des Carriers in der Flotte

$C_f$ g/l	$C_s$ mg/g	$C_L$ mg/g	Anteil des auf die Faser aufgezogenen Carriers %
0,15	8,32	31,14	79,2
0,30	13,83	102,5	65,0
0,60	18,26	339,14	43,5
1,00	23,41	665,57	33,4
2,00	26,72	1618,29	19,1
4,00	32,29	3338,71	11,5

Konzentration des auf der Faser gebundenen Farbstoffes (mg/g)

Ostacel-scharlach	Ostacelblau	Basacrylrot
S-L2G	E-LG	GL Konz.
(Disp. Red 54)	(Disp. Blue 81)	(Bas, Red 29)

ohne Sym. Tetraethoxyan Trichloroethylen o - Xylen m - Xylen p - Xylen Chlorbenzen o-Dichlorbenzen SPOLAPREN X

0.69	1.25	0.108 (0.04)*
12.91	-	3.18 (1.68)
9.29	9.29	1.02 (0.564)
2.97	3.85	0.292 (0.212)
3.25	3.92	0.313 (0.205)
2.85	3.57	0.272 (0.192)
7.65	9.43	1.70 (0.899)
5.35	7.35	0.425 -
4.97	4.85	0.484 (0.268)

\* In Klammern die scheinbar niedrigste Farbleite vor dem Bauchen

Tabelle 12 Einfluß typischer organischer Lösungsmittel im Vergleich zu SPOLAPREN X auf die Sorption von Disperse- und kationischen Farbstoffen durch TESIL S (Einsatz von 4 g/l bei 50 °C, Behandlung 20 Minuten).

Der gegenläufigen Tendenzen ist der Einsatz von SPOLAPREN X in Mengen von 0,3 bis 1 g/l zu betrachten.

#### 6. Anwendung weiterer intensivierender Stoffe

Nur ganz kurz sollen Ergebnisse der Untersuchung verschiedener Verbindungen angeführt werden, welche als spezifische Carrier bei der hier verfolgten spezifischen niedrigen Färbetemperatur art TE-SIL-Fasern wirken könnten. Es erscheint zweckmäßig, auf die Arbeiten von Rebenfeld et al. (36-40) über die Wirkung von organischen Lösungsmitteln auf die mechanischen Eigenschaften der Polyestefasern zurückzugreifen. Die genannten Autoren berührten die plastifizierende Wirkung des Lösungsmittels gegenüber der Polyesterfaser nach dem Verlauf der Temperaturkurve. Beispiele enthalten die Tafel 12.

Eine deutliche Intensivierung des Färbevorganges erbringt 1,1,2,2-Tetrachlorethen, welches am Ende der Rebenfeldschen Reihe des Nullschrumpfes  $T_0 = 134^\circ\text{C}$ , in konzentrierterem Zustand handelt es sich um

einen Lösungsmittel für die Faser). Bei Anwendung dieses Lösungsmittels sinkt zwar die Festigkeit der Faser etwas ab, doch ist die Herabsetzung des Schrumpfvermögens noch akzeptabel. Dies gilt auch für zwei weitere erfolgreiche Lösungsmittel, und zwar Chlorbenzen ( $T_0 = -33^\circ\text{C}$ ) und Trichloroethylen ( $T_0 = -18^\circ\text{C}$ ). Die praktische Anwendung ist wegen der Toxicität dieser Stoffe unmöglich, insbesondere bei 1,1,2,2-Tetrachlorethen. Das bestätigt nur, daß die Stoffkombinationen bei allgemein verwendeten Carrierproduktenein umfangreiches und sich über Jahre hinziehendes Netz betriebsmäßiger Optimierung durchlaufen mußten.

#### Literatur

- Pigott, O.: Polystyrolová vlákna (Polystyrol), NTPL, Prag 1973.
- Výroba a vlastnosti PEV-vláken (Herstellung und Eigenschaften der Polyestervläken) (2) Lada, Bratislava 1968.
- Milík, J.: Stoffkombinationen bei allgemein verwendeten Carrierproduktenein umfangreiches und sich über Jahre hinziehendes Netz betriebsmäßiger Optimierung durchlaufen mußten.
- Krätschek, J.; Dostál, J.: Textil, 37, 1982, S. 1254.
- Ender, W.; Würz, A.; Melland, Textilber., 47, 1966, S. 453, 772.
- S. 92, 159, 297.
- Rosenbaum, S.: Text. Res. Journ., 34, 1964, 283.
- Rosenbaum, S.: Goodwin, F. L.: Journ. Appl. Polym. Soc., 9, 1965, S. 333.
- Milík, J.: Matematické modelování závliečkových procesů (Das mathematische Modellieren der Verarbeitungsprozesse) Scriptum VSCOT, Pandušice 1978.
- Milík, J.; Hoffmann, M.; Cöp, J.: Proc. Conf. COMSTAT, Leiden 1978.
- Schreiner, G.: Textilechnik, 24, 1974, S. 300.
- Krätschek, J.: Textil, 37, 1982, S. 175.
- Rebenfeld, L.: Leningr. Berichte, 40, 1976.
- Milík, J.; Voníček, J.; Dostál, J.: Vortrag anlässlich des „Intern. Symp. über Macromolekul. Chem.“ IUPAC-Taschenkongress 1978.
- Rößbach, V.; Müller, H.; Niessen, D.: Textilveredlung, 9, 1977, S. 336.
- Wagmann, J.; Melland Textilber., 39, 1988, S. 408.
- Gjenn, O.; Beckmann, W.; Melland Textilber., 38, 1987, S. 296.
- Gjenn, O.: Melland Textilber., 38, 1987, S. 1152.
- Rosenbaum, S.: Text. Res. J., 33, 1963, S. 899.
- Sand, H.: Kolloid-Zeitschrift und Zeitschrift f. Polym. Res. Journ., 44, 1974, S. 165.
- Morganian, P. V.; Melnikov, B. N.; Ljukieva, O. B.: Technol. text. promysl., 5, 1962, S. 22, 114.
- Fechner, F.; Würz, A.: J. Soc. Dyers Col., 77, 1961, S. 626.
- Siepmann, E.: Melland Textilber., 49, 1968, S. 557.
- Karát, J.: Textil, 30, 1975, S. 443.
- Milík, J.; Krátschek, J.; J. Soc. Dyers Col., 96, 1980, S. 117.
- Bachmann, W.; Hammacher, H.: Bayer Farb. Rev., 22, 1972, S. 25.
- Hammacher, H.: Chemiefasern/Festlind., 23/73, S. 436.
- Hammacher, H.: Bayer Farb. Rev., 22, 1972, S. 28.
- Krätschek, J.; Suchardová, J.; Voborník, V.: Vortrag anlässlich des 9. Internat. Kongresses "Intercolor" Bukarest 1973.

On practical evaluation of dyeing transition temperature  
(12. IFATCC Congress; Budapest, 1981)

Je pojednáno o různých metodách zjišťování přechodové teploty barvení  $T_d$  s využitím experimentálních podkladů uvedených v předcházejících příspěvcích. Výsledky jsou zahrnuty do souhrnné práce publikované v časopisu Textil (viz. příspěvek č. VI).

ON PRACTICAL EVALUATION OF DYEING TRANSITION TEMPERATURE

where  $D(T)$  is the diffusion coefficient at temperature  $T$ ,  
 $D_{Td}$  is the diffusion coefficient at temperature  $T_d$ ,  $C_1$  and  
 $C_2$  are constants dependent upon type of the polymer (for a  
great deal of amorphous polymers  $C_1=17.44$  and  $C_2=51.6$ ). From  
the dependence of  $D(T)$  upon  $T$  also  $T_d$  may be determined by  
using Eqn 1. In many cases sorption does not follow free  
volume theory below  $T_d$ . Owing to this dependence  $D(T)$  on  $T$   
may be described by means of Arrhenius equation, viz.

$$D(T) = D_0 \cdot \exp(-E/RT)$$

It is a well-known fact that one of principal characteristics of polymer materials is the glass transition temperature  $T_g$ . Getting over this temperature causes marked increase in dyability (1). According to Ingamells et al. (2) this temperature is referred to as "dyeing transition temperature"  $T_d$ .

Dyeing transition temperature  $T_d$  can be assessed from isothermal dyeing curves (i.e. from the dependence of mean dye concentration in the fibre  $C_t$  on time  $t$ ) at different temperature levels  $T$  in three ways:

- a/ From the dependence of rate constant  $K$  (or diffusion coefficient  $D$ ) on temperature

b/ From the dependence of equilibrium dye concentration in the fibre  $C_\infty$  on temperature

- c/ From temperature dependences of dye concentration in the fibre  $C_t$  at time  $t$ .

c/ Provided that free volume model of diffusion is valid, there is a possibility to express the dependence of diffusion coefficient  $D$  (or rate constant  $K$ ) on temperature  $T$  by the relationship (3)

$$\ln \frac{D(T)}{D_{Td}} = \frac{C_1 (T - T_d)}{C_2 + T - T_d} \quad /1/$$

where  $D_0$  is a preexponential factor,  $E$  is the activation energy of diffusion and  $R$  is the gas constant. It has been found that passing over  $T_d$  results in a jump of activation energy. This enables to estimate  $T_d$  from the dependence of  $\ln D$  on  $1/T$  (two straight lines with intersection in  $T_d$ ).

b/ In our work (4) it was reported that the dependence of  $C_\infty$  upon temperature is composed of two exponentials having intersection in  $T_d$ . In practice, the following approximate relation will suffice

$$\begin{aligned} C_\infty &= C_\infty^D + k_1(T - T_d) && \text{for } T > T_d \\ C_\infty &= C_\infty^D + k_2(T_d - T) && \text{for } T \leq T_d \end{aligned} \quad /2/$$

where  $C_\infty^D$ ,  $k_1$  and  $k_2$  are the constants. Thus, from the dependence of  $C_\infty$  on temperature the quantity  $T_d$  may easily be found.

c/ For finite time  $t$  (5) dye concentration in the fibre  $C_t$  may be substituted for  $C_\infty$  into Eqn 3. In order to compare  $T_d$  values determined by means of the above methods anionic modified Poly(ethylene terephthalate) fibres (with isophthalic acid and 5-sulphoisophthalic acid, respectively, as comonomers, overall concentration 9.5 mol %) were dyed with CI Basic Red 29 (5 % o.w.f.). Isothermal dyeing was carried out

in temperature range -20 - 90°C (scaling 10°C) for 4, 9, 16; 32 and 64 minutes. Concentration of dye in the fibre was assessed from reflectance values by the procedure presented in (4). Modified Cogarra-Puente equation was applied to describe isothermal dyeing curves (modified for initial adsorption - see (4)). Further, rate constant  $K_g$  as well as equilibrium concentration  $C_\infty$  for particular temperatures were determined. By using non-linear regression  $T_d = 62.4^\circ\text{C}$  was assessed from Eqn 1 (for  $K_g$ ). Plotting  $\ln K_g$  versus  $1/T$  results in a curve composed from two linear portions. Their intersection corresponds to  $T_d = 63.7^\circ\text{C}$ . Dependence of  $K_g$  on temperature is described satisfactorily enough in Eqn 3. From Eqn 3  $T_d = 79.7^\circ\text{C}$ . Since  $C_\infty$  has only been calculated and is subject to extrapolation errors an additional dyeing at all temperatures mentioned was performed. By analogy (with  $C_\infty$ ) for  $C_{240}$   $T_d = 67.3^\circ\text{C}$  was determined. Also, for the other dyeing times the dependence from Eqn 3 appeared to be quite satisfactory ( $T_d$  calculated was  $68^\circ\text{C}$ ). It is worth noting that glass transition temperature  $T_g$  assessed for this fibre from DSC trace (4) is  $67.5 \pm 0.5^\circ\text{C}$ .

From the above results it follows that it is not necessary, in practice, to determine the whole dyeing curve, dyeing for appropriate time (hours) at each temperature chosen being quite sufficient. Therefor determining  $T_d$  simple Eqn 3 may be used.

#### References

1. Inganells W., Peters R.H., Thornton S.R.: *J.Appl.Polymer.Sci.* 17, 3733 (1973).
2. Inganells W., Narasimhan K.V.: *J.Appl.Polymer.Sci.* 20, 2271 (1976).
3. Tsukaki S., Kitamura K.: *J.Chem.Soc.Jpn.No.11*, 2127 (1972).
4. Krytufek J., Maitky J.: *Czech Textile (to appear)*.
5. Guirjani M.L., Saxena R.K.: *J.Soc.Dyer.Col.* 95, 330 (1979).

Kinetika krašenija anionno modificirovannych polyefir-  
nych volokon pri nizkich těmperaturach  
(XII. Interkolor, Toruň 1981)

Popsána je kinetika barvení sráživého aniontově modifikovaného PES vlákna v oblasti pod a nad přechodovou teplotou barvení  $T_d$ . Pro popis závislosti pod  $T_d$  je použito modelu vycházejícího z teorie absolutních reakčních rychlostí. Nad přechodovou teplotou  $T_d$  je použito modelu Williamsa-  
Landella-Ferryho. Výsledky jsou interpretovány s ohledem na předpokládaný mechanismus difuze v těchto oblastech.

Кинетика крашения анионно модифицированных полиэфирных волокон при низких температурах.

Jiří Miličký , Научно-исследовательский институт для текстильной отрасли, Дурр Краков ч.н.з.

Jiří Krystufek , Государственный научно-исследовательский институт текстильной промышленности, Либерец

За последнее время начинается применять чехословакие высококусадочные полиэфирные волокна. Из технологической точки зрения является интересным найти такие условия, чтобы было возможно прямо красить штапельные волокна / по крайней мере на светлые оттенки / при частичном сохранении их способности к усадке. Это значит красить в области температур перехода крашения  $T_d$  . / Температура перехода крашения – это такая температура при которой начинает повышаться окрашиваемость волокон / 1 // .

В этой работе исследуется кинетика сорбии чехословаких модифицированных полиэфирных волокон при низких температурах и сделан опыт об её модельной интерпретации.

Для экспериментов было использованное анионно модифицированное полистилентерефталевое волокно толкости 4,4, дтекс / компоненты мономиксикации изофталевая кислота и натриевая соль 5-сульфонофталевой кислоты / изготавливаемое в полузаводском масштабе в к.н. СИДОН.

/ Дальше используется обозначение А-Полизифир волокно / .

Для определения усадочности волокон наблюдалось их сораждение после 10-ти минутной обработке в воде при разных температурах. / Удлинение волокна не показывает существенным образом на окончательную усадку / . На кипу приходило к усадке о 24,6 %. Усадка  $\Delta L / \%$  при оставлении температуры приведена в таблице 1.

Далее наблюдалась изотермальная сорбция красителя Basavetylrot GL в ванне с существенным избытком красителя / 5% из массы волокна / .

Крашение протекало в температурном интервале  $T = 30 - 90^{\circ}\text{C}$  разделено по ступеням  $10^{\circ}\text{C}$ . Для каждой температуры были определены концентрации красителя в волокна  $C_t / \text{мг} \cdot \text{г}^{-1}$  / для времен  $t = 4, 9, 16, 25, 36$  и 64 мин. Более подробное описание экспериментов приведено в работе / 1 / .

На основании предварительных экспериментов было определено, что для описания изотермических кривых сорбции в этой системе красителя – волокно подходит модель Серпигица – Пичеле / Fick – диффузия с мономолекуларной имобилизацией / модифицированная для скорой начальной щелорации / 2 / .

$$C_t^2 = C_{\infty}^2 + (A^2 C_{\infty}^2) \cdot \exp \left[ - \frac{2K}{C_{\infty}^2} \cdot (t - t_A) \right] / 1 /$$

Здесь  $C_{\infty}$  – концентрация красителя в равновесии,  $K$  – скоростьная константа сорбции,  $A$  – концентрация красителя в волокне в времени  $t$ ,  $t_A$  / для  $t \rightarrow 0$  есть А начальная адсорбция / . Так как наблюдалось кратковременное  $t_A \rightarrow 4$  мин. Параметры  $C_{\infty}$  /  $\text{мг}$  / и  $K$  /  $\text{мг} \cdot \text{г}^{-1} \cdot \text{мин}^{-1}$  / были отдельных изотермических сорбционных кривых определены несвойской регрессией / 3 / . В таблице 1 эти параметры приведены вместе с средним относительным отклонением  $\sigma_{\text{ср}} / \%$ .

Таблица 1 : Параметры изотермической сорбции

$T / ^{\circ}\text{C}$	$C_{\infty} / \text{мг} \cdot \text{г}^{-1}$	$A / \text{мг} \cdot \text{г}^{-1}$	$K / \text{мг} \cdot \text{г}^{-1} \cdot \text{мин}^{-1}$	$\sigma_{\text{ср}} / \%$	$\rho / \text{г} / \text{см}^3$	$S / \text{см}^2 \cdot \text{мин}^{-1}$	$R / \text{см} / \text{мин}^{-1}$
30	0,019	0,015	2,610	0,610	-	-	6,20
40	0,031	0,017	2,026	0,830	-	-	2,63
50	0,059	0,022	2,054	2,559	1,7	0,99	1,7
60	0,096	0,034	3,760	4,915	4,3	2,01	4,3
70	0,373	0,050	20,130	62,410	7,8	4,70	7,8
80	1,855	0,154	246,900	784,130	13,7	13,7	13,7
90	2,360	0,477	1648,100	3783,900	19,3	0,50	0,50

При данном интервале времен подходила и кинетическая модель предложенная Rosenbaum / 5 / .

$C_t = \frac{A}{\sqrt{D \cdot t}} \cdot A_W \cdot C_S \cdot \sqrt{D \cdot t} / 2 /$

где  $D / \text{см}^2 \cdot \text{мин}^{-1}$  – коэффициент диффузии,  $A_W / \text{м}^2 \cdot \text{г}^{-1} \cdot \text{мин}^{-1}$  / поверхность волокон / для А-полизифир  $A_W = 1435,1 \pm 1435,1 / \text{см}^2 \cdot \text{г}^{-1} /$  и  $C_S / \text{мг} \cdot \text{г}^{-1}$  / концентрация связующих мест / из содержания серы в волокне было определено, что для Basavetylrot GL  $C_S = 44, 942 \text{ мг} \cdot \text{г}^{-1} / .$

XII / 111 / Третий

Коэффициент диффузии определенный из уравнения /3/ приведен в таблице 1.

В работе /1/ было доказано, что  $C_{\infty}$  прямо пропорционально общему свободному объему  $V_F$ . Зависимость  $C_{\infty}$  в с. Т хорошо аппроксимируется линией прямими с точкой пересечения в пункте  $T_d = 67,3^\circ\text{C}$ . Аналогично аппроксимировалась зависимость  $A_{\infty}$  в с. Т /результат  $T_d = 76,6^\circ\text{C}$ / и зависимость  $\Delta H^*$  в с. Т /результат  $T_d = 67^\circ\text{C}$ /.

Для выражения зависимости параметра скорости / здесь приведены результаты только для  $D$  / на температуре  $T$  использовалась модель Furtig /.

$$D = \rho \cdot \lambda^2 \cdot \frac{kT}{\eta} \cdot \exp(\Delta S^*/k) \cdot \exp(-\Delta H^*/kT) / 3 /$$

Здесь  $\Delta H^*$  – активационная энталпия диффузии,  $\Delta S^*$  – активационная энтропия диффузии,  $\lambda$  – перескоковое расстояние / для А-полиэтилена было выбрано  $\lambda = 1,5$  нм / и  $R_1/k$  – газовая Больцмановская константа.

При анализе зависимости  $D$  ис. Т при помощи ур. /3/ было установлено, что эта модель подходит с одними константами для области  $T < T_d$  / результат  $T_d = 58,6^\circ\text{C}$  / и с другими константами для области  $T > T_d$ .

Процессом приведенным в работе /4/ было определено, что в стеканином состоянии /  $T < T_d$  /  $\Delta H^* = 59,88 \text{ кДж}\cdot\text{моль}^{-1}$ . В области  $T > T_d$  результат  $\Delta H^* = 219,39 \text{ кДж}\cdot\text{моль}^{-1}$  и  $\Delta S^* = 387,57 \text{ Я.моль}^{-1}\cdot\text{К}^{-1}$ .

В области температур  $T > 58,6^\circ\text{C}$  для описания зависимости  $D$  в с. Т подходит также свободнообъемная теория при которой плавит / энзикоме  $W-L-F$  отношение //4/.

$$\ln \left( \frac{D}{D_{T_d}} \right) - \ln \left( \frac{(T_d/T)/T_d}{C_2 + T - T_d} \right) / 4 /$$

где  $D_{T_d}$  – коэффициент диффузии при температуре  $T_d = 58,6^\circ\text{C}$  и  $C_1$  – константы.

Для наблюдаемой системы краситель – волокно результат  $C_1 = 34,49$ ,  $C_2 = 138,86$  и  $\ln(D_{T_d}/D_T) = -39,09$ .

Процессом приведенным в работе /4/ была определена энергия активации

ции вискоэластической релаксации  $\Delta E_V = 227,348 \text{ кДж}\cdot\text{моль}^{-1}$ .

Из приведенного плавкало, что под переходной температурой краешин / определенной из кинетических данных / механизм крашения рукава водит сплошнообъемная теория. Для того активационная энталпия  $\Delta H^*$  приближительно одинаковая энергии активации вискоэластической релаксации. Слияком высокая величина энтропии активации  $\Delta S^*$  свидетельствует о необходимости кооперативного движения большого числа сегментов полимера при создании свободного объема, требующего для диффузии красителя. Ниже переходной температуры крашения гречь идет повидимому о механизме диффузии в микропорах.

Об этом свидетельствует никакая температура энталпии активации  $\Delta H^* = 55,39 \text{ кДж}\cdot\text{моль}^{-1}$ . Для параметров  $C_{\infty}$ , а resp.  $\Delta$  переходов температуры приблизительно о  $100^\circ\text{C}$  выше.

Из практической точки зрения является необходимым красить в интервале от  $60^\circ\text{C}$  до макс.  $80^\circ\text{C}$ , когда хотя начинается частичная усадка, но достигается существенно более высокой сорбции красителя на волокнах / хватает для светлых оттенков /.

#### Литература

- 
- /1/ Kryštufek J., Miličký J. : Textil / принято к публикации /
  - /2/ Miličký J., Kryštufek J. : Člorník přednášek z 14-teho Aktivního vlivkářství, Tábor, květen 1981
  - /3/ Miličký J. : Modelování a optimalizace zušlechťovacích procesů,
  - /4/ Miličký J. : Makromol. Chem. 1:0, 2183 /1979/
  - /5/ Rosalvum Z., Goodwin F.L. : J.Appl.Polym.Sci., 2, 333 /1965/

O přechodové teplotě barvení syntetických vláken  
(Textil 37, 1982, s. 55)

Objasňuje se pojem přechodové teploty barvení  $T_d$  a uvádějí způsoby jejího experimentálního zjištění. Na příkladu kationtového barviva na Tesilu S (využito podkladů z příspěvku III) je demonstrováno určení  $T_d$ :

- a) z rychlostních parametrů sorpcie, při čemž bylo využito rychlostních konstant  $K_s$ . Při vynesení  $\ln K_s$  vs.  $1/T$  (jde o Arrheniovu transformaci) vznikne závislost složená ze dvou lineárních úseků. Pokus o aplikaci rovnice Williams-Landel-Ferry ukázal, že tato rovnice vyhovuje pouze pro teploty nad  $T_d$ . To svědčí o faktu, že u sledovaného systému jde u teplot pod  $T_d$  o difúzi v mikropórech vlákna.
- b) z koncentrací barviva na vlákně - bylo prokázáno, že pro vyhodnocení závislosti  $C_t$  vs.  $T$  postačuje provést approximaci přímkami (metodou, kterou první použil Chao a kol. - viz. cit. č. 6 v článku), i když fyzikálně adekvátnější je approximace exponenciální. Výstižnější výsledky poskytuje použití delších časů barvení (minim. 1 h).

# O přechodové teplotě barvení syntetických vláken

Ing. Jiří KRYŠTŮFEK, Státní výzkumný ústav textilní, Liberec,  
Ing. Jiří MILITKÝ, Výzkumný ústav zušlechťovací, Dvůr Králové n. L.

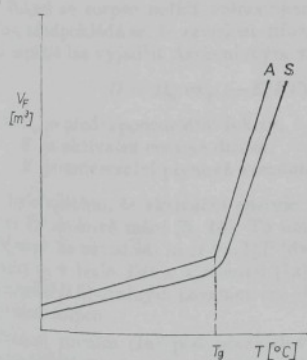
677.027.4:677.494

V práci se objasňuje pojem přechodové teploty barvení a uvádějí způsoby jejího experimentálního zjištění. Jsou stanoveny přechodové teploty barvení aniontové modifikovaného PES vlákna pro vibraci kationtová barviva.

## 1. Úvod

Většina syntetických vláken patří mezi tzv. semi-kristalické polymery. To znamená, že jejich struktura se skládá ze dvou základních fází, krystalické a amorf. Mezi těmito fázemi existuje celé spektrum oblastí s různým stupněm uspořádanosti. Tato nadmolekulární struktura je ještě orientovaná do různého stupně. Výsledné vlátko představuje tedy velmi komplikovaný systém, jehož chování je nadto silně závislé na teplotě.

Vlivem teploty jsou segmenty makromolekul (v amorfních oblastech) neustále rozknítávány s rotací amplitudou, což má za následek tvorbu lokálních volných objemů. U amorfních polymerů bylo experimentálně prokázáno, že do jisté teploty  $T_g$  (teplota neklenění, popř. bod skelného přechodu) roste celkový volný objem  $V_F$  velmi pomalu. Po překročení této teploty dochází k náhlému zvýšení rychlosti růstu volného objemu (obr. 1) [1]. Z termodynamického hlediska lze oblast skelného přechodu velmi obtížně definovat [1]. Má některé projevy shodné s tzv. přechody II. řádu (např. přechod rotačních vibrací na translaci), ale jde o nerovnovážný stav [1].



Obr. 1 — Vliv teploty na volný objem u amorfních — A — a semikristalických — S — polymerů.

Velikost  $T_g$  lze stanovit mnoha způsoby [2–6]. Nejznámější jsou dilatometrická měření „roztažnosti“ při různých teplotách nebo viskoelastické experimenty (relaxace napětí, creep, dynamické mechanické namáhání atp.) [4, 6].

Ukázalo se, že velikost  $T_g$  se mění podle způsobu jeho stanovení [1]. Kromě chemického složení poly-

meru závisí tato teplota na krystalinitě, orientaci jednotlivých fází a přítomnosti cizích látek (voda, bobtnadla, barviva). I přesto, že nejde o „základní“ parametr charakterizující pouze chemické složení, představuje  $T_g$  důležitou veličinu pro popis konkrétního „fyzikálního“ projevu polymerů. Význam teploty zeskelnění je také v tom, že určuje oblast, kde dochází ke skokovým změnám mechanických, sorpčních a elektrických vlastností polymerů. Odděluje oblasti skelného a kaučukovitého stavu.

Z obr. 1 je patrné, že pro semikristalické polymery, tedy i vlátko, dochází při  $T_g$  k plynulé změně volného objemu. Je to způsobeno postupným uvolňováním segmentů makromolekul omezených krystalickými oblastmi. Přesná definice  $T_g$  je pak obtížnější.

Volné objemy a jejich velikost hrají při difuzi barviv do syntetických vláken velmi důležitou roli. Je zřejmé, že k difuze může dojít jen tehdy, je-li v okolí molekuly barviva vytvořen volný objem o větší velikosti a má-li současně molekula barviva dostatečnou energii, potřebnou k přemístění do tohoto objemu [7].

Volnoobjemová teorie difuze vyhovuje pro popis závislosti rychlosti sorpce na teplotě v oblasti nad jistou přechodovou teplotou sorpce  $T_d$ . Veličina  $T_d$  se definuje jako teplota, při níž dochází k náhlému vzrůstu rychlosti sorpce (popř. ke změně mechanismu sorpce). Tato teplota je pochopitelně úměrná  $T_g$  polymeru ve vodě, ale vzhledem k velikosti molekul barviva a typu interakce barvivo — vlátko nejsou  $T_d$  a  $T_g$  (ve vodě) shodné. Flath [8] přišel rozdíly mezi  $T_d$  a  $T_g$  nesouměřitelným experimentálním podmínkám. Veličina  $T_g$  obyčejně charakterizuje pohybilitost polymeru v axiálním směru, zatímco  $T_d$  se týká především pohybilitosti v radiálním směru. Roli hraje i to, že při difuzi postupuje barvivo od povrchu vláken, ale mechanické deformace probíhají okamžitě v celém objemu materiálu [9].

Pod přechodovou teplotou sorpce vyhovuje v mnoha případech představa difuze v mikropórech vlákn a [10–12, 7]. Je to dáno skutečností, že růst volných objemů pod přechodovou teplotou je velmi malý a teplota zde ovlivňuje převážně energii (resp. pohybilitost) molekul barviva.

Volnoobjemové teorie difuze bylo použito pro popis kinetiky barvení PAN vláken kationtovými barvivy [13, 14], PES vláken disperzními barvivy [15], PAD vláken kyselými barvivy [3] a pro objasnění účinku urychlovače barvení (přenašečů a některých dalších organických kapalin [2, 13]). Je tedy zřejmé, že  $T_d$  představuje důležitou charakteristikou systému polymer — barvivo. Jak je dokázáno v práci [16], závisí  $T_d$  i na typu barviva.

Účelem tohoto příspěvku je ověření různých možností stanovení přechodové teploty barvení  $T_d$ .

## 2. Určení $T_d$ z rychlostních parametrů sorpce

Pokud platí volnoobjemový model difuze, lze závislost difúzního koeficientu na teplotě popsat modifi-

kací rovnice William-Landel-Ferry (W-L-F), kterou navrhl Fujita [17]. Tato závislost má tvar

$$\ln \frac{D_T}{D_{Td}} = \frac{C_1(T - Td)}{C_2 + T - Td} \quad (1)$$

$D_T$  je difúzní koeficient při teplotě  $T$ ,  
 $D_{Td}$  je hodnota difúzního koeficientu při teplotě  $Td$ ,  
 $C_1, C_2$  jsou konstanty závislé na typu polymeru (např. pro amorfni polymery je z viskoelastických měření určeno, že  $C_1 = 17,44$  a  $C_2 = 51,6$ ).

Pokud jsou tedy na základě izotermních sorpcních experimentů stanoveny difúzní koeficienty, lze snadno nejen ověřit platnost rovnice (1), a tím i volnoobjemové teorie difuze, ale také určit  $Td$ . Tuto metodu aplikoval Rosenbaum [14] a po něm mnoho dalších autorů [3, 10].

Místo difúzního koeficientu lze do rovnice (1) dosadit např. rychlostní konstantu nebo libovolný jiný parametr charakterizující rychlosť sorpce (např. průměrnou rychlosť barvení).

Problém, který zde vzniká, tkví hlavně v tom, že růst volných objemů ovlivňuje nejen rychlosť sorpce, ale výrazně také rovnovážnou koncentraci barviva ve vlákně  $C_\infty$ . Pokud se difúzní koeficient určuje z analýzy koncentráčních profilů, nebude zřejmě tato skutečnost tak významná. Při stanovení integrálních difúzních koeficientů ze sorpčních krivek se však vždy při výpočtech používají rovnovážné koncentrace barviva ve vlákně. To má za následek „zkreslování“ difúzních koeficientů (vlivem různých  $C_\infty$ ), a tím i snížení přesnosti při určování  $Td$ . Jeden příklad toho, jak ovlivňuje fluktuace v rovnovážných koncentracích difúzní koeficient tak, že nelze určit  $Td$ , je uveden v práci [17].

Pokud se sorpce neřídí volnoobjemovou teorií difuze, předpokládá se, že závislost difúzního koeficientu na teplotě lze vyjádřit Arrheniovým vztahem

$$D = D_0 \cdot \exp(-E/RT) \quad (1a)$$

kde  $D_0$  je předexponeční faktor,

$E$  je aktivační energie difuze,

$R$  je univerzální plynová konstanta.

Bыlo zjištěno, že aktivační energie  $E$  se po překlopení  $Td$  skokově mění [3, 14]. To umožňuje stanovit  $Td$  např. ze závislosti  $\ln D$  vs.  $1/T$  (dvě přímky protínající se v bodě  $Td$ ) a v rovnici (1a) je opět možno nahradit  $D$  libovolným parametrem charakterizujícím rychlosť sorpce.

Platnost rovnice (1a) pod přechodovou teplotou  $Td$  může indikovat, že sorpce se řídí mechanismem difuze v mikroporech vlákná. Přesto se tohoto způsobu určení  $Td$  úspěšně používá i tam, kde platí volnoobjemová teorie difuze (tedy bez „fyzikálního“ rozboru problému).

### 3. Stanovení $Td$ z rovnovážného parametru sorpce

Tyto způsoby určení přechodové teploty barvení vycházejí z faktu, že rovnovážná koncentrace barviva ve vlákně je přímo úměrná volnému objemu, který se při dané teplotě vytvoří. Jak odvodili Cohen a Thurnbull [18], je pravděpodobnost  $P(V^*)$  vzniku volného

objemu většího nebo rovného objemu  $V^*$  dána vztahem

$$P(V^*) = \exp(-\gamma \cdot V^*/V_F) \quad (2)$$

kde  $\gamma$  je konstanta úměrnosti ( $\gamma \rightarrow 1$ ),

$V_F$  je volný objem polymeru při dané teplotě.

Zjednodušeně lze předpokládat, že  $C_\infty$  bude úměrné částí celkového objemu  $V_F$ , jejíž objem je větší než objem molekuly barviva  $V_m$ . Na základě rovnice (2) lze pak psát, že

$$C_\infty = u \cdot V_F \cdot \exp(-\gamma V_m/V_F) \quad (3)$$

kde  $u$  je konstanta úměrnosti.

Pro závislost volného objemu na teplotě je možno použít nejjednoduššího vztahu (platného pro amorfni polymery) ve tvaru [1].

$$V_F = \alpha_I(T - Td) + V_{Tg} \quad \text{pro } T \leq Td$$

$$V_F = \alpha_{II}(T - Td) + V_{Tg} \quad \text{pro } T > Td \quad (4)$$

V rovnici (4) jsou  $\alpha_I, \alpha_{II}$  konstanty úměrné koeficientům objemové roztažnosti a  $V_{Tg}$  je volný objem při teplotě  $Td$ . Rovnice (3) a rovnice (4) definují tedy závislost rovnovážné koncentrace barviva ve vlákně na teplotě.

Při numerických výpočtech se nahrazuje  $(\gamma \cdot V_m)$  jedním parametrem. Pak obsahuje model vyjádřen rovniciemi (3) a (4) celkem šest modelových parametrů ( $\alpha_I, \alpha_{II}, u, V_{Tg}, Td, V_m$ ). Je pochopitelné, že při odvození rovnice (3) bylo použito mnoha zjednodušení, a proto tento model neplatí zcela přesně. Ukazuje spíše jen na to, že závislost  $C_\infty$  vs.  $T$  je exponenciální a v okolí  $Td$  dochází ke změně jejího tvaru.

Jednodušší je approximativně nahradit exponenciálu v rovnici (3) dvěma přímkami, pro které platí

$$C_\infty = C_\infty^D + k_1(T - Td) \quad \text{pro } T \leq Td$$

$$C_\infty = C_\infty^D + k_2(T - Td) \quad \text{pro } T > Td \quad (5)$$

kde  $k_1$  a  $k_2$  jsou směrnice approximujících přímek,

$C_\infty^D$  je rovnovážná koncentrace barviva ve vlákně při teplotě  $Td$ .

Analogický approximativní postup výpočtu navrhl pro určení teploty zeskelení z dilatačních měření Chao a kol. [6]. V případě barvení do rovnováhy lze tedy snadno z rovnice (3) a (4), popř. rovnice (5) nalézt přechodovou teplotu  $Td$ . Obyčejně se však barví pouze do reálného času. Pak lze ze cenu jistých nepřesností použít  $C_\infty$  vypočtené regresně z kinetického modelu barvení (jde vždy o „extrapolovanou“ veličinu, a proto její velikost často náhodně kolísá). Další možnost je nahradit  $C_\infty$  koncentrací  $C_t$  při vhodně zvoleném čase  $t$ . Protože  $C_t$  závisí jak na kinetice, tak i na rovnováze barvení, může dojít ke zkreslení vypočteného  $Td$ . Přesto se tohoto postupu pro jeho jednoduchost často používá [2, 13, 16]. Jako  $C_t$  se volí obyčejně koncentrace v posledním experimentálním bodě (pro nejdéle čas  $t$ ).

Ingamells [13] navrhl jednu empirickou metodu pro stanovení  $Td$ , ze závislosti  $C_t$  vs.  $T$ , kterou lze považovat za jistý speciální případ rovnice (5). Použití koncentrací  $C_t$  pro stanovení  $Td$  má výhodu zejména v tom, že při každé teplotě stačí provést pouze jedno vybarvení při zvoleném čase.

#### 4. Experimentální část

K barvení byla použita stříž z aniontově modifikovaného polyetyléntereftalátu (modifikační komponenty byly kyselina izoftalová a sodná sůl kyseliny 5-sulfoizoftalové). Celkový obsah modifikačních složek byl 9,75 molárních procent.

Teplota zesklení vlákna byla stanovena metodou DTA [19]. Výšlo  $T_g = 67,5 \pm 0,5^\circ\text{C}$ . Je známo, že ve vodném prostředí dochází ke snížení  $T_g$  o 10–15 °C (exaktní stanovení  $T_g$  ve vodě nebylo provedeno).

S barvivem Basacrylot G (BASF; C. I. Basic Red 29) o čistotě 75 % se izotermně barvilo na aparátu Pretema-Multicolor s nucenou cirkulací lázně. Barvení probíhalo vždy ze značného nadbytku barviva. Barvíci lázeň obsahovala 5 % barviva z hmoty materiálu (purováno na pH 5), poměr lázně 1 : 70. Barvení probíhalo izotermně v intervalu 20–90 °C po 10 °C do různých časů (4, 9, 16, 24, 32 a 64 min). Po barvení se vlákna opakováně opláchlá studenou vodou. Zbytky barviva ulpěly na vláknach byly odstraněny trojnásobným opláchnutím (po 10 s) ve směsi etanol–voda 1 : 1 [20]. Koncentrace barviva na vlákně se stanovila z hodnot reflektance naměřených na třífiltrovém kolormetru Elrepho (Optron) při vlnové délce 534 nm. Oddělem byla provedena škála kalibračních experimentů, na jejichž základě byla nalezena závislost mezi reflektancí (resp. funkcí Kubelka – Munk) a průměrnou koncentrací barviva ve vlákně (stanovenou z extraktu spektrofotometricky). Aby se vyloučil vliv hloubky probarvení, byly všechny vzorky před měřením reflektance zpracovány ve slepé lázně 1 h při 115 °C za příslušné 1 g.l<sup>-1</sup> Spolaprenu X. Tímto způsoby

byl dosáhlo u všech vzorků rovnoměrného probarvení (množství barviva, které přešlo do lázně bylo spektrofotometricky nezjistitelné). Všechna stanovení, včetně barvení, se dvakrát opakovala a dále se pracovalo s aritmickým průměrem. Výsledné experimentální body jsou pro teploty 20, 30, 40, 50 a 60 °C uvedeny na obr. 2 a pro teploty 70, 80 a 90 °C na obr. 3.

#### 5. Zpracování izotermních sorpčních křivek

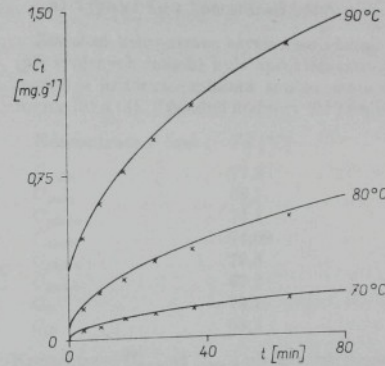
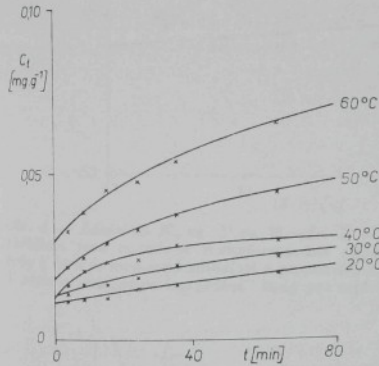
Pro popis izotermních vytahovacích křivek kationtových barviv se již osvědčilo použít Cegarra-Puentovy kinetické rovnice modifikované na počáteční adorpci [21]. Dále se výšlo z předpokladu, že počáteční „rychlá“ adsorpce (kterou nelze experimentálně stanovit) ovlivní zejména první experimentální bod při 4 min. Proto se pro čas  $t = 4$  min zavedla modelovou konstantu  $A \approx C_{4\text{min}}$  (kde  $A$  je charakteristika adsorpce). Výsledný model má tvar

$$C_t^2 = C_\infty^2 + (A^2 - C_\infty^2) \exp \left[ -\frac{2K_s}{C_\infty^2} (t - 4) \right] \quad (6)$$

kde  $C_\infty$  je rovnovážná koncentrace barviva ve vlákně,  $K_s$  je rychlostní konstanta sorpcie.

Pro odhad modelových parametrů  $C_\infty$ ,  $A$ ,  $K_s$  se použilo lineární regrese s kritériem minima součtu čtverců odchylek [22]. Výpočty byly provedeny na kalkulátoru HP 9825. Parametry rovnice (6) jsou spolu s průměrnou relativní odchylkou  $D$  [%] uvedeny v tabulce I a modelové křivky jsou na obr. 2 a obr. 3.

Poznámka: Izotermní sorpční křivky byly rozděleny podle očekávaného  $T_d$ . Maximální  $C_t$  v obr. 2 je



Obr. 2 — Sorpční izotermы barviva Basacrylot G na aniontově modifikovaném PES vlákně v rozmezí 20 až 60 °C.

Obr. 3 — Sorpční izotermы barviva Basacrylot G na aniontově modifikovaném PES vlákně v rozmezí 70–90 °C.

Tabulka I — Modelové parametry rovnice (8) pro izotermní sorpcii barviva Basacrylot GL na aniontově modifikovaném PES vlákně

$T$ [°C]	$C_\infty$ [mg.g <sup>-1</sup> ]	$A$ [mg.g <sup>-1</sup> ]	$K_s$ [mg <sup>2</sup> .g <sup>-2</sup> .min <sup>-1</sup> ]	$C_{4h}$ [mg.g <sup>-1</sup> ]	$D$ [%]
20	0,15	0,012	$2 \cdot 10^{-6}$	0,020	2,34
30	0,035	0,015	$6 \cdot 10^{-6}$	0,025	3,68
40	0,013	0,017	$1,7 \cdot 10^{-5}$	0,030	2,63
50	0,059	0,022	$2,5 \cdot 10^{-5}$	0,044	0,99
60	0,096	0,034	$5 \cdot 10^{-5}$	0,064	2,07
70	0,37	0,050	$2,75 \cdot 10^{-4}$	0,17	4,76
80	2,52	0,16	$2,43 \cdot 10^{-3}$	0,53	1,96
90	2,36	0,48	$1,65 \cdot 10^{-2}$	1,30	0,60

$0,1 \text{ mg} \cdot \text{g}^{-1}$  a v obr. 3 je  $1,5 \text{ mg} \cdot \text{g}^{-1}$ . Z toho je vidět, že při společném vynesení by sorpční křivky pro nižší teploty prakticky srovnaly.

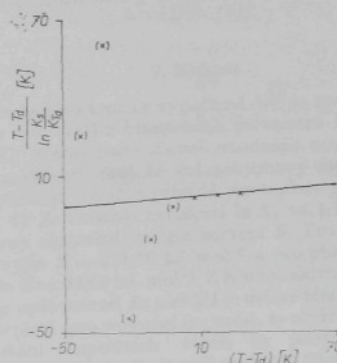
Jak je vidět z tabulky I a obr. 2, 3 vyhovuje navržený model [rovnice (6)] pro popis všech izoterm. Vlivem konečného intervalu měření vyšla modelová  $C_\infty$  pro teploty 20 a  $90^\circ\text{C}$  odchýlená od „trendu“ při ostatních teplotách. Projevila se zde také skutečnost, že  $C_\infty$  je „extrapolovaná“ hodnota na nekonaný čas. Pro charakterizování rovnováhy barvení byly proto jako vhodnější náhradní kritérium z rovnice (6) stanoveny modelové koncentrace  $C_{4h}$  po čtyřhodinovém barvení (viz tab. I).

## 6. Výpočet přechodové teploty barvení

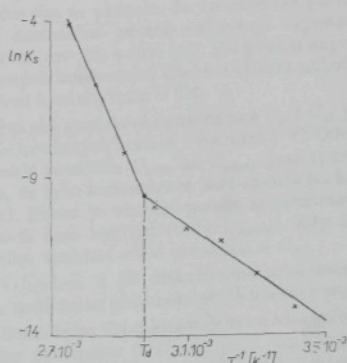
Přechodová teplota barvení  $Td$  byla stanovena z:

Tabulka II — Parametry rovnice (1) pro systém Basacyrlot GL — aniontově modifikované PES vláknou

$C_1$ [—]	$C_2$ [—]	$K_{Td}$ [ $\text{mg}^2 \cdot \text{g}^2 \cdot \text{min}^{-1}$ ]	$Td$ [ $^\circ\text{C}$ ]
19,25	44,45	$1,02 \cdot 10^{-6}$	62,4



Obr. 4 — Závislost  $K_s$  vs.  $T$  ve W-L-F transformaci (křížek jsou označeny transformované experimentální body a čára je modelová závislost s parametry z tab. III). V závorce jsou „experimentální“ body pro teploty po  $T_d$ .



Obr. 5 — Závislost  $K_s$  vs.  $T$  v Arrheniové transformaci (křížek označují experimentální body a čára je approximace dvěma lineárními úsekky).

- a) rychlostního parametru sorpce,
- b) rovnovážných parametrů (resp. koncentraci ve zvolených časech) při použití rovnic (3) a (4),
- c) parametrů ad b) při nahrazení exponenciál přímkami [rovnicí (5)].

## a) Výpočet $Td$ z rychlostního parametru sorpce

Závislosti  $K_s$  vs.  $T$  byly určeny (nelineární regresi) s kritériem minima součtu čtverců modelové parometry rovnice (1). Výsledky jsou uvedeny v tabulce II.

Adekvátnost modelů byla vyjádřena pomocí indexu korelace  $R$  [%]. Výšlo  $R = 99,99\%$  což svědčí o tom, že rovnice (1) je hlediskem minimu součtu čtverců adekvátní pro popis závislosti  $K_s$  vs.  $T$ . Protože se však  $K_s$  mění v rozmezí čtyř řádů (viz tab. I) nemusí model vzhledem k zvolenému kritériu regrese vyhovovat v oblasti nízkých teplot (malých  $K_s$ ) příliš dobré. Z toho důvodu je na obr. 4 vynesena závislost  $(T - T_d)/\ln(K_s/K_{Td})$  vs.  $T - T_d$  (kde  $Td$  a  $K_{Td}$  jsou z tab. II) spolu s modelovou přímkou [která má podle rovnice (1) směrnicu  $1/C_1$  a úsek  $C_2/C_1$ ]. Jak je vidět nepropisuje skutečné rovnice (1) závislost  $K_s$  vs.  $T$  pro teploty pod  $Td$  a vyhovuje pouze pro teploty nad  $Td$ . To svědčí o faktu, že u sledovaného systému půjde pod  $Td$  o difuzi v mikroporech vlákn.

Při vynesení  $\ln K_s$  vs.  $1/T$  [transformace podle rovnice (1a)] rezultovala skutečně závislost složená ze dvou lineárních úseků (viz obr. 5). Poloha  $Td$  (v průsečku obou úseků) byla stanovena nelineární regresi. Výšlo  $Td = 63,7^\circ\text{C}$ . To opět svědčí o faktu, že volnoběžová teorie difuze neplatí v celém rozmezí sledovaných teplot.

## b) Výpočet $Td$ z koncentrací barviva ve vlákně

Závislost koncentrace barviva ve vlákně na teplotě (při zvolených časech) byla approximována (nelineární regresi s kritériem minima součtu čtverců) pomocí rovnice (3) a (4). Výsledné hodnoty  $Td$  jsou následující:

Konzentrace v čase	$Td$ [ $^\circ\text{C}$ ]
$C_{4\text{min}}$	77,8
$C_{9\text{min}}$	68,7
$C_{18\text{min}}$	74,1
$C_{25\text{min}}$	74,09
$C_{36\text{min}}$	79,8
$C_{64\text{min}}$	67,2
$C_\infty$	79,7
$C_{4h}$	68,2

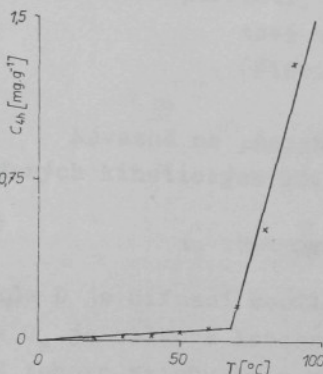
Konzentrace  $C_{4\text{min}}$  až  $C_{64\text{min}}$  představují naměřené hodnoty v těchto časech;  $C_\infty$  a  $C_{4h}$  jsou koncentrace určené z modelu izotermní kinetiky [rov. (6)].

## c) Zjednodušený výpočet $Td$

Pro stejně koncentrace barviva jako ad b) byly approximovány závislosti  $C_t$  vs.  $T$  dvěma přímkami [rov. (5)]. Nelineární regresi s kritériem minima součtu čtverců byly nalezeny následující teploty  $Td$ :

Konzentrace v čase	$Td$ [ $^\circ\text{C}$ ]
$C_{4\text{min}}$	76,7
$C_{9\text{min}}$	75,7
$C_{18\text{min}}$	68,7
$C_{36\text{min}}$	68,3
$C_{64\text{min}}$	68,2
$C_\infty$	79,7
$C_{4h}$	67,3

Na obr. 6 je vynesená závislost  $C_{4h}$  vs.  $T$  spolu s approximací přímkami [rov. (5)]. Lze snadno zjistit, že approximace exponenciálními [použitá v odstavci ad b)] se v daném rozmezí neliší příliš od approximace přímkami.



Obr. 6 — Závislost  $C_{4h}$  na teplotě a její approximace přímkami [rov. (5)].

## 7. Diskuse

Přechodové teploty vypočtené dvěma způsoby [rov. (1) a rov. (1a)] z kinetického parametru  $K_s$  se liší o  $1,3^{\circ}\text{C}$ . Přesto bude zřejmě vhodnější použít Arrheniova vztahu, protože volnoobjemový model difuze nevyhovuje v tomto případě pro teploty pod  $T_d$  (viz obr. 4). Ze směrnice závislosti  $\ln K_s$  vs.  $1/T$  byly stanoveny aktivační energie barvení  $E$ . Pro oblast nad  $T_d$  vyšlo  $E = 211,19 \text{ kJ} \cdot \text{mol}^{-1}$  a pro oblast pod  $T_d$  vyšlo  $E = 63,69 \text{ kJ} \cdot \text{mol}^{-1}$ . Z hodnot aktivačních energií je opět patrné, že pod  $T_d$  je difuze téměř nezávislá na teplotě (pro srovnání lze uvést, že aktivační energie praskání disperzních vazeb se pohybuje kolem  $20 \text{ kJ} \cdot \text{mol}^{-1}$ ) a bude zřejmě probíhat již ve vzniklých mikroporech vlákna (resp. v malém počtu volných objemů).

Daleko větší rozptyl mají hodnoty  $T_d$  určené ze závislosti koncentrací ve vybraných časech na teplotě. Především se ukázalo, že approximace přímkami [rov. (5)] dostatečně přesně naznázuje exponenciální závislosti [rov. (3) a rov. (4)]. Při použití experimentálně určených koncentrací dochází vlivem náhodných chyb měření k odchylkám v  $T_d$ .

Pro obě modelové koncentrace  $C_\infty$  i  $C_{4h}$  je shoda  $T_d$  výše uvedených hodnot v rozmezí  $1^{\circ}\text{C}$ . Odchylky v  $T_d$  vzniklé použitím  $C_{4min}$  až  $C_{4max}$  jsou způsobeny také tím, že tyto koncentrace jsou závislé na kinetice barvení. Proto je vhodné použít koncentrace v co nejdéleším čase barvení (tedy  $C_{4min}$ ), kdy hodnoty  $T_d$  vcelku souhlasí s  $T_d$  určenými z  $C_{4h}$ .

Vzhledem k již diskutované nepřesnosti v určení  $C_\infty$  není tento parametr příliš vhodný pro odhad  $T_d$ .

Srovnáním  $T_d$  z kinetického a vhodného rovnovážného parametru (z  $C_{4min}$ , popř.  $C_{4h}$ ) výjde differenč v  $T_d$  přibližně  $4^{\circ}\text{C}$ . To není vzhledem k přesnosti stanovení izotermních sorpčních krivek příliš mnoho (i když v jiných případech by mohly být odchylky i vyšší).

Z praktického hlediska bude zřejmě nejvhodnější stanovovat  $T_d$  z experimentálních barvení do dostačující dlouhého času (lze doporučit nejméně 1 h) při různých teplotách. Pro vyhodnocení závislosti  $C_4$  vs.  $T$  je pak postačující provést approximaci přímkami [rov. (5)].

Je zajímavé, že zjištěné  $T_d$  souhlasí s hodnotou  $T_g$  vlákna na vzduchu. To podporuje domněnkou, která byla ověřena již v práci [16], že  $T_d$  leží přibl. o 10 až  $15^{\circ}\text{C}$  nad teplotou zesklelnění vlákna ve vodě.

## Závěr

V příspěvku byly rozebrány možnosti stanovení přechodové teploty barvení aniontově modifikovaných PES vláken. Na základě výsledků získaných různými metodami byl navržen jednoduchý postup stanovení  $T_d$  ze série vybarvení při různých teplotách (při každé teplotě postačuje barvit pouze do jednoho zvoleného času).

Velikina  $T_d$  může sloužit jako jednoduché kritérium pro hodnocení barvířských vlastností modifikovaných i nemodifikovaných syntetických vláken. Má význam také při vývoji nových technologií barvení sráživých PES vláken za podmínek, kdy nedojde k jejich smrtění v barvířské lázni [23].

## LITERATURA

- [1] HAWARD, R. N. Ed.: The Physic of Glassy Polymers, Applied Science Publ., London 1973, kap. I.
- [2] INGAMELLIS, W., NARASIMHAN K. V.: J. Appl. Polym. Sci. 20, 2271 (1976).
- [3] BELL J. P.: J. Appl. Polym. Sci. 12, 627 (1968).
- [4] DUMBLETON J. H., BELL J. P., MURAYAMA T.: J. Appl. Polym. Sci. 12, 2491 (1968).
- [5] ASQUITH R. S., BLAIR H. S., SPENCE N.: J. Soc. Dyers Col. 94, 49 (1978).
- [6] CHAO N. P. C., CUCULO J. A., GALLANT A. R., GEORGE T. W.: Appl. Polym. Symp. No. 27, 193 (1975).
- [7] RATTEE I. D., BRENER H. H.: The Physical Chemistry of Dye Adsorption, Academic Press, London 1974.
- [8] FLATH J. H., MORITZ R., BODAWIEK J.: Textiltechnik 28, 103 (1978).
- [9] MILITKÝ J., DOSTÁL J., BUREŠOVÁ H.: Sborník přednášek z 13. Aktivity vláknářů, Dům techniky ČSVTS České Budějovice, květen 1978.
- [10] DIMOV K., CHARDALOV I.: Textiltechnik 23, 374 (1973).
- [11] SCHREINER G.: Textiltechnik 24, 300, 353 (1974).
- [12] Piedmont Section: Amer. Dyestuff. Rep. 48, 23 (1959).
- [13] INGAMELLIS W., PETERS H. R., THORNTON J.: J. Appl. Polym. Sci. 17, 3733 (1973).
- [14] ROSENBAUM S.: Text. Res. J. 34, 52, 159, 291 (1963).
- [15] BALMFORTH D. a kol.: J. Soc. Dyers Col. 82, 405 (1966).
- [16] GULRAJANI M. L., SAXENA R. K.: J. Soc. Dyers Col. 95, 336 (1979).
- [17] MILITKÝ J., VŠLANSKÝ J., SLÁDEČEK A.: Chemická vlákna (v tisku).
- [18] COHEN M. H., THURNBULL P.: J. Chem. Phys. 31, 1164 (1959).
- [19] VÁNIČEK J.: Nepublikované výsledky.
- [20] JIN C. R., CATES D. M.: Amer. Dyestuff. Rep. 58, 64 (1964).
- [21] MILITKÝ J., KRYŠTUFÉK J.: Dosud nepublikovaná práce.
- [22] MILITKÝ J.: Matematické modelování zušlechtovacích procesů, skripta pro PGS, VŠCHT, Pardubice, duben 1978.
- [23] KRYŠTUFÉK J.: Zajímavosti SVÚT, No. 5, 187 (1979).

Aktivační parametry sorpce kationtových barviv na aniontově modifikované PES-vlákně  
(Fibrichem, Bratislava 1983)

Návazně na předchozí příspěvky byl pro popis zde uvedených kinetických křivek použit model Rosenbauma:

$$C_t = \frac{2}{\sqrt{\pi}} \cdot A_w \cdot C_s \cdot \sqrt{D \cdot t}$$

kde D je difuzní koeficient,  $A_w$  je povrchová plocha vlákna a  $C_s$  je celková koncentrace vazných míst ve vlákně.

Z tohoto vztahu byly vypočteny difuzní koeficienty pro teploty 30, 40, 50, 60, 70, 80, 90°C.

Analýzou závislosti  $\ln D$  vs.  $1/T$  byla určena přechodová teplota barvení  $T_d = 58,3^\circ\text{C}$ .

Pod touto přechodovou teplotou barvení byla závislost  $\ln D$  vs.  $1/T$  přibližně lineární, nad ní konkávní, což je obdobné jako u PAN-vláken.

Z arrheniovské závislosti byla pro interval teplot do  $T_d = 58,3^\circ\text{C}$  určena aktivační energie difuze

$$\Delta E^* = 59,88 \text{ kJ} \cdot \text{mol}^{-1} \quad \text{a} \quad D_0 = 1,893 \cdot 10^{-5} \text{ cm}^2 \cdot \text{min}^{-1}.$$

Pro oblast nad  $T_d$  se vyšlo z W-L-F rovnice a obecné termodynamické definice aktivační energie, z nichž bylo zjištěno, že  $\Delta E^*$  je v oblasti nad  $T_d$  klesající funkcí teploty : při  $T_d$  je rovna  $292,6 \text{ kJ} \cdot \text{mol}^{-1}$ , při  $90^\circ\text{C}$   $151,6 \text{ kJ} \cdot \text{mol}^{-1}$ .

## AKTIVACNÍ PARAMETRY SORUCE KATIONTOVÝCH BARVIV NA ANIONTOVÉ MODIFIKOVANÉ PES-VLÁKNO

Ing. Jiří MILITRÝ CSC., VÚZ Dvůr Králové n. L. ČSSR  
Ing. JIŘÍ KRYŠTOFEC, SVUT Liberec ČSSR

Praktickou výhodou aniontově modifikovaných polyesterových (A-PES) vláken je jejich bervitelnost kationtovými barvivami. Pokud se při modifikaci použije kromě komonomeru nesoučího kysele skupiny také komonomer rozvolňující strukturu vláken, je možno docílit středních i sytých odstínů již při teplotách barvení do 100°C.

Bylo prokázano, že mechanizmus barvení A-PES-vláken je stejný jako u vláken polykyanitonitrilových /1/. Omezené informace však existují o difuzním chování A-PES-vláken.

V této práci je sledován vliv teploty na rychlosť difuze kationtového barvia do A-PES-vláken a jsou stanoveny aktivacní parametry tohoto procesu. Při určení modelu difuze i modelu teplotní závislosti difuzního koeficientu bylo použito lineární regrese /2/. Tím je zahráno značným chybám v odhadech parametrů způsobených linearizací /2/.

K experimentům bylo použito aniontově modifikované polyetylentereftalátové vlákno (modifikované komponenty: kyselina izofialová a sodná sůl kyseliny 5-sulfiofotlákové; celkový obsah 9,75 mol-%) vyrobené poloprovoně v k.p. Silon. Byla sledována kinetika izotermní soruce barvia Basacrylt GL v prakticky nekoncentrální formě (základní koncentrace 5% z hmot. materiálu zaříjstována, že v celém procesu soruce je v systému přebytek barvia). Barvení probíhalo v rozmezí teplot 30-90°C odstupňované po 10°C. Při každé teplotě byly stanoveny koncentrace barvia v lázni C<sub>t</sub>/mg.g<sup>-1</sup> v časech t = 4, 9, 16, 25, 36 a 64 min.

Podrobněji detaility o provedení experimentů jsou uvedeny v /3/.

Pro popis získaných kinetických krivek v daném časovém intervalu využoval model Rosenbaum /4/

$$C_t = \frac{1}{\sqrt{\pi}} \cdot A_w \cdot G_3 \cdot \sqrt{D \cdot t} \quad (1)$$

kde 1/m<sup>2</sup>.min<sup>-1/2</sup> je difuzní koeficient, A<sub>w</sub>/cm<sup>2</sup>.g<sup>-1</sup> je povrchová plocha vlákna (pro sledované vlákná byla vypočtena

A<sub>w</sub> = 1485,12 cm<sup>2</sup>.g<sup>-1</sup> a C<sub>w</sub>/mg.g<sup>-1</sup> je celková koncentrace vazacích míst (z obsahu síry ve vlákně bylo určeno, že pro Basacrylt GL je C<sub>w</sub> = 44,942 mg.g<sup>-1</sup>).

Difuzní koeficient D byl určen z rov. (1)lineární regresí (průměrná relativní odchylika modelové závislosti od experimentálních bodů nepřekročila 5%). Výsledky jsou uvedeny v tab. I.

Tab. I. Kinetické parametry izotermní soruce.

teplota °C/ D.10 <sup>15</sup> /cm <sup>2</sup> .min <sup>-1/2</sup>	30	40	50	60	70	80	90
0,609	0,837	2,56	4,92	62,4	734,13	3783,9	

Analýzou závislosti ln D vs. 1/T bylo zjištěno, že při teplotě T<sub>D</sub> = 58,3°C dochází k náhlému zlomu, který lze interpretovat jako přechodovou teplotou barvení T<sub>D</sub> (odpovídající difuzní koeficient výše D<sub>T</sub> = 4,898.10<sup>-15</sup> cm<sup>2</sup>.min<sup>-1</sup>). Tato přechodová teplota barvení je cca o 10°C nižší než teplota zeskelnění vlákn na vzdalu T<sub>G</sub> = 67,5°C. (Je zajímavé, že i T<sub>G</sub> ve vodě se pojede o 10-15°C pod T<sub>G</sub> na vzniku.) Pod přechodovou teplotou barvení byla závislost ln D vs. 1/T přibližně lineární a nad touto teplotou konkavní (analogicky průběh byl nalezen i u PAN-vláken /4/). To indikuje, že pod T<sub>G</sub> jde o srberiovskou závislost typu

$$D = b \cdot \exp(-\Delta E^*/RT) \quad (2)$$

kde D je frekvenční faktor, ΔE<sup>\*</sup> aktivační energie difuze a R univerzální plynová konstanta. Nejlineární regresí byly rovn. (2) (pro interval teplot do T<sub>D</sub> = 58,3°C) určena aktivační energie difuze ΔE<sup>\*</sup> = 59,38 kJ.mol<sup>-1</sup> a D<sub>0</sub> = 1,893.10<sup>-5</sup> cm<sup>2</sup>.min<sup>-1</sup>. Konkávní závislost ln D na 1/T indikuje, že difuze se řídí volnoobjemovým mechanismem a platí pro ni známá W-L-F rovnice /4/

$$\ln(D/T) - \ln(D_0/T_0) = \frac{C_1(\tau - \tau_0)}{C_2 + \tau - \tau_0} \quad (3)$$

kde C<sub>1</sub>/k<sup>-1</sup> a C<sub>2</sub>/k jsou konstanty.

Nelineární regresní bylo z rov. (3) (Pro interval nad  $T_D$ ) stanoveno  $C_1 = 19,44 \text{ K}^{-1}$  a  $C_2 = 60,57 \text{ K}$ .

Pro určení aktivacní energie sororce se vyšlo z obecné termodynamické definice aktivacní energie, která vede po dosazení do rov. (3) ke vztahu

$$\Delta E^\# = R \cdot G \cdot T^2 [C_2 - T + T_D]^{-2} \quad (4)$$

Z rov.(4) je patrné, že aktivacní energie sororce je v oblasti nad  $T_D$  klesající funkci teploty (viz tab. II). Při  $T_D$  je  $\Delta E^\# = 292,857 \text{ kJ} \cdot \text{mol}^{-1}$ .

Tab. II Závislost aktivacní energie bárení A-PES-vláken  
barvivam Bassacrylrot GL na teplotě.

teplota /°C/	60	70	80	90	100	110
$\Delta E^\#$ /kJ · mol <sup>-1</sup> /	280,2	220,7	180,38	151,64	130,32	114,01

Porovnání tab. II s aktivacními energiami bárení PAN-vláken kationtovými barvivy (viz./4/) lze zjistit, že citlivost rychlosti sororce na teplotu je pro A-PES-vlákna výrazně nižší.

Uvedené výsledky kvalitatívne koroluji s hypotézou, že pod  $T_D$  probíhá difuze převážně v mikropřepoře, která je tepelně málo aktivována. Nad  $T_D$  probíhá difuze volnými objemy vzniklými kooperativními pohyby segmentů polymeru. Při teplotách dostatečně nad  $T_D$  již budou zřejmě lokální volné objemy vznikat tak často, že aktivacní energie difuze bude nízká (a mělo teplotně citlivé).

/1/ Kryštufek J., Miličký J.: J.Soc Dyer. Col. 26, 117 (1980)  
/2/ Miličký J.: Regresní postupy pro počítače řady HP, skripta DT Osprava, březec 1982

/3/ Kryštufek J., Miličký J.: Textil 37, 55 (1982)

/4/ Rosenbaum S.: J.Polymer Sci. A3, 1949 (1965)

Příspěvek ke kinetice barvení A-PES vláken kationtovými barvivy

(Mezinárodní konference textilních chemiků, Žilina 1986)

V práci se sleduje vliv počáteční koncentrace barviva  $C_L$  na rychlostní parametr sorfce. Zdánlivé difuzní koeficienty  $\bar{D}_A$  byly pro různá  $C_L$  a různé koncentrace přenašeče  $C_P$  určeny z modifikovaného Sandova modelu

$$C_t = 2 A_\infty \cdot S \cdot \sqrt{\bar{D}_A \cdot t/\pi} + C_0 ,$$

kde parametr  $C_0$  charakterizuje rychlou počáteční adsorpci na povrch vláken.

Závislost  $\bar{D}_A$  na  $C_L$  (při konst.  $C_P$ ) lze popsat jednoduchým hyperbolickým modelem typu:

$$\bar{D}_A = \bar{D}_\infty \cdot C_L / (C_L + K \cdot \bar{D}_\infty) ,$$

kde  $\bar{D}_\infty$  je max. rychlosť difuze (při obsazení všech vazných skupin na povrchu vlákna) a  $K^{-1}$  je míra citlivosti rychlosti barvení na koncentraci barviva v lázni.

Je zřejmé, že zvyšování koncentrace přenašeče způsobuje výrazný vzrůst  $K^{-1}$ .

1. Úvod

Základní výhodu ionontově modifikovaných (A-PES) vláken je jejich barvitelnost kationtovými barvivy. Pokud se kromě komonomeru obsahuje i aniontovou skupinu (abysejné  $\text{SO}_3^-$ ) použijí komonomery rozvolňující také strukturu, je možné dosáhnout středních vybarvení i při teplotách pod  $100^\circ\text{C}$ . To umožňuje přípravu vysoké sráživých vláken, které lze barvit ve vložce při částečném zachování srážecích schopností. Komplexně je o vlastnostech a použití této skupiny vláken pojednáno v práci /1/. V práci /2/ bylo pro popis kinetiky barvení vysoké sráživých A-PES vláken použito modelifikovaného Cegarra-Puertova modelu. Bylo ověřeno, že pod přechodovou teplotou barvení  $T_d \approx 59^\circ\text{C}$  probíhá difuze převážně v mikroporech (aktivní energie barvení je nízká a prakticky nezávislá na teplotě). V oblastech nad  $T_d$  se mechanismus barvení řídí volnoběhemovou teorií. Vysoká hodnota aktivační entropie svědčí o nutnosti kooperativního pohybu více polymerních segmentů pro tvorbu volného objemu dosažené velikosti. Aktivační energie barvení je v této oblasti (v souladu s W-L-F teorii) klesající funkci teploty /3/.

Účelem této práce je sledovat vliv počáteční koncentrace barviva  $C_p$  ( $\text{mg} \cdot \text{g}^{-1}$ ) na rychlosťní parametr sorpcie v izotermních podmínkách v přítomnosti přenašeče.

2. Experimentální

Pro experimentální bylo použito A-PES vlátko jemnosti 4,4 dtex (modifikované komponenty kyselina izofálová a sodná sůl kyseliny 5-sulfatoizotálové, celkový obsah 9,75 mol %). Povrchová plocha (za předpolku kruhového průřezu) tohoto vlákna je  $A_w = 1485,12 \text{ cm}^2 \cdot \text{g}^{-1}$ . Charakteristiky vláken jsou uvedeny v /1/. Pro barvení bylo použito barvivo Basa-

cryl Rot GL (C.I. Basic Red 29). Z obsahu síry ve vlákně byla pro toto barvivo určena maximální koncentrace vazných míst  $S = 44,94 \text{ mg} \cdot \text{g}^{-1}$ .

Barvení bylo reažováno při pH 4,85 a teplotě  $50^\circ\text{C}$  v časech  $t = 2, 4, 9, 16, 25$  a 36 minut pro násadní koncentrace  $C_L = 0,003; 0,01; 0,03; 0,06; 0,1; 0,3 \pm 5\%$  z hmotnosti materiálu. Byly voleny přídatky  $C_p = 0,3 \text{ g} \cdot \text{l}^{-1}$  a  $C_p = 1 \text{ g} \cdot \text{l}^{-1}$  přenašeče Spolapren X. Průměrná koncentrace barviva ve vlákně v časech t (pro jednotlivé kombinace  $C_L$  a  $C_p$ ) byly určeny rentometricky (detailey viz /1/).

3. Výsledky a diskuse

Z jednotlivých kinetických krivek (pro dané  $C_L$  a  $C_p$ ) byly na základě modifikovaného Sandova modelu (viz /4/) určeny zdánlivé difuzní koeficienty  $\overline{D}_A$  (diskuse k jejich interpretaci je uvedena v práci /4/). Parametr  $C_0$  zde charakterizuje rychlou počáteční adsorpci barviva na povrch vláken. Hodnota tohoto parametru se (až na  $C_L = 0,003$ ) měnila s násadní srážostí  $C_L$  a přidavkem přenašeče  $C_p$  pouze nevýrazně (vycházel  $C_0 \approx 0,09 \text{ mg} \cdot \text{g}^{-1}$ ). Hodnoty zdánlivých difuzních koeficientů  $\overline{D}_A$  jsou uvedeny v tab. I.

Tabulka I.: Zdánlivé difuzní koeficienty  $\overline{D}_A \cdot 10^{15} \text{ cm}^2 \cdot \text{min}^{-1}$  pro různé násadní koncentrace  $C_L$  a přidavky přenašeče  $C_p$

$C_L$	$C_p$	0,003	0,01	0,03	0,06	0,1	0,3	5
0,3	0,164	14,02	142,3	209,34	204,62	203,14	262,76	
1	2,106	465,98	832,18	1323,5	1589,4	1649,3	1629	

Podobně jako u barvení akrylových vláken kationtovými barvivy, lze i v tomto případě závislost  $\overline{D}_A$  na  $C_L$  (při konst.  $C_p$ ) popsat jednoduchým hyperbolickým modelem typu (viz /4/)

$$\overline{D}_A = \overline{D}_{\infty} \cdot \frac{C_0}{C_0 + (C_L + K \cdot \overline{D}_{\infty})} \quad (2)$$

Zde  $\overline{D}_{\infty}$  ( $\text{cm}^2 \cdot \text{min}^{-1}$ ) je maximální rychlosť difuze (při obesení všech vazných skupin na povrchu vlákna) a  $K$ -

$\text{cm}^2 \cdot \text{min}^{-1}$  je míra citlivosti rychlosti barvení na koncentraci barviva v lázni (K je reciproká hodnota derivace  $\frac{\partial \bar{D}_A}{\partial C_p}$  pro  $C_p \rightarrow 0$ ).

V tabulce II jsou pro data z tab. I uvedeny hodnoty parametrů  $\bar{D}_{\infty}$  a K určené neilineární regresí z rov. (2).

**Tabuľka II.** Parametre rov. (2) pro rôzne pridavky prenosu-  
čie  $C_p$

$C_p \text{ g} \cdot \text{l}^{-1}$	0,3	1
$\bar{D}_{\infty} \cdot 10^{15} \text{ cm}^2 \cdot \text{min}^{-1}$	259,2	1773
$K \cdot 10^{11} \text{ cm}^2 \cdot \text{min}^{-1}$	0,836	6,84

Z tab. II. je patrné, že rôst koncentrace prenosu-čie silná zvyšuje maximálnu rychlosť difuze  $\bar{D}_{\infty}$ .

Približne konstantnú rychlosť barvení se dosahuje pri  $C_L = 0,1 \text{ \% z hm. materiálu}$  (pro  $C_p = 0,3 \text{ g} \cdot \text{l}^{-1}$ ) resp. pri  $C_L = 0,3 \text{ z hm. materiálu}$  (pro  $C_p = 1 \text{ g} \cdot \text{l}^{-1}$ ). To ukazuje na zvyšení počtu pristupných vzácných miest na povrchu vláken zpôsobených rôstem koncentrace prenosu-čie výzrenou rozvolnenou struktúrou.

Hodnota  $K^{-1}$  pômo ukazuje na rychlosť zmény  $\bar{D}_A$  pro  $C_L \rightarrow 0$ . Je zrejmé, že rôst koncentrace prenosu-čie zpôsobuje výrazný vzras  $K^{-1}$ . Také zde zrejme hraje základnú roli rozvolnená struktúra spjatá se zvyšením bárviteľnosti, ktoré umožňuje bezprostrednejšiu využitie koncentračného gra-dientu ako složky fidičného mechanizmu difuze.

Ziskané výsledky kvalitatívne souhlasia s poznatky o kinetice barvení akrylových vláken kationovým bárvivom /5/. Detailní zhodnocení zjištěných závěrů pro barvení při zachování srážecích schopností je uvedeno v práci /1/.

#### 4. Záver

Byla sledovaná závislosť rychlosti barvení vysocesráživých A-PES vláken na náradní koncentraci bárviva v lázni  $C_L$  a pridavku prenosu-čie  $C_p$  pri teplotě 50 °C. Bylo zjistěno, že závislosť zdánlivého difuznitého koeficientu  $\bar{D}_A$  na  $C_L$  je hyperbolického typu. Jak maximální difuzný koeficient  $\bar{D}_A$ , tak i koeficient citlivosti  $K^{-1}$  rostou s rôstem pridavku prenašaceho.

#### Literatura:

- /1/ Kryštufek J. : Zajímavosti SVÚT, č. 4, 55 (1984)
- /2/ Kryštufek J., Miličký J. : Sborník přednášek z XII. Mezinárodního koloristického kongresu, Toruň, září 1981
- /3/ Miličký J., Kryštufek J. : Sborník přednášek z mezinárodní konference FIBRICHENM '83, Bratislava, červen 1983
- /4/ Kryštufek J., Miličký J. : Barvení akrylových vláken a směsi, SNILS, Praha 1987 (v tisku)
- /5/ Meyer V. a kol. : Melland Textilber. 47, 653, 772 (1966)

Optimalisacija procesa krašenija usadočnych A-poliefir-  
ných volokon  
(XV. Interkolor, Bucuresti 1987)

Návazně na předchozí příspěvky bylo ověřeno podložení teplotní závislosti parametrů ( $P$ )  $K$  a  $C_t$  pomocí arrheniovské závislosti

$$P = P_\infty \exp\left[-\frac{E_p}{R(T+273,15)}\right]$$

kde  $E_p$  je parametr související s aktivační energií barvení.

Byl nalezen poměrně přesný model typu  $C_t = f(T)$  který je blíže popsán v článku.

Pro popsání kinetiky ztrát srážecích schopností vláken  $S = f_1(t, T)$  bylo použito metody vycházející z principů analýzy rozptylu. Bylo zjištěno, že platí aditivita efektů a jednotlivé efekty jsou jednoduchými funkcemi času a teploty. Výsledný model má tvar

$$S = 44,125 - 0,373 T - 1,885 \ln(T)$$

a popisuje experimentální data s průměrnou relativní chybou kolem 2 %.

Sráživost nesmí během barvení poklesnout pod určité  $S_{min}$ . (obyčejně 17 - 19 %). Vzhledem k tomu, že jsou známy analytické modely  $C_t = f(t, T)$  a  $S = f_1(t, T)$ , je možno formálně řešit technologické úkoly jako: při definované teplotě  $T$  nalézt nejkratší dobu barvení  $t$ ; nalézt teplotu  $T$  a co nejkratší dobu barvení  $t$ , která zajistí požadovanou hodnotu  $C_t$ ; nalézt teplotu  $T$  a dobu  $t$ , při které bude zajištěno docílení koncentrace  $C_t$  a co nejvyšší  $S$  (t.j. nejšetrnější způsob barvení).

текает диффузия газовыми образами в микротрешинках, микропорах и в маленьком числе локальных, свободных объемов (энергия актива-  
ции никак и практически не отвисит от температуры). В области  
выше  $T_d$  механизм крашения управляет сегментальной подвижности-  
стью полимерных цепей (свободно-объемная теория диффузии). В согласии  
с  $W-L-f$  теорией есть в этой области энергия активации понижается  
с функцией температуры.

Для практической цели является подходящей для описания  
кинетики крашения А-полиэфирных волокон модифицированной моделью  
**Sand** (волокон о извлечении корня начальной адсорбции) /4/.  
В работе /5/ наблюдалось влияние на первоначальный концентрацию с  
же массы материала в интервале 0,003 - 5% из массы материала на  
величину коэффициента диффузии в двух уровняй концентрации пере-  
носчика  $C_p$  в ванне. Вышло, что эту зависимость можно высказать  
простой гиперболической моделью (смотри /4/). На основе более под-  
робного анализа было установлено, что с первоначальной концентрацией  
кинетики крашения было установлено, что с первоначальной концентрацией  
кинетики крашения уже практике константна (не отвисает от  $C$ ). Также насыщенность оконча-  
тельный окраски уже в этой области не отвисает от  $C_L = 1 /L^2$ .  
Анализом кинетических кривых в случае разных партий переносчика  
**Spolargen X** (смесь нефталин, дифенил, ксилен) была определена как деб-  
ствувшая партия  $C_R = 1 \text{ м.л.}^{-1}$ .

В этой работе другим модели, которые высказывают зависимость  
концентрации красителя в волокне  $C_t = f(t, T)$  от температуры и време-  
ни, респ. зависимости остаточной усадки после крашения  $S = f_1$   
( $t, T$ ) от температуры и времени. Показано, как использовать эти  
модели для поиска оптимальных условий крашения ( $C_L \approx 0,3 \text{ м}$   
 $C_R = 1$ ).

## 2. Экспериментальная часть

Для экспериментов мы использовали отечественное высоком-  
ударочное А-полиэфирное волокно **Tessil S** содержащее 9% малой шао-  
фталевой кислоты и 1,5 моль % натриевой соли кислоты 5-сульфофено-  
фталовой. Тонкость волокна 3,6 дтекс и поверхность площадь  
 $A_w = 1485,12 \text{ см}^2 \cdot \text{г}^{-1}$ . Подробности о состоянии волокон приведены  
в работе /1/.

Крашение мы сделяли с катионным красителем **Basseguyrolt 6L**  
(**C.I. Basic Red 29**). Из содержания серы в волокне было для этого

### Оптимизация процесса крашения усадочных А-полиэфирных волокон

Дипл. инж. Игоржи Милитки, КрчН.  
НИИТО, Двор Кралеве Н.Л.  
Игоржи Крштупек, АМДА, ЧЧСР.  
Гният, Либерец, ЧССР

#### 1. Введение

Одной из основных выгод анионно модифицированных поли-  
эфирных (А-полиэфир) волокон является их окршиваемость катионны-  
ми красителями. Пока, за исключением кононера содержащего ани-  
онную группу (обыкновенно -  $SO_3Na$ ) используется тоже катионные ко-  
мандеры, которые расщепляют структуру волокон, возможно достичь  
светлых и средне насыщенных окрасок и у температур ниже  $70^\circ\text{C}$ .  
Кроме того еще возможно приготовить высокосудочные волокна, ко-  
торые можно красить в массе (перед повышением объемности) притом  
не приходит к потере их способности повышения объемности. Окон-  
чательная окраска является хотя колыцевой, но у следующего терми-  
ческого повышения объемности (после прайдинга с волокнами беваса-  
доными) приходит к дальнейшему, глубочайшему прокрашиванию, в ко-  
торого потом достаточные стойкости. Для повышения окрашиваемости  
возможно тоже использовать удобно изобранные переносчики. Этот ин-  
тересный по технологии способ крашения требует селекции таких усло-  
вий, которые приводят к максимальной окраске у соблюдения усадочных  
способностей. Поэтому мы сделали обширное изучение намерено на  
одной стороне на колористическое поведение, и на другой стороне на  
поведение высокосудочных А-полиэфирных волокон /1/. В работе /2/  
было для описания кинетики крашения этих волокон (с 20 до  $90^\circ\text{C}$ )  
применено модифицированной модели **Soggetto - Ruente**. Вышло уста-  
новлено, что ниже переходной температуры крашения  $T_d \approx 60^\circ\text{C}$  про-

Красителя определена максимальная концентрация связующих мест  $S_u = 44,94 \text{ мг} \cdot \text{г}^{-1} / 3\%$ . Мы реализовали серию изотермных крашений при  $\rho H = 4,85$ ; приданы переносника спиропол Х СР = 1 г.л.<sup>-1</sup>, начальной концентрации С<sub>0</sub> 5% из массы материала и при модуле ванни 1:70 (результаты отличаются только невыразительно при использовании  $C_u \sim 0,3\%$ ). Был набран интервал концентрации красителя в волокне в временных 4, 9, 16, 25, 36 и 64 мин. при помощи специальной рентгено-метрической техники (смогти /1/).

Для оценки усадочности волокон после крашения мычислали их усадку  $S / \%$  после 10-ти минутного кипения в воде. Была определена величина S для волокон окрашенных изотермически в интервале температур с 45°C до 60°C (по 5°C) до времен 9, 16, 25, 36 и 100 мин.

Подробности о реализации экспериментов можно найти в работе /1/ включая исходные табличные данные.

### 3. Моделирование кинетики крашения

Для высказывания кинетики изотермического крашения мыиспользовали простую модифицированную модель, запад в форме

$$C_t = K \cdot t^{\alpha} + C_0 \quad (1)$$

где  $C_0$  — начальная концентрация и K скоростная константа находящаяся в связи с интегральным коэффициентом диффузии  $D_A$  простым отношением

$$D_A = \left( \frac{K}{2A_w S_w} \right)^2 \cdot \tau \quad (2)$$

При помощи модели (1) были описаны все изотермические кинетические вытаянные кривые с ошибкой меньшей чем 5%.

Константы K и  $C_0$  нарастают выразительно с температурой. Для выскавания этой зависимости мы выбрали простую модель типа Arrhenius

$$P = P_0 \cdot \exp \left[ - \frac{E_p}{R(T + 273,15)} \right] \quad (3)$$

где P, Е<sub>p</sub> параметры, R универсальная газовая постоянная и T температура /°С/. (Символ Р обозначает или K или С<sub>0</sub>). При помощи модели (3) были с результатами ошибкой меньшей чем 5% описаны зависимости K и С<sub>0</sub> от температуры Т.

У окончательной кинетической модели типа С = f(t, T) конкретная форма имеет вид

$$C = 254 \cdot 10^{10} \exp \left[ \frac{-8687.8}{T + 273.15} \right] \left[ \frac{1}{t} + 4.4 \cdot 10^{-9} \exp \left[ -\frac{8465}{T + 273.15} \right] \right] \quad (4)$$

Эта модель предсказывает слишком точно концентрации красителя в волокне С<sub>t</sub> у избранных времен t /мин/ и температура Т /°С/, именно в высших временах (практически интересных). Это видно из табл. 1

Таблица I : Сравнение экспериментальных С<sub>t</sub> и С<sub>t</sub> из ур. (4)

T / °C /	40	50	60	70
t / мин /	36	64	36	64
C <sub>t</sub> экспер.	0,22	0,24	0,4	0,5
С <sub>t</sub> ур. (4) Мг.·г <sup>-1</sup>	0,18	0,23	0,42	0,52
С <sub>t</sub> ур. (4) Мг.·г <sup>-1</sup>	0,93	1,18	1,37	2,

для предсказаний в интервале t ∈ {4, 64 (100) мин} и Т ∈ {40 – 70°Ур. (4) хорошо, Ур. (4) хуже.

### 4. Моделирование кинетики потерь усадочных способностей волокна

- На основе вышесказанной усадочности волокон после крашения  $S / \%$  в зависимости от времени и температуры было определено, что
  - пока в системе не находится переносчик, устанавливается в очень коротких временных разновесиях усадка в красильной ванне, так что величина S является практически константой,
  - пока в системе находится переносчик, потом потеря усадочности после крашения повышается с временем крашения ( $S$  – это усадка волокна окрашенного материала ( $S$  – это падающая функция температуры крашения Т)).
- У температур выше 65°C величина S понижается и в случае отсутствия переносчика ниже 13%, что уже технологически непосильно. Для моделирования зависимости  $S = f_1(t, T)$  мыиспользовали простую техническую, которая исходит из принципов анализа рассеяния, который состоит из двух фаз /6/:
  - а) определения стальных  $\alpha'_1$  и столовых  $\beta'_1$  эффектов и общего среднего  $\mu'_1$ , как это обыкновенно у анализов рассеяния,
  - б) идентификации аддитивами респ. потребности введения взаимодействия из графика остатка против  $\mu'_1 / \beta'_1 / \mu'_1$ ,
  - в) проведения случайной степенной трансформации данных с целью уменьшить аддитивность (параметр трансформации определен как 1 – ко-

Функционирующими для выкращивания эфектом для переменных  $x_1$  и  $x_2$  для переменных  $x_1$ .

Приведенный процесс является очень простым и позволяет в всех фазах графического измерения качества используемых аппроксимаций решений моделей.

Для случая зависимости  $S = f_1(t, T)$  вышло, что платит аддитивность эффектов и отдельные эффекты являются простыми функциями времени расп. температуры. Форма реаультирующей модели потом

$$S = 4f_{25} - 0,33 \cdot T - 1,85 \cdot C_T \quad (5)$$

Эта модель описывает экспериментальные данные с средней релативной ошибкой 2%. Она подходит хорошо для предсказания усадки окрашенного волокна в зависимости от температуры крашения  $T \in (45-60^\circ\text{C})$  и времени крашения  $t \in (9-100 \text{ мин})$ .

### 5. Определение оптимальных условий крашения

Вообще концентрация красителя в волокне  $C_t$  является функцией  $t, T, C_L, C_T$  усадочность окрашенного материала является функцией  $t, T, C_T$ . Здесь, на основе предварительного анализа, мы избрали  $C_t \approx 0,3\%$  из массы материала и  $C_T = 1 \text{ g.l}^{-1}$  так, чтобы они были постоянными. Установка оптимальных условий всегда выходит из ограничения, что не возможно, чтобы усадка понизилась ниже величины  $S_{\min}$  (обыкновенно 17 - 19%). По возможности технологии по- том нам можно определить эти задания:

- у определенной температуре  $T$  найти самое краткое время крашения  $t$ , которое обеспечит требуемую концентрацию красителя в волокне  $C_T$  (интенсивность окраски),
- найти температуру  $T$  и время крашения  $t$  (самое низкое), которые обеспечивают требуемую величину  $C_T$ ,
- найти температуру  $T$  и время крашения  $t$ , у которых будет обеспечено достижение величины  $C_T$  и при этом будет  $S$  самое высокое (самый бережный способ крашения).

В виду того, что аналитические модели  $C_T = f(t, T)$  и  $S = f_1(t, T)$  возможно эти задания формально решить с использованием техники мультиплексаторов **Lagrange**. В виду сепарабельности обеих моделей для переменную  $T$  можно легко использовать прямо обобщенную модель

$$C_T = f(t, f_1(S, t)) \quad (6)$$

где  $T = f_1(S, t)$ , можно легко определить из ур. (5). Потом можно для заданных  $S$  и  $C_T$  определить оптимальное время крашения при помощи методов поиска корня нелинейного управления. Нужно привести что при решении заданий  $A, B$  может неудачный выбор  $S_{\min}$  возможен препятствовать открытию решения (э.в. в никаком времени не возникнет достичь интенсивности окраски  $C_T$ ). Поэтому является более выгодно использовать ур. (6), где после открытия оптимального  $t$  из ур. определяется отвечающее  $T = f_1(S, t)$ . Подробности о разных способах поиска оптимальных условий и для переменных первичных концентраций  $C_L$  и концентрации переносника  $C_T$  приведены в работе (

### 6. Заключение

Мы нашли несложные модели для описания кинетики крашения усадочных А-полиэтиленовых волокон и кинетики потери их усадочных способностей. Мы показали и как пользоваться этими моделями при поиске оптимальных условий крашения этих волокон при соблюдении требуемого уровня их усадки у следующего повышения объемности. В отличие от классических методов, которые используют из техники планирования экспериментов, в случае конструкции моделей использовано простых физических понятий. У отнесений, которые во многих потом хорошие предсказательские свойства частично и мимо объема экспериментов.

### Список литературы:

- 1/ Kryštufek J.: Zajímavosti svět, č. 4, 55 /1984/
- 2/ Miličík J., Kryštufek J.: Sborník přednášek z XII. mezinárodního koloristického kongresu INTERKOLOR '81, Teplice, září 1981
- 3/ Miličík J., Kryštufek J.: Sborník přednášek z mezinárodní konference FIBRÍČEM '83, Bratislava, červen 1983
- 4/ Kryštufek J., Miličík J.: Barvení akrylových vláken a směsi, SNTL Praha 1986
- 5/ Miličík J., Kryštufek J.: Sborník přednášek z mezinárodní konference textilních chemiků, Žilina, červen 1986
- 6/ Miličík J.: Tvorba matematických modelů IV., skripta pro kurz DT Ostrava 1987
- 7/ Miličík J., Kryštufek J.: Práce podgotovitelská k opublikovaní

Přenašeče - staronová problematika v bar-  
vířství polyesterových vláken  
Textil 37, 175 (1982)

Jde o přehledný článek určený pro nejširší koloristickou veřejnost. Vychází z široce založené kriticky pojaté literární rešerše a z vlastních experimentálních poznatků. Zahrnuje i řadu výsledků obsažených v předchozích příspěvích.

Tabulka VII — Skací stroj SAD Jantra — vliv změny otáček a odtahové rychlosti na rozptyl napínací sily F

Otáčky vřeten. min <sup>-1</sup>	Odtahová rychlosť [m. min <sup>-1</sup> ]	Rozptyl napínací sily [cN]	Rozdíl [cN]
—8100	21	144—166	22
—9750	26	160—230	70

Tabulka VIII — Skací stroj VTS — 07 Elitex — vliv změny otáček a odtahové rychlosti na rozptyl napínací sily

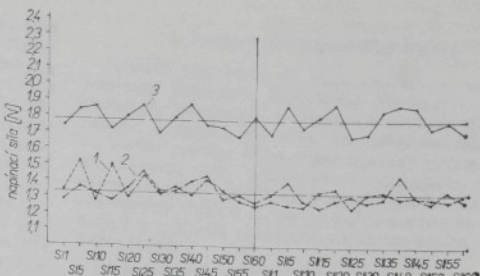
Otáčky vřeten. min <sup>-1</sup>	Odtahová rychlosť [m. min <sup>-1</sup> ]	Rozptyl napínací sily [cN]	Rozdíl [cN]
—8000	21	124—152	28
—9500	25	168—188	20

### 3. Závěr

Předložená studie zahrnuje dříve získané poznatky z ověřování dvouzákrutových skacích strojů ve VÚB a novější poznatky získané v provozech n. p. Benar a n. p., Velvetu, které se týkají:

— Ověření zákrutových řad přízí BD a prstencových v materiálech bavlna AI mykaná, MII česaná, 100% VVS, 100% PEŠS, směsi PEŠS/ba, PEŠS/VSS; na základě komplexních laboratorních zkoušek ve VÚB mohly být stanoveny např. závislosti pevnosti skaných přízí na zjištěných zákrutech, dosažené relativní zpevnění přízí skaném ve vztahu k jednoduchým přízím, určení jejich optimálních zákrutů, posouzení nestejnomořnosti v zákrutu z hlediska součinitele zákruty  $a_m$ , zjištění procenta seskání přízí, jakostní zařazení podle norem atd.

— Použitých otáček vřeten na strojích SAD Jantra s ohledem na dobrou zpracovatelnost přízí a posouzení úrovně dosahovaných otáček s otáčkami uvedenými v prospektu výrobce. Přinosem pro naše podniky jsou zjištěné optimální otáčky vřeten a možné využití odtahových rychlostí přízí.



i s opačnými názory. V souvislosti s nedostatkem energie a růstem jejich cen se objevuje při tlakovaném barvení výrazněji než dříve snaha po účelném snižování barvicích teplot a zkracování barvicích cyklů, anž přitom utrpí úroveň egálnosti vybarvení a probarvenosti vláken. Přenašeče zde představují účinnou rezervu, neboť jde již o mnohonásobně ověřenou formu **nahravání energie tepelné energii chemickou**.\* V poslední době význam vlastních — původních přenašečů u VT barvení poněkud zatlačují speciální novodobé egalizační přípravky — tzv. urychlovače. Od přenašečů se liší tím, že působí především solubilitačně — zvyšují koncentraci rozpuštěné formy barviva; snižují poněkud rychlosť vytahování barviva v prvních fázích barvení [retardační efekt], a omezují tak rozsah počátečních neegálností, což je slabinou přenašečů [1, 2, 3]. To umožňuje podstatně **zrychlit členy** barvicího systému na nejvyšší teplotu. Ve srovnání s běžnými egalizačními a retardačními přípravky však urychlovače i mírně zvyšují difúzní koeficient barviva při teplotách nad 100 °C, čímž podporují barvování a migraci do určité míry obdobně jako „klasické“ přenašeče. Tím se zkracuje doba barvení při nejvyšší použití teplotě, popřípadě lze tu do teplotu snížit o 5 °C, výjimečně až o 10 °C. Uvolňování oligomerů z vláken je přitom údajně nižší než při přídavku přenašečů — vlákno nenabobtnává, jak to můžeme pozorovat u přenašečů.

Určitým nebezpečím při předávkování přípravků (u některých barviv i při běžných dávkách urychlovače) je nadmerné zadření barviva v lázni i na konci barvení. Ekonomické přínosy, plynoucí ze zkrajení procesu na úkor nedostatečného vytážení barviv z lázně, jsou v takových případech problematické.

Schönpflug [1], jako příklad egalizačního přípravku nového typu, uvádí neionogenní alifatickou sloučeninu ve směsi s anionaktivním a neionogenním emulgátorem (obchodní název Palegal SF, firma BASF). Zdá se však, že jako urychlovače se v praxi někdy označují i směsi egalizačních přípravků (popřípadě i dispergátorů) s mírnější přibobičními přenašeči, které rozvíjejí přenašečovou účinnost nad 100 °C. Sám Schönpflug dochází k hypotéze, že Palegal SF účinkuje zčásti i uvnitř vlákn, a podporuje tak migraci na úroveň, jíž se dosahuje přenašeči. (Jako symptom přenašečového efektu nutno uvažovat přechodné snížení teploty skeletního přechodu vlákna v důsledku plastifikačního efektu sloučeniny absorbované z lázně.) Další vývoj jistě přinese více poznatků a podrobnější diferenciaci.

Přenašeče zůstávají i nadále důležitou skupinou TPP pro VT barvení PES vláken, a proto bude účelné v následujících kapitolách utřít dosti nepřehledné teoretické i praktické poznatky a upozornit na nové souvislosti.

\* Přidávání organických sloučenin do barvicích lázní však nemusí být nevhodnější varianta z celospolečenského hlediska. Souhrnné posouzení by muselo vyčádat i z energetické a ekologické náročnosti při výrobě tétoho látek, zahrnout ekologickou problematiku při aplikaci atd. I přes dílčí účelnost přenašečů a dalších intenzifikáčních látek je nutno na jejich použití pohlížet stále jako na nepřijemný kompromis a hledat cesty pro zásadně energeticky úspornější uspořádání procesů. Polyesterová vláknina barvitelná za varu bez přenašeče a rychleji difundující disperzní barviva (např. paleta barviv Foron DR — Rapid dyeing) naznačuje slabou perspektivu.

## 2. Projevy přenašečového účinku

Pojmem přenašeče (z anglicky carrier — název je poplatný původním nepřesným představám o mechanismu působení) se označují aromatické sloučeniny, k jejichž přídavku do vodné barvici lázně ve formě emulze nebo suspenze, výjimečně roztoku, se empiricky přistupuje v případech, kdy je nutno **urychlit difuzu** disperzních barviv do polyesterových vláken. U barviv kationtových se uplatňuje i v případě aniontově modifikovaných PES a PAN vláken.

Přenašečovou aktivitu vykazuje značné množství nesubstituovaných a substituovaných aromatických sloučenin, jejichž molekula je menší než molekula disperzních barviv: homology benzenu, naftenu, difenyl a jejich hydroxy, alkyl, halogen-, alkoxy-, hydroxylalkyl derivativy, od nich odvozené karbonové kyseliny, estery těchto kyselin, étery atd. Patentová literatura obsahuje velmi pestrý souhrn přenašečové aktivity sloučenin. Pro běžný provoz jsou však pro řadu z nich stanoveny doplňující pozádavky, jak bude ukáznáno dálé, takže se počet osvědčených a dnes běžně používaných přenašečových substancí zůstává na malý počet základních typů.

Účinky přenašečů na soustavu PESv—disperzní barvivo—voda lze podle dnešního stavu poznání přehledně charakterizovat takto:

- přenašeče velmi výrazně ovlivňují kinetiku barvení — difúzní koeficienty barviv ve vlákně se vlivem přenašečů zvyšují až o dva řady [4], ovlivnění je výraznější u sytějších vybarvení [5]. Naproti tomu rovnovážné sorpcie (saturační hodnoty) ovlivňují přenašeče nepodstatně a v některých případech dokonce negativně (záleží na konkurenčních vztazích mezi strukturami použitého přenašeče, barviva a vlákna [4, 6]);
- účinnost přenašečů se značně mění u jednotlivých barviv v závislosti na jejich struktuře;
- přenašeče jsou podstatně rozpustnější v PES vlákně než ve vodné barvici lázni. Rozdělovací koeficient barviva v soustavě PES/H<sub>2</sub>O se pohybuje u nejúčinějších přenašečů v rozmezí 50 až 600 [5, 7, 8 ad]. V praxi však rozdělovací koeficienty poněkud snižuje použitý emulgátor — v závislosti na typu a množství [9];
- přenašeče dobré rozpouštějí disperzní barviva, mnohonásobně lépe než voda, takže určitá část barviva přechází do mikrokápěnek emulgovaného přenašeče.

Existují však pochybnosti o tom, zda rozpustnost barviva v přenašeči je nezbytnou podmírkou pro přenašečový efekt. U kationtových barviv na aniontově modifikovaných PES vláknach\*†) přenašeče také např. podstatně urychluje difuzu, přestože rozpustnost barviv v přenašeči je podstatně menší než v případě barviv disperzních.

I nepatrny podíl přenašeče, který je ve vodě rozpustěn na pravý roztok, vykazuje poměrně výrazné (nepříznivé) účinky: zvyšuje rozpustnost barviva ve vodné fázi, ovlivňuje agregaci, rekristalizaci barviv apod.

Přenašeč zřejmě značně komplikuje jak vlastní disperzní soustavu (uvažme navíc i přítomnost emulgátoru a popřípadě pomocného rozpouštědla), tak i průběh dílčích sorpcních pochodu, které dosud nejsou experimentálně podrobněji prozkoumány.

\* Pro barvení aniontově modifikovaných PES vláken kationtovými barvivy se nehodí fenolické přenašeče — sráží se s barvivy.

– Účinek přenašeče v závislosti na jejich koncentraci v lázni prochází maximem [6, 10 ad.], které se považuje za odpovídající dosažení saturační hodnoty přenašeče za daných podmínek ve vlákně. Další zvyšování dávky přenašeče se nutně projeví jeho hromaděním v lázni, čímž se postupně i více zadržuje barvivo v lázni, aniž se prohlubuje odstín vybarvení. U difenylu, o-fenylfenolu a metylsalicylátu se tyto saturační hodnoty pohybují v rozmezí 70–90 mg. g<sup>-1</sup> [11, 12]. Roberts a Solanski [13] uvádějí tyto saturační hodnoty při 97 °C (jen nepatrně se mění s teplotou v oblasti 85–97 °C) takto:

	mol. kg <sup>-1</sup>	mg. g <sup>-1</sup>
o-dichlorbenzen	0,43	63,2
1,2,4-trichlorbenzen	0,49	88,9
l-metylnaftalen	0,43	61,1
n-butylbenzoát	0,19	33,8

– Odstranění přenašeče z vláken, např. extrakcí [po předúpravě v lázni přenašeče], ovlivňuje jen nepodstatně [6, 13, 14] nebo vůbec ne [15] difuzi barviv.

– Účinem přenašeče se mírně zvyšuje krystallinita vlákna [6, 10, 16], orientace zejména u nekrystalického podílu se silně snížuje.

– Příznivou souvislost mezi bobtnáním vlákna, které ale probíhá u každého přenašeče jinak, a zvýšením rychlosti difuze barviv se nepodařilo prokázat [8, 17]. **Vystražení** PES vlákna přímo souvisí s koncentrací přenašeče absorbovaného vláknem [12], i když jsou zde značně rozdíly mezi jednotlivými typy přenašečů. Přenašečům způsobujícím nadmernou sráživost je třeba se výhýbat při barvení textilní v tvarovaných přízích, při barvení v nábalu, křížem soukaných cívek apod.

– Mechanismus sorpce přenašečů na vlátku se předpokládá obdobný jako u disperzních barviv [18, 19], tj. dochází k vzájemnému vysycování volných energií molekul přenašeče a makromolekul polymeru [8]. Při interakcích PESv—přenašeč hrají zejména důležitou roli nepolární síly [17, 20]. Difuze přenašečů do vlákna je ve srovnání s disperzními barvivy podstatně rychlejší v důsledku jejich menších molekul [7, 19].

### 3. Teoretická podstata účinku

Zkománi účinku přenašečů vedlo k řadě teoretických představ, z nichž byla většina vyvrácena a některé upřesněny. Podle posledních prací jde zejména především o plastifikační účinek na vlákná [19, 21–28], i když nejsou dosud zcela vyloučeny ani jiné mechanismy.\* Prokázalo se, že přenašeče snížují pod skelného přechodu  $T_g$ , popřípadě přechodové teploty barvení  $T_a$  [27].

Teoretické práce o přenašečích dnes vycházejí z tzv. modelu difuze volnými objemy, používaného ve fyzice polymerů. Na rozdíl od starší představy o difuzi barviv v pôrech vlákna, která dobré vyhovuje u vláken nativních (aktivním činitelem je

částice barviva), je podle „volnoobjemového“ modelu podstatou difuzního toku vibrací pohyb makromolekulárních úseků — segmentů —, ke kterému dochází při teplotách vyšší než  $T_g$  daného polymeru.

Podle volnoobjemové teorie má difuze barviv syntetickými vláknky stejnou podstatu jako viskoelasticke vlastnosti polymerů. Částice barviva se může pohybovat do nitra vlákna pouze tehdy, jestliže se při kmitech segmentů sousedících polymerných řetězců počnou vytvářet prostory [volný objem] pravé takové velikosti, aby obsahly částice barviva i protější segment současně. Teplota, při níž se toho dosáhne, se nazývá **prechodová teplota barvení**  $T_d$ , která zhruba odpovídá teplotě skelného přechodu  $T_g$ , ale není tak exaktní hodnotou jako  $T_g$ , určená z teplotní závislosti viskoelastických vlastností; zde záleží na velikosti molekuly barviva a poněkud i na podmínkách barvení. Od teploty  $T_d$  se rychlosť difuze barviva do vlákna s teplotou exponenciálně zvyšuje [27].

Účinek přenašeče lze z toho hlediska chápát jako vytváření „přidavných“ volných objemů v polymeru vlivem rozpuštědla. Snížení  $T_g$ , popř.  $T_a$  vlivem přenašeče lze z hlediska změny difuzního koeficientu barviva, považovat za **ekvivalentní určitumu zvýšení teploty barvení** [22].

Schuler experimentálně prokázal, že samotná voda významně doplňuje plastifikační účinek přenašeče [28], což odpovídá známé skutečnosti, že  $T_g$  vlákna ve vodě je obvykle o 10–20 °C nižší než  $T_g$  zasucha.

Rada autorů se přidržuje původního názoru Schulerova [28], že ekvimolární koncentrace různých přenašečů absorbovaných ve vlákně urychluje barvení a snižuje do stejné míry  $T_g$  nezávisle na druhu molekuly [8, 13, 30, 31]. Schreiner [9] však podrobňe dokládá rozhodující vliv struktury přenašeče i při stejném obsahu ve vlákně. Účinnost přenašeče se může podstatně snížit nadmernou afinitou k polymeru a určitým prostorovým uspořádáním.

Konkrétně lze konstatovat, že přítomnost -OH skupiny na aromatickém jádru vede ke zhoršení přenašečové účinnosti; výjimkou jsou molekuly, ve kterých se mohou vytvářet intramolekulární vodíkové můstky a nebo, kde je tvorba H-můstků s vláknem prostorově omezena apod. (např. o-chlorfenol); dále o-fenylfenol je výrazněm přenašečem než m- nebo p-isomery. Kyselina p-hydroxybenzoová je dokonce „negativním“ přenašečem, tj. retarduje barvení, na rozdíl od přenašeče aktivně orto-isomeru, tj. kyseliny salicylové [29]. Negativním přenašečem je i řada hydroxy- a dihydroxyderivátů naftalenu aj.].

Senner a spol. [13, 15 ad.] pokládají pro přenašečovou aktivitu v této souvislosti za rozhodující **snadnost vytěsnování primárně absorbovaného přenašeče následně difundujícím barvivem**. Nelze opomenout ani možný vliv příliš silné interakce mezi barvivem a přenašečem, ať již ve vlákně, nebo v lázni, popř. v obou těchto fázích současně.

K názornému posouzení těchto zákonitostí je účelné přihlédnout k výsledkům Schreinera a jeho vlastní velmi přehledné grafické interpretaci ve schématech na obr. 1 a 2 [9, 32]. U naftalénové řady (obr. 1) Schreiner prokázal, že všechny sledované sloučeniny jsou za daných podmínek absorbovány do přibližně stejného stupně (ekvimolárně), a přesto je přenašečová účinnost  $\alpha$ -naftolu výrazně nižší než u metoxy- nebo etoxyderivátu nebo i původního naftalenu. Teprvé s prodlužováním alfa-tického řetězce se přenašečová účinnost postupně snížuje.

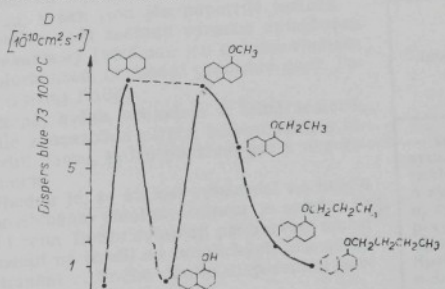
Prozatím chybí dostatek podkladů pro jednoznačné vyšetření „brzdicího“ vlivu delších alkylů v molekulách přenašečů; lze jen předpokládat, že s narůstáním roz-

\* ) Z toho plyne, že účinná je jedině složka přenašeče absorbovaná na vlátku. Zbytek zůstávající na konci barvení v lázni (za praktických podmínek 30–50 % i více z celkového množství) je tedy nevyhnutelný balast, který komplikuje ekologickou situaci i koloidní poměry v lázni. To jenom podtrhuje potřebnost účelnějšího řešení.

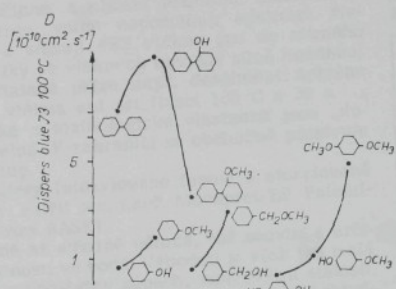
měrnosti molekul se omezuje plastifikační efekt, nebo se větší molekuly projevují jako prostorové překážky pro difuzi barviv, popřípadě se oba tyto efekty doplňují.

V případě o-fenylenolu se přítomnou -OH skupinou přenašečová účinnost dokonce poněkud zvyšuje ve srovnání s difenylem (obr. 2), metylace -OH skupiny se již projevuje negativně.

Hydroxylové a zejména karboxylové skupiny mohou způsobovat i nadměrnou rozpustnost přenašečů v lázně. Jen malého podílu přenašeče se pak využije k žádanému účinku ve vlákne; tzv. „ve vodě rozpustné“ přenašeče, jako např. kyselina salicylová nebo benzoová, se proto přestaly v praxi už před delší dobou používat.



Obr. 1 — Vliv druhu a velikosti substituentu v molekule naftalenu na přenašečový účinek, vyjádřovaný difázním koeficientem barviva Disperse Blue 73 při 100 °C, Schreiner [32].



Obr. 2 — Vliv substituentů v molekulách difenylu, fenolů a benzylalkoholu na přenašečový účinek, vyjádřovaný jako difázní koeficient barviva Disperse Blue 73 při 100 stupních Celsius, Schreiner [32].

Souvislosti mezi přenašečovým efektem a strukturou přenašeče jsou komplikované. Vyčerpávající objasnění by vyžadovalo přihlédnutí i k dalším interakcím, které hrají roli: k rozpustnosti barviva ve všech zúčastněných fázích, ke kvantitativně určeným vazebním možnostem, prostorovým předpokladům aj. Obdobně by také bylo možno podložit pozorované kolísání přenašečového efektu u jednotlivých barviv.

Rada autorů upozorňuje, že jednotlivé aktivní přenašečové složky neposkytuje takový efekt jako jejich směs.

#### 4. Technologická hlediska

Při uplatnění přenašečů v technologické praxi se vedle vlastní přenašečové aktivity okamžitě objeví celá řada dalších nezbytných kritérií: co nejnižší

toxicita a těkovost, „přijatelný“ zápar, snad emulgovatelnost, co nejnižší sklon k těkání s vodou, co největší odstranitelnost po barvení písmi praní, sušení nebo v krajním případě při teplotě fixaci. Odstranitelnost souvisí s nezbytným předávkem na nízké ovlivnění stálosti vybarvení i světle, neboť většina přenašečových substancí popř. přiměřeně, po dlouhodobém osvětlování ve vláknach více či méně hnědne. V neposlední řadě roduje i surovinová a cenová dostupnost. Na různých místech se uvádí, že by např. bylo možno vyrobít přenašeče prosté páchnoucích příměsí ještě jen cenu byla by byla několikanásobná.

Tento mnohotvárnou a již letitou „živelnou optimizaci“ provozního barvířství prošel úspěšně ještě nevelký počet přenašečové aktivních substancí. Objevují se pod četnými obchodními názvy v různých kombinacích s doplňujícími komponentami. Převážná část současně vyráběných přenašečů se dodává jako tzv. samoemulgující produkty,\* t.j. jde většinou o pastovitou nebo kapalnou směs až 20 % emulgátora. Obvykle je nutno ještě zajistit, aby se hlavní přenašečové substance daly rozpuštět prostřednictvím pomocných rozpouštědel; většinou jde o aromatické nebo hydroaromatické uhlovodíky, které činí až 60 % z hmotnosti obchodního produktu [33].

Emulgátory pozmeňují rozdělovací koeficient přenašeče ve prospěch lázně, a tím snižují výsledný efekt. Na druhé straně by nedostatečně jemná a stabilní emulze měla katastrofální následky pro egálnost vybarvení. Zvláště dokonala emulgáční schopnost musí vykazovat emulgátorskou soustavu u přenašeče pro barvení v otevřených zařízeních, kde je třeba zajistit pokud možno okamžité a úplné zemulgování kapek přenašeče vzniklých kondenzací podílu vytěkavšího s vodní parou.

**Sklon k těkání s vodní parou** se projevuje obecně tím výrazněji, čím je sloučenina méně rozpustná ve vodě. K podobnější differenci moderních přenašečových substancí nejsou k dispozici údaje o rozpustnosti ve vodě — jde o látky s velmi nízkou rozpustností, pro niž chybí kvantitativní údaj.

Závažná je i otázka působení přenašeče a doprovodných komponent na **extrakci oligomerů** z vlákn. S tím souvisí obávané opětne usazování — **redepozice** — oligomerů na povrchu vlákn, které zhoršuje spřadatelnost, i postupně narůstající usazeniny v zůžených a z vnějšku ochlazovacích místech barvířského zařízení. Uvádějí se např. případy téměř úplného „ucpání“ potrubí nábalových VT aparátů nánosy oligomerů až po půlročním provozu. Nakolik tuto závadu ovlivňuje konkrétní přenašeč a další příslušné, nelze prozatím považovat za dosuděně definované, takže ani není možné poskytnout bližší údaje.

Pro konkrétnější posouzení vytěkávání přenašeče z vláken lze přihlédnout k údajům Kellera [33] o třech typických přenašečových substancích (tabulka I).

Nevelký počet přenašečové aktivních substancí, které se dnes objevují v nejrůznějších kombinacích s emulgátory a pomocnými rozpouštědly — solventy — pod četnými obchodními názvy, uvádíme v několika základních skupinách se stručnou charakteristikou, popř. dalšími údaji, pokud se daly zjistit:

\* K emulgaci pomoci „cizího“ emulgátoru se v tuzemských barevných příspěvoválo v případě metylsalicylátu a do nedávné doby v případě o-dichlorbenzenu.

**1. Orto- a výjimečně i para-fenylfenol** (např. Caprolid firmy Tanatex, Remol TRF firmy Hoechst, Palanilcarrier PE firmy BASF, Levegal OPS firmy Bayer).

Velmi málo těkají s vodní parou. Po barvení je nutno je odstranit, jinak je ohrožena stálost na světle (nutně sušení nejméně při 140 °C), emulgace je nesnadná. Vysokou účinnost provází i silný bobtnací efekt, což ohrozuje elasticitu a objemnost výrobků z objemových přízí apod.

**2. Estery karbonových kyselin** (methylsalicylát apod., obchodní produkt např. Palanilcarrier B firmy BASF; Levegal B, PT firmy Bayer).

Velmi účinné již při 80 °C, dají se snadno odstranit [většinou stačí vyplachování horkou vodou a sušení kolem 80 °C]. Značně těkají s vodní parou, silně páchnou, avšak jsou jen nepatrné toxicité.

Celosvětově se opět začínají výrazně uplatňovat.

**3. Halogenbenzeny** (většinou jen o-dichlorbenzen a 1,2,4-trichlorbenzen, obchodní produkty např. Palanilcarrier B firmy BASF).

Velmi účinné, avšak vzhledem k silné toxicitě, která je dále zdůrazněna nižším bodem varu a těkáním s vodní parou, je lze používat jen v uzavřených zařízeních.

Jejich výhodou je, že stálost vybarvení na světle zůstává neovlivněna, emulgativnost je snadná,\*) příznivě je i cena. Dobře vyhovují při barvení směsi PES/vlna, neboť na rozdíl od fenolických přenašečů nezvyšují spinění vlněného podílu disperzními barvivy.

**4. Aromatické vícejaderné uhlovodíky** (naftalen,  $\alpha$ - a  $\beta$ -metylnaftalen, difenyl; např. tuzemský Spolapren X, Dilatin EN firmy Sandoz, Levegal D firmy Bayer aj.).

Značně účinné, s nízkou toxicitou, málo těkají s vodní parou, velmi napomáhají egalizaci. Na bobtnávání a srážení PES vlákna jen do mírného stupně. Zbytky ve vláknech obvykle silně hnědnou; u metylnaftalenu nelze např. dosáhnout úplného vytěkání z vlákna ani při fixaci 180 °C a 30 s.

Ekologické a toxikologické vlastnosti jsou „dodus“ přijatelné. V zahraničí se obchodně projevuje mírný vzestup.

**5. Fenolétry** (etoxylované fenoly a etoxylované chlorfenoly. Patří sem např. Slovapren EP, Palanilcarrier A firmy BASF).

Jou méně až středně účinné, což souvisí s určitou rozpustností ve vodě. Výhodou je však jen malá toxicita a nepodstatný západ; neovlivňují stálosti, snadno se emulgují, způsobují jen nepatrné bobtnání a srážení PES vlákna. Okolnost, že účinnost fenoléterů se začíná projevovat až při teplotách nad 90 °C je vhodná z hlediska egalizace, protože nedochází k počátečnímu rychlému neegálnímu vytěkání barviva.

Vidíme, že lze sice přizpůsobit výběr přenašeče pro určitý provozní případ, ale vždy je třeba počítat s určitým kompromisem.

V následující experimentální části upozorníme na několik nových poznatků, které se projevily při naší práci.

## 5. Experimentální část

V tabulce II a III lze posoudit přenašečovou aktivitu vybraných organických rozpouštědel při bar-

Tabulka II — Vliv organických rozpouštědel a Spolaprenu X, emulgovaných v dávce 4 g.l<sup>-1</sup> do barvířské lázně, na koncentraci disperzního a kationtového barviva dosaženou na Tesilu S za 20 min při 50 °C

Intenzifikační příslušenství	Vázání barviva ve vlákně [mg.g <sup>-1</sup> ]		
	Ostacetyl šarlač S-L2G (Disp. Red 54)	Ostacetyl modř E-LG (Disp. Blue 81)	Bass- acrylot GL konz. (Bas. red 29)
— bez —	0,69	1,25	0,108
sym. tetrachlormetan	12,91	—	3,18
trichloretylen	9,29	9,29	1,02
o-xilen	2,97	3,85	0,292
m-xilen	3,25	3,92	0,313
p-xilen	2,85	3,57	0,272
chlorbenzen	7,65	9,43	1,70
Spolapren X	4,97	4,85	0,484
o-dichlorbenzen	5,35	7,35	0,425
perchloroetylén	1,89	1,70	—

Tabulka III — Vliv organických rozpouštědel a Spolaprenu X, emulgovaných v dávce 1 g.l<sup>-1</sup> do barvířské lázně, na sorpcii disperzních barviv na Tesilu 12 za 30 min při 98 °C (začátek barvení při 70 °C)

Intenzifikační příslušenství	Barviva ve vlákně [mg.g <sup>-1</sup> ]		
	Ostacetyl modř E-LG (Disp. Blue 81)	Ostacetyl šarlač S-L2G (Disp. Red 54)	Ostacetyl červen (Disp. Red 60)
— bez —	9,65	4,50	2,32
jen emulgátory	9,16	4,22	2,12
benzen	11,02	8,32	3,95
toluen	12,38	12,15	7,83
o-xilen	16,09	22,00	10,23
m-xilen	16,10	24,39	11,06
p-xilen	12,86	14,82	9,87
chlorbenzen	16,83	18,78	10,57
trichlorbenzen	10,12	8,35	4,72
Spolapren X	18,32	25,73	12,14
perchloroetylén	9,58	6,77	3,52
o-dichlorbenzen	18,83	28,52	14,52

Tabulka I — Vytěkávání tří typických přenašečových substancí z PES vlákna za různých časových a teplotních podmínek sušení v laboratorních poměrech (podle [33])

Z původně obsaženého množství přenašeče ve vlákně [%] po zpracování:									
teplota [°C] čas [s]	120			160			180		
	30	60	150	300	30	60	120	30	60
trichlorbenzen	98	98	80	60	35	15	4	10	2
o-fenylfenol	98	98	95	93	68	45	20	30	2
estery karbonových kyselin	98	98	85	85	75	60	40	45	5

\* ) V některých našich provozech však byly zaznamenány případy rozrušování emulzí během barvení (při emulgaci „cizím“ emulgátorem těsně před barvířskou aplikací), což bylo jednou z příčin pro ústup od o-dichlorbenzenu.

vení dvou typů PES stříží. Jde jednak o aniontově modifikovaný vysoko sráživý vývojový typ Tesil S (barvení při 50 °C) a běžný nemodifikovaný Tesil 12 (barvení při 98 °C). Sledujeme jednak některé

solventy přenašečových substancí (homology benzenu), jednak jsme ověřili rozpouštědla, u kterých Rebenfeld, Ribnick, Weigmann ad. [34–38] prokázali mimořádný plastifikační účinek na PES vláknou (pracovali se 100% látkami, zatímco my jsme použili zředěných vodných emulzí). Důvodem bylo hledání vysoko intenzifikující substance, vzhledem k tomu, že běžné přenašeče neposkytovaly dostačující efekt pro barvení sráživého aniontové modifikovaného PES vlákná při neortodoxní snížených teplotách — jde o barvení ve stadiu stříže nebo česanců s cílem uchovat srážecí schopnost pro pozdější objemování v přízi [39] (srovnatelné barvení nemodifikovaného PESv za těchto podmínek nepřineslo výsledky pro příliš kompaktní strukturu vlákná).

Rebenfeld a spol. [35, 37] posuzovali plastifikační účinnost rozpouštědla vůči PESv podle průběhu teplotní závislosti vyšrážení vlákná, při speciálním dynamickém uspořádání experimentu. Extrapolaci určují tzv. teplotu nulové sráživosti ( $T_0$  — viz tabulku IV), která přibližně odpovídá teplotě skelného přechodu  $T_g$  u sledovaného systému. Jako doplňující fyzikálněchemické kritérium uplatnili parametr rozpustnosti  $\delta$  běžný v průmyslu látek apod.\*). Upozornili, že k nejvyšší interakci dochází, když se  $\delta$  rozpouštědla blíží parametru PESv, tj.  $\delta = 10,7$ .

Rozenezávají se dva typy účinku rozpouštědel: rozpouštědla s  $\delta = 11,5$ –13 interagují s alifaticko-esterovou částí

**Tabulka IV** — Orientační hodnoty teplot skelného přechodu PESv v různých rozpouštědlech vyjadřené hodnotou tzv. teploty nulové sráživosti  $T_0$  a parametry rozpustnosti  $\delta$  použitých rozpouštědel [35, 37]

Rozpouštědlo	Teplotní nulová sráživost $T_0$ [°C]	Parametr rozpustnosti $\delta$ [J <sup>2</sup> ·cm <sup>-2</sup> ] [1] .4,187 <sup>+/-</sup> 1]
suché vlákno (na vzduchu)	83	
butylalkohol	30	11,30
perchloretylen	20	9,36
toluen	20	8,91
propionitril	— 3	10,50
acetonitril	— 8	11,75
dimetylulfosoxid	— 15	12,93
trichloretylen	— 18	9,28
$\gamma$ -butyrolacton	— 23	12,78
chlorbenzen	— 33	9,57
benzaldehyd	— 37	10,40
morpholin	— 54	10,52
nitrometan	— 54	12,30
dimetylacetamid	— 57	10,80
nitrobenzen	— 61	10,62
dioxan	— 63	9,74
pyridin	— 67	10,61
dimetylformamid	— 72	12,14
metylenbromid	— 81	10,70
1,1,2-trichloretan	— 92	10,18
1,1,2,2-tetrachloretan	— 134	9,85
chloroform	— 143	9,56

\* Parametr rozpustnosti  $\delta$  je definován jako druhá odmocinka z hustoty kohezní energie, popřípadě z mořární energie vypařování vztázené na objemovou jednotku. Jde o kvantitativní vyjádření soudržných mezmolekulárních sil, které musí být překonány, aby v polymeru došlo k bobtnání — vytvoření gelu — rozpouštění. Význam parametru rozpustnosti pro posuzování interakcí PESv — rozpouštědla je však omezen tím, že nebude ohled na kvalitativní stránku kohezních sil. Dokonalý souhlas pěřízí v úvahu jen u kombinací nepolárních látek. Přesné korelace by vyžadovaly přihlédnutí k uplatnění jednotlivých vazebních sil, zejména polárních a navíc je u vláken komplikujícím faktorem jejich semikrystallinitu.

řetězce (jde o silněji polární látky schopné vytvářet H-můstky, jako např. dimetylformamid nebo dimethylsulfid), rozpouštědla s  $\delta = 9$ –10 (silně polární, jako např. dioxan a tetrachloretan) vytvářejí interakce převážně s aromatickou částí řetězce.

Z našich koloristických pokusů lze konstatovat

— **Při barvení Tesilu S při 50 °C** vykazuje mimořádně výrazný přenašečový efekt sym.-tetrachlor etan, který stojí na předposledním místě Rebenfeldovy řady podle  $T_0$ . V případě disperzní barviv se mu svými účinky přiblížuje chlorbenzen a trichloretylen, jejichž směs má mírný synergický efekt. Mimořádný intenzifikační účinek sym.-tetrachloretanu souvisí zřejmě i s tím, že jde o známé účinné rozpouštědlo PES vlákná. Ve vodných emulzích s nízkou koncentrací je za sledovaných nízkých teplot a krátkých časů pozmnění fyzikálních vlastností vlákná sice patrné, ale z hlediska parametrů objemové příze ještě přijatelné. Pro vysokou toxicitu je praktická aplikace nemožná. Možnost praktického uplatnění chlorbenzu a trichlorbenzu za teplot 40–50 °C se z toxikologického aj. hlediska ověřuje [39].

— Pro barvení Tesilu S při 50 °C je nápadná **nízká účinnost** všech izomerů **xylene**. Spolapren X (naftalen/difenyl/xylen) převede jen nepodstatně účinnost samotných xylenů. Je zřejmé, že na tomto vlákně se jinak široce osvědčené dvoujaderné přenašečové substance (naftalen a difenyl) na intenzifikačním účinku podlejí nevýrazně.

— **U barvení Tesilu 12 při 98 °C** lze sledovat vznik přenašečové aktivitiv v řadě benzen-toluuen-xylen, přičemž zřejmě o — o- a m-xylen je velmi účinný a zcela srovnatelný s účinkem chlorbenzenu. Obchodně přenašečová směs xylen/naftalen/difenyl (Spolapren X) se zde projevuje podle očekávání jako ještě účinnější než průměr xylenu.

Rozdílný účinek xylenů při barvení srovnávaných vláken zřejmě souvisí s jejich odlišností polaritou. Lze očekávat, že Tesil S má vyšší parametr rozpustnosti než nemodifikované PESv o  $\delta = 10,7$  v důsledku polární modifikaci komponenty. To může být přičinou selhávání xylenů s relativně nízkým  $\delta$  na Tesilu S. Složitější souvislosti však naznačují pokusy s trichloretylenem — jejich trend je opačný než u xylenu.

— **Orto-dichlorbenzen** intenzifikuje barvení Tesilu S méně než monochlorbenzen, a to i po přepočtení na molární výchozí koncentraci; zvláště u kationtového barviva je účinek chlorbenzenu ve srovnání s dichlorbenzenem nečekaně vysoký. U nemodifikovaného PESv je naproti tomu výrazně účinnější o-dichlorbenzen.

## 6. Diskuse výsledků

Byla prokázáno, že přenašečový efekt jednotlivých přenašečové aktivity sloučenin se mění podle chemické struktury polymeru, zejména vlivem polárních, popř. iontových skupin vnesených do polymetu modifikaci složkami (vysvetlení bylo naznačeno pomocí parametrů rozpustnosti  $\delta$ ).

Dále je zřejmé, že neexistuje žádná zásadní dělící čára mezi účinkem vodných emulzí sledovaných rozpouštědel (nichž bylo v jiných pracích prokázáno výrazné snížení  $T_g$  vlákná) a „vlastními“ přenašeči. Je zajímavé, že tak súčejný otázce, jakou je optimální velikost a tvar molekuly přenašeče, nenašel zájem kromě cenné práce Schreinera [9, 32] žádnou publikovanou práci přes mimořádnou pozor-

nost, kterou problematika přenašečového barvení využívala v 50. a 60. letech. Zůstalo zřejmě při empirickém „přirozeném výběru“ a nízkomolekulárním sloučeninám pochopitelně stála v cestě nepříznivě vysoká těkavost, která byla rozhodující zejména při tehdy nejběžnějších „otevřených“ zařízeních (viz též [39, 40]).

U vodných roztoků rozpuštědel rozpustných ve vodě (o  $\delta >$  než přibl. 11) výsledký efekt nepříznivě ovlivňuje rozdělovací koeficient mezi vodné prostředí a vláknou. Byly získány jen nevýrazné efekty s dimetylformamidem i při ověřování již ekonomicky zcela nevhodné koncentrace 20 g. l<sup>-1</sup>. Nelze totiž počítat s barvením nebo předupravou na tzv. „starých lázních“ vzhledem k tomu, že není možno zajistit přesné doplňování koncentrace rozpouštědla a barviv.

V této souvislosti je třeba připomenout průkopnickou práci Blinova, Basovy ad. [41], které již v r. 1962 doložili výrazně zvýšenou barvitelnost PES vlákná po pětiminutové předupravě ve vodné emulzi trichloretyluu o koncentraci 20 g. l<sup>-1</sup>. Dostačovalo barvení 40 min při 70–75 °C! Dále uvádějí i mimořádný vzestup barvitelnosti po zpracování PESv v bezvodém tolenu a benzylalkoholu — méně výrazný efekt se projevil u trichloretyluu.

Z praktického hlediska je třeba počítat s tím, že např. při použití organických rozpouštědel, jako solventů krystalických přenašečů, dochází k doplňujícímu, někdy i vitanému synergickému efektu. Kolisání jednotlivých izomerů, například v technickém xylénu, může však mít za následek rozdílnou přenašečovou účinnost výsledných směsí, přestože celkový obsah xylénu ve směsi je konstantní.

V této souvislosti je důležité upozornit, že Rebenfeld a spol. [42] v poslední době využili rychlé penetrace některých nízkomolekulárních rozpouštědel do PES vlákná k neortodoxnímu způsobu vpravování přenašečové substance do vlákna před následujícím barvením. Popsal krátkou předupravu PES vláken 5% roztokem difenylu v dichlormetanu při 21 °C a velmi krátké době 45 s [42, 43]. V posledních sděleních z téže autorské oblasti se však upozorňuje, že uvedeným způsobem je přenašeč transportován jen do nehluboké — pod povrchové — oblasti vlákna [44].

U vlákn s obsahem 1,5% difenylu vpraveného do vlákna předem se uvádí zvýšení barvitelnosti jako pří dárce difenylu do barvici lázně ve výši 5% z hmotnosti materiálu. I když nelze bezvýhradně přijmout autorem uváděné zkrajení následujícího barvení při 98 °C na pouhých 20 min (nepostačovalo by zřejmě pro vyrovnaní počátečních nezáležitostí), ekologický dosah je nesporný. Při obvyklé lážňové aplikaci zůstává až 70 % přenašečové substance nevyužito v lázni — znevýhodněné jsou zejména „dlouhé“ lázně, což je právě případ často se vyskytujícího uplatnění přenašečů při barvení na hašpli. Škoda, že praktické uplatnění této poznatku je doposud v dnešním textilním barvírství nezáležitostí a ekonomicky problematické (ztráty rozpouštědel a jin.) i při zahrnutí nejmodernějších strojních a technologických možností.

## LITERATURA

- [1] SCHÖNPLUG, E.: Mell. Textilber **60**, 244 (1979).
- [2] RŮŽICKA, J.: PŘÍKRYL, J., BURGET, L., KREJČÍ, F.: Přednáška na konferenci textilních chemiků, Povážská Bystrica 1980.
- [3] PRCHAL, V.: Přednáška na konferenci textilních chemiků, Povážská Bystrica 1980.
- [4] GLENZ, O., BECKMANN, H., WUNDER, W.: J. Soc. Dyers Col. **75**, 141 (1959).
- [5] JIN, C. R., CATEX, D. M.: Amer. Dyest. Rep. **53**, 64 (1964).
- [6] RAWICZ, F. M., CATES, D. M., RUTHERFORD, H. A.: Amer. Dyest. Rep. **50**, 320 (1961).
- [7] WEINGARTEN, R.: Textil Praxis **28**, 231, 340, 397 (1973).
- [8] BALMFORTH, D., BOWERS, C. A., BURLINGTON, J. W., GUION, T. H., ROBERTS, T. S.: J. Soc. Dyers Col. **81**, 405 (1966).
- [9] SCHREINER, G.: Textilechnik **24**, 300, 353 (1974).
- [10] HORNUFF, G., GRIMM, H.: Faserforsch. u. Textiltechnik **15**, 75 (1964).
- [11] ROCHAS, P., COURMONT, M.: Chemiefasern **10**, 666 (1960).
- [12] JIN, C. R., CATES, D. M.: Amer. Dyest. Rep. **53**, 64 (1964).
- [13] ROBERTS, G., SOLANKI, R. K.: J. S. D. C. **95**, 226 (1979).
- [14] INGAMMELLS, W., NARASIMHAN, K. V.: J. Appl. Polym. Sci. **20**, 2271 (1976).
- [15] SENNER, P., SCHWAIR, K., MORGESTERN, W., SANDNER, B.: Melland Textilber. **48**, 690 (1967).
- [16] RIEKER, J., TERLINDEN, M.: Melland Textilber. **56**, 568 (1975).
- [17] INGAMMELLS, W., YABANI, A.: J. Soc. Dyers. Col. **93**, 417 (1977).
- [18] Piedmont Sect.: Amer. Dyest. Rep. **48**, 23 (1959).
- [19] SCHREINER, G.: Textilechnik **24**, 300, 353 (1974).
- [20] PETERS, R. H., DERBYSHIRE: J. Soc. Dyers. Col. **71**, 530 (1955).
- [21] FLATH, H. J., MORITZ, BADAWIEH, J.: Textiltechnik **28**, 103 (1978).
- [22] PETERS, R. H., INGAMMELLS, W.: J. Soc. Dyers. Col. **89**, 397 (1973).
- [23] INGAMMELLS, W., NARASIMHAN, K. V.: J. Soc. Dyers. Col. **93**, 306 (1977).
- [24] INGAMMELLS, W., PETERS, R. H., THORNTON, J.: J. Appl. Polymer Sci. **17**, 3733 (1973).
- [25] GUR-ARIEH, Z., INGAMMELLS, W.: J. Soc. Dyers. Col. **90**, 8 (1974).
- [26] INGAMMELLS, W., SHERKAT, H.: J. Soc. Dyers. Col. **93**, 448 (1977).
- [27] KRYŠTOFÉK, J., MILITKÝ, J.: Přehodová teplota barvení, Textil **37**, 1982, č. 2, str. 55.
- [28] SCHULER, M. J.: Text. Res. J. **27**, 352 (1957).
- [29] RAIS, J.: Textil **16**, 83, 109 (1961). Teintex **26**, 795 (1961).
- [30] GLENZ, O.: Melland Textilber. **40**, 413 (1959).
- [31] GLENZ, O., BECKMANN, H., WUNDER, W.: J. Soc. Dyers. Col. **75**, 141 (1959).
- [32] SCHREINER, G.: Přednáška na 8. mezinárodním kolor. kongresu ve Varně, 1971.
- [33] KELLER, K. H.: Textilveredlung **13**, 140 (1978).
- [34] RIBNICK, A. S., WEIGMANN, H. D.: Text. Res. J. **43**, 316 (1973).
- [35] REBENFELD, L.: Lenziger Ber. **40**, 22 (Mai 1976).
- [36] WEIGMANN, H. D., SCOTT, M. G., RIBNICK, A. S., REBENFELD, L.: Text. Res. J. **46**, 574 (1976).
- [37] RIBNICK, A. S., WEIGMANN, H. D., REBENFELD, R.: Text. Res. J. **42**, 720 (1972).
- [38] KNOX, B. H., WEIGMANN, H. D., SCOTT, M. G.: Text. Res. J. **45**, 203 (1975).
- [39] KRYŠTOFÉK, J.: Přednáška na 16. celostátní koloristické konferenci, Pardubice, března 1981.
- [40] PELIKÁN, jun., PELIKÁN, sen.: Přednáška na 15. celostátní kolor. konf., Pardubice, 1980.
- [41] BLINOV, V. A., BASOVA, L. V., ANIŠČUK, E. N., KJAGININA, I. P., RUMJANCEVA, L. P.: Text. prom., No 10, 57 (1962).
- [42] REBENFELD, L., MATKOWSKI, R. D., WEIGMANN, H. D.: Přednáška na 18. meziná. kongresu o chemických vláknech, Dornbirn 1979.
- [43] MATKOWSKI, R. D., WEIGMANN, H. D., SCOTT, M. C.: Text. Chem. and Color. **12**, No 3, 55 (1980).
- [44] MOORE, A. F.: Přednáška na Celoamerické koloristické konferenci, Boston 1980.
- [45] MARHOLD, J.: Přehled průmyslové toxikologie, SZN, Praha 1964.

Souvislost tzv. praktických saturačních hodnot s kinetikou barvicího procesu při barvení Tesilu 31  
(10. Celostátní koloristická konference v Pardubicích, 1974)

Tato problematika souvisí s otázkami řešenými v předchozích příspěvcích.

Práce navazuje na prakticko-koloristická sdělení zveřejněná autorem na Koloristických kongresech a je zaměřena na možnosti matematického popsání kinetiky barvení aniontově modifikovaných PES vláken kationtovými barvivy a to se zvláštěm zřetelem ke způsobu určování tzv. praktických (tj. nerovnovážných - zdánlivých) saturačních hodnot. V práci byla objasněna podstata praktické saturační hodnoty  $S_{px}$  jako zvláštěního kinetického kriteria.

Zásadní význam má pro určování  $S_{px}$  vztah mezi procentem vytažení  $\%V$  v určitém čase barvení  $t$  a sytosti  $s$ . V případě, že se vyčerpávání barviva z lázně na vlákno řídí odmocninovým zákonem, platí jednoduchý vztah mezi poločasem barvení  $t_{1/2}$  a časem  $t_v$  nutným pro dosažení určitého procenta vytažení  $V$ :

$$\frac{t_v}{t_{1/2}} = 4 \cdot 10^{-4} \cdot V$$

Na tomto vztahu je založen nejjednodušší výpočet  $S_{px}$ .

Dále jsou řešeny i složitější případy, kdy odmocninový zákon neplatí (což je reálné právě u vysokých  $V$ ). Byl odvozen postup výpočtu  $S_{px}$  ze znalosti rychlostních konstant i z modelu závislosti tzv. souhrnné rychlostní konstanty na sytosti. V této souvislosti byly odvozeny dva modely barvení a to jednak na základě formální kinetiky, jednak na základě diferenciální rovnice difuze ve spojení s chemickou reakcí.

Souvislost tzv. praktických saturačních hodnot s kinetikou  
barviciho procesu při barvení Tesílu 31

Ing. Jiří Kryštufek, Ing. Jiří Miličík  
Státní výzkumný ústav textilní v Liberci

I. Úvod

Barvení akrylových vláken a aniontově-modifikovaných PES-vláken kationtovými (bázickými) barvivy spočívá v tom, že ve vyrobení iontového produktu barvivových kationtů s aniontovými skupinami vláken. U PAN-vláken jde o skupiny  $-SO_3H$  a  $-OSO_3^-$  (případně jejich sodné soli), které vznikají při polymeraci z redox-katalyzátoru  $/1,2,3,4/$ . U nejrozšířenější skupiny akrylových vláken - tzv. aniontových PAN-vláken se navíc vpravují tyto a další skupiny (např.  $-COOH$ ) do vlákna vhodnou kopolymerací, např. s kyselinou akrylovou, styrenulfonovou, allylsulfátem aj.  $/4,5,6/$ .

U A-PES vláken, konkrétně u čs. vláken Tesíl 31, 32 a 33 jde o  $-SO_3Na$  skupinu vpravenou do makromolekuly vlákná při polykondenzaci prostřednictvím modifikatí složky, tj. sodné soli kyseliny 5-sulfoizoftalové  $/7/$  v množství okolo 2 mol. %.

U PAN-vláken bylo prokázáno, že při vazbě barviva s vláknem má iontová vazba rozhodující roli; uplatnění ne-iontových interakcí má pouze podružný - doplňující vliv  $/4,8,9/$ . Průběh rovnovážné sorpcie lze proto dostačně, až na malé odchyly, popsat Langmuirovou izotermou  $/4,10/$ . Obdobně i barvení A-PES vláken probíhá iontově-výměnným mechanismem.

Praktickým důsledkem omezeného počtu vazných míst ve vlákně je obtížné a v některých případech přímo nemohné dosahování nejsytějších odstínů. Barvářským ekvivalentem vazných skupin ve vlákně je tzv. saturacní hodnota, zvaná též saturační koncentrace, bod nasycení a.j. - zkráceně S. X

Obecná definice saturacní hodnoty je zřejmá: jde o maximální koncentraci daného barviva, dosažitelnou ve vlákne za dané teploty a za dalších daných podmínek barvení. Lusí se rozlišovat tzv. rovnovážná ("pravá") saturacní hodnota (u PANV se docíluje rovnováhy v barvicí soustavě po 8 ~ 18 hodinách  $1,14/$ , u A-PES po 25 i více hodinách  $15/$ ) od technologicky používané "praktické", resp. zdánlivé saturacní hodnoty (vztahuje se k dolé barvení, která představuje nej běžně technologie) - jde o že nebo 4 hod. barvení varu  $16,17/$ .

Zatímco v teoretických pracech se S-hodnota vyjednává maximální koncentrací chemicky čistého barviva v daném v rovnovážném stavu na výkonné, vychází se v běžné koloristice z běžné obchodní kvality barviv a saturace se vyjednává procentem vybarvení při kterém se na konci běžného barvení docílí 95 %-ního  $16,17/$  nebo 90 %-ního  $20/$ , vytázení barviva z lázně; využívá se této toho, že zadržovaní barvive v lázní je příznakem blížící se saturace. Do jaké míry se tyto praktické S-hodnoty přiblížují pravým saturacním hodnotám je závislé na kinetice barvicího děje - tedy v podstatě na rychlosti, s jakou je dosahováno v jednotlivých případech úplného probarvení vlákna. Vliv kinetických činitelů na praktické saturacní hodnoty je právě zvláště výrazný u A-PES vlákn, do kterých difunduje kationové barvivo podstatně pomaleji než do PANV  $12,13,19/$ .

Relativní difuzní koeficienty nalezené za srovnatelných podmínek Siepmannem  $18/$ , byly 3 až 4x nižší u A-PES vláken Dacron 64 než u PAN vláken Draalon. Z toho prakticky plyně, že např. u 2-3 %ního vybarvení kationovým barvivem je u PANV 1 hod. barvení při  $98^{\circ}$  lze zcela vytázena, zatímco u A-PES vlákn se i po 2 hodinách při  $98^{\circ}$  dosáhne pauze 70-80 % vytázení (při barvení bez přenášec).

V této práci jsme se zaměřili na podrobnejší zkoumání a možnosti matematického popsání kinetiky barvení A-PES vlákn, a to právě se zvláštním zřetelem ke zphasobu určování praktických saturacích hodnot.

## 2. Experimentální část

2.1 Textilní materiál: aniontové modifikované polyestrové vlákno Tesil 31 jemnost  $4,4$  dtex ( $4,0$  den) - strž (délka staplu 65 mm), polomattovaný.

Vzhledem k tomu, že u A-PES vláken může během barvení docházet k degradativnímu pochodu, byly stanoveny vybrané mechanické, fyzikální a chemické charakteristiky (viz tab. I) u povodního materiálu, po barvení 1 hod při  $115^{\circ}\text{C}$  a po barvení 22 hod při  $115^{\circ}\text{C}$  (stav v blízkosti rovnováhy). Z chemických zkoušek, které byly provedeny v n.p. Silon, Plana n.Lužnicí, jde o:

Limitní viskozitní číslo, zkrácen LYČ : stanoveno z řešidlovacím způsobem v rozpuštěidle fenol-tetrachloroetan 1:3 /21,22/. Po dle vztahu uváděného pro Tesil 31 Filipa a Herenem byla z LYČ vypočtena průměrná molekulová hmotnost  $M_n$ :

$$LYČ = 9,05 \cdot 10^{-4} \cdot M_n^{0,66}$$

Obsah karboxylových skupin : po rozpuštění v zraku v nitrobenzenu (za vyloučení přítomnosti i stop vlnnosti) titrací methoxidem sodným /21,23/.

Obsah sulfoskupin : prostřednictvím stanovení síry přiblžně podle Schönhgera /23/ - t.j. spalováním v kysliku a alkalinem-rickou titrací.

Obsah diethylenetylolu : po oxidování kys. jodistou a dále dvojchromanem draselným se titruje přebytek dvojchromanu thiosiranem sodným /23/.

Obsah oligomerů : extrakce 30 hodin horákem dioxanem. Extrakt se po vysušení váží /23/.

Mechanické vlastnosti byly určeny vždy z 50 měření podle odpovídajících ČSN.

Tab. I. Změny chemických a mechanicko-fyzikálních parametrů stříže Tesil 31 vlivem barvení za různých podmínek

LVC	Molekul. hmotnost	P o d m í n k y		Původní materiál
		115° 1 hod.	115° 22 hod.	
S %	0,480	0,416	0,490	13,846
COOH ekv./g $10^{-5}$	13,420	10,804	0,310	0,314
Oligomer %	0,310	0,320	8,13	13,52
DEG %	2,37	1,52	2,11	6,60
Pevnost P	1,95	1,92	1,89	2,29
Tažnost %	10,41	9,34	11,61	11,61
	44,36	33,72	52,82	52,82

Z výše uvedené tab. I. vyplývá, že při barvení v běžných technologických mezích se změní chemické i fyzikálně-mechanické vlastnosti Tesil 31 v celku nepodstatně a z praktického hlediska zcela únosné.

U dlouhodobých rovnovážných-pokusů jsou změny výraznější: znacně se snižuje LVC a molekulová hmotnost, v souvislosti s destrukcí makromolekuly se projevuje přibližně dvojnásobně vyšší obsah  $\text{m}-\text{COOH}$ . Dochází k podstatnému poklesu pevnosti a také tažnosti.

Obsah oligomerů neprojevuje výraznější změny. Lze pouze usuzovat na mírnou extrakci oligomerů při barvení, takže se pak získají poněkud nižší hodnoty (hlubší poznatky by přineslo chromatografické určení extraktu, což se však již vymytalo z rámce této práce).

Obsah diethylenglykolu se prakticky při různých podmínkách nemění.

Pro studium barvicích saturačních vlastností Tesilu 31 je velmi podstatné, že zjištěné rozdíly v obsahu síry (a tudíž i sulfoskopinu) nepřesahují 3,5 %. S ohledem na přesnost metody  $\text{A}_2/\text{A}_1 \cdot 15$  lze považovat obsah  $\text{m}-\text{SO}_3\text{Na}$  v Tesilu 31 při barvení i za extrémní podmínek za konstantní.

Z obsahu síry (vzhledem k reálnemu předpokladu, že stoprocentně odpovídá obsahu sulfoskopinu) vyplývá teoretický ekvivalent (douze  $\text{SO}_3\text{Na}$ ) zkoumané stříže Tesil 31.

Uvažujeme-li obsah 0,314 % S jako průměrný, pak :  
ve 100 g Tesilu 31 je obsaženo  $0,314 \text{ g} / 32,066 = 0,0097 \text{ g}$  sulfoskopin, takže :  
kysele ekvivalent Tesilu 31 tím 97,92 mgek/kg<sup>-1</sup>.  
Tomuto ekvivalentu odpovídá možnost maximálně vázat (iontově, přes sulfoskopiny) :  
3,92 % (z vahy mat.) ideálního jednosytného kationtu, barviava

$\text{O}_2 \text{M} = 400$  nebo  
3,57 % (z vahy mat.) malachitové zeleni 100 %-ní,  $\text{M} = 364,0$ .

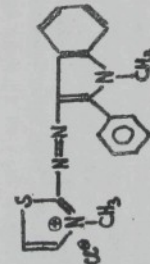
Pro teoretickou maximální vahou schopnosti vlákna SVL z toho vyplývá (přespočítáme-li barvení do rovnováhy a 5 %-ní zbytku barviava při totálním obsazení všech sulfoskopinu a zanedbáváme-li přitom vazbu jinými způsoby) :  
 $SVL = 4,08 \%$

Pro srovnání : pro PANY Dralon se běžně udává  $SVL = 2,1$  (při dvouhodinovém barvení)

Vedle kyselého ekvivalentu způsobičeho  $\text{~SO}_3\text{Na}$  skupinami vykazuje Tesil 31 řádově stejný kyselý ekvivalent tvořený  $\text{-COOH}$  skupinami ( $60 - 130 \text{ mekv.kg}$ ) podle podmínek barvení). V souvislosti s názorem Jacoba /25/ lze předpokládat, že  $\text{-COOH}$  jsou malo významné pro vazbu kationtových barviv a není vyloučeno, že podíl barviva vázaný přes  $\text{-COOH}$  skupin způsobuje nižší stálosti na světle než u vybarvení PAN.

#### 2.2 Použité barvivo

Technicky čisté (obsah barvirové substance 75 %) kationtové barvivo Basaurylrot GL (firma BASF) o struktuře



Jde o barvivo osvědčené při barvení Tessilu 31 jak z hlediska barvických vlastností, tak i pro uspokojivou stálost na světle i ve světlých odstínech /12/.

Sledované sytosti vybarvení: 0,3 0,6 0,9 1,2 1,5 percent barviva z váhy materiálu (testy obsah sytosti ležící zhruba 3x pod teoretickou = rovnovážnou saturací hodnotou).

#### 2.3 Způsob barvení

Pro zajištění konstantního pH během všech pokusů bylo použito acetátového pufru:

$27,22 \text{ g} \cdot \text{l}^{-1}$	$\text{CH}_3\text{COONa} + 3\text{H}_2\text{O}$	(cca $0,2 \text{ M}$ )
$11,50 \text{ g} \cdot \text{l}^{-1}$	$\text{CH}_3\text{COOH}$	(cca $0,2 \text{ M}$ )

Barvici lázně byly připraveny zředěním tohoto roztoku 1:1 za současného přidání roztoku barviva (barvivo rozpuštěno za přídavku stejněho množství kys. octové 100 %ni), pH barvic lázní 4,6 při 20°.

Použitá solnost lázně přibližně odpovídá obvyklému přídavku elektrolytu = většinou  $\text{Na}_2\text{SO}_4$ , který je nutný pro omezení hydrolytického poškození A-PES vlákna.

Barveno bylo v rotacioním patronovém aparátě "Linitest", poměr lázně 1:100, teplota 115°. Barvení bylo ukončováno prudkým ochlazením po 9, 16, 25, 36, 49, 64, 81, 100, případně 121, 144, 196 a 225 min. barvení. Po vhodném zředění alikvotu zbylé lázně bylo fotolorimetricky stanoveno procento vytvoření lázně. (Byla provedena tří nezávislá stanovení vytvoření lázně a dále se uvádějí jejich průměr.)

#### 3. Výsledky a jejich diskuse

Výsledky jsou zpracovány graficky na :

obr. 1... závislost: procento vytvoření lázně  $\sim$  čas (relativní rychlosť barvení)

obr. 2 ... závislost: koncentrace barviva na vlákně  $\sim$  druhá odmocnina z času barvení (absolutní rychlosť barvení)

Z této závislosti imitující vypadá :

1) V počátečních fázích natahování barviva na vlákno (v 9. až 36. min. - viz obr.2) je absolutní rychlosť barvení znatelně nezávislá na koncentraci barviva v lázni (procentu výbarvení).

V průběhu křivek lze pozorovat postupné (od nejlabibších vybarvení k silnějším) zpomalování natahování a odklony od "obalové" křivky, která tedy charakterizuje natahování za podmínek, kdy je v lázni stálý dostatečný nadbytek bar-

viva.

Výjimkou je měsíční sledované vybarvení, t.j. 0,3 %.  
 Jehož průběh výjadřený křivkou sorpcie čas ne sleduje ani  
 v počátečních oblastech obalovou křivku (viz též obr. 3).  
 Zde zřejmě již od počátku barvení nedostatuje koncentrace  
 lázně (0,03 g.l<sup>-1</sup>) k tomu, aby se obsadil veškerý adsorp-  
 ce schopný povrch vlákna barevnými kationty.  
 V této souvislosti lze sledovat, že u systémů vybarvení  
 začíná odklon od obalové křivky, když koncentrace lázně  
 kleše na cca 0,03 - 0,05 g.l<sup>-1</sup>.

2) Natahovalení na vlákně při nadbytku barviva v lázni probíhá podle odmocninového zákona: obalová křivka projevuje při vynesení sorpcie ~  $\sqrt{t}$  lineární průběh.  
 Oba pozorované jevy ad 1) a 2) se projevují u Tesili 31 principiálně obdobně jako jsou popsány u vláken akrylových.  
 Oproti průběhu křivky uráženého Mayerem a spol./16/ pro vybar-  
 nování PAN-vlákná Dralon (fa Bayer) sledujejí však nalezené křivky obalovou křivku pouze v počátečních stadiích - přibliž-  
 ně do poličasu barvení ("odklon" začíná dříve).

### 3.1 Modelování izotermních rychlostních křivek

Při zpracování izotermních kinetických dat se v zásadě postupuje dráma zploby /26/. První vychází z aplikace feno-  
 menologické kinetiky /27/ na barvici soustavu jako celek.  
 Při tvorbě modelu se nejprve sestavuje tzv. rychlostní rov-  
 nice /28/

$$\frac{dC_t}{dt} = F(K_i, t, C)$$

kde  $C_t$  prohárná koncentrace barviva ve vlákně v čase  $t$   
 $F(K_i, t, C)$  modelová funkce  
 $K$  rychlostní konstanta

Barevní proces je tedy co do rychlosti charakterizován souhrnnou rychlosní konstantou, aníž je blíže fyzičkálně spe-  
 cifikován její význam.

Druhý způsob již využívá k popisu sorpcí dělší difu-  
 renčiální rovnici difuze (II. Fickův zákon), kterou lze pro  
 válcové vlákná o poloměru  $R$  vyjádřit vztahem /34/

$$\frac{\partial C}{\partial t} = \frac{D}{r} \left[ \frac{\partial}{\partial r} \left( r \cdot \frac{\partial C}{\partial r} \right) \right]$$

kde  $D$  ... difusní koeficient

Rешením rovnice /2/ za vhodných okrajových a počáteč-  
 ních podmínek lze získat tzv. difusní rovnice /29, 30/. Ty  
 pak popisují kinetiku barvení. V praktických úlohách je  
 často nutno rov. /2/ modifikovat pro difuzi spojenou s ne-  
 lineární adsorpší nebo chemickou reakcí /31, 32/, příp. ji  
 používat jen jako jednu ze soustavy rovnic popisujících sles-  
 dovaný systém /33/.

Oba způsoby mají své výhody a nevýhody. První je jedno-  
 dusší a výhledně modelové závislosti jsou obvykle lineárovo-  
 vatelné (t.j. převoditelné vhodnými transformacemi na lineár-  
 ni závislosti), což usnadňuje numerické zpracování. Na druhé  
 straně však se na jeho základě obtížně zabečnuje a nelze  
 z něj separovat vlivy jednotlivých procesů probíhajících při  
 barvení.

Druhý postup je rigoróznější, umožňuje zabečnení a roz-  
 klad výsledných efektů na dílčí části, ale vychází ve formě  
 obtížné matematicky zpracovatelné.

Dále bude použito obou způsobů pro odvození vhodných mo-  
 delů kinetiky barvení A-PES vláken kationtovými barvivy.

### I. Model fenomenologické (makroskopické) kinetiky

Z rozboru kinetických křivek (obr. 1 a 2) je zřejmé, že v počátečních fázích se sorpcie řídí odmocninovým zákonem (t.j.  
 $C_t$  je lineárně  $\sqrt{t}$ ). Tomu odpovídá rychlostní rovnice

$$V_S = -\frac{K_S}{C_t}$$

kde  $V_S$  je rychlosť sorpcie

Vzhledem k tomu, že se barvivo immobilizuje (iontově výměnným mechanismem) na specifických vazných místech ve vlákně (sulfoskopinový modifikacní komponenty) probíhají v systému 1 děje "brázicí". Jejich rychlosť  $\nu_B$  je pro monobázické barvivo vyjádřitelná vztahem (kinetika reakce 1. řádu):

$$\nu_B = K_B \cdot C_t \quad /4/$$

Celková rychlosť barvení  $\frac{dC}{dt}$  je součtem rychlostí dílčích (approximativní předpoklad) a tedy

$$\frac{dC_t}{dt} = -\frac{K_S}{C_t} + K_B \cdot C_t \quad /5/$$

Protože v rovnovaze je  $\frac{dC_t}{dt} = 0$  musí platit, že

$$K_B = \frac{K_S}{C_0^2} \quad /6/$$

kde  $C_0$  .... průměrná koncentrace barviva ve vlákně v rovновáze

Dosazením rov. /6/ do rov. /5/ dostávame

$$\frac{dC_t}{dt} = -K_S \cdot \frac{C_0^2 - C_t^2}{C_t \cdot C_0^2} \quad /7/$$

Rешení rov. /7/ v mezích  $0 - t$  a  $0 - C_0$  dospiíváme k výslednému modelovému vztahu:

$$C_t^2 = C_0^2 \left[ 1 - \exp \left( -\frac{2K_S}{C_0^2} \cdot t \right) \right] \quad /8/$$

Rov. /8/ je v literatuře známa jako Cegarra-Puentora závislost /35/ a byla původně odvozena pro barvení PES v disperzními barvivy (užívala se sorges s částečnou desorpcí prvního řádu).

### III. Model používající diferenciální rovnici difuze

Model je založen na těchto předpokladech:

- 1) Ve vlákně (uvádějeme jej jako válec o poloměru  $R$ ) existuje celkem  $\zeta_0$  přistupných immobilizačních center (sulfoskopin modifikacní slotky) rozdělených rovnomořně po příčném řezu. Tyto skupiny zachovávají svoji polohu ve všech časech.

- 2) Každá sulfoskopina může vázat jen jednu molekulu barvivu, a to nezároveň (vlivem "iontových" vazeb).

- 3) Difuse barviva k jednotlivým centrum se uváděje jako čísťefickovská s konstantním difusním koeficientem z lázneho objemu  $V$  obsahující konečné množství barviva (na podátku je koncentrace lázny  $C_0$ ).

- 4) Difuse probíhá s hraniční podílnkou třetího druhu, t.j. rychlosť, s jakou barvivo ubývá z roz toku, je přímo úměrná rychlosti, s jakou barvivo difunduje přes povrch vlákna (zachování hmoty).

- 5) Vzhledem k použitím systémem vybarvení (pod  $S_{vt}$ ) je novovázený stupeň vyčerpání lázně  $E_P \rightarrow 1$  tj. parametr  $\alpha \rightarrow 0$ .

- 6) Rychlosť obserování sulfoskopin vlivem nevratné immobilizace barviva je v daném čase  $\alpha$  merná průměrnou množství barviva ve vlákně  $M_Z$ . To je předpoklad, který se používá např. při popisu sorpcí plynu na specifická místa v polymerech /36/.

- Nechť je  $\alpha$  báze z příslušnou  $Z$  volných "vazných míst". V souladu s předpokladem ad 6) a ad 2) je možno rychlosť obserování vazaných míst vyjádřit vztahem

$$\frac{dZ}{dt} = -\alpha Z \cdot M_Z \quad /9/$$

a po integraci

$$M_t = -k_1 \int_0^t M_s \cdot dt \quad /12/$$

Velikina  $M_t$  se určí řešením rovnice /2/ s podmínkami ad 3), ad 4) a ad 5). Operativní řešení tohoto problému /34/ vede na výraz :

$$\frac{M_t}{M_{\infty}} = \frac{1+\alpha}{1+\alpha/4} \left[ 1 - \exp \left( \frac{4x^2}{K_1} \operatorname{erfc}(\alpha x) \right) \right] \quad /11/$$

$$\text{kde } x = (1/\alpha + 0,25) \left( Dt / R^2 \right)^{1/2} \quad /12/$$

$$M_{\infty} = V C_0 / (1 + \alpha)$$

$V$  ... objem lázně

Vztah /11/ lze velmi přesně approximovat jednodušší závislostí /37/

$$M_t = K_0 [K_1 \cdot t^{-1/2} + K_2]^{-1} \quad /12/$$

$$\text{kde } K_0 = M_{\infty}; \quad K_1 = 0,4255 Y_{\infty} \cdot \frac{R}{TD};$$

$$K_2 = 0,8451 - 0,5606 Y_{\infty}$$

$$Y_{\infty} = 1 - (\alpha + 1)^{-1} = 1 - E_p$$

Dosazením rovnice /12/ do rovnice /10/, integraci a určením potřebné podstavky (pro  $t = 0$  je  $\omega = \omega_0$  a  $\ln \frac{\omega}{\omega_0} = 0$ ) dostáváme výraz

$$\frac{\omega}{\omega_0} = \exp \left\{ - \frac{4}{K_2} \left[ \frac{t}{2} - \frac{K_1}{K_2} \operatorname{Erf} \left( \frac{K_1}{\sqrt{2}} \ln \left( K_1 + K_2 \operatorname{Erf} \left( \frac{K_1}{\sqrt{2}} \ln K_1 \right) \right) \right) \right] - \left( \frac{K_1}{K_2} \right)^2 \ln K_1 \right\} \quad /13/$$

Pro průměrnou koncentraci barviva ve vlákne (uvažujeme jen barvivo vazané na sulfoskopinách PES-A) plati

$$C_t = \omega' - \omega_0 \quad /14/$$

a v rovnováze plati

$$C_0 = \omega_0 - \omega_{\infty} \quad /15/$$

kde  $\omega_{\infty}$  je počet přístupných sulfoskopin polymeru, které zůstaly v rovnováze neobsazeny. Z rovnice /13/ a /14/ plyne, že

$$\frac{\omega}{\omega_0} = \frac{\omega_0 - C_t}{\omega_0 + C_0} \quad /16/$$

a za předpokladu, že v rovnováze došlo k obsazení všech immobilizačních center ( $\omega_{\infty} = 0$ )

$$\frac{\omega}{\omega_0} = 1 - \frac{C_t}{C_0} \quad /16a/$$

Dosazením /16a/ do /13/ resultuje výsledný výraz

$$C_t = C_0 \left\{ 1 - \exp \left\{ - \frac{4}{K_2} \left[ \frac{t}{2} - \frac{K_1}{K_2} \operatorname{Erf} \left( \frac{K_1}{\sqrt{2}} \ln \left( K_1 + K_2 \operatorname{Erf} \left( \frac{K_1}{\sqrt{2}} \ln K_1 \right) \right) \right) \right] \right\} \right. \\ \left. + \ln \left( K_1 + K_2 \operatorname{Erf} \left( \frac{K_1}{\sqrt{2}} \ln K_1 \right) \right) - \left( \frac{K_1}{K_2} \right)^2 \ln K_1 \right\} \quad /17/$$

Pro praxi se často pro malé hodnoty  $X$  approximuje výraz hrubě :

$$\exp(-x) = 1 - x$$

Užitím této approximace v rovnici /17/ dosazováme

$$\frac{C_t}{C_{\infty}} = k_1 \cdot \frac{\omega k_2}{k_2} \left[ \frac{t}{2} - \frac{k_1}{k_2} \sqrt{t^2 + \left( \frac{k_1}{k_2} \right)^2} + \left( \frac{k_1}{k_2} \right)^2 \cdot \ln \left( \frac{k_1}{k_2} \sqrt{t^2 + \left( \frac{k_1}{k_2} \right)^2} \right) \right]$$

Tab. II.

Ideální barvící systém : rychlosť barvení nezávisí na sýtosti a řídí se odmocinovým zákonem až do vysokého vytážení lázně

Rovnice /18/ bude ovšem vyhovovat jen pro první stadia barvení.

Pozoruhodné je, že výsledné modelové vztahy (rov. /8/ a /17/) vidíme, že model odvozený z difusních představ v sobě zahrnuje všechny parametry charakterizující barvici procesu ( $D, \rho, E_p, G, V, \text{Rychlosť } t, \dots$ ). Při jeho použití je nezbytné použít metodu nejmenší regrese. Naproti tomu lze vztah /8/ linearizovat transformací  $\ln(C_0^2 - C_e^2) = Y$  a při aplikaci statistik použít jen linearizované (resp. quasi-lineární) regrese.

Proto v dalším používáme pro sledování vztahu mezi vycerpáním lázně a sýtostí rov. /5/. Použití rov. /17/ spolu s ohlásnější diskusií kinetických aspektů barvení PES-A kationovými barvivy je uvedeno v /33/.

### 3.2 Aplikace pro objasnění podstaty zadanivé teorie kinetické saturaci hodnoty

3.2.1 Analyzujeme nejdříve zidealizovaný případ, kdy barvení:

- a) se řídí odmocinovým zákonem,
- b) rychlosť barvení je nezávislá na použité sýtosti.

K názornému posouzení vztahování barviva až vlivu při různých sýtostech  $\tau$  poslouží schematickem vysledky teoretického ideálního pokusu v tab. II.

Je zřejmé, že za výše uvedených předpokladů se čas  $\tau_V$  potřebný pro dosažení určitého procenta vytážení % V zvyšuje se s druhou mocninou použité sýtosti  $\tau$  a tedy obecně :

$$\tau_V = Konst \cdot \tau^2$$

		Procento vytážení při sýtosti			
		0,5%	0,8%	1,0%	2,0%
/min.	/mg.g <sup>-1</sup>				
1	1	20	12,5	10	5
4	2	40	25	20	10
9	3	60	37,5	30	15
16	4	80	50	40	20
25	5	100	62,5	50	25
36	6	75	60	50	30
49	7	87,5	70	55	35
64	8	100	80	40	20
81	9	90	45	30	15
100	10	100	50	40	20
120	11	110	55	45	25
144	12	120	60	50	25
176	13	130	65	55	30
210	14	140	70	60	35
246	15	150	75	65	35
283	16	160	80	70	40
321	17	170	85	75	45
360	18	180	90	80	50
400	20	190	95	85	55

což platí i pro poločas barvení za předpokladu, že rovnovážná hodnota (průběh barvení se v této oblasti již ovesm využívá k platinosti odmocinového zákona) je nezávislá na použití sýtosti. U našich reálných systémů  $C_{\infty} \rightarrow 100\%$  → oblasti použitých sýtostí.

Pro určování  $\tau_{Sp}$  má zvláště význam vztah mezi % V v určitém čase barvení  $t$  a sýtostí  $\tau$ . V uvažovaném ideálním

případě jde o jednoduchou nepřímou závislost :

$$V = Konst \cdot A^{-1} \quad /20/$$

Z odmocinového zákona také vyplývá vztah mezi položenem barvení  $t_{1/2}$  a časem  $t_V$  nutným pro dosažení určitého procenta vytážení  $V$  /39/:

$$\frac{t_V}{t_{1/2}} = 4 \cdot 10^{-4} \cdot V^2 \quad /21/$$

Pro 100 %ní vytážení čini tento poměr ..... 4  
Pro 90 %ní vytážení čini tento poměr ..... 3,24  
Pro 95 %ní vytážení čini tento poměr ..... 3,61

Jak zřejmo, pro případ praktické saturační hodnoty  $S_{px}$  vyplývá, že vlastně dalším kritériem, resp. vyjádřením této  $S_{px}$  je dosažení poločasu barvení:

$$\frac{t_{1/2}}{t_{1/2}} = \frac{60}{3,61} = 16,62 \text{ min (pro kriterium } S_{px} \dots 1 \text{ hod/95% vytáž.)} \\ \text{náleží } \frac{t_{1/2}}{t_{1/2}} = \frac{60}{3,24} = 18,52 \text{ min (pro kriterium } S_{px} \dots 1 \text{ hod/90% vytáž.)}$$

za předpokladu, že celý průběh natahování řídí se odmocninovým zákonom. Toto zjištění lze pouvádět za první důkaz, že zdánlivě-praktická saturační hodnota  $S_{px}$  je kinetickým kritériem, které je v jednoduchém vztahu k poločasu barvení.

Prostřednictvím poločasu barvení je dále zřejmá souvislost s disfusním koeficientem v smyslu rov. /40/

$$D = \frac{R^2}{t_{1/2}} \cdot f(E_p) \quad /22/$$

V rámci této právě popsanej idealizované barvicí soustavy je určování praktické saturační hodnoty velmi snadné vzhledem k tomu, že závislost procenta vytážení na reciproké hodnotě souvislosti vybarvení násadní koncentrace barviva v lázni je lineární. (viz rov. /20/).

3.2.2 Vyhodnocování experimentálních závislostí  
a praktický postup určení  $S_{px}$

Pro nalezení konstant rov. /8/ bylo použito nelineární regrese s kritériem minimu kvadratických odchylek /41/. Výpočty byly provedeny na HP 9810 kalkulačku.

Protože byla experimentálně získaná závislost procenta vytážení 1.činné % V na čase  $t$  byl vztah /8/ modifikován. Vyslo se z bilancní závislosti mezi různou koncentrací barviva ve vlnách  $C_t \cdot V$  a násadní výstavou  $\Delta$ . Kterou je možno vyjádřit rovnicí

$$C_t = \rho \cdot \frac{V}{700} \quad /23/$$

V rovnovaze uvádějeme, že  $\% V \approx 100$  a z toho plyne, že  $C_t = 0$  Dosazením rovnice /23/ do rovnice /8/ a úpravou výjde

$$V^2 = (100)^2 \left\{ 1 - \exp \left( -\frac{\alpha K_9}{\beta^2} \cdot t \right) \right\} \quad /24/$$

Rovnice /24/ byla použita jako modelový vztah v kriteriální optimizační funkci. Pro praktické výpočty se argument v exponenci uvažoval jako jedna konstanta  $K_9 = 2 K_5 / \alpha^2$ .

Výsledky ukazují (tab III.), že ani v jednom případě nepřekročila maximální relativní odchylka hodnotu 5 % (což je běžná chyba spektrofotometru) s průměrnou relativní odchylkou 3 %. Z toho je vidět, že model fenomenologické kinetiky v celém rozsahu experimentálního souboru a modelová rovnice /24/ je pro kvantitativní popis kinetiky barvení postaďující.

Tab. III.

Rychlostní konstanty  $K_9$  z rovnice /8/ pro různé sytosti  $\alpha$   
(násadní koncentrace)

Kriterium	0,3%	0,6%	0,9%	1,2%	1,5%
$K_9$	0,08143	0,03795	0,01517	0,008478	0,006327
g' rel. odchylka / % /	2,014	2,56	1,85	2,12	1,85
maz. rel. odchylyka / % /	-4,65	4,97	4,26	4,73	-2,97
$K_S$	0,003664	0,006831	0,008144	0,006104	0,006330

Po výpočtu rezultuje výraz

$$S_{px} = \gamma, 1794 / \bar{K}_S$$

/26/

Dosazením za  $\bar{K}_S = 0,006327$  vychází pro sledovaný barvici systém  $\frac{S_{px}}{\bar{K}_S} = 0,572$  ( $K_S$  je počítáno ze všech rychlostních konstant vyjma  $K_S$  při 0,3 % sytosti).

Obecně však může být  $K_S$  silně závislé na  $\alpha$ . Pak je výhodnější vyjádřit vhodným modelovým vztahem závislost přímo "nekorigované" konstanty  $K_9$  na sytostí vybarvení  $\alpha$ .

Pro určení modelového typu závislosti využijeme z úvahy, že změny  $K_9$  a koncentraci jsou v rozhoužlící mísce ovlivňeny difusními pochody. Pak lze předpokládat, že závislost  $K_9$  na  $\alpha$  bude formálně stejná jako vztah mezi  $D$  a koncentrací  $C$ . Jeden dosti obecný vztah pro závislost difusního koeficientu na koncentraci odvodili Mandelkern a Flory /42/ (odvození je provedeno pro roztoky). Výsledný výraz lze po zanedbaní výšších členů Mandelkern Floryho rovnice vyjádřit jako

$$D = D_0 \cdot \frac{1 + 2A_2 \cdot C}{1 + \bar{K}_S \cdot C} \quad /27/$$

kde  $D_0$  .... hodnota difusního koeficientu extraplováná na nekonečné zředění

$A_2$  .... druhý virální koeficient

$\bar{K}_S$  .... koncentráční závislosti translačního frakčního koeficientu

Pro  $K_9$  lze pak v souhlasu s výše uvedeným předpokladem psat rov. /27/ na tvar

$$\alpha = \sqrt{\frac{K_9 \cdot \frac{t}{\tau} \cdot \omega}{-\ln \left[ 1 - \left( \frac{V}{700} \right)^2 \right]}} \quad /25/$$

Velikost  $S_{px}$  lze pak snadno určit z rov. /25/ dosazením za  $t = 60$  a  $V = 95$ . Hodnota  $K_S$  se oršen musí nahradit aritmetickým průměrem  $K_S$  všech rychlostních konstant (To lze provést jen v případech, kdy jednotlivá  $K_S$  nezávisí na  $\alpha$ , což je u sledované soustavy celkem splněno, vyjma  $K_S$  pro  $\alpha = 0,3\%$  - viz. tab.III.)

$$K_9 = A \left( \frac{1 + B\alpha}{1 + C\alpha} \right) \quad /28/$$

kde  $A, B, C$  jsou konstanty, které se pro tento barvici systém určí regresně.

Dosazením rov. /28/ do /24/ a úpravami výjde

$$\beta = \frac{-\ln [1 - (\frac{V}{V_0})^2] - At}{At \cdot B + b \cdot [1 - (\frac{V}{V_0})^2] \cdot C} \quad /29/$$

Z rovnice /29/ dosazována pro  $S_{px}$  výraz

$$S_{px} = \frac{0,038798 - A}{A \cdot B - 0,038798 \cdot C} \quad /30/$$

Konstanty rov. /28/ pro sledovaný barvicí systém (data jsou v tab. III) byly určeny aplikací nelineární regrese s kritériem minima absolutních hodnot absolutních odchylek na HP 9810 kalkulačce.

Výslo A = 28,17724 B = -0,47115 C = 987,06583 s průměrnou absolutní odchylkou 0,0017 (t.j. průměrná rel. odchylka kolem 10 %).

Dosazením této konstant do rov. /30/ dostáváme  $S_{px} = 0,5456$  což se liší od  $S_{px}$  určeného approximativně (z předpokladu nezávislosti  $K_S$  na  $S_{px}$ ) o 4,6 %. Je jasné, že rov. /30/ poskytuje přesnější odhad  $S_{px}$  rov. /26/. Oba vztahy však jasné ukazují na to, že  $S_{px}$  je kinetická veličina

### 3.2.3.2 Praktická možnost "odhadu" $S_{px}$ z poločasu barvení

První krutý odhad praktické saturatní hodnoty je možno snadno provést. Jedné experimentální závislosti mezi  $S_{px}$  a  $t_{1/2}$  při vložení zvoleném  $\lambda$  (musí být vyšší než předpokládaná  $S_{px}$ ). Stadí pouze určit buď graficky nebo početně poločas barvení  $t_{1/2}$  a dosadit ho do vztahu

$$S_{px} = 2,723012 \cdot \frac{\lambda}{t_{1/2}} \quad /31/$$

Rov. /31/ vychází z předpokladu, že se barvení řídí rov. /8/ a  $K_S$  je nezávislý na  $\lambda$ .

Pro ilustraci uvádime výpočet  $S_{px}$  podle vztahu /31/

$$t_{1/2} = \frac{0,2976 P_x}{2 K_S} \cdot \lambda^2 \quad /32/$$

Dosazením odpovídající hodnoty  $K_S$  (z tab. III) do rov. /32/ dostáváme, že  $t_{1/2} = 33,93365$  min a dosazením do rov. /31/ vychází, že  $S_{px} = 0,5609$  %.

Porovnáním s hodnotami  $S_{px}$  získanými jinými přesnějšími metodami (viz. kap. 2.2.1) je vidět, že i rov. /31/ poskytuje věrohodné počáteční odhady  $S_{px}$ . Pro srovnání uvedeme také, že běžná subjektivní grafická interpolace experimentálně získaných bodů (pro 64. min. ) umožňuje přibližné odečtení  $S_{px}$  v rozsahu 0,55 - 0,60 %.

U jiných barvicích systémů by ovšem výsledky výpočtu  $S_{px}$  z  $t_{1/2}$  mohly být méně přesné.

### 4. Závěr

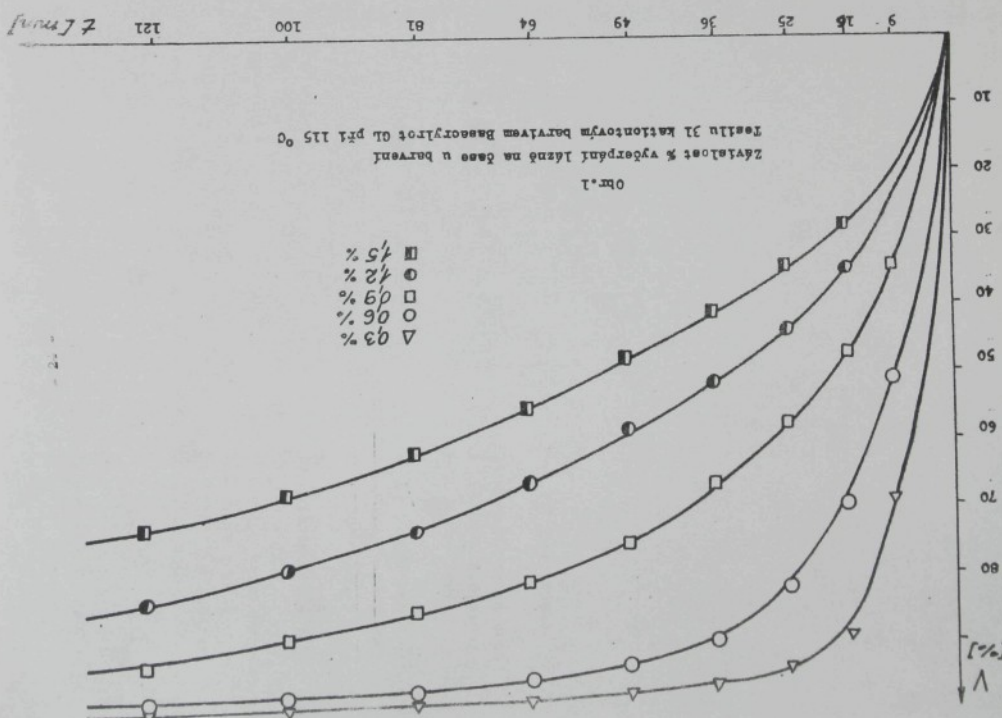
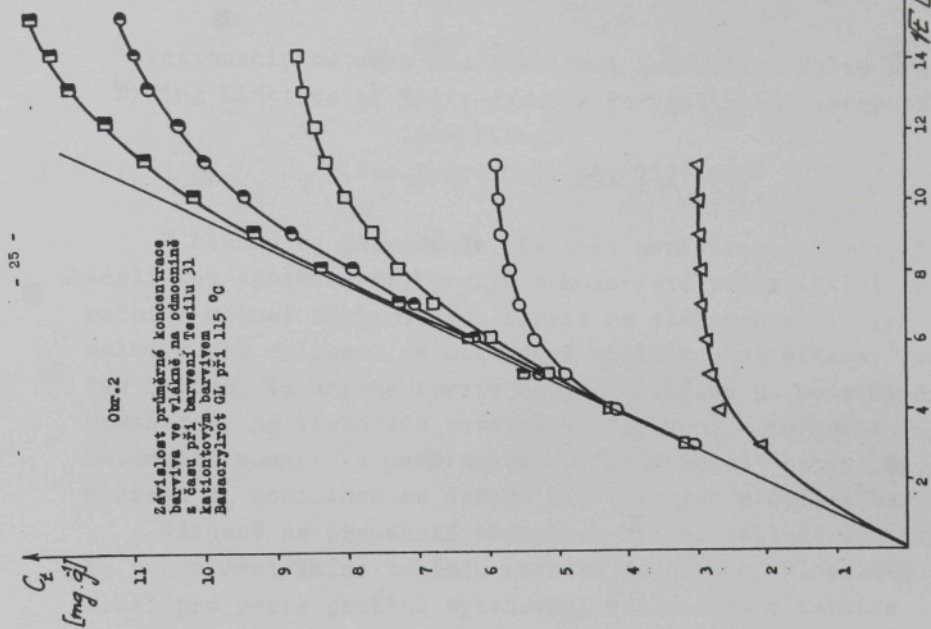
Byly odvozeny dva modely barvení A-PES vlákna Tessil 31 kationovým barvenem, vycházející z fyzikálních představ, a to jak na základě formální kinetiky, tak i na základě diferenční rovnice difuze ve spojení s chemickou reakcí.

K popisu experimentálně určených závislostí vyšlo pravděpodobnější model (rov. /8/). Byla objasněna podstatu tzv. "praktické"-zdanlivé saturování hodnoty  $S_{px}$  jako zvláštěho kinetického kriteria. Byly rovněž odvozeny tři postupy výpočtu  $S_{px}$  ze znalosti rychlostních konstant  $K_S$ , resp. z modelu závislosti souhrnné rychlostní konstanty  $K_Q$  na systému, příp. z poločasu barvení.

Přispíváme ukazujeme, jak lze využít modelování kinetických dnější při "inženýrském" přístupu ke konkrétním "praktickým" výpočtům technologicky významných reaktion.

Literatura

- 1 Glenz O., Beckmann W.: MT 38, 296 (1957)
- 2 Glenz O.: MT 38, 1152 (1957)
- 3 Beckmann W.: J.S.D.C. 77, 616 (1961)
- 4 Balforth D. a spol.: J.S.D.C. 80, 577 (1964)
- 5 Flath H.J.: Deutscher Textiltechnik, 21, 230 (1971)
- 6 Dyras J.: Przegl.Wiot. 27, 210 (1973)
- 7 Voborník V.: Text.Sci. and Res. XIII, 3-35
- 8 Melnikov B.N., Moryganov P.V., Ljakisjeva-Ivanova: IVUZ-Techm.Text.Prom. 5, 114 (1962)
- 9 Feuchtmayer F., Würz A.: J.S.D.C. 77, 626, (1961)
- 10 Beckmann, Glenz : MT 49, 1436 (1968)
- 11 Rossbach V., Müller H., Nissen D.: Textilveredlung 9, 339 (1974)
- 12 Kryštufek J., Suchardová J., Voborník V.: Přednáška na 9. MKK Bucuresti, 1973
- 13 Kryštufek J.: Čákolorista 1973/13, s.37
- 14 Dimov K., Chardarov I., Dezchova R.: MT 53, 328 (1972)
- 15 Kryštufek J.: připravované sdělení
- 16 Mayer U., Ender W., Würz A.: MT 47, 653, 772 (1966)
- Brožka ří BASP S 397 d/II/70: Farben u.Ausrüsten von PAN-
- Faser
- 17 Frey F., Siegrist G.: Textilveredlung 1, 70 (1966)
- 18 Sieemann : MT 49, 577 (1968)
- 19 Beckmann W., Hoffmann F., Otten H.: MT 54, 641 (1973)
- 20 Basic Dye Committee : J.S.D.C. 89, 292, (1973)
- 21 Fillipi P., Heran J.: Symposium "Makrotest", Pardubice 1973
- 22 Lacko V.: Výroba a vlastnosti PES-vláken; Alfa, Bratislava 1968
- 23 Interní analyt. postupy n.p.Silon
- 24 os. sdělení pracovníku n.p. Silon
- 25 Jacob F.: X.kongres o chemických vláknech, Dornbirn 1971
- 26 Rais J., Militký J.: Sborník přednášek z konference "Využití matematických metod při řešení technol.úkolů", D.T. Pardubice
- 27 Erdős E.: Vybrané kapitoly zahemické kinetiky, M.M.M., Praha 1976
- 28 Rais J.: Základní barvířské výpočty , SNTL Praha, 1969
- 29 Crank J., Park G.S.: Diffusion in polymers, A.P. New York (1969)
- 30 Malkin E.S., Abrasova I.I.: Dúchín : Koloidníj Zurnal No 3, 1960, 1975
- 31 Reiss C.R., Eyring H.: Text.Res.J. 20, 743 (1960)
- 32 Katz S.M., Kubu T., Watelin J.H.: Text.Res.J. 20, 753 (1960)
- 33 Vieth W.R., Sladek K.J.: J.Coll.Sci. 20, 104, (1965)
- 34 Crank J.: Mathematics of Diffusion, Clarendon Press Oxford 1956
- 35 Cegarra J., Puente P.: Text.Res.J. 27, 343 (1967)
- 36 Tahaydi A., Frankenberger C.: J.Polymer Sci Polym.Phys.Ed.11, 2027 (1973)
- 37 Rais J., Militký J.: J.S.D.C.: October 34, 1975
- 38 Kryštufek J., Militký J.: práce připravovaná k publikaci
- 39 Rais J., Jádrová M.: Sborník věd.prací VŠST v Liberci, sv. IX., 227 (1970)
- 40 Militký J., Rais J.: J.S.D.C. - zasláno k publikaci
- 41 Militký J.: Nelineární optimalizační programy pro řešení dlech ne线性回归 "regression modulu", soubor programů pro HP 9810, SVT Liberec
- 42 Mandelkern L., Flory P.J.: J.Chem.Phys. 19, 984 (1951)



Relationship between the Practical Saturation Value and  
Dyeing Kinetics of Basic-dyeable Poly(ethylene terephtha-  
late) Fibres

J.Soc.Dyers Col. 96, 117(1980)

V článku se zdůrazňuje, že test mezinárodně zavedený anglickou společností barvířů a koloristů pro zjištění saturačních hodnot kationtových barviv na vláknech akrylových selhává při aplikaci na aniontově modifikovaná vlákna. Vzhledem k tomu, že difuze barviv do A-PES vláken je podstatně pomalejší, je třeba zde rozeznávat "pravou" - rovnovážnou saturační hodnotu a nerovnovážnou "praktickou" saturační hodnotu  $S_p$  docílenou za časově limitovaných podmínek barvení.

Návazně na předchozí příspěvek byl na základě výstižného experimentálního základu navržen jednoduchý kinetický model pro popis průběhu vytahování kationtového barviva na aniontově modifikované PES vlákno z lázně. Tento model byl použit pro výpočetní odhad praktické saturační hodnoty.

# Relationship between the Practical Saturation Value and Dyeing Kinetics of Basic-dyeable Poly(ethylene terephthalate) Fibres

Jiri Krystufek and Jiri Militky

The State Textile Research Institute  
Liberec  
Czechoslovakia

Research Institute for Textile Finishing  
Dvor Králové  
Czechoslovakia

*To characterize the maximum amount of basic dye bonded to basic-dyeable polyester fibres under practical dyeing conditions, the term 'practical saturation value' has been introduced. The connection between this quantity and the kinetics of dyeing is indicated and methods for calculating it are discussed.*

## INTRODUCTION

The dyeability of acrylic and anionic-modified polyester fibres with cationic (basic) dyes is based on the presence of specific anionic bonding points in these fibres. In the Czechoslovak basic-dyeable polyester fibres, Tesil 31, Tesil 32 and Tesil 33,  $-SO_3Na$  groups are built into the fibre macromolecules by means of a modifying component (viz. the sodium salt of 5-sulphoisophthalic acid [1]), to the extent of 2–3 molar per cent. In these fibres, bonds (or loose linkages) of the ionic type play an essential role in the dye-fibre interaction, whereas non-ionic interaction plays only a secondary, complementary role [2].

The dyer's term for the concentration of bonding groups in the fibre is the saturation value or saturation concentration. This saturation value is defined as the maximum concentration of a given dye that can be obtained in the fibre under given dyeing conditions, but always with excess dye in the bath. In theoretical studies, the 'true' saturation value is the maximum concentration of chemically pure dye combined with the fibre at equilibrium. On the other hand, practically orientated studies are concerned with commercial dyes, saturation usually being expressed as the quantity of dye (% o.w.f.) required to give 95% [3,4] or 90% [5] exhaustion under standard conditions of dyeing. The assumption is that dye retention in the bath indicates the approach of saturation. On this basis, it is possible to obtain reliable results from simple experiments carried out with ordinary laboratory equipment.

Unlike experiments carried out to determine the true saturation value, these tests are carried out under conditions resembling those of practical dyeings. In particular, the time of dyeing is chosen to accord with the maximum times of dyeing permissible in practice [3,4]. The 'practical' saturation values determined in this way are of considerable significance. If they are exceeded there are several undesirable consequences, apart from the loss due to an excessive amount of dye being retained in the dyebath. In particular, the dyed material has lower fastness, there are higher demands on final rinsing and waste water contamination is increased.

In the present work, the practical saturation value ( $S_p$ ) of

basic-dyeable polyester fibres is defined. A simple calculation has been substituted for the graphical method proposed in the S.D.C. test for determining the saturation values of acrylic fibres [5]. It enables  $S_p$  values to be obtained with a minimum number of experiments.

In the S.D.C. test for basic dyes on acrylic fibres [5], a 4 h dyeing is carried out under reflux at 100°C (or, at high altitudes, for up to 8 h at or slightly lower temperature). The values thus obtained approach the equilibrium saturation values. The fact that the saturation values assessed in this way are about one-third higher than those found in practical dyeing times (1–2 h at 98°C) is not met for this reason, the assessment of saturation values on acrylic fibres is now carried out with the aid of saturation factors [6].

It has been found that the difference between 'true' and 'practical' saturation values is much greater with basic-dyeable polyester fibres than with acrylic fibres [7,8,9], doubtless because of the slower rate of diffusion of cationic dyes into basic-dyeable polyester fibres [10]. The true saturation values of basic-dyeable polyester fibres (at 115°C) are twice as large as corresponding values for acrylic fibres (at 98°C). In practical dyeings (1–2 h) the converse situation occurs, depending on the temperature and the type of carrier. Even in the most favourable cases, only one-third of the equilibrium amount of dye (e.g. in Tesil 31) may be bonded after dyeing for 1 h.

Accurate determination of true equilibrium values for basic-dyeable polyester fibres is not possible, owing to degradation of the fibre as well as the dye after extremely long times of dyeing (25 h or more [7]). The degradation of Tesil 31 under these extreme conditions is shown in Table 1.

Consequently, it is desirable to define a non-equilibrium saturation value  $S_p$ , which is closely connected with practical dyeing conditions. The definition of  $S_p$  is simple; it is the initial quantity of dye in the bath (% o.w.f.) which, after dyeing for 1 h under practical conditions, e.g. at 115°C, gives 90% exhaustion. It is evident that  $S_p$  is dependent upon the kinetics of the dyeing, which may therefore be used for its determination.

## MODEL ISOTHERMAL DYEING CURVES

The treatment of isothermal kinetic data may, in general, proceed in two ways. One method is based on the application of formal macroscopic kinetics to the dyeing system as a entity. Initially, the rate equation is defined [11], viz.

$$\frac{dC_t}{dt} = F(K, T, C) \quad (1)$$

where  $C_t$  is the average dye concentration in the fibre at time  $t$ ,  $F(Kt, C)$  is the model function selected either on the basis of the assumed mechanism of the processes involved or empirically as a reaction of the  $n$ th order [11], and  $K$  is the rate constant. The dyeing process, therefore, is characterized in relation to the rate of dyeing by an overall rate constant, the significance of which is not physically specified in greater detail.

The second method is based on phenomenological kinetics. The sorption processes are described by means of the differential equation of diffusion (Fick's laws) [12]. Here, the diffusion coefficient  $D$  forms the characteristic rate constant.

Both approaches have advantages and disadvantages. The first is simpler, and the resultant model relations can usually be linearized, i.e. suitably transformed into linear relations, which makes numerical treatment easier. On the other hand, it is more difficult to generalize the results and separate the effects of individual processes involved in dyeing. The second method is more rigorous, enabling generalization and separation of the total effect into individual parts, but the equation obtained is difficult to treat mathematically. Hereafter we shall indicate how the first approach can be used for deducing a suitable model of the kinetics of dyeing anionic polyester fibres with cationic dyes.

#### MACROSCOPIC KINETIC MODEL

Analysis of the kinetics illustrated in Figure 1 suggests that, in the initial stages, sorption is governed by the square root law (Fickian diffusion), i.e.  $C_t \propto \sqrt{t}$ , leading to the rate equation

$$v_s = \frac{K}{C_t} \quad (2)$$

where  $v_s$  is the rate of sorption. Since the dye is immobilized (by an ion-exchange mechanism) at specific bonding points in the fibre (the sulpho groups of the modifying component), retarding processes take place in the system. The rate of these processes,  $v_B$ , may be expressed for a mono-cationic dye by Eqn 3, which indicates a first-order reaction.

$$v_B = -K_B C_t \quad (3)$$

The overall rate of dyeing is then

$$\frac{dC_t}{dt} = \frac{K}{C_t} - K_B C_t \quad (4)$$

Eqn 4 was also obtained by Cegarra and Puent [13] in deriving a model for the kinetics of dyeing of polyester fibres with disperse dyes (assuming sorption with partial first-order desorption). Further treatment [13] leads to a relation between average dye concentration in the fibre and dyeing time, viz.

$$C_t^2 = C_\infty^2 [1 - \exp(-\frac{2K}{C_\infty^2} t)] \quad (5)$$

where  $C_\infty$  is the average dye concentration at equilibrium.

Since the dependence of dyebath exhaustion  $E$  (in %) on time  $t$  was measured experimentally, it was necessary to modify Eqn 5. We started from the relation between the average dye concentration in the fibre  $C_t$ , the dyebath exhaustion  $E$  and the quantity of dye originally added to the dyebath,  $s$  (% o.w.f.), which may be expressed as

$$C_t = s \frac{E}{100} \quad (6)$$

Since, in the dyeing experiments, the quantity of dye added to the dyebath ( $s$ ) is considerably less than that required for combination with all the accessible sulpho groups (when determining the practical saturation value  $S_p$ ), it can be assumed that, for equilibrium,  $E_\infty = 100C_\infty/s \approx 100\%$ . Consequently,  $C_\infty = s$ . Substituting Eqn 6 into Eqn 5 and rearranging gives

$$E^2 = (100)^2 \left\{ 1 - \exp\left(-\frac{2K}{s^2} t\right) \right\} \quad (7)$$

Eqn 7 was used as a model relation to describe the dependence of dyebath exhaustion on time and the quantity of dye originally added to the dyebath. For the purpose of practical calculation, the argument in the exponential was assumed to be  $K_9 = 2K/s^2$ , subscript 9 corresponding to the number of kinetic equations of dyeing employed in the work [11].

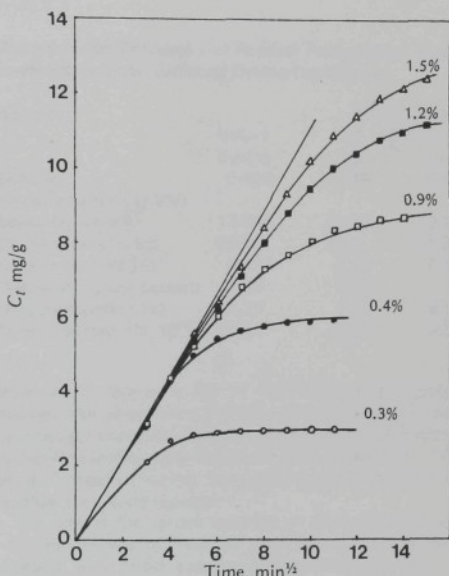


Figure 1 – Dependence of average dye concentration in fibre on  $\sqrt{t}$ , for Basacryl Red GL (BASF) applied at 115°C

#### RELATION BETWEEN THE PRACTICAL SATURATION VALUE AND THE KINETIC PARAMETERS OF DYEING

The following assumptions were made:

1. Dyeing takes place in accordance with Eqn 7.
2. The rate constant  $K$  does not depend on any given quantity of dye originally added to the dyebath.

From these assumptions it follows that

$$s = \sqrt{\frac{2Kt}{-\ln [1-(E/100)^2]}} \quad (8)$$

Since the practical saturation value,  $S_p$ , is the quantity of dye originally added to the dyebath that in time  $t=60$  min gives a dyebath exhaustion  $E=90\%$ ,

$$S_p = 8.5\sqrt{K} \quad (9)$$

The value of 8.5 was obtained by substituting  $t = 60$  and  $E = 90$  into Eqn 8. The other kinetic parameters are always a function of the rate constant  $K$ , so it is possible, if these parameters are known, to determine their relationship to  $S_p$ .

In many cases the time of half-dyeing,  $t_{1/2}$ , for a given value of  $s$ , can be obtained from the exhaustion curve without the need to calculate  $K$ . Thus it is possible from Eqn 7 (substituting for  $E = 50$ ) to express the time of half-dyeing as

$$t_{1/2} = \frac{0.144}{K} s^2 \quad (10)$$

Substituting from Eqn 10 into Eqn 9 gives the relationship between  $S_p$  and the time of half-dyeing for a given value of  $s$ , viz.

$$S_p = 3.22 \frac{s}{\sqrt{t_{1/2}}} \quad (11)$$

With the aid of Eqn 11, the  $S_p$  value can easily be determined for a particular kinetic experiment from the exhaustion curve. To ensure statistical correctness of the estimates of  $S_p$  values, it is necessary to carry out several experiments for different quantities of dye initially added to the dyebath and to substitute arithmetic averages of these quantities into Eqn 9 and Eqn 11.

## EXPERIMENTAL

### TEXTILE FIBRE

Tesil 31, an anionic-modified polyester loose fibre (4.4 dtex, staple length 65 mm, semi-dull) was used. To determine the degree of degradation of the fibre during dyeing, the following physical and chemical properties (see Table 1) were measured after dyeing at 115°C for (a) 1 h and (b) 22 h (near equilibrium state).

### Limiting Viscosity Number (*LVN*)

This was determined by the solvent dilution method in 1:3 phenol/tetrachloroethane [14]. From *LVN* the molecular weight was determined by means of the Mark-Houwink equation [14].

### Carboxyl Group Content

This was determined after dissolution of the sample in carefully dried nitrobenzene by titration with sodium methoxide [14].

### Sulpho Group Content

The sulphur content of the fibre was determined by a modified Schöniger method, i.e. by burning the sample in oxygen, followed by alkalimetric titration [15].

### Diethylene Glycol Content

This was determined by oxidation with per-iodic acid ( $\text{HIO}_4$ ) and subsequently with potassium dichromate, followed by titration of the dichromate excess with sodium thiosulphate [15].

### Oligomer Content

This was determined by extraction with hot dioxan for 30 h [15].

### Physical Properties

Tensile strength and percentage elongation at break were determined by standard methods, 50 measurements being averaged in each case.

### DYE

Basacryl Red GL (BASF)(C.I. Basic Red 29) was used in its technically pure form (75% pure dye). It is a cationic azo dye that, with Tesil 31, shows very good dyeing properties and adequate light fastness, even in pale depths [7].

### DYEINGS

Dyeings were carried out with 0.3%, 0.6%, 0.9%, 1.2% and 1.5% dye o.w.f. The maximum depth obtained was approximately one-third that of the equilibrium saturation value. An acetic acid-sodium acetate buffer was used in order to ensure a constant pH value (pH 4.6 at 20°C) in all dyebaths.

The usual addition of electrolyte, generally  $\text{Na}_2\text{SO}_4$ , was made; this is necessary to minimize hydrolytic degradation of the anionic polyester fibre.

The dyeing experiments were carried out at 115°C in a Linitest, laboratory rotary dyeing machine, the liquor:goods ratio being 100:1. The weight of sample used was 2g. After dyeing for a predetermined time the samples were rinsed. The dyebath exhaustion was determined by means of a spectrophotometer.

## RESULTS

### EFFECT OF DYEING ON THE PROPERTIES OF THE FIBRES

The data in Table 1 indicate that the changes in the chemical and physical properties of Tesil 31 that occur under practical dyeing conditions are small and would be acceptable in practice.

TABLE 1

**Changes in the Chemical and Physical Properties of Tesil 31 Staple Fibres under Different Dyeing Conditions.**

Property	Before dyeing	After dyeing at 115°C for	
		1 h	22 h
Limiting viscosity number ( <i>LVN</i> )	0.490	0.48	0.416
Molecular weight	13,846	13,42	10,804
COOH (m equiv./kg)	68.0	81.3	135.2
Sulphur content (%)	0.314	0.31	0.320
Diethylene glycol content	1.89	1.95	1.92
Oligomer content (%)	2.29	2.37	2.11
Tensile strength (N. $10^{-2}$ )	11.61	10.41	9.34

However, in long-term (22 h) equilibrium tests significant changes take place: the *LVN* value and the molecular weight decrease considerably. Hydrolytic degradation of the macromolecule is indicated by the fact that the content of  $-\text{COOH}$  groups is nearly doubled. The tensile strength and elongation at break are greatly reduced.

In view of the limited accuracy of the method used, the  $-\text{SO}_3\text{Na}$  content of Tesil 31 may be assumed to remain constant, even under extreme dyeing conditions [16]. The sulphur content corresponds exactly to the sulpho group content and so enables the theoretical acid equivalent ( $-\text{SO}_3\text{Na}$  only) of Tesil 31 fibre to be determined. If the average sulphur content is taken to be 0.314%, then the acid equivalent of Tesil 31 is 97.92 mequiv. $\text{kg}^{-1}$ . Consequently, it is possible to bond (by ionic interaction via sulpho groups) up to 3.93% o.w.f. of an ideal mono-cationic dye (mol. wt. 400). On this basis, it follows that the theoretical fibre saturation value  $A$  (assuming an ideal dyeing up to equilibrium and 90% exhaustion of the original dyebath, other types of interactions being neglected) is

$$A_{\text{theor}} = 4.31\% \text{ o.w.f.}$$

In addition, it is necessary to take into account bonding with  $-\text{COOH}$  groups when dyeing in a moderately acidic medium [7]. (The acid equivalent of the  $-\text{COOH}$  groups in the fibre is of the same order as that of the  $\text{SO}_3\text{Na}$  groups, viz. 60–130 mequiv.  $\text{kg}^{-1}$ , depending on the conditions of dyeing). This leads to an increase in the value  $A_{\text{theor}}$ .

### KINETIC BEHAVIOUR

The curves in Figure 1 suggest that:

1. In the initial stages of dye uptake (see Figure 1), the absolute dyeing rate, given by the tangent to the curves  $C_t$  versus  $\sqrt{t}$ , is nearly independent of the dye concentration in the bath. The curves then show gradual deviation from the

straight line which represents dye uptake from a dyebath containing a permanent excess of dye. An exception is seen in the weakest of the dyeings, i.e. the 0.3% dyeing, the course of which deviates throughout from the enveloping rectilinear curve. Here, the dyebath concentration (0.03 g/l) is insufficient from the start to allow the entire fibre surface to be covered by adsorbed dye cations. Surprisingly in deeper dyeings, deviation from the enveloping curve begins at times when the dyebath concentration has fallen to 0.03–0.05 g/l.

2. Dye uptake from a bath containing excess dye takes place in accordance with the square root law, i.e., when sorption is plotted against  $\sqrt{t}$ , a straight line is obtained.

The dyeing behaviour described above for Tesil 31 is similar to that reported for acrylic fibres. However, like the curves plotted by Mayer *et al.* [3] for the dyeing of Orlon 42 acrylic fibre (DUP) the curves for Tesil 31 do not follow the enveloping curve, except in initial stages of the dyeing process.

## DISCUSSION

### TREATMENT OF EXPERIMENTAL RELATIONSHIPS

The relationship between dye exhaustion and time is shown in Eqn 7. To estimate the constants in this equation we used non-linear regression with the least squares criterion of relative deviations [17]. The calculations were made with the aid of a Hewlett-Packard 9810 desk top calculator. The results (Table 2) show that the maximum relative deviation did not exceed 5% and the mean relative deviation did not exceed 3%. Hence, the model of phenomenological kinetics for the entire experimental set and the model Eqn 2 together suffice to describe quantitatively the kinetics of dyeing for Tesil 31 and Basacryl Red GL.

### DETERMINATION OF THE PRACTICAL SATURATION VALUE ( $S_p$ )

The  $S_p$  value is determined from Eqn 9,  $K$  being replaced by the arithmetic mean ( $\bar{K}$ ) of all the rate constants. However, this can be done only when the individual  $K$  values are independent of  $s$ . For the experiments under discussion (Table 2) this condition is satisfied, except for the  $K$  value corresponding to  $s = 0.3\%$  o.w.f., which has therefore been omitted in calculating  $K$ . Substituting  $\bar{K} = 0.0064$  into Eqn 9 gives  $S_p = 0.68\%$  o.w.f.

For comparison, the  $S_p$  value may be determined from the time of half-dyeing. From Table 2 one can easily calculate that, e.g. for  $s = 1.2\%$  o.w.f.,  $t_{1/2} = 33.93$  min. Substituting this value into Eqn 11 gives  $S_p = 0.66\%$  o.w.f.

### A SIMPLE PROCEDURE FOR DETERMINING OF $S_p$ FROM A MINIMUM NUMBER OF DYEINGS

The foregoing methods for calculating the practical saturation value  $S_p$  for different quantities of dye originally added to the dyebath ( $s$ ) are based on the production of isothermal exhaustion curves, from which the rate constants  $K$  are determined. This is a somewhat laborious procedure and is not entirely satisfactory in practice. A simple procedure is to carry out a single dyeing experiment for a given time for each quantity of dye initially added to the dyebath ( $s$ ). Thereby, for a chosen  $s_i$  and  $t_i$  in the  $i$ th experiment, the corresponding degree of bath exhaustion  $E_i$  is obtained.

The average rate constant  $K$  in Eqn 7 is expressed by the relationship

$$K = \frac{\sum_{i=1}^n W_i Y_i X_i}{2 \sum_{i=1}^n W_i X_i^2} \quad (12)$$

where  $n$  is the total number of experiments and

$$Y_i = -\ln[1 - (\frac{E_i}{100})^2] \quad (12a)$$

$$X_i = t_i/s_i \quad (12b)$$

$$W_i = [\frac{1 - (E_i/100)^2}{2E_i/10^4}]^2 \quad (12c)$$

Eqn 12 is derived by assuming that Eqn 7 is valid and that random deviations of the measurements are Gaussian (weighted least squares method); the weights  $W_i$  (Eqn 12c) are chosen so that the effect of transformation  $E_i$  to  $Y_i$  is largely eliminated (quasilinearized regression) [17].

Provided that all dyeings are carried out for the same time  $t_i = t$ , it is possible to rearrange Eqn 12 to give an equation of the type

$$K = \frac{\sum_{i=1}^n W_i Y_i Z_i}{2t \sum_{i=1}^n Z_i^2} \quad (13)$$

where

$Y_i$  and  $W_i$  are defined by Eqn 12a and 12c, respectively. For  $Z_i$  it follows

$$Z_i = \frac{1}{s_i^2} \quad (13a)$$

TABLE 2

Rate Constants ( $K_9$ ) Calculated from Eqn 2 for Different Quantities of Dye Originally added to the dyebath ( $s$ )

$s$ (%)	0.3	0.6	0.9	1.2	1.5
$K_9$	0.08143	0.03795	0.01517	0.008478	0.005627
Mean	2.014	2.56	1.85	2.12	1.85
relative deviation (%)					
Maximum relative deviation (%)	–4.65	4.97	4.26	4.73	–2.97
$K$	0.003664	0.006831	0.006144	0.006104	0.006330

By substituting into Eqn 9 after calculating  $K$  from Eqn 12 to Eqn 13 the corresponding value of  $S_p$  is obtained.

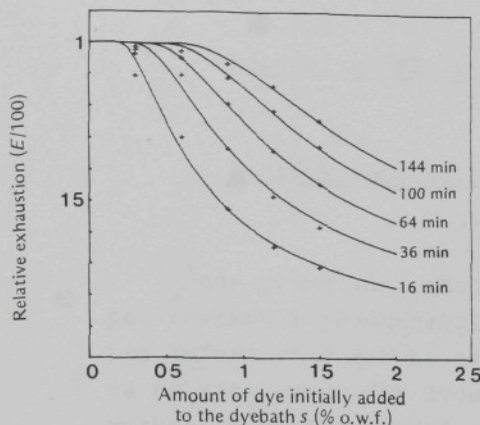


Figure 2 – Relationship between relative exhaustion ( $E/100$ ) and amount of dye initially added to the dyebath

In Figure 2 the relationship between  $E/100$  and  $s$  is plotted for different times. The + signs correspond to experimental points (the corresponding exhaustion curves are shown in Figure 1), whilst the curves were computed from Eqn 7. The relevant  $K$  values, determined by substitution into Eqn 13, are given in Table 3 together with corresponding  $S_p$  values. It is seen from Figure 2 that, except for the lowest value of  $s$  (0.3% o.w.f.), the experimental points of which are somewhat scattered, the differences between the  $S_p$  values are not large.

This is a simple procedure for determining the  $S_p$  value. Only a few experiments are required, and there is no need for complicated algorithms to estimate the rate constant  $K$ . In fact, the value can be determined from only two dyeings. The method has proved successful in the estimation of  $S_p$  for other basic dyes [18]. In some cases, careful choice of the range of the quantities of dye initially added to the dyebath may be desirable when determining  $S_p$  values.

By means of Eqn 12 and Eqn 13 it is even possible to determine  $K$  (and from  $K$  the  $S_p$  value) approximately from the data given in the literature and in manufacturers' publications.

TABLE 3

$S_p$  Values derived from Dyeing Experiments after Different Time Intervals

$t$ min	16	36	64	100	144
$K \times 10^2$ (min)	6.455	6.662	6.540	6.732	6.584
$S_p$ (% o.w.f.)	0.68	0.69	0.69	0.70	0.69

VALIDITY OF THE METHODS FOR CALCULATING  $S_p$   
All the methods described for calculating  $S_p$  are based on the assumption that Eqn 7 is valid and that the rate constant  $K$  is independent of the quantity of dye originally added to the dye bath. Our experimental data have shown that Eqn 7, owing to its flexibility, is sufficiently accurate for

15. Silon Combine: Analytical Procedures (Czechoslovak State Norms).
16. Jackob, Proc. 10th Conf. on Man-made Fibres, p.100, Dornbirn (1971).
17. Militky, Čap and Hoffmann, Proc. Conf. COMPSTAT '78, Ljubljana (1978).

took place. This difficulty was overcome by substituting averaged rate constants ( $K$ ) into Eqn 7.

When Eqn 12 and Eqn 13 are used, the computed values of  $K$  are estimated derived from linearized Eqn 7. It follows that they will be somewhat different from those obtained by the non-linear least squares method (where the model function expressing  $E$  versus  $s$  is directly Eqn 7). To demonstrate the applicability of Eqn 12 and Eqn 13, respectively, the relationship between  $Y_i$  and  $X_i$  (or  $Z_i$ ) may be plotted for all experimental points. The resulting relationship should be a straight line passing through the origin. The criterion of linearity may be quantified, e.g. by the correlation coefficient. For more rigorous estimate of  $K$  (and consequently  $S_p$ ) it is better to use the nonlinear least squares method.

As is seen from Figure 1 (and Table 2), with low quantities of dye originally added to the dyebath, larger deviations of the rate constant tend to occur, so these values must be omitted when calculating the average. It is best to use Eqn 12 and Eqn 13, where this effect is least evident. The computing procedures for  $S_p$  proposed in this paper may easily be applied to cases where, in a given system, the kinetics of dyeing can be described with sufficient accuracy by means of another kinetic relationship (e.g. the model of Cockett *et al.* [19]).

## CONCLUSIONS

The practical saturation value  $S_p$ , based on an analysis of differences between the 'true' saturation values and the maximum amount of dye bonded to basic-dyeable polyester fibre under practical dyeing conditions, has been defined. Its relationship to the kinetics of dyeing has been shown and several methods for calculating it have been proposed.

The procedures for calculation can easily be adapted for an arbitrary practical saturation value. For example, substituting the more 'rigorous'  $E = 95\%$  in place of  $E = 90\%$  in the definition of  $S_p$  given 7.179 in Eqn 9.

It has been shown that the simple kinetic model (Eqn 7) appears to suffice for experimentally determined relations between dye bath exhaustion  $E$  and time  $t$  for different quantities of dye originally added to the dyebath.

The effect of dyeing conditions on basic-dyeable polyester fibres has been examined.

## REFERENCES

1. Voborník, Text. Sci. and Res., **13** (1971) 35.
2. Rossbach, Müller and Nissen, Textilveredlung, **9** (1974) 339.
3. Mayer, Ender and Würz, Melland Textilber., **47** (1966) 653, 772.
4. Frey and Siegrist, Textilveredlung, **1** (1966) 70.
5. S.D.C. Basic Dyes on Acrylic Fibres Committee, J.S.D.C. **89** (1973) 292.
6. Beckmann and Glenz, Melland Textilber., **49** (1968) 1436.
7. Krystufek, Suchardová and Voborník, Communication presented at Int. Colouristic Congress, Bucuresti (1973).
8. Krystufek, Textil, **30** (1975) 433.
9. Beckmann, Hoffmann and Otten, Melland Textilber., **54** (1973) 641.
10. Siepmann, *ibid.*, **49** (1968) 577.
11. Rais and Militky, Proc. Conf. 'Application of Mathematical Method in Solution of Textile Problems', endo
18. Militky and Krystufek, unpublished results.
19. Cockett, Rattee and Stevens, J.S.D.C., **85** (1969) 461.

43. (MS. received 17 January 1978; revised MS. received 15 January 1979)

monografie :

Barvení akrylových vláken a směsí  
(SNTL, Praha 1986)

Modifikovaná polyesterová vlákna  
(SNTL, Praha 1984)

Řada poznatků i obecnějších zkušeností s problematikou popisovanou v předcházejících příspěvcích ij. byla využita pro informování široké technické veřejnosti formou spolupráce na výše uvedených dvou odborných knihách (druhý titul vychází v současné době v anglickém překladu).

Z důvodu omezeného rozsahu jsou zde dokumentovány jen titulní listy a obsah.

# Barvení akrylových vláken a směsí

## Obsah

Úvod . . . . .	8
1 Druhy akrylových vláken a jejich příprava . . . . .	10
2 Druhy akrylových vláken . . . . .	12
2.1 Výroba akrylových vláken . . . . .	17
2.2 Zvláštnování způsobem za sucha . . . . .	22
2.2.1 Zvláštnování způsobem za mokra . . . . .	23
3 Struktura a vlastnosti akrylových vláken . . . . .	25
3.1 Molekulární struktura . . . . .	25
3.2 Nadmolekulární struktura . . . . .	30
3.3 Vznik mikrostruktury při výrobě vláken . . . . .	31
3.4 Vlastnosti akrylových vláken . . . . .	34
3.4.1 Fyzikální vlastnosti . . . . .	35
3.4.2 Chemické vlastnosti . . . . .	36
3.4.3 Mechanické vlastnosti . . . . .	38
4 Předpráva před barvením . . . . .	39
4.1 Předprávání materiálu . . . . .	39
4.2 Bělení . . . . .	39
4.3 Dodatečné zpracování . . . . .	40
4.4 Fixace . . . . .	41
4.5 Susení . . . . .	42
5 Barvitelnost akrylových vláken . . . . .	43
6 Fyzikálně chemické základy barvení akrylových vláken kationtovými barvivy . . . . .	46
6.1 Kationtová barviva . . . . .	46
6.2 Mechanismus barvení . . . . .	49
6.2.1 Adsorpce na povrchu vláken . . . . .	49
6.2.2 Difuze barviva do vlákna . . . . .	51
6.2.3 Interakce barviva s vláknem . . . . .	64
7 Praktické problémy barvení akrylových vláken kationtovými barvivy . . . . .	72
7.1 Charakterizace soustavy kationtové barvivo – akrylové vlákno . . . . .	72
7.1.1 Rovnováha barvení . . . . .	72
7.1.2 Kinetika barvení . . . . .	73
7.2 Afinita barviva k vláknům . . . . .	76
7.3 Saturační hodnoty . . . . .	78
7.3.1 Stanovení zdanlivé saturační hodnoty podle BASF . . . . .	78
7.3.2 Stanovení zdanlivé saturační hodnoty podle SDC . . . . .	79
7.3.3 Maximální vazba schopnost vláken, saturativní faktory . . . . .	81
7.4 Rovnoměrnost vybarvení . . . . .	82
7.5 Kombinovanost kationtových barviv . . . . .	82
7.6 . . . . .	84

Ing. JIŘÍ KRYŠTUFEK, Ing. JIŘÍ MILITKÝ, CSc.

PRAHA 1987  
SNTL – Nakladatelství technické literatury

7.6.1	Vyjádření kombinovatelnosti podle BASF	86	Barvení kationtovými a disperzními barvivy	134
7.6.2	Vyjádření kombinovatelnosti podle Kollera	86	Barvení trojkomponentních směsi s akrylovými vlákny	135
7.6.3	Vyjádření kombinovatelnosti kombinačními čísly	86		
8	Technologie barvení kationtovými barvivy	89		
8.1	Příprava barvici lázně	89	Barvení disperzními barvivy	136
8.2	Retardanti prostředky	90	Barvení 1 : 1 kovokomplexními barvivy	136
8.2.1	Kationaktivní retardantní prostředky	90	Barvení kationtovými barvivy	137
8.2.2	Anionaktivní retardantní prostředky	90	Barvení směsi aniontové modifikovaných a kationtové modifikovaných akrylových vláken	137
8.3	Lážnové barvení do 100 °C.	93	Barvení směsi kationtové modifikovaných akrylových vláken a vlny	137
8.3.1	Barvení s kationaktivními retardantními prostředky	94	Barvení směsi kationtové modifikovaných akrylových vláken a celulosových vláken	139
8.3.2	Lážnové barvení vysokoteplotním způsobem	95		
8.4	Barvení s retardantními prostředky	95		
8.4.1	Dokoncovací operace při lážnovém barvení	96	Barvení modelakrylových vláken	140
8.5	Nuancování, oprava a stahování vybarvení	97	Pojem modelakrylova vlákna	140
8.6	Nuancování	97	Předuprava před barvením	140
8.6.1	Opravy vybarvení	97	Přehled barvických vlastností	141
8.6.2	Stahování vybarvení	98	Barvení disperzními barvivy	141
8.6.3	Mechanické uspořádání lážnového barvení	98	Barvení kationtovými barvivy	142
8.7	Barvení na návinovém aparátu	101	Barvení aniontovými barvivy	142
8.7.1	Barvení na háček a na tryskových barvících strojích	101	Casové teplotní podmínky barvení	143
8.7.2	Technologie kontinuálního a polokontinuálního barvení	101	Ztráta lesku při barvení	143
8.8	Způsob napouštění-párem (Pad-Steam)	102	Barvení Darvanu	144
8.8.1	Způsob Pad-Roll	103	Literatura	145
8.8.2	Způsob Termosol	104		
9	Optimalizované a rychlobarvici postupy	105		
9.1	Rychlobarvici postupy	106		
9.1.1	Způsob Astrazon	107		
9.1.2	Barvení za konstantní teploty	108		
9.1.3	Způsob Defterm	109		
9.2	Optimální barvici postupy	111		
10	Barvení akrylových vláken disperzními barvivy	116		
10.1	Theorie barvení disperzními barvivy	116		
10.2	Postup barvení	122		
11	Barvení směsi akrylových vláken s jinými vlákny	123		
11.1	Barvení směsi akrylových a celulosových vláken	124		
11.1.1	Předuprava	124		
11.1.2	Barvení disperzními barvivy	125		
11.1.3	Barvení kationtovými a kopolymerickými barvivy	126		
11.1.4	Barvení kationtovými a pěnivými barvivy	127		
11.1.5	Barvení indigozolovými barvivy	127		
11.2	Barvení směsi akrylových vláken a vlny	127		
11.2.1	Předuprava	127		
11.2.2	Barvení kationtovými a kyselými nebo kovokomplexními barvivy	128		
11.2.3	Barvení kationtovými a reaktivními barvivy	130		
11.3	Barvení směsi akrylových a polyestrových vláken	130		
11.3.1	Předuprava	130		
11.3.2	Barvení kationtovými a disperzními barvivy	131		
11.3.3	Douprava vybarvení	132		
11.4.1	Barvení směsi akrylových a polyamidových vláken	133		
11.4.2	Předuprava	133		
	Barvení kationtovými a kovokomplexními nebo kyselými barvivy	133		

# Modifikovaná polyesterová vlákna

Zpracovali:

Ing. Jiří Miličký, CSc. (vedoucí autorského kolektivu)

RNDr. Jiří Vaněček, CSc.

Ing. Jiří Kryštofek

Ing. Václav Hartych

1	Úvod — J. Miličký	7
2	Modifikovaná polyesterová vlákna — J. Miličký, J. Vaněček	9
2.1	Historický přehled výroby polyesterovéch vláken	9
2.2	Způsoby modifikace polyesterovéch vláken	12
2.2.1	Modifikace v průběhu přípravy polymeru	13
2.2.2	Modifikace v příběhu přípravy vláken	17
2.2.3	Modifikace při použití vláken	25
2.3	Jiné typy vláknových polymerů	28
2.3.1	Vlákná z 1,4-polycyclohexylendimethylentereftalátu	29
2.3.2	Polyalkyleneetherfádatová vlákna	30
2.3.3	Vlákna obsahující natriumkarboxylovou kyselinu	33
2.3.4	Polypropylalketonová vlákna	33
2.3.5	Vlákna z kyseliny polyethoxybenzoové	33
2.3.6	Polykarbonátová vlákna	34
2.3.7	Vlákna z polyglykolidu	35
2.3.8	Ostatní polyestery	36
2.4	Druhy modifikovaných polyesterových vláken	36
2.4.1	Srživá vlákna	36
2.4.2	Vlákna se srživým sklonem ke žmolkování	38
2.4.3	Elastomerová vlákna	41
2.4.4	Vlákna se zlepšenou barvotěností disperzními barvivy	41
2.4.5	Vlákna barvitelná iontovými barvivy	44
2.4.6	Vlákna se zlepšenými užitými vlastnostmi	45
3	Struktura vláken — J. Miličký, J. Vaněček	50
3.1	Chemické složení, kopolyesterových vláken	51
3.2	Molekulární struktura	54
3.3	Nadmolekulární struktura	57
3.3.1	Vliv modifikace na stav krystalické fáze	59
3.3.2	Vliv modifikace na stav amorfní fáze	63
4	Vlastnosti vláken — J. Miličký, J. Vaněček	66
4.1	Vliv modifikace na vlastnosti vláken	67
4.2	Odolnost vláken vůči degradaci	68
4.3	Termické vlastnosti	72
4.3.1	Skelety pícehod	73
4.3.2	Teploita, taní	75
4.3.3	Krystallace vláken	76
4.3.4	Sraživé vlastnosti	77
4.4	Mechanické vlastnosti	79
4.4.1	Reologické vlastnosti	80
4.4.2	Mechanické charakteristiky určené z pracovních zkratek	82
4.5	Výbrané užitné vlastnosti	87
5	Zpracovatelelost v textilní výrobě — V. Hartych, J. Vaněček	90
5.1	Výroba prizí	91
5.1.1	Bavlnářský způsob předení	91

ÚVOD

92	Vlnářský způsob předení . . . . .
93	Iakirský způsob předení . . . . .
94	Odlíností ve zpracovatelnosti polyestrových vláken . . . . .
97	Výroba tkanin a pletenin . . . . .
99	Oblast použití, konstrukce a užitné vlastnosti textilních obsahujících modifikovanou polyesterovou vlákna . . . . .
100	Vlnářka se sníženou žmolkovitostí . . . . .
102	Textilie ze sráživých vláken . . . . .
104	Bikomponentní polyesterová vlákna . . . . .
105	Polyesterová vlákna barvitelná za varu bez přenáseče . . . . .
106	Polyesterová vlákna se sníženou hořlavostí . . . . .
108	Netkané textilie s obsahem kopolyesteru . . . . .
109	Barvení modifikovaných polyestrových vláken — <i>J. Kryšťálek</i> , <i>J. Miltýk</i> . . . . .
110	Mechanismus difuze barviv do polyestrových vláken . . . . .
111	Vlnářka barvitelná za varu bez přenáseče . . . . .
111	Technologie barvení . . . . .
111	Rovnoměrnost vybarvení a stálosti . . . . .
112	Antonovský modifikovaná vlákna . . . . .
122	Barvení disperzními barvivy . . . . .
122	Barvení kationtovými barvivy . . . . .
122	Barvení sráživých vláken . . . . .
123	Zušlechtování — <i>V. Hartlich</i> , <i>J. Kryšťálek</i> , <i>J. Miltýk</i> . . . . .
123	Předupříprava před barvením . . . . .
123	Exlace . . . . .
123	Postchlóruvaní a opalování . . . . .
124	Praní, krabování, lisování, dekatazování . . . . .
124	Doslov — <i>J. Miltýk</i> . . . . .
125	Literatura . . . . .